

FACULTAD DE INGENIERÍA CIVIL

CARRERA DE INGENIERÍA CIVIL

Evaluación de la vulnerabilidad sísmica de marcos especiales a momentos en edificaciones

OCHOA COBOS JIM MARCELO INGENIERO CIVIL

MACHALA 2025

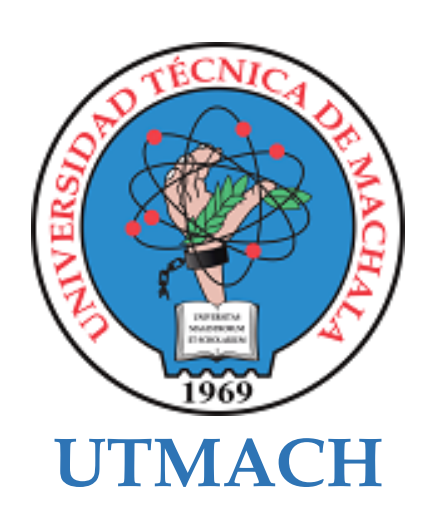


FACULTAD DE INGENIERÍA CIVIL

CARRERA DE INGENIERÍA CIVIL

Evaluación de la vulnerabilidad sísmica de marcos especiales a momentos en edificaciones

OCHOA COBOS JIM MARCELO INGENIERO CIVIL



FACULTAD DE INGENIERÍA CIVIL

CARRERA DE INGENIERÍA CIVIL

PROYECTOS TÉCNICOS

Evaluación de la vulnerabilidad sísmica de marcos especiales a momentos en edificaciones

OCHOA COBOS JIM MARCELO INGENIERO CIVIL

AÑAZCO CAMPOVERDE PAUL ANDRE

MACHALA 2025



Evaluación de la vulnerabilidad sísmica de pórticos a momento en edificaciones



Nombre del documento: Evaluación de la vulnerabilidad sísmica de porticos a momento en edificaciones - Ochoa Jim.pdf

ID del documento: 1f6d6ee5e0e3828bae3b16c5476bb773faaf4eb1 Tamaño del documento original: 2,12 MB

Autor: Jim Ochoa

Depositante: Añazco Campoverde Paúl André

Fecha de depósito: 24/7/2025

Tipo de carga: interface fecha de fin de análisis: 24/7/2025 Número de palabras: 27.123

Número de caracteres: 174.490

Ubicación de las similitudes en el documento:



≡ Fuentes de similitudes

Fuentes principales detectadas

N°		Descripciones	Similitudes	Ubicaciones	Datos adicionales
1	8	repositorio.utmachala.edu.ec https://repositorio.utmachala.edu.ec/bitstream/48000/18700/1/ECFIC-2022-IC-DE00027.pdf	< 1%		Palabras < (134 idénticas: 1% palabras)
2	**	ROMERO - RUIZ.pdf ROMERO - RUIZ #1450d1 ◆ Viene de de mi grupo 5 fuentes similares	< 1%		ប៉ា Palabras idénticas: < 1% (75 palabras)
3	@	doi.org https://doi.org/10.56048/mqr20225.7.3.2023.1915-1929 2 fuentes similares	< 1%		(Ĉ) Palabras idénticas: < 1% (54 palabras)
4	8	repositorio.utmachala.edu.ec https://repositorio.utmachala.edu.ec/bitstream/48000/23552/1/Trabajo_Titulacion_3565.pdf 5 fuentes similares	< 1%		රි Palabras idénticas: < 1% (57 palabras)
5	**	TESIS DE TITULACIÓN - Espinoza Randy - 10mo. A.docx TESIS DE TITUL #f7c40. Viene de de mi grupo 6 fuentes similares	< 1%		ြံ Palabras idénticas: < 1% (51 palabras)

Fuentes con similitudes fortuitas

N°		Descripciones	Similitudes	Ubicaciones	Datos adicionales
1	8	201.159.223.180 http://201.159.223.180/bitstream/3317/13842/1/T-UCSG-PRE-ING-IC-319.pdf	< 1%		n Palabras idénticas: < 1% (33 palabras)
2	血	Documento de otro usuario #39c229 ◆ Viene de de otro grupo	< 1%		n Palabras idénticas: < 1% (31 palabras)
3	8	doi.org COMPORTAMIENTO SÍSMICO DE EDIFICIOS IRREGULARES EN PLANTA CO. https://doi.org/10.15517/ri.v34i2.55859	··· < 1%		n Palabras idénticas: < 1% (25 palabras)
4	血	Documento de otro usuario #3b5ad3 ◆ Viene de de otro grupo	< 1%		🖒 Palabras idénticas: < 1% (33 palabras)
5	8	repositorio.utmachala.edu.ec https://repositorio.utmachala.edu.ec/bitstream/48000/17841/1/ECFIC-2021-IC-DE00043.pdf	< 1%		🖒 Palabras idénticas: < 1% (31 palabras)

Fuentes mencionadas (sin similitudes detectadas) Estas fuentes han sido citadas en el documento sin encontrar similitudes.

- https://doi.org/https://doi.org/10.33936/riemat.v6i1.3687
- kttps://doi.org/10.18867/ris.107.603
- ktps://doi.org/http://dx.doi.org/10.4067/S0718-33052022000300513
- kttps://doi.org/10.33333/rp.vol52n1.10
- kttps://doi.org/https://doi.org/10.15446/dyna.v88n216.87946

CLÁUSULA DE CESIÓN DE DERECHO DE PUBLICACIÓN EN EL REPOSITORIO DIGITAL INSTITUCIONAL

El que suscribe, OCHOA COBOS JIM MARCELO, en calidad de autor del siguiente trabajo escrito titulado Evaluación de la vulnerabilidad sísmica de marcos especiales a momentos en edificaciones, otorga a la Universidad Técnica de Machala, de forma gratuita y no exclusiva, los derechos de reproducción, distribución y comunicación pública de la obra, que constituye un trabajo de autoría propia, sobre la cual tiene potestad para otorgar los derechos contenidos en esta licencia.

El autor declara que el contenido que se publicará es de carácter académico y se enmarca en las dispociones definidas por la Universidad Técnica de Machala.

Se autoriza a transformar la obra, únicamente cuando sea necesario, y a realizar las adaptaciones pertinentes para permitir su preservación, distribución y publicación en el Repositorio Digital Institucional de la Universidad Técnica de Machala.

El autor como garante de la autoría de la obra y en relación a la misma, declara que la universidad se encuentra libre de todo tipo de responsabilidad sobre el contenido de la obra y que asume la responsabilidad frente a cualquier reclamo o demanda por parte de terceros de manera exclusiva.

Aceptando esta licencia, se cede a la Universidad Técnica de Machala el derecho exclusivo de archivar, reproducir, convertir, comunicar y/o distribuir la obra mundialmente en formato electrónico y digital a través de su Repositorio Digital Institucional, siempre y cuando no se lo haga para obtener beneficio económico.

OCHOA COBOS JIM MARCELO

0705810588

DEDICATORIA

A mi esposa, Betzy Valarezo por ser mi compañera incondicional, por su paciencia, amor y apoyo constante durante este duro camino, por apoyarme en momentos difíciles, aconsejarme y alentarme a nunca rendirme.

A mi hija, Doménica Ochoa por ser la niña de mis ojos y ser la luz que me impulsa y motiva a ser mejor cada día. Este logro es para ti para que veas que todo se hace realidad con esfuerzo y dedicación.

A mis suegros que fueron mis segundos padres, quienes me tendieron la mano y me apoyaron en todo momento.

A mis padres, quienes, aunque no siempre comprendieron o respaldaron mis decisiones, me dieron la vida y me forjaron carácter suficiente como para afrontar los problemas solo, a ustedes también les debo este logro.

A mis hermanas, por estar presentes a su manera y brindarme palabras de ánimo cuando más lo necesitaba.

A Dios, porque guio mi camino, me dio fortaleza y sabiduría.

Ochoa Cobos Jim Marcelo

AGRADECIMIENTO

Agradezco en primer lugar a mi familia, en especial a mi esposa e hija, padres, hermanas que desde su lugar y a su manera, han sido parte de este proceso, gracias por acompañarme en momentos difíciles, por comprenderme y enseñarme a nunca rendirme.

Agradezco sinceramente a mi tutor al Ing. Paul André Añazco Campoverde, por su guía, paciencia y compromiso durante el desarrollo de este trabajo de titulación Su orientación ha sido esencial para superar dudas y mantenerme enfocado en mis objetivos. Su aporte ha sido fundamental en todo el proceso.

Finalmente extiendo mi agradecimiento a la Universidad Técnica de Machala y a sus docentes por brindarme el espacio académico y formativo que me permitió crecer como profesional y como persona

Ochoa Cobos Jim Marcelo

RESUMEN

En el presente trabajo de titulación se evalúa la vulnerabilidad sísmica en una edificación con pórticos a momentos en la ciudad de Machala basándose en metodologías cualitativas como la FEMA P-154, la metodología NEC 2015 y la metodología cuantitativa basada en el análisis estático no lineal (PUSHOVER).

La edificación en estudio según la evaluación visual dio como resultado que la edificación no requiere un estudio más detallado, debdo a que según los puntajes obtenidos en los formularios de evaluación no presenta mayor riesgo la estructura, a diferencia de la evaluación en el análisis estático no lineal donde sus resultados establecen que la estructura en un sismo frecuente se comporta de manera dúctil y tiene buen desempeño, y para los niveles superiores de sismo ya requiere un reforzamiento estructural en cuanto a la ductilidad de la estructura corresponde, sin embargo en cuanto al nivel de desempeño la edificación soportará niveles de sismo hasta el de diseño, y ya para el sismo muy raro la edificación tiende al colapso, estos valores resaltan la importancia de realizar un buen análisis estructural en donde se evalúen los parámetros sísmicos necesarios para prevenir riesgos innecesarios y establecer soluciones inmediatas para controlar el comportamiento de la edificación.

Palabras clave: Análisis estático no lineal, vulnerabilidad sísmica, sismos Edificaciones.

ABSTRACT

This degree project assesses the seismic vulnerability of a moment frame building in the city of Machala based on qualitative methodologies such as FEMA P-154, the NEC 2015 methodology, and the quantitative methodology based on nonlinear static analysis (PUSHOVER).

The visual assessment of the building under study indicated that it does not require further study. This is because the scores obtained from the evaluation forms indicate that the structure does not present a major risk. This is unlike the results of the nonlinear static analysis, which establishes that the structure behaves ductilely and performs well in a frequent earthquake. However, for higher earthquake levels, structural reinforcement is required in terms of the corresponding ductility of the structure. However, in terms of performance, the building will withstand earthquake levels up to the design level. For very rare earthquakes, the building tends to collapse. These values highlight the importance of conducting a thorough structural analysis, assessing the necessary seismic parameters to prevent unnecessary risks and establish immediate solutions to control the building's behavior.

Keywords: Nonlinear static analysis, seismic vulnerability, earthquakes, buildings.

Contenido

INTRO	DUCCIÓN	12
Import	tancia del tema	12
Actual	lidad de la problemática	12
Estruc	tura del trabajo	13
1. C	APITULO I: PLANTEAMIENTO DEL PROBLEMA	14
1.1	Línea base del proyecto	14
1.1.1	Población	14
1.1.2	Uso del suelo	14
1.1.3	Ordenamiento territorial Cantón Machala	15
1.1.4	Ubicación, Límites y extensión	15
1.1.5	Riesgo sísmico	16
1.2	Descripción del problema	17
1.3	Formulación del problema	18
1.4	Delimitación del objeto de estudio	18
1.5	Justificación	19
1.6	Objetivos; general y específicos	20
Objeti	vo General:	20
Objeti	vos Específicos:	20
2. C	APITULO II MARCO TEÓRICO	20
2.1	Antecedentes Contextuales	20
2.1.1	Macro	20
2.1.2	Meso	22
2.1.3	Micro	24
2.2	Antecedentes conceptuales	27
2.2.1	Comportamiento sísmico	27
2.2.2	Torsión	27
2.2.3	Sismo	27
2.2.4	Pushover	27
2.2.5	Irregularidad en edificaciones	27
2.2.7	Reforzamiento estructural	28
2.2.8	Resiliencia estructural	28
2.2.9	NEC 2015	20

2.2.10 Marcos Especiales a momento	
2.2.11 Análisis estático lineal	
2.2.12 ISE (Interacción suelo-estructura)	
2.2.13 Piso blando	
2.2.14 Columna corta	
2.2.15 Derivas de piso	
2.3 Antecedentes Referenciales	
3. CAPÍTULO III METODOLOGÍA30	
3.1. Modalidad básica de la investigación	
3.2. Tipo de investigación	
3.2.1. Documental	
3.2.2. De Campo	
3.2.3. Descriptiva	
3.3. Objeto de estudio	
3.4. Descripción de la población y muestra31	
3.5. Métodos teóricos31	
3.5.1. Selección de la estructura de estudio31	
3.5.2. Caracterización del modelo estructural	
3.5.3. Propiedades y dimensiones de los elementos estructurales	
3.6. Metodologías de evaluación	
3.6.1. FEMA P-154	
3.6.2. Metodología NEC	
3.6.3.1. Dimensiones de elementos estructurales	
3.6.3.2. Configuración en planta y elevación	
3.6.3.3. Cargas aplicadas a la estructura	
3.6.3.3.1. Carga viva	
3.6.3.3.2. Carga muerta	
3.6.3.4. Definición de rótulas plásticas	
3.6.3.4.1 Diseño de rotulas para columnas	
3.6.3.3. Cálculo de rotulas para vigas	
3.6.3.5. Niveles de amenaza sísmica	
3.6.3.6. Modelado	
3.6.3.7. Chequeos Sísmicos	

3.6.3.7.1	Cortante basal estático y dinámico	69
3.6.3.7.2	Verificación de cortante estático y dinámico en el eje "X"	69
3.6.3.7.3.	Verificación de cortante estático y dinámico en el eje "Y"	71
3.6.3.7.4	Control de Torsión	72
3.6.3.7.5	Control de Derivas	73
3.6.3.7.5.1	Control de Derivas en X	73
3.6.3.7.5.2	Control de Derivas en Y	73
3.6.3.7.6	Deflexiones en los elementos.	73
3.6.3.7.7	Distorsiones de piso	76
3.6.3.7.7.1	Distorsiones de piso en X	76
3.6.3.7.7.2	Distorsiones de piso en Y	77
3.6.3.7.8	Verificación de índice de estabilidad.	77
3.6.3.7.9	Verificación de piso blando	79
4. CAPÍTU	JLO IV ANÁLISIS E INTERPRETACIÓN DE RESULTADOS	81
4.1	Análisis de resultados	81
4.1.1	Inspección Visual Rápida (FEMA P-154)	81
4.1.1	Inspección Visual Rápida (FEMA)	83
4.1.2	Inspección Visual Rápida (NEC)	84
4.1.3	Análisis dinámico espectral	86
4.1.3.1	Espectro de diseño de aceleraciones	86
4.1.3.1	Control del periodo de vibración según la NEC-SE-DS	88
4.1.3.2	Cálculo de desplazamientos	90
4.1.3.3	Cálculo de derivas de entrepiso	91
4.1.4	Análisis sísmico estático	94
4.1.4.1	Cálculo de coeficientes sísmicos C y K.	94
4.1.4.2	Fuerzas laterales por piso.	95
4.1.4.3	Diseño de rótulas plásticas	96
4.1.5	Análisis estático no lineal (Pushover)	109
4.1.5.1	Evaluación de la edificación por los distintos niveles de sismo	111
4.1.5.1.1	Curva Pushover para sismo frecuente.	114
4.1.5.1.2	Curva Pushover para sismo ocasional	116
4.1.5.1.3	Curva Pushover para sismo raro.	119
4.1.5.1.4	Curva Pushover para sismo muy raro	122

4.1.5.5	Espectro demanda/capacidad y punto de desempeño	125
4.1.5.7	Comportamiento no lineal del concreto	128
4.1.5.8	Comportamiento no lineal del acero	129
5.	Conclusiones y recomendaciones	130
5.1	Conclusiones	130
5.2	Recomendaciones	131
ANEXOS		133

Índice de tablas

Tabla 1. Población del Cantón Machala.	14
Tabla 2. Ocupación del suelo en el cantón Machala	
Tabla 3. Valores de z según la región sísmica.	
Tabla 4: Secciones de vigas de la estructura de estudio	33
Tabla 5: Secciones de columnas de la estructura de estudio	35
Tabla 6: Rangos de aceleraciones para elección del tipo de formulario	37
Tabla 7: Cargas según la NEC por tipo de ocupación	44
Tabla 8: Cargas según la ocupación del edificio de estudio	45
Tabla 9: Cargas muertas aplicadas a la estructura	46
Tabla 10: Niveles de amenaza sísmica	
Tabla 11: Ajuste de cortante en sentido "X"	71
Tabla 12: Ajuste de cortante en sentido "Y"	71
Tabla 13: Torsión en los 2 sentidos.	72
Tabla 14: Índice de estabilidad en X	78
Tabla 15: Índice de estabilidad en Y	79
Tabla 16: Cálculo de valores para verificación de pisos blandos.	80
Tabla 17: Coeficientes de perfil del suelo	87
Tabla 18: Coeficientes para espectro inelástico	87
Tabla 19: Periodos fundamentales y participación de masa	88
Tabla 20: Coeficientes para el cálculo del periodo teórico	
Tabla 21: Control de periodos de la estructura	89
Tabla 22: Desplazamientos máximos de la edificación	90
Tabla 23: Valores de derivas máximos para los pisos	91
Tabla 24: Derivas de piso elástica e inelástica por piso en dirección X	92
Tabla 25: Derivas de piso elástica e inelástica por piso en dirección Y	93
Tabla 26: Coeficientes para el cálculo de factores como Sa, C y K	94
Tabla 27: Coeficientes de K en función de T	95
Tabla 28: Coeficientes para el análisis estático	95
Tabla 29: Calculo de fuerzas laterales por piso en el eje X	95
Tabla 30: Cálculo de fuerzas laterales por piso en el eje Y	96
Tabla 31: Tabla de datos calculados para formación de rótula de viga	100
Tabla 32: Valores de rótula plástica según lo calculado	108
Tabla 33: Tabla de datos calculados para la formación de rótula en columna	108
Tabla 34: Desplazamientos de la estructura	111
Tabla 35: Datos obtenidos en el análisis dinámico	113
Tabla 36: Valor de cortante máximo y factor de sobre resistencia	114
Tabla 37: Ductilidad de la estructura para sismo frecuente en X	115
Tabla 38: Ductilidad de la estructura para sismo frecuente en Y	116
Tabla 39: Ductilidad de la estructura para sismo ocasional en X	117
Tabla 40: Ductilidad de la estructura para sismo ocasional en Y	119
Tabla 41: Ductilidad de la estructura para sismo raro en X	120
Tabla 42: Ductilidad de la estructura para sismo raro en Y	122

Tabla 43: Ductilidad de la estructura para sismo muy raro en X	
Tabla 44: Ductilidad de la estructura para sismo muy raro en Y	124
Índice de ilustraciones	
marce de nastruciones	
Ilustración 1. Ubicación del objeto de estudio	
Ilustración 2. Zonificación sísmica y factor de zona Z	
Ilustración 3: Edificio daños por grado	
Ilustración 4: Vulnerabilidad según escala de colores en zona de estudio	
Ilustración 5: Derivas de piso NEC 15 VS E030	26
Ilustración 6: Curva de peligro sísmico de Machala y su intersección a un periodo de re	
de 475 años.	
Ilustración 7: Formulario metodología FEMA P-154	
Ilustración 8: Formulario según la metodología NEC	
Ilustración 9: Niveles de desempeño en función del desplazamiento	
Ilustración 10: Objetivos de desempeño de una edificación ante un sismo	
Ilustración 11: Planta 1era y 2da	
Ilustración 12: Planta Mezanine	
Ilustración 13: Planta 3ra	
Ilustración 14: Planta 4ta y 5ta	43
Ilustración 15: Pesos según el espesor de losa	45
Ilustración 16: Parámetros y criterios para análisis no lineal de columnas de concreto	48
Ilustración 17: Parámetros de análisis para rótulas en elementos vigas de concreto	57
Ilustración 18: Ecuación del índice de estabilidad según la NEC-SE-DS	78
Ilustración 19: Verificación de piso flexible según la NEC-SE-DS	80
Ilustración 20: Estado actual de la edificación (2025)	82
Ilustración 21: Evaluación de edificación a través del formulario de la FEMA P154	83
Ilustración 22: Evaluación de edificación a través del formulario de la FEMA P154	84
Ilustración 23: Formulario NEC para evaluación de edificaciones según la zona sísmica	86
Ilustración 24: Curva de peligro sísmico con intersecciones según el nivel de sismo	86
Ilustración 25: Gráfica de desplazamientos máximos	90
Ilustración 26: Gráfica de desplazamientos máximos	91
Ilustración 27: Gráfica de derivas máximas en dirección X	92
Ilustración 28: Gráfica de derivas máximas en dirección Y	93
Ilustración 29: Captura de programa sacando la cortante gravitacional	98
Ilustración 30:Gráfica de rótula plástica	
Ilustración 31: Carga axial en la columna de estudio	102
Ilustración 32: Cortante extraída del software de modelado	107
Ilustración 33: Gráfica de rótula plástica en columna	
Ilustración 34: Curva de desempeño sísmico, en dirección X	
Ilustración 35: Curva de desempeño sísmico, en dirección Y	
Ilustración 36: Espectros de aceleraciones para distintos niveles de sismo	
Ilustración 37: Nivel de desempeño para un sismo frecuente en el eje X	
• •	

Ilustración 38: Nivel de desempeño para un sismo frecuente en el eje Y	115
Ilustración 39: Nivel de desempeño para un sismo ocasional en el eje X	117
Ilustración 40: Nivel de desempeño para un sismo ocasional en el eje Y	118
Ilustración 41: Nivel de desempeño para un sismo raro en el eje X	120
Ilustración 42: Nivel de desempeño para un sismo raro en el eje Y	121
Ilustración 43: Nivel de desempeño para un sismo muy raro en el eje X	122
Ilustración 44: Nivel de desempeño para un sismo muy raro en el eje Y	124
Ilustración 45: Espectro demanda/capacidad y punto de desempeño en el sentido X-X	125
Ilustración 46: Espectro demanda capacidad y punto de desempeño en el sentido Y-Y	126
Ilustración 47: Formación de rótulas en el sentido X-X	126
Ilustración 48: Formación de rótulas en el sentido Y-Y	127
Ilustración 49:Comportamiento no lineal del concreto	129
Ilustración 50:Gráfica del comportamiento no lineal del acero	130
Ilustración 51: Plano estructural mezanine	133
Ilustración 52: Plano estructural 1ra y 2da planta	134
Ilustración 53: Plano estructural 3ra planta.	135
Ilustración 54: Plano estructural 4ta y 5ta planta.	136
Ilustración 55. Plantilla de inspección FEMA P-154 (Moderadamente alta sismicidad)	138

INTRODUCCIÓN

Importancia del tema

La ciudad de Machala es la capital de la provincia de EL Oro, ciudad que ha presenciado varios eventos sísmicos ocasionando una ola de inseguridad entre los habitantes debido a las catástrofes que han suscitado cobrando un número considerable de vidas humanas. Las estructuras que se han visto más afectadas han sido estructuras convencionales que no han tenido una planificación idónea y acorde a las normativas de la construcción, sin embargo, es importante conocer que las estructuras que cumplen con la normativa también son vulnerables ante estos eventos debido a varios parámetros que entornan a estas construcciones. Es por ello que este trabajo está dirigido al análisis cualitativo y cuantitativo de las construcciones con marcos especiales a momentos con el fin de determinar el desempeño estructural y la respuesta de la edificación ante eventos sísmicos futuros que pueden afectar a dicha construcción.

Actualidad de la problemática

Ecuador debido a su ubicación se encuentra afectado por el movimiento de las placas tectónicas conocidas como la Placa de Nazca y la Placa Sudamericana, la actividad entre estas placas es la principal causa de los sismos y con el pasar del tiempo esta actividad ha ido en aumento generando incertidumbre en la vida de los ecuatorianos, es por ello que es importante tomar en consideración que los sismos son una amenaza permanente en el Ecuador y pueden causar daños a las infraestructuras y más aún si estas no estan construidas de acuerdo a la normativa vigente.

A lo largo de la historia del Ecuador ha sido testigo de sismos que han golpeado al país como el ocurrido en abril del 2016 en Manabí y Esmeraldas, el cuál fue uno de los terremotos más fuertes que se han dado y uno de los que más daño ha causado en ciertos rincones del Ecuador, y otros que se han dado en otras provincias como se puede analizar en el Instituto Geofísico -EPN, donde se registran sismos con intensidades de 3-4 en la escala Macro sísmica europea.(Cunalata & Caiza, 2022)

Estructura del trabajo

El primer capítulo definido como el planteamiento del problema, se destacan los antecedentes del trabajo correspondientes a la línea base del proyecto abarcando la población, uso de suelo, riesgo sisimico etc., además de determinar la descripción y formulación de la problemática a estudiar, teniendo en cuenta las causas y efectos relacionados con el problema central lo que conlleva a delimitar el objeto de estudio el cuál será el protagonista principal en el presente trabajo, culminando con la elaboración de objetivos planteados y destinados a cumplirse en este documento.

Luego se desarrolla el segundo capítulo refiriéndose al marco teórico en donde enmarcan aspectos bibliográficos para la recopilación de información que ayudará al desarrollo del documento presentando antecedentes contextuales en donde se visualizan estudios similares al presente trabajo en un nivel macro, meso y micro, luego se detallan antecedentes conceptuales que ayudará a la revisión de términos no muy comunes para el lector, pero que ayudan a la comprensión de este trabajo y por último se revisan antecedentes referenciales enmarcando estudios que utilizan metodologías similares al tema.

Para el capítulo tres se detalla ya las metodologías que se utilizan para el trabajo destacando principalmente el tipo de investigación si es de campo, documental y descriptiva para luego describir las metodologías con los datos necesarios recopilados para el estudio del objeto que es una edificación de 5 niveles en la ciudad de Machala donde se aplicará la evaluación por metodologías cualitativas y cuantitativa.

En el capítulo cuatro se muestran los datos y resultados obtenidos en el estudio de las metodologías describiendo así las valoraciones en referencia a la evaluación de la vulnerabilidad sísmica en el edificio de 5 niveles en donde se obtienen interpretaciones en función a los resultados obtenidos en el presente capítulo en cuanto al desempeño estructural de la edificación.

1. CAPITULO I: PLANTEAMIENTO DEL PROBLEMA

1.1 Línea base del proyecto

1.1.1 Población

La población existente en el cantón Machala, según los datos extraídos del INEC, en el año 2010 existían 245128 Habitantes y al año 2022 que se realizó el último censo fue de 306309 Habitantes, de los cuales 288072 comprendían a la zona urbana y 18237 a la zona rural, también se obtuvo que el 50.8% de la población corresponde a mujeres y el 49.2% son hombres. **Ver en**

Tabla 1. Población del Cantón Machala.(PDOT, 2019)

Sexo	Zona Urbana	Zona Rural	Total
Hombre	141731	8972	150703
Mujer	146341	9265	155606
Total	288072	18237	306309

Tabla 1. Población del Cantón Machala.

Fuente: SIN-INEC (2010). Población del cantón Machala

De los datos obtenidos de los censos del 2010 y 2022 se pudo calcular tasa de crecimiento anual mediante la fórmula de la tasa de crecimiento anual compuesta, la cual dio como resultado 1.87% que al proyectarla al presente año 2025 da una estimación de 307274 Habitantes para la ciudad de Machala.

$$TCAC = \left(\frac{P_{final}}{P_{inicial}}\right)^{\frac{1}{t}} - 1$$

Donde:

 $P_{inicial} = Población del Censo 2010$

 $P_{final} = Población del Censo 2022$

t = Número de años

1.1.2 Uso del suelo

Debido a las características del suelo, se conoce que el suelo en Machala varía desde arenoso a arcilloso con una alta concentración de suelos limos-arcillosos, esto se debe a que la ciudad está cerca de la costa por lo tanto presenta un alto nivel freático. La

existencia de estos suelos hace que aumente el riesgo sísmico siendo esto perjudicial para las estructuras, a continuación, se muestra la tabla de ocupación de usos del suelo según el (PDOT) Documento Ejecutivo Para Autoridades Provinciales, 2019) **Ver en Tabla 2.** Ocupación del suelo en el cantón Machala.

Usos de suelo	Área (ha)	Proporción
Manglares	599,32	1,61%
Granjas acuáticas	7745,83	20,78%
Zonas productivas	12254,84	32,87%
Bosques nativos	2904,09	7,79%
Área urbana	5933,81	15,29%
Total, área cantonal	37279,.85	100%

Tabla 2. Ocupación del suelo en el cantón Machala

Fuente: PDOT Machala, 2019.GMM 2020

1.1.3 Ordenamiento territorial Cantón Machala

Según el departamento de Dirección y Planificación, el PDOT del Cantón Machala 2019-2030, establece objetivos que prioriza al cumplimiento de los mismos con el fin de garantizar el bien común entre los habitantes, evitando riesgos o amenazas que puedan alterar el ordenamiento público(PDOT, 2019).

Por ende, en todo proceso de construcción como en estructuras con marcos especiales a momento, se destacan con alto interés muchos aspectos en su construcción, como la correcta planificación y diseño en el desarrollo sostenible, sustentable y seguro, con el fin de garantizar, mejorar y generar innovación en cuanto al diseño y construcción de estructuras.

1.1.4 Ubicación, Límites y extensión

La ciudad de Machala situada al suroeste del país es una ciudad costera, capital de la provincia de El Oro, es una de las ciudades más densamente pobladas del país, tiene un terreno aproximado de 37292.38 ha y su área se encuentra distribuida en siete parroquias.

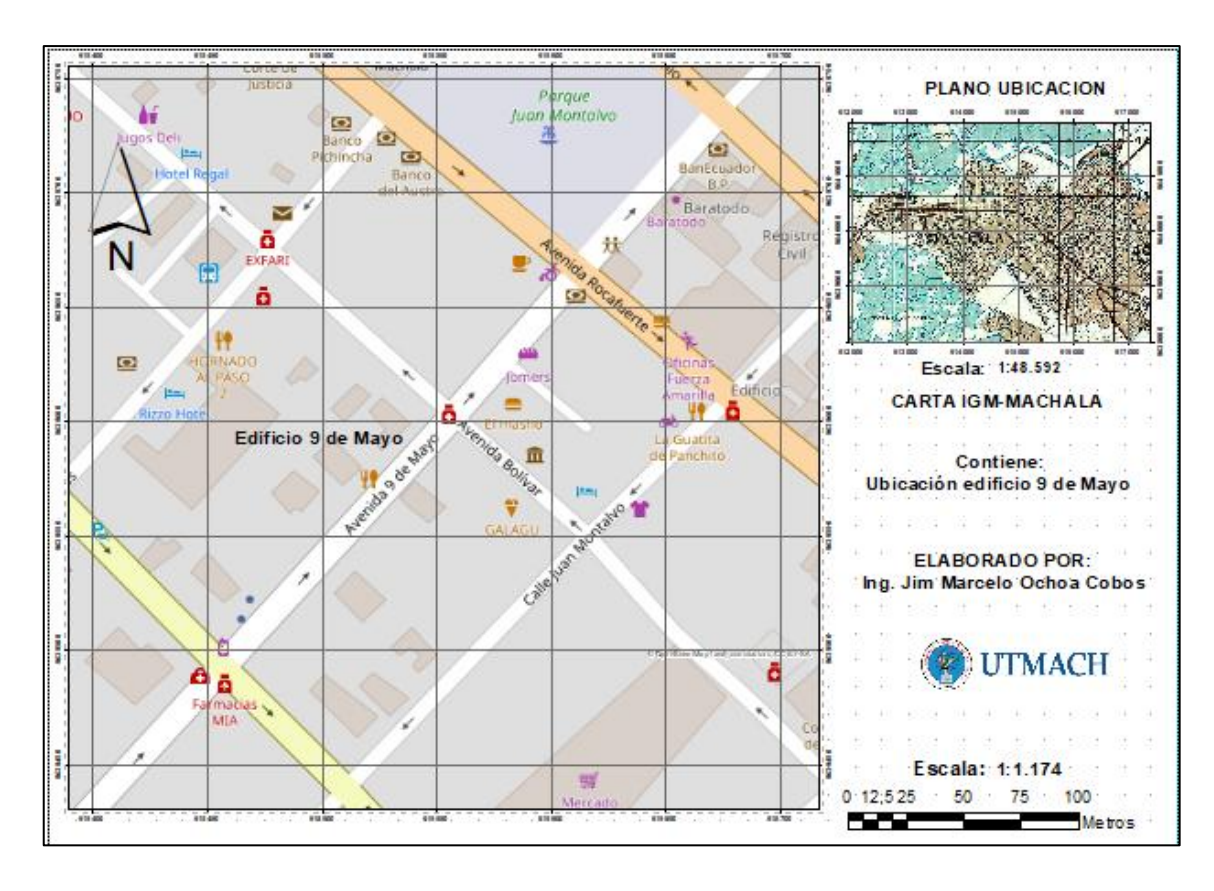


Ilustración 1. Ubicación del objeto de estudio

Fuente: Elaboración propia (2024)

1.1.5 Riesgo sísmico

Conforme a lo presentado por el Ministerio de Desarrollo y Vivienda (MIDUVI 2010) en su capítulo Peligro sísmico con código NEC-SE-DS determina que El Ecuador al ser un País costero, estar entre la zona de colisión de la placa tectónicas de Nazca y la placa continental sudamericana y estar sobre el cinturón de fuego del pacifico la mayor parte del ecuador se encuentra en una zona sísmica alta con excepción del Noreste del Oriente Ecuatoriano que se encuentra en una zona sísmica intermedia. (Velásquez-Espinales & Quiroz-Fernández, 2023)Con esto el cantón Machala se encuentra en una zona sísmica tipo V la cual se caracteriza como una zona de peligro sísmico alta. Ver en Tabla 3. Valores de z según la región sísmica.

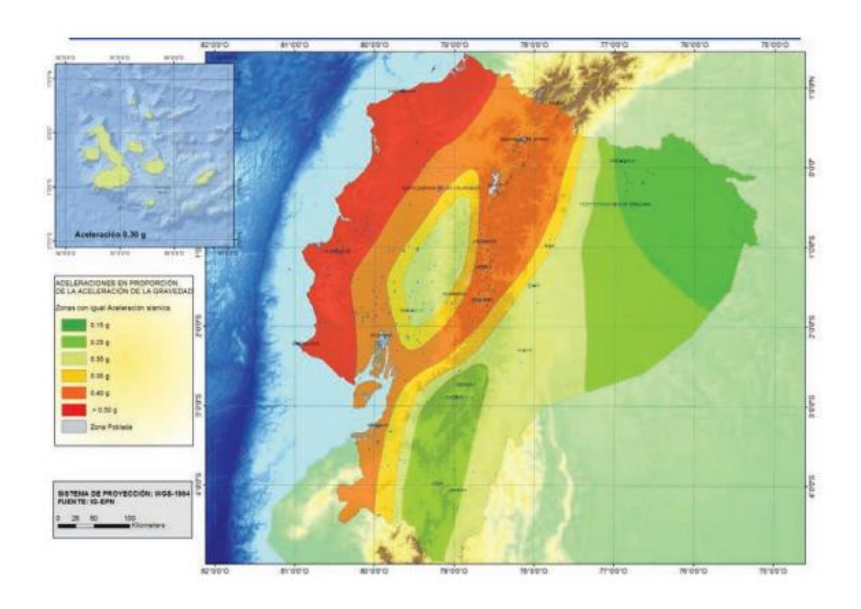


Ilustración 2. Zonificación sísmica y factor de zona Z

Fuente: Ministerio de Desarrollo Urbano y Vivienda (2014).

Región sísmica	I	II	III	IV	V	VI
Z	0.15	0.25	0.30	0.35	0.40	≥0.50
Clasificación del peligro sísmico	Intermedia	Alta	Alta	Alta	Alta	Muy Alta

Tabla 3. Valores de z según la región sísmica.

Fuente: Ministerio de Desarrollo Urbano y Vivienda (2014).

Con los datos obtenidos de la tabla luego de haber revisado el lugar en el que se encuentra la ciudad de Machala, se obtiene el valor del factor Z de 0.40G, valor que ayuda a determinar una correcta planificación en el uso del suelo, e implementar estructuras idóneas al lugar.

1.2 Descripción del problema

Gran parte de las construcciones en la ciudad de Machala suelen tener un diseño y construcción no adecuado, ya sea desde el proceso constructivo y manejo de materiales, hasta el incumplimiento de ciertos parámetros que rigen en las normativas y que son dadas por alto en obra.

Ciertas construcciones de la ciudad presentan una obsolencia estructural que afecta a la seguridad y funcionalidad de la infraestructura, tal es el caso que a veces se debe al tiempo de construcción las cuales al tener un diseño desactualizado a las normativas actuales los hace muy vulnerables ante este tipo de eventos.

La ausencia de mantenimiento a estas estructuras hace que la infraestructura se deteriore y pierda la funcionalidad de los elementos estructurales provocando que estas estructuras sean más vulnerables, a partir de daños menores los cuales se podrían haber solucionado con intervenciones tempranas, sin embargo, resultan con el tiempo costosas e imposibles de solventar los gastos para las reparaciones siendo esta una de las posibles causas por las cuales no se realizan los mantenimientos de las estructuras.

Dicha estructura debido a su nivel de servicio y a su forma geométrica tienen un alto índice de vulnerabilidad ante un evento sísmico, es por ello que se pretende realizar un análisis aplicando metodologías para determinar si el edificio es estructuralmente seguro ante amenazas sísmicas.

1.3 Formulación del problema

Las estructuras en edificaciones construidas en zonas sísmicas representan un riesgo muy significativo para los ocupantes en caso de un evento sísmico, en particular las estructuras que tienen pórticos a momentos las cuales tienden a ser mayormente vulnerables si no estan adecuadamente dimensionados o evaluados para soportar estos eventos. Después de analizar la problemática se plantea las siguientes preguntas científicas:

- ¿Cómo se desempeña una edificación con pórticos a momentos ante un evento sísmico en la ciudad de Machala considerando su vulnerabilidad?
- ¿Cuáles son los parámetros que se debe considerar para determinar el cumplimiento y el diseño de acuerdo a la normativa para este tipo de estructuras?
- ¿Qué metodologías pueden ser aplicadas para la correcta evaluación de este tipo de edificaciones?

1.4 Delimitación del objeto de estudio

Como objeto de estudio se pretende realizar la evaluación de la vulnerabilidad sísmica de un edificio en la ciudad de Machala con marcos especiales a momentos, enfocando el estudio en analizar y evaluar parámetros que permita entender el grado de vulnerabilidad en el que se encuentra la estructura ante fuerzas sísmicas y las medidas necesarias para su mitigación de tal manera que se obtenga información del comportamiento estructural dada la ubicación geográfica del Ecuador en una zona de alta actividad sísmica, siendo así en la zona del edificio que se encuentra en la avenida 9 de Mayo y Bolívar, Machala Ecuador.

1.5 Justificación

La ciudad de Machala, ubicada en la Costa del Ecuador, se encuentra en una zona geológica altamente activa debido a que se encuentra dentro del Cinturón de Fuego del Pacífico. En este contexto y debido a la alta actividad sísmica se exige que las edificaciones estén preparadas para enfrentar eventos sísmicos extremos.

La ciudad ha experimentado un aumento en su población, por ende, también existe un aumento en la construcción de nuevas edificaciones. Muchas de estas estructuras utilizan sistemas de marcos a momentos, los cuales son conocidos por su capacidad de disipar energía sísmica mediante deformaciones inelásticas controladas. Sin embargo, con el tiempo y el desgaste, estos sistemas pueden mostrar debilidades si no se han diseñado, construido o mantenido adecuadamente.

En eventos pasados, como el terremoto de Pedernales en 2016 se ha demostrado que las infraestructuras en áreas cercanas a la costa pueden sufrir graves daños estructurales y muchas de las edificaciones no han sido evaluadas ni reforzadas para cumplir con los estándares sísmicos actuales, la seguridad de los estudiantes y personal podría verse comprometida.

En algunos casos, las edificaciones podrían no haber sido diseñadas bajo las normativas sísmicas, lo que genera posibles deficiencias en términos de resistencia sísmica. La falta de estudios previos o la ejecución deficiente de la construcción puede ocasionar problemas de deformaciones excesivas, falla de conexiones críticas o uso de materiales de baja calidad que podrían comprometer la integridad de la estructura en un sismo.

El propósito principal de la investigación es garantizar la seguridad de las personas que interactúan diariamente en dicha edificación. Ante un sismo, las fallas estructurales en las

edificaciones pueden resultar en pérdidas humanas y materiales significativas. Realizar un análisis detallado de la vulnerabilidad sísmica permitirá priorizar las intervenciones necesarias y minimizar los riesgos.

La justificación del presente trabajo se fundamenta en analizar en base a metodologías ya conocidas para evaluar el comportamiento de una estructura, consolidando lo aprendido dentro de las aulas, compartiendo información para contribuir a futuros proyectos en la ciudad de Machala, además que servirá para la obtención del título de Ingeniero Civil en la Universidad Técnica de Machala.

1.6 Objetivos; general y específicos

Objetivo General:

Analizar el nivel de vulnerabilidad sísmica en edificaciones con pórticos a momentos mediante el estudio de metodologías que permitan la determinación del desempeño y grado de vulnerabilidad de la estructura.

Objetivos Específicos:

- Identificar parámetros que sirvan para el análisis del comportamiento estructural de un pórtico a momento mediante un registro bibliográfico para la extracción pertinente de la información necesaria.
- Identificar metodologías que sirvan para la evaluación de la vulnerabilidad a través de indicadores que determinen la respuesta de la estructura ante un evento sísmico.
- Analizar los resultados del comportamiento de la estructura debido a las cargas sísmicas permitiendo su respuesta y desempeño estructural para un mejor entendimiento.

2. CAPITULO II MARCO TEÓRICO

2.1 Antecedentes Contextuales

2.1.1 Macro

A nivel mundial se han realizado varios estudios analizando la vulnerabilidad en edificaciones siento esto un tema importante debido al impacto que generan estos eventos en las estructuras, llegando a perder vidas humanas y dejando consecuencias económicas para las poblaciones afectadas, para ello es importante normalizar que toda construcción

ya sea desde viviendas y hasta edificaciones cumplan con normativas de acuerdo a cada país o región.

Es fundamental evaluar una edificación que ya ha sido construida para determinar el nivel de vulnerabilidad y mitigar daños estructurales, para ello existen diversas metodologías que han sido desarrolladas por distintos autores y ya han sido aplicadas para estudios científicos que ayuden a determinar la vulnerabilidad, una de ellas es el índice de vulnerabilidad (RISK-UE) donde establece distintos escenarios de vulnerabilidad en edificaciones de hormigón evaluando y demostrando el efecto y el riesgo en áreas urbanas, siendo así que un edificio en Portugal demostró que presentaba graves daños en donde incumplía las normas de seguridad a través de esta metodología, y en base a resultados se optó para realizar un análisis más detallado con un modelo estático no lineal de tal manera que puedan concluir y proponer medidas para mitigar el daño.(Ferreira et al., 2019)

Para muchos autores o investigadores un evento sísmico es una oportunidad, ya que los resultados que se generan sirven para sustentar su trabajo de investigación demostrando que el análisis y la evaluación de la vulnerabilidad de estructuras en base a su metodología es idónea. En base a estudios de metodologías como el método de índice de vulnerabilidad donde se ha obtenido datos por medios estadísticos y visuales conjunto con diferentes metodologías, han servido para verificar el margen de error que conlleva evaluar con ciertas metodologías lo que resalta la necesidad de desarrollar métodos que eviten la dispersión de datos y llevar los errores al mínimo de tal manera que se pueda definir el nivel de vulnerabilidad de dicha edificación. (Romis et al., 2020)

Existen diversas metodologías que permiten evaluar de una manera más rápida como es la FEMA P154, la cual ha sido utilizada para medir la vulnerabilidad en edificaciones a mayor escala, siendo utilizada como un filtro para descartar edificaciones que no necesitan una evaluación más detallada, sin embargo es una metodología bastante rigurosa porque emplea parámetros desde definir metas y objetivos para luego enfocarse en el tipo de formulario a utilizar hasta revisar y sustentar cada parámetro que se requieren para el llenado de información y obtener su respectiva puntuación para saber si se requiere o no una evaluación ya con métodos invasivos u otros.(Khan et al., 2019)

En otras partes del mundo existe una desinformación de viviendas o edificaciones en el tema de la vulnerabilidad sobre todo si hablamos de las diferentes tipologías de construcciones que caracterizan esos territorios, es por ello que ahí resaltan metodologías donde no es posible recopilar ciertos datos como de eventos sísmicos y para eso utilizan el método de índice de vulnerabilidad (Benedetti, petrini,1984) permitiendo evaluar las edificaciones a través de indicadores vinculados a las características del lugar. Un estudio realizado en Pakistán en donde se evaluó una zona llena de edificaciones se observó unas estadísticas preocupantes debido a que la mayor parte de los edificios presentan una vulnerabilidad grado 3 según la escala macro sísmica europea y además existen otros con grados de mayor alto riesgo estructural según los estudios realizados en esa zona ver en la **Ilustración 3:** Edificio daños por grado. (Stefanini et al., 2020)

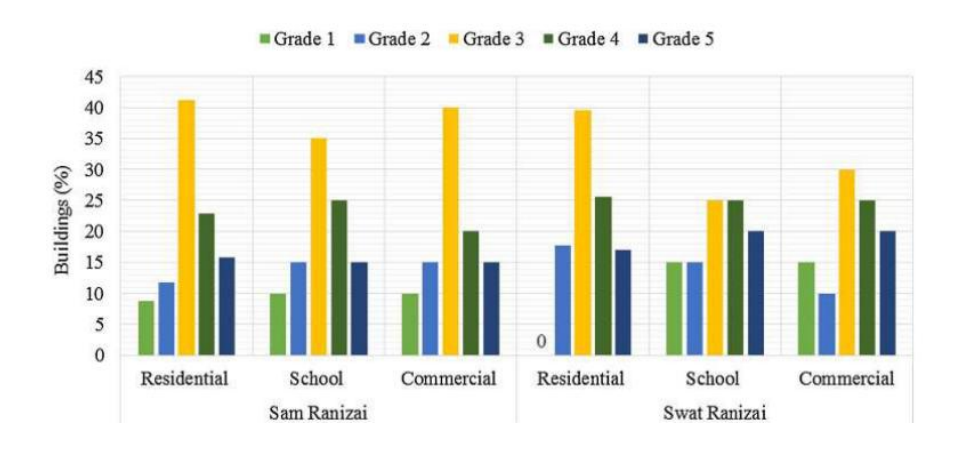


Ilustración 3: Edificio daños por grado

Fuente: Seismic vulnerability assessment of fes medina in Morocco

2.1.2 Meso

En un menor contexto como es el estudio de la vulnerabilidad sísmica en América es sustancial adquirir y compartir datos, e información debido a que son países aledaños a la zona de estudio en donde ciertas características pueden ser similares a las condiciones en nuestro territorio como es el caso de Perú en donde en un estudio utiliza el método de índice de vulnerabilidad usando el sistema de información geográfica considerando diferentes tipologías de viviendas y estudiando aproximadamente más de 3 mil edificaciones en una zona determinada donde la mayor parte de edificaciones presentan

una vulnerabilidad media considerando el material de construcción y otros factores que son importantes en la rigidez de la estructura, además se realizó un mapa de información geográfica en donde se muestra mediante una escala de colores los edificios y sus niveles de vulnerabilidad según el estudio realizado. **Ver en Ilustración 4:** Vulnerabilidad según escala de colores en zona de estudio. (Cervera et al., 2023)

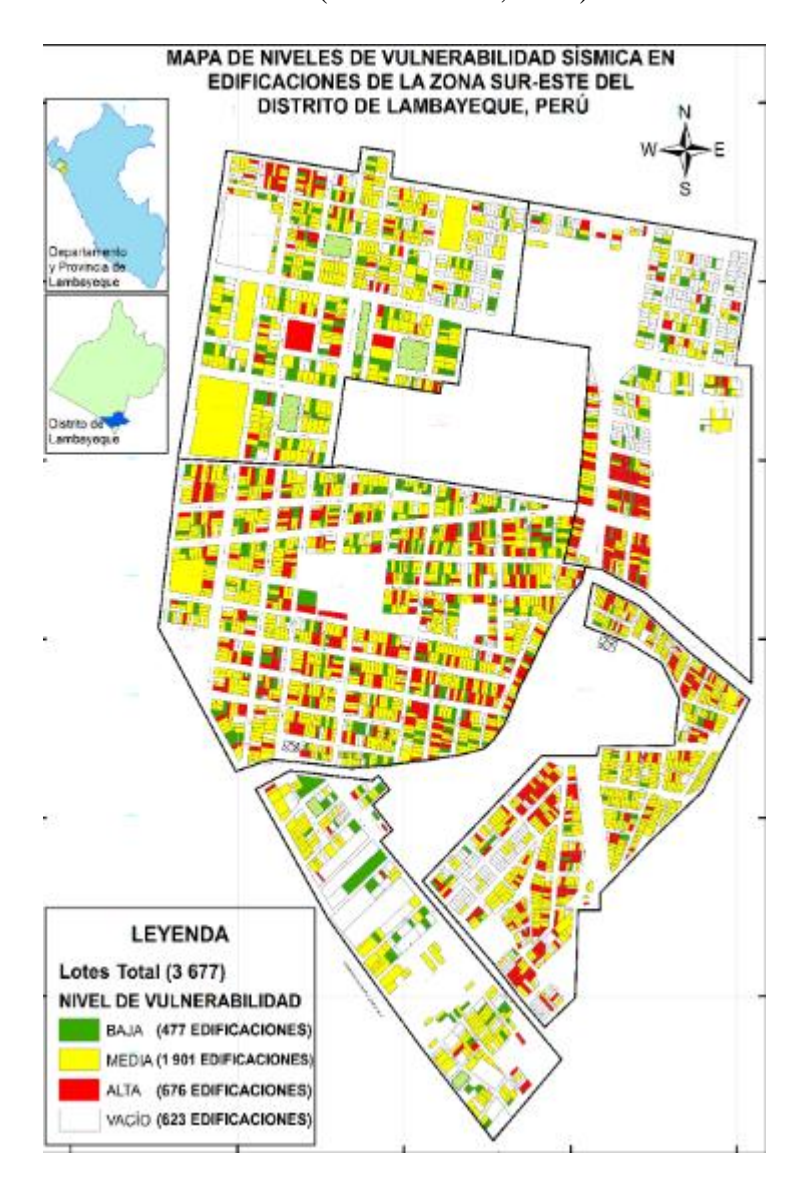


Ilustración 4: Vulnerabilidad según escala de colores en zona de estudio

Fuente: Seismic Vulnerability Index Method Using the Geographic Information System, An Application on an Urban Scale

Los diversos tipos de indicadores que ayudan a determinar si una edificación es vulnerable o no se basan y se rigen en ciertos estudios, un ejemplo es un estudio realizado en Venezuela donde establecen y estudian parámetros como los índices de priorización que ayudan a determinar que edificación debe ser intervenida por orden de mayor riesgo, estas estructuras que tienen un mayor índice de vulnerabilidad presentan características como problemas de irregularidades en planta y elevación, columnas cortas o simplemente construcciones inapropiadas en donde se puede demostrar que los elementos estructurales principales no van a tener un comportamiento adecuado ante un sismo.(Giménez et al., 2020)

Otro método para evaluar la vulnerabilidad es del GNDT (Grupo nacional de defensa contra terremotos) en donde establece muchos más parámetros y ha sido de utilidad para conocer los daños y pérdidas post-sismicas para diferentes escenarios, centrándose en características estructurales, el sector o edificios adyacentes, características de losa y cubiertas en la edificación para ello un estudio realizado en México se estudió 166 edificaciones de las cuales la mayor parte presentaba un vive de vulnerabilidad dañino y gravemente dañino según la EMS 98 proponiendo un plan de intervención y estrategias para solucionar los problemas en este sector.(Salazar & Ferreira, 2020)

Una de las metodologías actualmente más utilizada para el estudio del comportamiento tanto en respuesta como en desempeño estructural, es la metodología pushover el cual establece un análisis mucho más completo a diferencia de metodologías cualitativas basadas solo en indicadores, este método es utilizado para medir deformaciones estructurales en base a cargas laterales y teniendo como fuente principal tres grupos distintos de análisis como la inercia del primer modo, multimodo y vectores de modo adaptativo.(Kuria & Kegyes-Brassai, 2024)

2.1.3 Micro

El nivel de análisis en cuestión ya regional debe ser un estudio en mayor escala, como en otros países que utilizan una escala de colores en diversas zonas de estudio para determinar en masa los edificios que representen un riesgo para la población evitando así pérdidas humanas, sin embargo la falta de estudio e investigación hace que la información de vulnerabilidad en la región sea muy escasa y por lo general son de edificaciones que ya han colapsado o ya han sido demolidas por parte las autoridades.

A pesar de eso el Ecuador no se queda atrás y por ende se han realizado estudios donde buscan determinar el modelo de una estructura más resistente a eventos sísmicos para la construcción de viviendas y edificaciones en el Ecuador comparando los métodos convencionales de marcos de concreto reforzado con muros de concreto reforzado en viviendas de hasta dos niveles lo cual aporta en gran parte a determinar cuál es la opción más resistente, accesible e idónea para la construcción en el territorio ecuatoriano evaluando sus resultados bajo la normativa ecuatoriana NEC. (Ochoa-Guerrero et al., 2024)

La evaluación de la vulnerabilidad en la región no es la misma que en países vecinos como Colombia y Perú es por eso que algunos estudios enfocan la evaluación a normas más exigentes, para evitar que la estructura dependiendo de las condiciones se encuentren al límite y estén propensas a riesgos estructurales. Un estudio hecho en el país está enfocado en la comparación de estas distintas normas aplicando la metodología Pushover evaluando edificios de hormigón armado con las normativas de los países vecinos y la NEC. A partir de estos diseños, se realizó un análisis estático no lineal y se evaluó la vulnerabilidad de las estructuras mediante el método del espectro de capacidad. De los modelos estudiados, se determinó que los edificios diseñados bajo la normativa colombiana mostraron un bajo nivel de vulnerabilidad, a comparación a los edificios diseñados según la norma peruana fueron más rígidos y se observó que dichas estructuras reglamentadas bajo la NEC-2015 tienden a ser más vulnerables en comparación con las normas anteriormente mencionadas, siendo así un claro ejemplo es el valor de las derivas de piso, según la NEC-15 en Ecuador se permiten derivas de casi hasta el 2%, a diferencia de las normas peruanas que se permiten de hasta menos del 1% siendo así una norma más rigurosa. **Ver en Ilustración 5:** Derivas de piso NEC 15 VS E030.(Martínez et al., 2020)

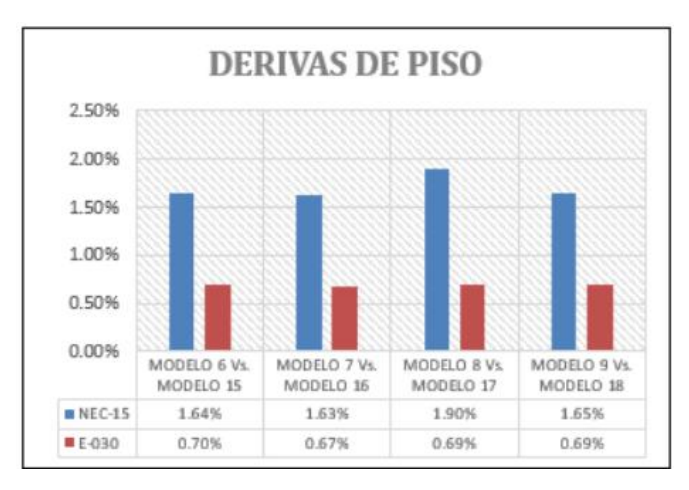


Ilustración 5: Derivas de piso NEC 15 VS E030

Fuente: Análisis estático no lineal en edificios de hormigón aplicando normativas ecuatorianas, colombianas y peruanas.

Debido al grado de peligrosidad que representa el que una edificación o cualquier estructura tenga condiciones o características que las haga vulnerables debe ser una obligación que se realice un estudio masivo en edificaciones ya que estas tienden a tener mayor cantidad de personas ocupando el lugar ya sea desde un estudio cualitativo hasta uno cuantitativo para determinar el nivel de peligrosidad a la que está sujeta esa estructura y proponer alternativas como un reforzamiento de elementos estructurales para evitar que la estructura en un futuro colapse.(Bungacho et al., 2022)

El nivel de vulnerabilidad en edificaciones fue puesto a prueba durante el terremoto del 16 de Abril, donde se vio la necesidad de que los profesionales en el campo de la construcción analicen los factores que han causado que las edificaciones hayan colapsado y más aún en la zona en específica donde sucedió el siniestro; Varios de estos factores tienen que ver sobre la construcción de pisos sobre pisos existentes sin reforzamiento alguno, la tipología estructural y otros efectos debido al sitio, según el estudio realizado en Portoviejo establecieron que en una muestra grande de edificaciones menos del 50% de edificaciones se consideraron seguras y aproximadamente el mismo número de edificaciones son de edificaciones inseguras y otras son recuperables .(Menéndez-Navarro et al., 2023)

2.2 Antecedentes conceptuales

2.2.1 Comportamiento sísmico

El comportamiento sísmico de las estructuras depende principalmente del tipo de suelo sobre el que se encuentra, propiedades mecánicas, geometría, propiedades dinámicas y la interacción que se efectúa entre el suelo y la estructura, ya que la propagación de ondas en el suelo produce vibraciones que la afectan directamente. (Núñez et al., 2021)

2.2.2 Torsión

La irregularidad torsional se produce principalmente por la excentricidad que se presenta entre el centro de gravedad y el centro rígido en una estructura, es decir la intensidad con la que se genera el momento respecto a la torsión es una función en relación con la excentricidad. (Naveen et al., 2019)

2.2.3 Sismo

Son eventos naturales que pueden generar daños materiales y pérdidas humanas en un breve lapso de tiempo, generando así consecuencias devastadoras tanto de forma poblacional como de forma monetaria.(Concepción Yamila et al., 2021)

2.2.4 Pushover

Se trata de un análisis no lineal estático, el cual se realiza con la finalidad de demostrar cómo se comporta una estructura en el rango no lineal a través de la curva de capacidad, resistencia lateral y la deformación inelástica. (Kuria & Kegyes-Brassai, 2024)

2.2.5 Irregularidad en edificaciones

Las irregularidades en edificaciones provocan un aumento en rotaciones o en desplazamientos excesivos en la estructura, modificando considerablemente el comportamiento sísmico en la estructura.(Garrido & Fernandez-Davila, 2024)

2.2.6 Vulnerabilidad sísmica

Se entiende por vulnerabilidad a los daños que se pueden generar en los diferentes elementos que conforman una edificación, lo cual puede reducirse daños si se preveen y se toma acciones correspondientes para disminuir la vulnerabilidad de la edificación. (Sociedad & Núñez, 2023)

2.2.7 Reforzamiento estructural

Se entiende por reforzamiento estructural a la corrección de las deficiencias estructurales en su totalidad presentada en viviendas y edificios para así poder aumentar la capacidad de comportarse ante un evento sísmico futuro. (Malavé-Laínez & Pinoargote-Rovello, 2023)

2.2.8 Resiliencia estructural

En el campo de la ingeniería esta interpretación hace mayormente referencia a la capacidad de que la estructura pueda recibir y reducir los movimientos o deformaciones de la misma debido a fuerzas externas y restablecer su nivel de funcionamiento original sin haber sufrido mayor cambio. (Ayala Milián, 2022)

2.2.9 NEC 2015

La NEC es la norma ecuatoriana la cual presenta un capítulo basado en el peligro sísmico, en donde se presenta todos los parámetros como espectros de diseños, zonas de riesgo sísmico, etc. Información que ayuda al Ingeniero o constructor tomar medidas al momento de diseñar una vivienda o edificación.(Alcivar Stalin et al., 2021)

2.2.10 Marcos Especiales a momento

Los marcos o pórticos especiales a momento son construcciones habituales como sistemas estructurales con vigas y columnas con característica de columna fuerte, viga débil y nudo rígido, siendo un sistema estructural capaz de resistir esfuerzos y a disipar las cargas laterales.(Abril Andrés et al., 2023)

2.2.11 Análisis estático lineal

El análisis estático lineal simula que dicha estructura trabaja en una sola dirección, siendo así que se toma en cuenta las cargas muertas, vivas para el pre-dimensionamiento de los elementos, llegando a obtener a través o en base a normativas los periodos, derivas, porcentajes etc.(Guerrero Cuasapaz & Maza Diaz, 2022)

2.2.12 ISE (Interacción suelo-estructura)

Se refiere así debido al comportamiento que tiene la estructura con respecto a la base en donde se asienta la estructura, y esto ayuda a determinar la respuesta de la estructura ante

un evento sísmico, permitiendo así conocer si la estructura está en peligro con respecto al suelo.(Izquierdo Acuña & Molina Camilo, 2023)

2.2.13 Piso blando

La formación de este fenómeno se le atribuye a la diferencia de rigidez que existe entre los pisos, siendo así pisos de menor y mayor rigidez lo cual afectaría a la edificación ante cargas sísmicas u otras fuerzas laterales considerándolo uno de los factores más críticos a considerar en el diseño de la edificación.(Ulutas, 2024)

2.2.14 Columna corta

Este efecto ocurre cuando una columna no tiene la libertad de deformarse a lo largo de su altura debido a elementos que restrinjan parcialmente su desplazamiento en su longitud, haciendo que se concentren las demandas de esfuerzos aumentando su falla frágil del elemento.(Wang et al., 2024)

2.2.15 Derivas de piso

Las derivas de piso se resumen como la diferencia entre los desplazamientos entre el nivel inferior y nivel superior usualmente causada por fuerzas laterales que empujan a la edificación y según la normativa este desplazamiento no debe exceder en un 2% para garantizar la seguridad de los ocupantes.(Cagua Brian et al., 2022)

2.3 Antecedentes Referenciales

Los pórticos a momentos son los sistemas estructurales más usados debido a su simplicidad en la construcción, gran parte de las edificaciones del país son hechas de hormigón armado siendo así uno de los principales motivos por los cuales se deben hacer estudios de vulnerabilidad en estas estructuras como cierto estudio en donde se realizó una investigación de forma cuantitativa como cualitativa, siguiendo un diseño metodológico no experimental y de campo. Una investigación se sustentó en metodologías como la FEMA P154 en donde enfoca de manera cualitativa a aspectos fundamentales que ponen en un mayor índice de vulnerabilidad a las estructuras a momentos debido a varios parámetros que evalúa esta metodología desde materiales, licuefacción se suelos, edad estructural, y demás con el fin del análisis de resultados

estableciendo ventajas de usar esta metodología. (Piedad Iñiguez Jiménez & Libertad, 2024)

Otras de las metodologías más utilizadas para evaluar edificaciones de una forma más detallada son con un análisis estático no lineal con el objetivo de dar a conocer cómo se comportará una estructura luego de su etapa de diseño considerando bases y características presentes en la norma ecuatoriana estimando a capacidad que resiste la estructura sometiéndola a cargas laterales. (Selena Mendoza-Intriago & Javier García-Vinces III, 2022)

3. CAPÍTULO III METODOLOGÍA

3.1. Modalidad básica de la investigación

En el presente trabajo se empleará una modalidad de investigación cualitativa y cuantitativa, de tal manera que se pueda determinar de una manera visual la evaluación de vulnerabilidad del edificio, además del análisis estático no lineal a partir de información como dimensiones de elementos estructurales, obteniendo a través de un modelado curvas de desempeño, capacidad y momentos permitiendo identificar en qué punto la estructura supera su límite elástico.

3.2. Tipo de investigación

Los tipos de investigación que se emplearán en el desarrollo del trabajo serán de índole documental, de campo y descriptiva, considerando que para cada modalidad es importante obtener información detallada y verídica de tal manera que se ajuste a un estudio que refleje el comportamiento real de la estructura.

3.2.1. Documental

Para llevar a cabo el tipo de investigación documental se sustenta en base de una revisión bibliográfica utilizando fuentes de artículos científicos, normativas de diseño sismoresistente nacionales e internacionales, con el fin de comprender los procesos que se deben establecer en el diseño y análisis de una edificación.

3.2.2. De Campo

El presente trabajo evaluará una edificación actualmente existente en donde se analizan los elementos estructurales, sus condiciones y sus procesos constructivos que se visualizan a través de planos constructivos, sin embargo, se hará una revisión en campo si se mantienen aún las secciones de los elementos como indica en los planos, además que se necesitará hacer una evaluación tipo cualitativa que nos ayude a medir su nivel de vulnerabilidad.

3.2.3. Descriptiva

En base a este tipo de investigación se busca caracterizar el estado actual de la edificación con respecto a su vulnerabilidad debido al alto índice de peligro sísmico que existe en la ciudad, analizando mediante un análisis no lineal para evaluar el desempeño de la estructura ante cargas sísmicas a través de información.

3.3. Objeto de estudio

La edificación que será evaluada mediante metodologías cualitativas y cuantitativas para determinar su desempeño sísmico es un edificio de 5 niveles que tiene un uso comercial y residencial, esta instalación se encuentra ubicado en la provincia de El Oro, ciudad de Machala, Parroquia 9 de mayo, entre la calle 9 de mayo y Bolívar.

3.4. Descripción de la población y muestra

La población en el presente trabajo estará formada por estructuras con marcos especiales a momentos, y la muestra se definiría según la ubicación en la que se encuentre dicha estructura a analizar, en este caso va a ser en la ciudad de Machala en donde se analizará el desempeño y comportamiento estructural.

3.5. Métodos teóricos

3.5.1. Selección de la estructura de estudio

La investigación de este trabajo de titulación tiene por objeto evaluar pórticos con marcos especiales a momentos que básicamente son estructuras que tienen conexiones rígidas entre vigas y columnas y son diseñadas para resistir fuerzas laterales como causadas por sismos etc.

Estas estructuras pueden ser de acero, hormigón o estructuras compuestas de hormigón y acero, para este caso se ha elegido una estructura con marcos especiales a momentos con todos los elementos estructurales de hormigón siendo este un proceso constructivo el más utilizado actualmente.

3.5.2. Caracterización del modelo estructural

Para empezar con la modelación es importante conocer todos los detalles estructurales que intervienen en la estructura, los cuales van a ser importantes a la hora de modelar para asignarle los valores correspondientes a cada elemento estructural, ya sea desde secciones o el acero que tiene dicho elemento. Es importante tomar en cuenta la resistencia con la que se ha trabajado en cada elemento estructural:

- Resistencia del concreto: f'c = 24 MPa
- Resistencia del acero: f'y = 420 MPa

Además, el módulo de elasticidad del concreto se ha calculado mediante la siguiente expresión:bueno

$$Ec = 15100 * \sqrt{f'c} = 233928,194 \frac{Kg}{cm^2}$$

3.5.3. Propiedades y dimensiones de los elementos estructurales

• **Vigas:** La estructura contiene vigas de hormigón armado que van desde el mezanine hasta el quinto piso con dimensiones variadas que se describen y se detallan en **Tabla 4:** Secciones de vigas de la estructura de estudio.

Piso	Dimensiones	Acero de refuerzo	Ilustración
Mezanine	35 cm x 50 cm	4 ø 18 mm Sup. Continuas 2 ø 12 mm Centrales 4 ø 18 mm Inf. Continuas Est. ø 10 mm. @ 10-15-10 cm.	0.35

Planta alta 1	35 cm x 50 cm	4 ø 18 mm Sup. Continuas 2 ø 12 mm Centrales 4 ø 18 mm Inf. Continuas Est. ø 10 mm. @ 10-15-10 cm.	0.50
Planta alta 2	35 cm x 50 cm	4 ø 18 mm Sup. Continuas 2 ø 12 mm Centrales 4 ø 18 mm Inf. Continuas Est. ø 10 mm. @ 10-15-10 cm.	0.35
Planta alta 3	30 cm x 50 cm	4 ø 18 mm Sup. Continuas 2 ø 12 mm Centrales 4 ø 18 mm Inf. Continuas Est. ø 10 mm. @ 10-15-10 cm.	0.30
Planta alta 4	35 cm x 50 cm	4 ø 18 mm Sup. Continuas 2 ø 12 mm Centrales 4 ø 18 mm Inf. Continuas Est. ø 10 mm. @ 10-15-10 cm.	0.50
Planta alta 5	35 cm x 50 cm	4 ø 18 mm Sup. Continuas 2 ø 12 mm Centrales 4 ø 18 mm Inf. Continuas Est. ø 10 mm. @ 10-15-10 cm.	0.35

Tabla 4: Secciones de vigas de la estructura de estudio

Fuente: Elaboración propia (2025)

• Columnas: La estructura contiene columnas de hormigón armado con un recubrimiento de 5 cm, cuenta con una distribución en base a las normativas de diseño, comenzando desde la planta baja con secciones mayores, y disminuyendo conforme avanza en pisos superiores, como se muestra a continuación como en la Tabla 5: Secciones de columnas de la estructura de estudio.

Piso	Dimensione	Acero de refuerzo	Ilustración
	S		
Mezanin e	40 cm x 70 cm	○ 14 Ø 22 mm. E Ø10 mm.@ 12 cm.	0.70
Planta alta 1	40 cm x 70 cm	○ 14 Ø 22 mm. E Ø10 mm.@ 12 cm.	0.70
Planta alta 2	40 cm x 50 cm	○ 12 Ø 20 mm. E Ø10 mm.@ 12 cm.	0.50

Planta alta 3	40 cm x 50 cm	○ 12 Ø 20 mm. E Ø10 mm.@ 12 cm.	0.50
Planta alta 4	40 cm x 45 cm	12 Ø 18 mm. E Ø10 mm.@ 12 cm.	0.45
Planta alta 5	35 cm x 35 cm	● 12 Ø 16 mm. E Ø10 mm.@ 12 cm.	0.35

Tabla 5: Secciones de columnas de la estructura de estudio

Fuente: Elaboración propia (2025)

3.6. Metodologías de evaluación

3.6.1. FEMA P-154

La metodología FEMA P-154 tiene por consideración formularios de evaluación en diferentes rangos de sismicidad, la implementación de este análisis permite realizar un diagnóstico de la edificación considerando parámetros basados en observaciones visuales, datos básicos del edificio, tipo de construcción, antigüedad y características geotécnicas del sitio.

En el desarrollo de esta metodología se tiene que elegir el tipo de formulario según la zona a estudiar, en base al mapa de zonificación sísmica, elaborado por el resultado de un estudio de la curva de peligro sísmico con un periodo de retorno de 475 años. Sin

embargo, aplicando las gráficas de curvas de peligro sísmico para un periodo estructural de 0.2 segundos, se tiene un resultado de z=0.54g, y para un periodo de 1 seg un z= 0.14 como se muestra en la **Ilustración 6:** Curva de peligro sísmico de Machala y su intersección a un periodo de retorno de 475 años.

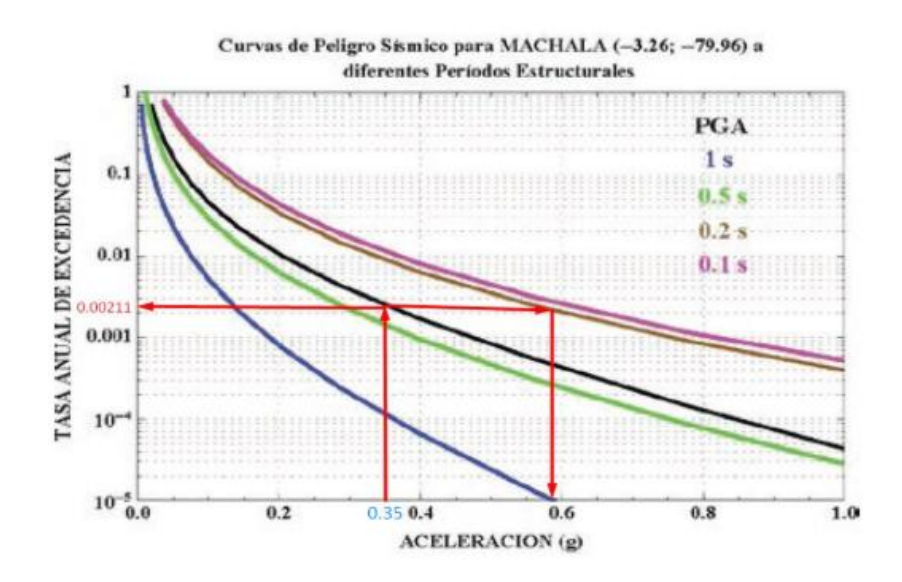


Ilustración 6: Curva de peligro sísmico de Machala y su intersección a un periodo de retorno de 475 años.

La metodología FEMA P-154 brinda al evaluador a escoger uno de cinco tipos de formularios para la valoración del inmueble, aunque los formularios están relacionados con la consideración de región sísmica en Estados Unidos. Si consideramos el valor de z como 0.54, para normativa NEC es considerado con una categorización sísmica muy alta, pero en la revisión de la metodología FEMA se considera el formulario sísmicamente moderadamente alto.(by the Applied Technology Council for the Federal Emergency Management Agency, 2015)

Formul	ario de Región sísmica	Respuesta de aceleración espectral, Ss (período corto o 0.2 segundos)	Respuesta de aceleración espectral, S1 (período largo o 1.0 segundo)
	Baja	menos de 0.25g	menor de 0.10g
	Moderada	mayor o igual a 0.25g pero menor a 0.50g	mayor o igual a 0.10g pero menor a 0.20g
	Moderadamente Alta	mayor o igual a 0.50g pero menor a 1.00g	mayor o igual a 0.20g pero menor a 0.40g
	Alta	mayor o igual a 1.00g pero menor a 1.50g	mayor o igual a 0.40g pero menor a 0.60g
	Muy Alta	mayor o igual a 1.50g	mayor o igual a 0.60g
Notas:g=ace	leración de la gravedad en dire	ección horizontal	
	Fuente: Rapid Visua	l Screening of Buildings for Potential Seismic Ha	azards (FEMA P-154)

Tabla 6: Rangos de aceleraciones para elección del tipo de formulario

Fuente: Rapid Visual Screening of buildings for Potential Seismic Hazards (FEMA P-154) Table 2-2. Pág. 2-16

En base a la tabla para la elección del tipo de formulario según la respuesta en aceleración espectral como se muestra en **Tabla 6:** Rangos de aceleraciones para elección del tipo de formulario, se ha elegido el siguiente formulario Ilustración 7: Formulario metodología FEMA P-154.

Rapid Visual Screening of Buildings for Potential Seismic Hazards

Level 1 ODERATELY HIGH Seismicity

FEMA P-154 Data C	ollection	n For	m								MC	DEF	RAI	ELY	HIG	iH Sei	ismic	city
							Add	ress:										
															Zip:			
							Oth	er Identi	fiers:									
i							Use	:										
							Lati	tude:				L	ongitu	de:				
	DUOT	OGRAP	ш				Ss:											
	PHUI	UGRAP	п												ne:			
																		7 FOT
							Tota	al Floor	Area (so	q. ft.):	e:				Co	ar Built: de Year:		□ EST
								litions: cupancy		one L embly	Yes, Ye			ervices		Historic	☐ Shelf	ter
								3.63	Indu Utilit	istrial ty	Office Warehou		School Residen	ntial, # l		Governmer	nt	
							Soil	Туре:	□ A Hard	□B Avg	□C Dense					DNK If DNK, ass	ите Туре	D.
									Rock	Rock	Soil	So	il S	Soil	Soil			
							_	ologic Ha acency:	azai US:		ction: Yes/ ounding					IK Surf. Ri Ier Adjacen		
							Irre	gularitie	s:	□P	ertical (typ lan (type)		_					
								erior Fal ards:	ling	□ P	Inbraced C arapets	himneys	3		eavy Cla opendag	dding or H es	leavy Ver	neer
			-			-	-	MMENT	-		Other:							
							- 100	MAIMICIAI	J.									
							-											
	SK	ETCH					\dashv	Additiona	al sketch	es or co	mments or	separat	te page	0				
		В	ASIC	sco	RE, MC	DIFIE	RS, A	ND FIN	IAL LE	EVEL	1 SCOF	RE, SL	1					
FEMA BUILDING TYPE	Do Not Know	W1	W1A	W2	S1 (MRF)	S2 (BR)	S3 (LM)	S4 (RC SW)	S5 (URM INF)	C1 (MRF)	C2 (SW)	C3 (URM INF)	PC1 (TU)	PC2	RM1 (FD)	RM2 (RD)	URM	МН
Basic Score		4.1	3.7	3.2	2.3	2.2	2.9	2.2	2.0	1.7	2.1	1.4	1.8	1.5	1.8	1.8	1.2	2.2
Severe Vertical Irregularity, V _{L1}		-1.3	-1.3	-1.3	-1.1	-1.0	-1.2	-1.0	-0.9	-1.0	-1.1	-0.8	-1.0	-0.9			-0.8	NA
Moderate Vertical Irregularity, V	f	-0.8	-0.8	-0.8	-0.7	-0.6	-0.8	-0.6	-0.6	-0.6	-0.6	-0.5	-0.6	-0.6			-0.5	NA
Plan Irregularity, PL1 Pre-Code		-1.3 -0.8	-1.2 -0.9	-1.1 -0.9	-0.9 -0.5	-0.8 -0.5	-1.0 -0.7	-0.8 -0.6	-0.7 -0.2	-0.7 -0.4	-0.9 -0.7	-0.6 -0.1	-0.8 -0.4	-0.7 -0.3	-0.7 -0.5		-0.5 -0.1	-0.3
Pre-Code Post-Benchmark		-0.8 1.5	-0.9 1.9	-0.9	-0.5 1.4	-0.5 1.4	1.0	-0.6 1.9	-0.2 NA	1.9	2.1	-0.1 NA	-0.4 2.1	-0.3	-0.5	-0.5	-0.1 NA	-0.3 1.2
Soil Type A or B		0.3	0.6	0.9	0.6	0.9	0.3	0.9	0.9	0.6	0.8	0.7	0.9	0.7	0.8	0.8	0.6	0.9
Soil Type E (1-3 stories)		0.0	-0.1	-0.3	-0.4	-0.5	0.0	-0.4	-0.5	-0.2	-0.2	-0.4	-0.5	-0.3	100000	5372533	-0.3	-0.5
Soil Type E (> 3 stories)		-0.5	-0.8	-1.2	-0.7	-0.7	NA	-0.7	-0.6	-0.6	-0.8	-0.4	NA	-0.5			-0.3	NA
Minimum Score, S _{MIN}		1.6	1.2	0.8	0.5	0.5	0.9	0.5	0.5	0.3	0.3	0.3	0.3	0.2	0.3	0.3	0.2	1.4
FINAL LEVEL 1 SCORE, S						.		8										
EXTENT OF REVIEW Exterior:		All Sides	П л	ial		R HAZ. re Hazard			v	1015.7900 SHOO	ION RE			Dom:	rod?			
Interior:	ne H	Visible	Ent	ered	Detailed				•		es, unknov			0.00		huildina		
Drawings Reviewed: Ye	,	Visible No		400.00		nding pote			>		es, unknov es, score l				oi otrier	bulluling		
Soil Type Source:					cut-c	off, if know	vn)			□ Y	es, other h							
Geologic Hazards Source:					☐ Fallir	ng hazard	ls from t	aller adja	cent		0							
Contact Person:					D Gool	ling logic haza	arde or C	oil Type	E	Detail	led Nonst	uctural	Evalua	tion Re	ecomme	nded? (ch	eck one)	
LEVEL 2 SCREENING	PERF	ORMF	D?			logic naza ificant dai										hould be e		
Yes, Final Level 2 Score,						structural:										quire mitig	ation, but	a
	Yes	-					\$1				etailed eva					☐ DNK		
-			85-75							10000	- 2					10000		
Where in	formation	cannot b	e verifie	d, scr	eener sha	ll note th	e follov	ving: ES	ST = Esti	mated o	or unreliat	le data	<u>OR</u>	DNK =	Do Not I	Know		

Ilustración 7: Formulario metodología FEMA P-154

3.6.2. Metodología NEC

En la norma ecuatoriana de la construcción, capítulo de rehabilitación sísmica de estructuras (NEC-SE-RE, 2015) pone como objetivo de la evaluación el "determinar el nivel de desempeño sísmico de la estructura, incluyendo la verificación de si el edificio puede permanecer estable durante y luego de ocurrido un sismo".

Para la evaluación de la vulnerabilidad se cuenta con un formulario diseñado para constructores y personal capacitado, esperando que la información se registre de manera correcta, al igual que el formulario FEMA P-154 en donde se otorga puntajes a la estructura, cuya suma o resta será un indicativo del grado de vulnerabilidad de la estructura, y por lo tanto saber si se necesita un estudio más detallado, en este se encuentran datos de la edificación, esquemas de la estructura, se identifica el sistema estructural, características del suelo, etc.

Mientras menor sea esta puntuación mayor será la vulnerabilidad de la estructura, un puntaje S=2 implica que hay una probabilidad de 1 en, 1 en 100 de que la edificación se derrumbe compartiendo la forma en la cual se interpreta el resultado con el formulario FEMA P-154. (Ministerio de Desarrollo Urbano y Vivienda, 2016).

El formulario a utilizar igual se basa en la tabla de la fema en la que se tiene que elegir el tipo de formulario según la zona a estudiar, en base al mapa de zonificación sísmica, elaborado por el resultado de un estudio de peligro sísmico para un periodo de retorno de 475 años. Sin embargo, aplicando las gráficas de curvas de peligro sísmico para un periodo estructural de 0.2 segundos, se tiene un resultado de z=0.54g, y para un periodo de 1 seg un z= 0.14 como se muestra en la **Ilustración 6:** Curva de peligro sísmico de Machala y su intersección a un periodo de retorno de 475 años. Por ende el tipo de formulario será en una región sísmica moderadamente alta

xo 1. FORMULARIO DE DETECCIÓN VISUAL RÁPIDA DE VULNERAB	ILIDAD	sisi	MICA	PARA	EDIFIC	ACION	ES										Vive
nulario de recopilación de datos con base al FEMA P-154												Mod	erada	mente	e Alta		
FOTOGRAFIA Y ESQUEMA ESTRUCTURAL DEL INMUEBLE			102	Nombre	de le Edi	icación:											
			103	Direcció	n: referenci	e.					105	Código I	Postal		1		
			106	Latitud	U90:						108	Locatus					
			107A 109	Zona: Ss.		107B					108A 110	Este: S1:					
			112	DATOS	del evatu	ador:	NAL										
			113	Registro DATOS	SENES						115 116	Fecha Hora:					
			118	Numera Sobre e	de Pisc	s:	N .				120	Bajo el S	Purala		4		
			119 121 123	Año de	construcc Año:	ión:					122	Area de Año(s) f Número	Construction	ción			
			124	Adiones	E .		Ninguna		SI		125 126	Número Clave C	de Predi atastral	0			
		-	200 201 202	Asamble Industria	CION:	3		Comerci	al			Servicio	de Eme	rgoncia			I
			203	Utildad		- 2		Alamaca	n			Educaci Residen					E
		- 1		Histório TIPO D):		Albergue	,			Público					
			204A 204B	P	A	D	B	Su		Si	D		E	Su	F	SI DNK,	10
			204C 205	RIESGO	OS GEOL	OGICOS	6bil	De		D	uro	1	ando	-	obre	ASsurer tip	10 D
			206 206A	Caldella	SI				31	8			de Supe SI	nicie:			_
			206B 206C	D	NK NK	-		DI					IO NK				
				Adyace 207A		Golpes		3	207B		Peligro d	to colde	tol Farm	o Actuan	ento		
				Irregula	-	Simoni.					ı. edioc	called 0		- rsuyaDi		_	_
			208A]Elovació	n (Tipo/s	everidad										
			208B		Planta (
				Peligro									Apres		14-7-1	20	_
			209A 209B		Reves.	as sin si Pesado o		eral a de made	ra posad	fa			209D 209E		Apéndic Parapet	er5 35	
			209C	Secretary.	Otros												
		- 1	210	COMEN	TARIOS												
Porticos de madera para edificios comerciales e industricales con un area de piso mayor a 500m2	W2		311	Pórtico	H. Arm	ado con	mampo	steria d	e rellend	sin ref	uerzo					C3	t
mayor a 500m2 Pórtico Acero Laminado (Portico Resistente a Momento) Pórtico Acero Laminado con diagonales	S1 S2		312 313	Losas	Prefabri	ada de rmado p	Hormig prefabrio	ón (Tilt-u	ib)							PC1 PC2	
mayor a 500m2 Portico Acero Laminado (Portico Resistente a Momente) Portico Acero Laminado con diagonales Portico Acero Laminado con diagonales Portico Acero Laminado con muros estructurales hormigón	\$1 \$2 \$3 \$4		312 313 314 315	Losas Portico Edificio Edificio	Prefabrio de H. A os de ma os de ma	ada de mado p imposte imposte	Hormig prefabrio ría refor ría refor	ón (Tilt-u ados zada co zada co	ip) n diafraș n diafraș	gmas fle	exibles					PC1 PC2 RM1 RM2	
mayor a 500m2 Pórtico Acero Laminado (Portico Resistente a Momento) Pórtico Acero Laminado con diagonales Pórtico Acero Liviano o Conformado en frío	\$1 \$2 \$3		312 313 314 315 316	Losas Portico Edificio Edificio	Prefabrio de H. A os de ma os de ma os de Ma	ada de rmado p imposte imposte mposte	Hormig prefabrio ría refor ría refor	ón (Tilt-u ados zada co	ip) n diafraș n diafraș	gmas fle	exibles					PC1 PC2 RM1 RM2 URM	
mayor a 500m2 Portico Acero Laminado (Portico Resistente a Momente) Portico Acero Laminado con diagonales Portico Acero Laminado con diagonales Portico Acero Laminado con muros estructurales hormigón	\$1 \$2 \$3 \$4 \$5		312 313 314 315 316 317 DIFICAL	Losas Portico Edificio Edificio Edificio Vivieno DORES	Prefabrio de H. A os de ma os de ma os de Ma da prefal 7 PUNTA	cada de rmado p imposte imposte mposte oricada JE FINA	Hormig prefabric ría refor ría refor ría no re	ón (Tilt-c cados zada co zada co forzada 1, SL1	ip) n diafraç n diafraç ne	gmas fli gmas rij	exibles gidos		URAL			PC1 PC2 RM1 RM2 URM	
mayor a 500m2 Portico Aceno Laminado (Portico Resistente a Momento) Portico Aceno Laminado con diagonales Portico Aceno Liviano o Conformado en filo Portico Aceno Liviano o Conformado en filo Portico Aceno Liviano o com	\$1 \$2 \$3 \$4 \$5	S, MO	312 313 314 315 316 317 DIFICAL	Losas Portico Edificio Edificio Edificio Vivieno DORES	Prefabrio de H. A os de ma os de ma os de Ma da prefal	cada de rmado p imposte imposte imposte pricada	Hormig prefabrio ría refor ría refor ría no re	ón (Tilt-s ados zada con zada con forzada 1, SL1	ıp) n diafraç n diafraç	gmas fli gmas rij	exibles gidos	PC1	URAL PC2	RM1 (FD)	RM2 (R0)	PC1 PC2 RM1 RM2 URM	
mayor a 500m2 Périco Azero Laminado (Portico Resistente a Momento) Périco Azero Laminado Con dagonales Périco Azero Laminado con dagonales Périco Azero Litamo o Conformado en fio Périco Azero Litamo o Conformado en fio Périco Azero Laminado com munos estructurales hormigón Périco Azero con paredes de mampostería de bioque PUNTAJES PARAMETROS CA PICATROS DE LA ESTRICTIDA (TPO DE EXPLODEMIN) PUNTAJES BASICO	\$1 \$2 \$3 \$4 \$5	W1A	312 313 314 315 316 317 DIFICAL	Losas Portico Edificio Edificio Edificio Vivieno DORES	Prefabrio de H. A os de ma os de ma os de Ma da prefal 7 PUNTA	cada de rmado p imposte imposte imposte pricada JE FINA \$3	Hormig prefabric ría refor ría refor ría no re L NIVEL	ón (Tilt-c cados zada co zada co forzada 1, SL1	n diafrag n diafrag n diafrag	gmas fle gmas ri ploga de C2	exibles gidos	PC1	PC2			PC1 PC2 RM1 RM2 URM	
mayor a 500m2 Portico Acen Laminado (Portico Resistente a Momento) Portico Acen Laminado (Portico Resistente a Momento) Portico Acen Laminado con diagonales Portico Acen Laminado con diagonales Portico Acen Laminado con mura estructurales homigón Portico Acen Con Laminado con mura estructurales homigón Portico Acen Con paredes de mampostería de bloque PUNTAJES PRIMARITROS CALESTRICTURA (TPO DE EBRODISMA) PUNTAJES ABICO RRIFEGULARIDADES	\$1 \$2 \$3 \$4 \$5 BASICO	W1A	312 313 314 315 316 317 DIFFICAL W2	Losas Portico Edificio Edificio Edificio Vivieno DORES S1 (MRF) 2,3	Prefabrio de H. A os de ma os de ma os de Ma da prefal Y PUNTA \$2 (BR)	mada de mado p imposte imposte imposte pricada JE FINA (M) 2,9	Hormig prefabric ría refor ría no re L NIVEL S4 (RC SW) 2,2	ón (Tilt-cados zada con zada con forzada 1, SL1 \$5 (URM NG)	n diafrag n diafrag n diafrag nec C1 (MRF)	gmas fligmas rigoromas rig	exibles gidos C3 (URM INF)	PC1 (TU) 1,8	PC2	(FI) 1,8	(Rit) 1,8	PC1 PC2 RM1 RM2 URM MH	
mayor a 500m2 Périco Azero Laminado (Portico Resistente a Momento) Périco Azero Laminado Con dagonales Périco Azero Laminado con dagonales Périco Azero Litamo o Conformado en fio Périco Azero Litamo o Conformado en fio Périco Azero Laminado com munos estructurales hormigón Périco Azero con paredes de mampostería de bioque PUNTAJES PARAMETROS CA PICATROS DE LA ESTRICTIDA (TPO DE EXPLODEMIN) PUNTAJES BASICO	\$1 \$2 \$3 \$4 \$5 BASICO	W1A 3,7	312 313 314 315 316 317 DIFFICAL W2	Losas Portico Edificio Edificio Edificio Vivieno DORES S1	Prefabrio de H. A os de ma os de ma os de Ma da prefal 7 PUNTA (BR)	mada de mado p imposte imposte imposte pricada JE FINA (IM)	Hormig prefabric ría refor ría no re L NIVEL S4 (RC SW)	ón (Tilt-cados zada con zada con forzada 1, SL1 S5 (URM NG)	n diafrag n diafrag n diafrag ne C1 (MRF)	gmas fle gmas ri DLOGADE C2 (SW)	exibles gidos 3. SISTEMA C3 (URM INF)	PC1 (TU)	PC2	(FD)	(R0)	PC1 PC2 RM1 RM2 URM MH	
mayor a 500m2 Périco Azero Laminado (Portico Resistente a Momento) Périco Azero Laminado Con dagonales Périco Azero Laminado con dagonales Périco Azero Laminado con dagonales Périco Azero Laminado com munos estructurales hormigón Périco Azero con paredes de mampostería de bioque PUNTAJES PRAMETROS CA EXAMOS OC LA ESTRICTIMA (TPO DE CERCO FIMA) PUNTAJES PRAMETROS CA EXAMOS OC LA ESTRICTIMA (TPO DE CERCO FIMA) PUNTAJE BÁSICO RIREGUIA MIRODES Introglatidad ventos Giove VI. 1 Introglatidad ventos Giove VI. 1 Introglatidad ventos Giove VI. 1 Introglatidad ventos (Des VI. 1) Introglatidad ventos (D. P. 1)	\$1 \$2 \$3 \$4 \$5 BASICO	W1A 3,7	312 313 314 315 316 317 DIFFICAL W2 3,2	Losas Portico Edificio Edificio Edificio Edificio Vivieno DORES S1 (MRF) 2,3	Prefabrio de H. A ss de ma ss de ma ss de Ma da prefal Y PUNTA \$2 (BR) 2,20	cada de rmado proposte imposte imposte imposte inicada JE FINA S3 (LM) 2,9	Hormig prefabric ría refor ría no re L NIVEL S4 (RC SW) 2,2	on (Tilt-tilados zada con zada con forzada 1, SL1 S5 (URM NG) 2	n diafrag	gmas flegmas rigoros r	exibles gidos C3 (usu nr)	PC1 (TU) 1,8	1,5	(FI) 1,8	(Rit) 1,8	PC1 PC2 RM1 RM2 URM MH	
mayor a 500m2 Périco Azero Laminado (Portico Resistente a Momento) Périco Azero Laminado Con dagonales Périco Azero Laminado con dagonales Périco Azero Laminado con dagonales Périco Azero Laminado com munos estructurales hormigón Périco Azero con paredes de mampostería de bioque PUNTAJES PRAMAETROS CA EXAMOS DE LA ESTRICTIBA (TPO DE ESPICO FEMIQ PUNTAJES PRAMAETROS CA EXAMOS DE LA ESTRICTIBA (TPO DE ESPICO FEMIQ PUNTAJES PRAMAETROS CA EXAMOS DE LA ESTRICTIBA (TPO DE ESPICO FEMIQ PUNTAJES ASICO RIREGUIA MIRADACES Introgulatidos venical Gravo VI. 1 Introgulatidos venical Gravo VI. 1 Introgulatidos venical Gravo VI. 1 Introgulatidos venical Robertodo, VI. 1 Introgulatidos periodos (P. I. 1 COCIGO DE LA CONSTRUCCIÓN PUNTAJES DE LA CONSTRUCCIÓN PUNTAJE	\$1 \$2 \$3 \$4 \$5 BASICO W1 4,1 -1,3 -0,8 -1,3	3,7 -1,3 -0,8 -1,2	312 313 314 315 316 317 DIFICAL W2 3,2 -1,3 -0,8 -1,1	Losas Portico Edificic Edificic Edificic Vivienc DORES S1 (MRF) 2,3 -1,1 -0,7 -0,9	Prefabrio de H. A ss de ma ss de ma ss de Ma da prefal 7 PUNTA \$2 (88) 2,20 -1 -0,6 -0,8	cada de mado pumposte imposte	Hormig prefabric ría refor ría no re L NIVEL S4 (RC SW) 2,2 -1 -0,6 -0,8	on (Tilt-section) on (Tilt-sec	n diafrag n diafrag n diafrag 1,7 -1 -0.6 -0.7	gmas flegmas rig	23 (URM INF) 1,4 -0,8 -0,5 -0,6	PC1 (m) 1,8 -1 -0,6 -0,8 -0,4	1,5 -0,9 -0,6 -0,7	(F0) 1,8 -1 -0,6 -0,7	(R0) 1,8 -1 -0,6 -0,7	PC1 PC2 RM1 RM2 URM MH 1,2 -0,8 -0,5 -0,5	
mayor a 500m2 Portico Acen Laminado (Portico Resistente a Momento) Portico Acen Laminado (Portico Resistente a Momento) Portico Acen Laminado con diagonales Portico Acen Laminado com diagonales Portico Acen Laminado com muras estructurales homigion Portico Acen Laminado com muras estructurales homigion Portico Acen Companies de mampostería de bioque PUNTAJES ASENCE RESISTANCIA (ESTINICTURA (TPO DE (EBROD FEMI) PUNTAJES ASENCE RESISTANCIA (SENIO SELA ESTINICTURA (TPO DE (EBROD FEMI) PUNTAJES ASENCE RESISTANCIA (SENIO SELA ESTINICTURA (TPO DE (EBROD FEMI) PUNTAJES ASENCE RESISTANCIA (SENIO SELA ESTINICTURA (TPO DE (EBROD FEMI) PUNTAJES ASENCE RESISTANCIA (SENIO SELA ESTINICTURA (TPO DE (EBROD FEMI) PUNTAJES ASENCE RESISTANCIA (SENIO SENIO SE	\$1 \$2 \$3 \$4 \$5 BASICO W1 4,1 -1,3 -0,8 -1,3	3,7 -1,3 -0,8 -1,2 -0,9	312 313 314 315 316 317 DIFICAL W2 3,2 -1,3 -0,8 -1,1	Losas Portico Edificio Edificio Vivienc DORES S1 MRF 2,3 -1,1 -0,7 -0,9 -0,5 0	Prefabrie de H. A ss de ma ss de ma ss de Ma da prefal 7 PUNTA 2,20 -1 -0,6 -0,8 -0,5	cada de mado pumposte imposte cricada JE FINA S3 (M) 2,9 -1,2 -0,8 -1 -0,7 0	Hormig prefabric ría refor ría no re L NIVEL S4 (8C SW) 2,2 -1 -0,6 -0,8	on (Tilt-scados) zada con zada con forzada 1, SL1 S6 (URM NG) 2 -0.9 -0.6 -0.7	n diafrag n diafrag n diafrag C1 (MRF) 1,7 -1 -0.6 -0.7	gmas flegmas rig	23 (USM INS) 1,4 -0,8 -0,6 -0,1	1,8 1,8 -1 -0,6 -0,8 -0,4 0	1,5 -0,9 -0,6 -0,7	1,8 -1 -0,6 -0,7 -0,5	(R0) 1,8 -1 -0,6 -0,7 -0,6 0	PC1 PC2 RM1 RM2 URM MH URM	
mayor a 500m2 Portico Acen Laminado (Portico Resistente a Momento) Portico Acen Laminado (Portico Resistente a Momento) Portico Acen Laminado con diagonales Portico Acen Laminado com diagonales Portico Acen Laminado com nurse estructurales homigón Portico Acen con paredes de mampostería de bioque PUNTAJES PREMATIROS CELESTRICTURA (TPO DE (ERROD FEMIQ PUNTAJES ARICO IRREGULARIDOS DE LA ESTRICTURA (TPO DE (ERROD FEMIQ PUNTAJES ARICO IRREGULARIDOS DE LA ESTRICTURA (TPO DE (ERROD FEMIQ PUNTAJES DE ACENTADOS DE LA ESTRICTURA (TROD FEMIQ PUNTAJES DE ACENTADOS DE LA ESTRICTURA (TROD FEMIQ PUNTAJES DE ACENTADOS DE LA ESTRICTURA (TROD FEMIQ PUNTAJES DE ACENTADOS DE	\$1 \$2 \$3 \$4 \$5 \$5 \$BASICO W1 -1,3 -0,8 -1,3 -0,8 0 1,5	3,7 -1,3 -0,8 -1,2 -0,9 0 1,9	312 313 314 315 316 317 316 317 W2 3,2 -1,3 -0,8 -1,1	Losas Portico Edificio Edificio Edificio Vivieno DORES \$1 (MRF) 2,3 -1,1 -0,7 -0,9 -0,5 0 1,4	Prefabrie de H. A os de ma os de ma os de ma os de Ma da prefal (PUNTA \$2 (BB) 2,20 -1 -0,6 -0,8 -0,5 0 1,4	cada de rmado proposte imposte	Hormig prefabric ría refor ría no re L NIVEL S4 (8C SW) 2,2 -1 -0,6 -0,8 -0,8 -0,6 0 1,9	on (Tilt-sados zada con forzada 1, SL1 S6 (URM ING) 2 -0.9 -0.6 -0.7 INA	n diafrag n diafrag C1 (MRF) 1,7 -1 -0,6 -0,7 -0,4 0	gmas fligmas riggmas r	control of the contro	PC1 (m) 1,8 -1 -0,6 -0,8 -0,4 0 2,1	9C2 1,5 -0,9 -0,8 -0,7 -0,3 -0,3 -0,2	1,8 -1 -0,6 -0,7 -0,5 0 2,1	(R0) 1,8 -1 -0.6 -0.7 -0.5 0 2,1	PC1 PC2 RM1 RM2 URM MH URM 1.2 -0.8 -0.5 -0.5 -0.1 NA	
mayor a 500m2 Perico Azero Laminado (Portico Resistente a Momento) Perico Azero Laminado Con dagonales Perico Azero Laminado con dagonales Perico Azero Laminado con dagonales Perico Azero Laminado com munos estructurales hormigón Perico Azero con paredes de mampostería de bioque PUNTAJES PRAMETROS CA EXAMOS OC LA ESTRICTIBA (TPO DE ESPICO FEMIQ PUNTAJES PRAMETROS CA EXAMOS OC LA ESTRICTIBA (TPO DE ESPICO FEMIQ PUNTAJES PRAMETROS CA EXAMOS OC LA ESTRICTIBA (TPO DE ESPICO FEMIQ PUNTAJES PRAMETROS CA EXAMOS OC LA ESTRICTIBA (TPO DE ESPICO FEMIQ PUNTAJES PRAMETROS CA EXAMOS OC LA ESTRICTIBA (TPO DE ESPICO FEMIQ PUNTAJES PRAMETROS CA EXAMOS OC LA ESTRICTIBA (TPO DE ESPICO FEMIQ PUNTAJES PRAMETROS CA EXAMOS OC LA ESTRICTIBA (TPO DE ESPICO FEMIQ PUNTAJES PRAMETROS CA EXAMOS OC LA ESTRICTIBA (TPO DE ESPICO FEMIQ PUNTAJES PRAMETROS CA EXAMOS OC LA ESTRICTIBA (TPO DE ESPICO FEMIQ PUNTAJES PRAMETROS CA EXAMOS OC LA ESTRICTIBA (TPO DE ESPICO FEMIQ PUNTAJES PRAMETROS CA EXAMOS OC LA ESTRICTIBA (TPO DE ESPICO FEMIQ PUNTAJES PRAMETROS CA EXAMOS OC LA ESTRICTIBA (TPO DE ESPICO FEMIQ PUNTAJES PRAMETROS CA EXAMOS OC LA ESTRICTIBA (TPO DE ESPICO FEMIQ PUNTAJES PRAMETROS CA EXAMOS OC LA ESTRICTIBA (TPO DE ESPICO FEMIQ PUNTAJES PRAMETROS CA EXAMOS OC LA ESTRICTIBA (TPO DE ESPICO FEMIQ PUNTAJES PRAMETROS CA EXAMOS OC LA ESTRICTIBA (TPO DE ESPICO FEMIQ PUNTAJES PRAMETROS CA EXAMOS OC LA ESTRICTIBA (TPO DE ESPICO FEMIQ PUNTAJES PRAMETROS CA EXAMOS OC LA ESTRICTIBA (TPO DE ESPICO FEMIQ PUNTAJES PRAMETROS CA EXAMOS OC LA ESTRICTIBA (TPO DE ESPICO FEMIQ PUNTAJES PRAMETROS CA EXAMOS OC LA ESTRICTIBA (TPO DE ESPICO FEMIQ PUNTAJES PRAMETROS CA EXAMOS OC LA ESTRICTIBA (TPO DE ESPICO FEMIQ PUNTAJES PRAMETROS CA EXAMOS OC LA ESTRICTIBA (TPO DE ESPICO FEMIQ PUNTAJES PRAMETROS CA EXAMOS OC LA ESTRICTIBA (TPO DE ESPICO FEMIQ PUNTAJES PRAMETROS CA EXAMOS OC LA ESTRICTIBA (TPO DE ESPICO FEMIQ PUNTAJES PRAMETROS CA EXAMOS OC LA ESTRICTIBA (TPO DE ESPICO FEMIQ PUNTAJES PRAMETROS CA EXAMOS OC LA ESTRICTIBA (TPO DE ESPICO FEMI	\$1 \$2 \$3 \$4 \$5 BASICO W1 4,1 -1,3 -0,8 -1,3	3,7 -1,3 -0,8 -1,2 -0,9	312 313 314 315 316 317 DIFICAL W2 3,2 -1,3 -0,8 -1,1	Losas Portico Edificio Edificio Vivienc DORES S1 MRF 2,3 -1,1 -0,7 -0,9 -0,5 0	Prefabrie de H. A ss de ma ss de ma ss de Ma da prefal 7 PUNTA 2,20 -1 -0,6 -0,8 -0,5	cada de mado pumposte imposte cricada JE FINA S3 (M) 2,9 -1,2 -0,8 -1 -0,7 0	Hormig prefabric ría refor ría no re L NIVEL S4 (8C SW) 2,2 -1 -0,6 -0,8	on (Tilt-scados) zada con zada con forzada 1, SL1 S6 (URM NG) 2 -0.9 -0.6 -0.7	n diafrag n diafrag n diafrag C1 (MRF) 1,7 -1 -0.6 -0.7	gmas flegmas rig	23 (USM INS) 1,4 -0,8 -0,6 -0,1	1,8 1,8 -1 -0,6 -0,8 -0,4 0	1,5 -0,9 -0,6 -0,7	1,8 -1 -0,6 -0,7 -0,5	(R0) 1,8 -1 -0,6 -0,7 -0,6 0	PC1 PC2 RM1 RM2 URM MH URM	
mayor a 500m2 Perico Azero Laminado (Portico Resistente a Momento) Perico Azero Laminado Con dagonales Perico Azero Laminado con dagonales Perico Azero Laminado con dagonales Perico Azero Laminado com munos estructurales hormigón Perico Azero com paredes de mampostería de bioque PUNTAJES PRAMETROS CA EXAMOS OC LA ESTRICTIBA (TRPO DE ESPICO FILMI) PUNTAJES PRAMETROS CA EXAMOS OC LA ESTRICTIBA (TRPO DE ESPICO FILMI) PUNTAJES PRAMETROS CA EXAMOS OC LA ESTRICTIBA (TRPO DE ESPICO FILMI) PUNTAJES PRAMETROS CA EXAMOS OC LA ESTRICTIBA (TRPO DE ESPICO FILMI) PUNTAJES PRAMETROS CA EXAMOS OC LA ESTRICTIBA (TRPO DE ESPICO FILMI) PUNTAJES PRAMETROS CA EXAMOS OC LA ESTRICTIBA (TRPO DE ESPICO FILMI) PROGRIGO GIOVA (TRECHO FILMI) PROGRIGO GIOVA (TRECHO FILMI) PROGRIGO ESTRICTIBA (TRECHO FILMI) PROGRIGO estrictiba de resistancia de 2015) SUBLEO SUBLE TO DE CA COMPATIBA (TRECHO) SUBLE TO DE SUBLE T	S1 S2 S3 S4 S5 S5 BASICO W1	W1A 3,7 -1,3 -0,8 -1,2 -0,9 0 1,9 0,6 0 -0,1	312 313 314 315 316 317 W2 3,2 -1,3 -0,8 -1,1 -0,9 0 2,3	Losas Portico Edificic S1 4MR9 2,3 -1,1 -0,7 -0,9 -0,5 -0 1,4 -0,6 -0 -0,4	Prefabrical Prefab	cada de mado proposte mado proposte mposte mposte proceda JE FINA (M) 2,9 -1,2 -0,8 -1 -0,7 0 1 0,3 0 0 0	Hormig prefabric ría refor ría refor ría no re s4 (ec sm) 2,2 -1 -0,6 -0,8 -0,8 -0,9 0 0 0 0 0	on (TiR-4) cados zada cor zada	ne diafrag	gmas fligmas rigidade control	2. SISTEMA (C3 (0884 BH)) 1,4 (0884 BH) 0,5 (0.5 (0.5 (0.5 (0.5 (0.5 (0.5 (0.5 (0.	PC1 (m) 1,8 -1 -0,6 -0,8 -0,4 0 2,1 0,9 0 -0,5	0,9 0,8 0,7 0,2,4	(FD) 1,8 -1 -0,6 -0,7 -0,5 0 2,1 0,8 0 -0,4	-1 -0.6 -0.7 -0.5 0 2.1 -0.8 0 -0.4	PC1 PC2 RM1 RM2 URM MH 1.2 -0.8 -0.5 -0.5 -0.1 0 NA 0.6 0 -0.3	
mayor a 500m2 Pertico Aero Laminado (Portico Resistente a Momento) Pertico Aero Laminado (Portico Resistente a Momento) Pertico Aero Laminado con dagonates Pertico Aero Laminado con dagonates Pertico Aero Laminado con murso estructurales hormigón Pertico Aero Laminado com murso estructurales hormigón Pertico Aero con paredes de mamposteria do Biloque PUNTAJES REPARADOS (ELASSINCERSA (PED EC IBRICO FISM) PUNTAJES ABACIO MIRROCLIAMARDES Introductados vincia (Garen VI.1 Introductados en plantes (P. 1) COCIDIO DE LA CORRITACIÓN Pine diosgo motimo (constitucto aero de constitucto de Const	\$1 \$2 \$3 \$4 \$5 \$5 \$BASICO W1 -1,3 -0,8 0 1,5	3,7 -1,3 -0,8 -1,2 -0,9 0 1,9 0,6 0	312 313 314 315 316 317 317 32 41,3 0,8 41,1 40,9 0 2,3	Losas Portico Edificio Edificio Edificio Edificio Edificio Edificio Edificio Edificio Edificio S1 garaj -1,1 -0,7 -0,9 -0,5 -0 1,4 -0,6 -0,6 -0	Profabrio de H. A ss de mass d	cada de mado proposte mosto de mado proposte mposte mposte mposte mposte principal de material de mate	Hormig Properties of the Control of	on (TiR-cados Zada cor Zada co	ne diafragine n di	gmas fligmas figmas fig	C3 (vieta ser) 1,4 -0,8 -0,5 -0,6 -0,1 0 NA	PC1 (m) 1,8 -1 -0,6 -0,8 -0,4 0 2,1 0,9 0	0,9 0,6 0,7 0,3 0 2,4	(FD) 1,8 -1 -0,6 -0,7 -0,5 0 2,1 0,8 0	(R0) 1,8 -1 -0.6 -0.7 -0.5 0 2,1 -0.8 0	PC1 PC2 RM1 RM2 URM MH 1.2 -0.8 -0.5 -0.5 -0.1 0 NA 0.6	
mayor a 500m2 Pertico Aero Laminado (Portico Resistente a Momento) Pertico Aero Laminado (Portico Resistente a Momento) Pertico Aero Laminado con dagonates Pertico Aero Laminado con dagonates Pertico Aero Laminado con murso estructurales hormigón Pertico Aero Laminado com murso estructurales hormigón Pertico Aero con paredes de manoposteria do Bioque PUNTAJES PRAMETROS CE FEATIVOS DE LASSINICIBAS (TRO DE ESPACIONES) PUNTAJES BABICO REFECULAMINADES PROVINCIA DE AGRICO PUNTAJES DAGO REFECULAMINADES PROVINCIA DE GARDO (L. L. L	S1 S2 S3 S4 S5 S4 S5	3,7 -1,3 -0,8 -1,2 -0,9 0 1,9 0,6 0 -0,1 -0,8 1,2	312 313 314 315 316 317 317 318 318 319 319 319 319 319 319 319 319 319 319	Losas Portico Edificic Edificic Edificic Edificic Edificic Edificic Edificic Edificic Viviences \$1 (MRF) 2,3 -1,1 -0,7 -0,9 -0,5 0 1,4 -0,7 -0,4 -0,7	Profabrical Profab	cada de rmado promoto de mado promoto de mado promoto de major de	Hormigionefabriciria reforiria no reforiria	on (TiR-4 cados) zada coo cados zada coo forzada coo forzada coo con forzada coo coo coo coo coo coo coo coo coo co	ne diafrag ne diafrag ne diafrag ne diafrag 1,7 -1 -0.6 -0.7 -0.4 0 1.9 -0.6 0 0.0 0.3	gmas fil gmas rig C2 (sw) 2.1 -1,1 -0,6 -0,9 -0,7 0 2.1 0,8 0 0,8 0 0,3	2. SISTEMA 1947 1.4 -0.8 -0.5 -0.6 NA -0.4 -0.4 -0.4 -0.3	PC1 (N) 1,8 -1 -0,6 -0,8 -0,4 0 2,1 0,9 0 -0,5 NA	9C2 1,5 -0,9 -0,8 -0,7 0 2,4 -0,7 0 -0,3 -0,3 -0,3 -0,3 -0,5	(F0) 1,8 -1 -0.6 -0.7 -0.5 0 2,1 0,8 0 -0.4 -0.6	(RD) 1,8 -1 -0.6 -0.7 -0.5 0 2,1 0.8 0 -0.4 -0.7	PC1 PC2 RM1 RM2 URM MH 1.2 -0.8 -0.5 -0.5 -0.1 0 NA -0.5 -0.3 -0.3 -0.3	
mayor a 500m2 Profice Azero Laminado (Portico Resistente a Momento) Profice Azero Laminado (Portico Resistente a Momento) Profice Azero Laminado con dagonatise Profice Azero Laminado con dagonatise Profice Azero Laminado com muro estructurales hormigón Profice Azero Laminado com muro estructurales hormigón Profice Azero Comparedos de mampostenta do Bioque PUNTAJES ASERO REMANDORES PUNTAJES ASERO REMANDOR	\$1 \$2 \$3 \$4 \$5 \$5 \$5 \$6 \$4,1 \$1,3 \$0,8 \$1,3 \$0 \$1,5 \$0 \$1,5 \$1,5 \$1,5 \$1,5 \$1,5 \$1,5 \$1,5 \$1,5	3,7 -1,3 -0,8 -1,2 -0,9 0 1,9 0,6 0 -0,1 -0,8 1,2 GOS:	312 313 314 315 316 317 317 317 318 318 319 319 319 319 319 319 319 319 319 319	Losas Portice Edifficic Edifficic Edifficic Vivienc DORES \$1 MRF; -0.7 -0.9 -0.5 0 1.4 -0.7 -0.9 -0.5	Profabric de H. A so de mar de La so de Ma so de	ada de mado propose de mado pr	Hormigionefabriciria reforiria no reforiria	on (TiR-cardos) zada coo zada coo forzada co forzada coo forzada coo 1, SL1 S6 (USM NG) 2 -0.9 -0.6 -0.7 -0.2 0 NA 0.9 0,5 -0.6 0,5	n diafrag n diafrag 1,7 -1 -0.6 -0.7 -0.4 0 1,9 0.6 0 0.2 -0.6 0,3	DIDGADE C2 [swg -1,1 -0,6 -0,9 -0,7 0 2,1 0,8 0 -0,2 -0,8 0,3	2. SISTEMA 1997) 1.4 -0.8 -0.5 -0.6 NA -0.7 0 0,7 0,3	PC1 (rtt) 1,8 -1 -0,6 -0,8 -0,4 0 2,1 0,9 0 -0,5 NA 9,3	9C2 1,5 -0,9 -0,8 -0,7 0 2,4 -0,7 0 -0,3 -0,3 -0,3 -0,3 -0,5	(F0) 1,8 -1 -0.6 -0.7 -0.5 0 2,1 0,8 0 -0.4 -0.6	(RD) 1,8 -1 -0.6 -0.7 -0.5 0 2,1 0.8 0 -0.4 -0.7	PC1 PC2 RM1 RM2 URM MH 1.2 -0.8 -0.5 -0.5 -0.1 0 NA -0.5 -0.3 -0.3 -0.3	
mayor a 500m2 Perficio Azero Laminado (Portico Resistente a Momento) Perficio Azero Laminado (Portico Resistente a Momento) Perficio Azero Laminado con diagonales Perficio Azero Laminado con diagonales Perficio Azero Laminado com munos estructurales hormigón Perficio Azero con paredes de mampostería de bioque PUNTAJES PRAMETION CALEXANDO OCLA ESTRICTIMA (TPO DE CERCOPIMA) PUNTAJES PRAMETION CALEXANDO OCLA ESTRICTIMA (TPO DE CERCOPIMA (TPO DE CER	\$1 \$2 \$3 \$4 \$5 \$5 \$5 \$6 \$4,1 \$1,3 \$0,8 \$1,3 \$0 \$1,5 \$0 \$1,5 \$1,5 \$1,5 \$1,5 \$1,5 \$1,5 \$1,5 \$1,5	3,7 -1,3 -0,8 -1,2 -0,9 0 1,9 0,6 0 -0,1 -0,8 1,2 GOS:	312 313 314 315 316 317 317 317 318 318 319 319 319 319 319 319 319 319 319 319	Losas Portice Edifficic Edifficic Edifficic Vivienc DORES \$1 MRF; -0.7 -0.9 -0.5 0 1.4 -0.7 -0.9 -0.5	Profabric de H. A so de mar de La so de Ma so de	ada de mado propose de mado pr	Hormigionefabriciria reforiria no reforiria	on (TiR-cados Zada coo Zada Co	n diafrag n diafrag no diafrag no diafrag 1,7 -1 -0.6 -0.7 -0.4 0 1.9 0.6 0.2 -0.2 ACCION	DIDGADE C2 (sw) 2,1 -1,1 -0,6 -0,9 -0,7 0 2,1 0,8 0,9 N REQUI	2. SISTEMA C3 C3 C0841 391) 1,4 -0,6 -0,5 -0,6 0 NA 0,7 0,7 0,7 0,3	PC1 (m) 1,8 -1 -0,6 -0,8 -0,4 0 0 2,1 0 0 0 0,3 NA 0,3	1,5 -0,9 -0,6 -0,7 -0,3 0, 2,4 -0,7 0, 3 -0,5 -0,2	1,8 -1 -0,6 -0,7 -0,5 0 2,1 0,8 0 -0,4 -0,6 0,3	(RD) 1,8 -1 -0.6 -0.7 -0.5 0 2,1 0.8 0 -0.4 -0.7	PC1 PC2 RM1 RM2 URM MH 1.2 -0.8 -0.5 -0.5 -0.1 0 NA -0.5 -0.3 -0.3 -0.3	
mayor a 500m2 Profice Azero Laminado (Portico Resistente a Momento) Profice Azero Laminado (Portico Resistente a Momento) Profice Azero Laminado con diagonales Profice Azero Laminado con diagonales Profice Azero Laminado com unuo estructurales hormigón Profice Azero Laminado com munos estructurales hormigón Profice Azero con paredes de mampostenta de Bioque PUNTAJES PRAMACTIOS CA EXANCIS DE LASSINCERRA (1900 ES ESCOPERA) PUNTAJES ASSICO RESCULARIO CONTROL (1900 ES ESCOPERA) PUNTAJES ASSICO RESCULARIO CIDADO (1900 ES ESCOPERA) PUNTAJES ASSICO RESCULARIO CIDADO (1900 ES ESCOPERA) PUNTAJES ASSICO RESCULARIO (1900 ES ESCOPERA)	\$1 \$2 \$2 \$3 \$3 \$4 \$4 \$5 \$5 \$8 \$8\$ \$6\$ \$4 \$4.1 \$1.3 \$0.8 \$1.5 \$0 \$0.3 \$0.5 \$1.5 \$1.5 \$1.5 \$1.5 \$1.5 \$1.5 \$1.5 \$1	W1A 3,7 -1,3 -0,8 -1,2 -0,9 0 1,9 0,6 0 -0,1 -0,8 1,2 GOS:	312 313 314 315 316 317 32 -1.3 -0.8 -1.1 -0.9 0 2.3 -0.3 -1.2 0.8	Losas Portice Edifficic Edifficic Edifficic Vivienc DORES \$1 MRF; -0.7 -0.9 -0.5 0 1.4 -0.7 -0.9 -0.5	Profabric de H. A so de mar de L. A so d	ada de mado ; mposte mp	Hormigionefabriciria reforiria no reforiria	on (TiR-cados Zada coo Zada co	n diafra	DIDGADE C2 (sw) 2.1 -1,1 -0,6 -0,9 2.1 0.8 0 0.3 N REQUI	2. SISTEMA C3 0.5 0.5 0.5 0.7 0.7 0.7 0.7 0.7 0.7 0.8 ERIDA:	PC1 (Tt0) 1,8 1,8 -1 -0,6 -0,8 -0,4 0 2,1 0,9 0 -0,5 NA 0,3	1,5 -0,9 -0,6 -0,7 -0,3 0, 2,4 -0,7 0, 3 -0,5 -0,2	1,8 -1 -0,6 -0,7 -0,5 0 2,1 0,8 0 -0,4 -0,6 0,3	(RD) 1,8 -1 -0.6 -0.7 -0.5 0 2,1 0.8 0 -0.4 -0.7	PC1 PC2 RM1 RM2 URM MH 1.2 -0.8 -0.5 -0.5 -0.1 0 NA -0.5 -0.3 -0.3 -0.3	
mayor a 500m2 Proficio Acero Laminado (Portico Resistente a Momento) Proficio Acero Laminado (Portico Resistente a Momento) Proficio Acero Laminado con dagonatise Proficio Acero Laminado con dagonatise Proficio Acero Laminado com murso estructurales hormigón Proficio Acero Laminado com murso estructurales hormigón Proficio Acero con paredes de manipostenta do Bioque PUNTAJES RESISTANDO (ELASSINCIBALTERO ELEBROCHEMA) PUNTAJES BABICO REFICIAL DE CONTROLO (CONTROLO ELEBROCHEMA) REFICIAL DE CONTROLO (CONTROL	\$1 \$2 \$3 \$3 \$4 \$5 \$5 \$8 \$4 \$6 \$5 \$1 \$1.3 \$1.3 \$1.3 \$1.3 \$1.3 \$1.5 \$1.5 \$1.5 \$1.5 \$1.5 \$1.5 \$1.5 \$1.5	W1A 3,7 -1,3 -0,8 -1,2 -0,9 0,6 0 -0,1 -0,8 1,2 GOS: an una	312 313 314 315 316 317 317 32 -1,3 -0,8 -1,1 -0,9 0 2,3 -0,9 0 0,9 0,0,8 -1,2 0,8	Losas Porlico Edificic Edificic Edificic Statis Statis -1,1 -0,7 -0,9 -0,5 0 1,4 -0,7 0,6 -0,6 -0,6 -0,7 -0,6	Profabrio de H. A. A. S. de mar so	ada de mado ; mposte mp	Hormig great the control of the cont	on (TiR-cados zada cor zada co	INFR C1 (MR7) 1,7 -1 -0,6 -0,7 -0,4 0 1,9 0,6 0 0,6 0,3 ACCION	DIDIGADE	1,4	PC1 (Tt0) 1,8 -1 -0.6 -0.8 -0.8 -0.4 0 2,1 0,9 0,9 0,3 Hada?	1,5 -0,9 -0,6 -0,7 -0,3 0, 2,4 -0,7 0, 3 -0,5 -0,2	1,8 -1 -0,6 -0,7 -0,5 0 2,1 0,8 0 -0,4 -0,6 0,3	(RD) 1,8 -1 -0.6 -0.7 -0.5 0 2,1 0.8 0 -0.4 -0.7	PC1 PC2 RM1 RM2 URM MH 1.2 -0.8 -0.5 -0.5 -0.1 0 NA -0.5 -0.3 -0.3 -0.3	
mayor a 500m2 Profice Azero Laminado (Portico Resistente a Momento) Profice Azero Laminado (Portico Resistente a Momento) Profice Azero Laminado con diagonales Profice Azero Laminado con diagonales Profice Azero Laminado com unuo estructurales hormigón Profice Azero Laminado com nunos estructurales hormigón Profice Azero con paredos de mamposteria de bioque PUNTAJES PRAMETIDO CA EXANCO DE LA ESTRICERRA (TPO LOS (ESPICOFEMA) PUNTAJES ASICO REMEDIDA APONDES Teroplanidas venicia (Societa) Te	\$1 \$2 \$3 \$3 \$4 \$5 \$5 \$8 \$4 \$6 \$5 \$1 \$1.3 \$1.3 \$1.3 \$1.3 \$1.3 \$1.5 \$1.5 \$1.5 \$1.5 \$1.5 \$1.5 \$1.5 \$1.5	W1A 3,7 -1,3 -0,8 -1,2 -0,9 0,6 0 -0,1 -0,8 1,2 GOS: an una	312 313 314 315 316 317 317 32 -1,3 -0,8 -1,1 -0,9 0 2,3 -0,9 0 0,9 0,0,8 -1,2 0,8	Losas Porlico Edificic Edificic Edificic State Porlico Edificic Ed	Profabrio de H. A. A. S. de mar so	ada de mado ; mposte mp	Hormig great the control of the cont	on (TiR-cados zada cor zada co	Inn diafrag	ODDIGADE	2. SISTEMA C3 0.5 0.5 0.5 0.7 0.7 0.7 0.7 0.7 0.7 0.8 ERIDA:	PC1 (Tt0) 1,8 -1 -0.6 -0.8 -0.8 -0.4 0 2,1 0,9 0,9 0,3 Hada?	1,5 -0,9 -0,6 -0,7 -0,3 0, 2,4 -0,7 0, 3 -0,5 -0,2	1,8 -1 -0,6 -0,7 -0,5 0 2,1 0,8 0 -0,4 -0,6 0,3	(RD) 1,8 -1 -0.6 -0.7 -0.5 0 2,1 0.8 0 -0.4 -0.7	PC1 PC2 RM1 RM2 URM MH 1.2 -0.8 -0.5 -0.5 -0.1 0 NA -0.5 -0.3 -0.3 -0.3	
mayor a 500m2 Proficio Acero Laminado (Portico Resistente a Momento) Proficio Acero Laminado (Portico Resistente a Momento) Proficio Acero Laminado con dagonatise Proficio Acero Laminado con dagonatise Proficio Acero Laminado com murso estructurales hormigón Proficio Acero Laminado com murso estructurales hormigón Proficio Acero con paredes de manipostenta do Bioque PUNTAJES RESISTANDO (ELASSINCIBALTERO ELEBROCHEMA) PUNTAJES BABICO REFICIAL DE CONTROLO (CONTROLO ELEBROCHEMA) REFICIAL DE CONTROLO (CONTROL	\$1 \$2 \$3 \$3 \$4 \$5 \$5 \$8 \$4 \$6 \$5 \$1 \$1.3 \$1.3 \$1.3 \$1.3 \$1.3 \$1.5 \$1.5 \$1.5 \$1.5 \$1.5 \$1.5 \$1.5 \$1.5	W1A 3,7 -1,3 -0,8 -1,2 -0,9 0,6 0 -0,1 -0,8 1,2 GOS: an una	312 313 314 315 316 317 317 32 -1,3 -0,8 -1,1 -0,9 0 2,3 -0,9 0 0,9 0,0,8 -1,2 0,8	Losas Porlico Edificic Edificic Edificic Statis Statis -1,1 -0,7 -0,9 -0,5 0 1,4 -0,7 0,6 -0,6 -0,6 -0,7 -0,6	Profabrio de H. A. A. S. de mar so	ada de mado ; mposte mp	Hormig great the control of the cont	on (TiR-cados zada cor cados zada cor cados zada cor cados cor cada cor cad	ne diafrag ne dia	gmas filingmas rigidad filingm	1,4	PC1 (10) 1,8 -1 -0,6 -0,8 -0,4 0 -2,1 0,9 0,-0,5 NA 0,3	1,5 -0,9 -0,6 -0,7 -0,3 -0 -0,3 -0,3 -0,3 -0,5 -0,2	1,8 -1 -0.6 -0.7 -0.5 0 2.1 0,8 0 -0.4 -0.6 9,3	1,8 1,8 1,8 1,0 0,6 0,7 0,0 0,0 2,1 0,0 0,0 0,0 0,0 0,0 0,0 0,0 0,0 0,0 0	PC1 PC2 RM1 PC2 RM1 RM2 URM MH URM MH URM NH PC5	
mayor a 500m2 Perico Azero Laminado (Portico Resistente a Momento) Perico Azero Laminado (Portico Resistente a Momento) Perico Azero Laminado Con diagonales Perico Azero Laminado con diagonales Perico Azero Laminado com unuo estructurales homigón Perico Azero Laminado com nunos estructurales homigón Perico Azero con paredos de mampostenta de bioque PUNTAJES PRAMETIOS CALEXANDO DE LA STIRECTIBA (TPO DE ESPICOFEMI) PUNTAJES PRAMETIOS CALEXANDO DE LA STIRECTIBA (TPO DE ESPICOFEMI) PUNTAJES PRAMETIOS CALEXANDO DE LA STIRECTIBA (TPO DE ESPICOFEMI) PUNTAJES PRAMETIOS CALEXANDO DE LA STIRECTIBA (TPO DE ESPICOFEMI) PUNTAJES (TREGULATOR DE ESPICOFEMI) PUNTAJES (TREGULATOR DE ESPICOFEMI) PUNTAJES (TREGULATOR DE ESPICOFEMI) SUBLO TORO DE LA CONSTITUCIÓN DE Code procede concessor de la constitución Constitución estapo de transciención Bolosia (2011) poe estes de 2015) PUNTAJES (TENES) Tipo de sublo (TeO PERIO) Tipo de sublo (TeO PERIO) Tipo de sublo (TeO PERIO) TUNTAJES (PAREL NUEL 1.9.1.1.5 MIN) PUNTAJES (PAREL NUEL 1.9.1.5.1.5 MIN) FUNTAJES (PAREL NUEL 1.9.1.5.1.5 MIN) FUNTAJES (PAREL NUEL 1.9.1.5 MIN) FUNTAJES	\$1 \$2 \$3 \$3 \$4 \$5 \$5 \$8 \$4 \$5 \$5 \$8 \$5 \$1 \$6 \$6 \$6 \$6 \$6 \$6 \$6 \$6 \$6 \$6 \$6 \$6 \$6	W1A 3,7 -1,3 -0,8 -1,2 -0,9 0 1,9 0,6 0 -0,1 -0,8 1,2 GOS: sen una	312 313 314 315 316 317 316 32 -1.3 -0.8 -1.1 0.9 0 0 0 0 0 0 0 0 0 0 0 0 0 0 0 0 0 0	Losas Portico Edificic 1-1,1 -0,7 -0,9 -0,5 -0,1 -1,4 -0,7 -0,6 -0,4 -0,7 -0,5	Profabrio de H. Profabrio de H. Profabrio de H. Profabrio de H. Profabrio de M. Profabrio de M	ada de mado ; mposte mp	Hormig great the control of the cont	on (TiR-cados zada cor cados zada cor cados zada cor cados cor cada cor cad	nn diafrag nn diafrag nn diafrag nn diafrag (MR7) 1,7 -1 -0,6 -0,7 -0,4 0 0 1,9 0,6 0,3 ACCION	gmas filingmas rigidad filingm	2. SISTEMM (1997) 1.4 -0.8 -0.5 -0.5 -0.5 -0.6 NA -0.4 -0.4 -0.3 -0.4 -0.3 -0.5 -0.6 -0.5 -0.6 -0.7 -0.6 -0.7 -0.7 -0.8 -0.8 -0.8 -0.8 -0.8 -0.8 -0.8 -0.8	PC1 (TV) 1,8 -1 -0,6 -0,8 -0,8 0 2,1 0,9 0,9 0,3 Hada?	1,5 -0,9 -0,6 -0,7 -0,3 -0 -0,3 -0,3 -0,5 -0,2 -0,3 -0,5 -0,2 -0,3 -0,5 -0,2	1,8 -1 -1 -0.6 -0.7 -0.5 0 -0.1 0,8 0 -0.4 -0.6 0,3	(50) 1,8 1,8 -1 -1 -0.6 -0.7 -0.5 0 2,1 -0.8 0 -0.4 -0.7 0,3	PC1 PC2 RM11 PC2 RM11 URM H 1.2 1.2 0.5 -0.5 -0.5 -0.5 -0.5 -0.5 -0.7 -0.7 -0.7 -0.7 -0.7 -0.7 -0.7 -0.7	
mayor a 500m2 Profice Acero Laminado (Portico Resistente a Momento) Profice Acero Laminado (Portico Resistente a Momento) Profice Acero Laminado (Portico Resistente a Momento) Profice Acero Laminado com dagonatise Profice Acero Laminado com unuro estructurales homigón Profice Acero Laminado com munos estructurales homigón Profice Acero Laminado Comento Laminado Lam	\$1 \$2 \$3 \$3 \$4 \$5 \$5 \$8 \$4 \$5 \$5 \$8 \$5 \$1 \$6 \$6 \$6 \$6 \$6 \$6 \$6 \$6 \$6 \$6 \$6 \$6 \$6	W1A 3,7 -1,3 -0,8 -1,2 -0,9 0 1,9 0,6 0 -0,1 -0,8 1,2 GOS: an una a	312 313 314 315 316 317 32 -1,3 -0,8 -1,1 -0,9 0 2,3 -0,3 -1,2 0,8 -0,3 -1,2 0,8 -0,8 -0,3 -1,2 0,8 -0,8 -0,8 -0,8 -0,8 -0,8 -0,8 -0,8	Losas Portico Edificic 1 0,7 0,9 0,9 1,4 1,4 0,7 0,5 0 0,5 0 0,0,4 0,7 0,5 0 0,5 0 0,6 0,7 0,7 0,9 0,5	Profabrio de H. A de	cada de mado p mado p mado p mado p mado p mado p mposte p mpo	Hormig profabric (Fa refor fa	on (TiR-cada coados cados cados cados cados cados cados cados cado cado cada coado cada coado cada coado cada coado cada coado cada cada	no diafragino diafragin	ODOGADE C2 (pw) 2.1 -1,1 -0.6 -0.9 -0.2 -0.8 0 8. specified energy of the control	2. SISTEMA (C3)	PC1 (105 1.8 1.8 1.8 1.8 1.8 1.8 1.8 1.8 1.8 1.8	1,5 1,6 0,9 0,6 0,7 0,7 0,3 0 2,4 0,5 0,2 0,7 0,7 0,7 0,7 0,7 0,7 0,7 0,7 0,7 0,7	1,8 -1 -0,6 -0,7 -0,5 0 -2,1 -0,8 0 -0,4 -0,6 0,3	0.80 0.80 0.80 0.80 0.80 0.80 0.80 0.80	PC1 PC2 RM11 PC2 RM11 URM H URM 1,2 -0,8 -0,5 -0,5 -0,1 0 NA -0,3 0,2 -0,3 0,2 -0,0 -0,3 -0,3 -0,2	a a a a a a a a a a a a a a a a a a a
mayor a 500m2 Profice Acero Laminado (Portico Resistente a Momento) Profice Acero Laminado (Portico Resistente a Momento) Profice Acero Laminado (Portico Resistente a Momento) Profice Acero Laminado com dagonatise Profice Acero Laminado com unuro estructurales homigón Profice Acero Laminado com munos estructurales homigón Profice Acero Laminado Comento Laminado Lam	\$1 \$2 \$3 \$3 \$4 \$5 \$5 \$4 \$5 \$5 \$4 \$5 \$5 \$6 \$6 \$6 \$6 \$6 \$6 \$6 \$6 \$6 \$6 \$6 \$6 \$6	W1A 3,7 -1,3 -0,8 -1,2 -0,9 0 1,9 0,6 0 -0,1 -0,8 1,2 GOS: an una a	312 313 314 315 316 317 32 -1,3 -0,8 -1,1 -0,9 0 2,3 -0,3 -1,2 0,8 -0,3 -1,2 0,8 -0,8 -0,3 -1,2 0,8 -0,8 -0,8 -0,8 -0,8 -0,8 -0,8 -0,8	Losas Portico Edificic 1 0,7 0,9 0,9 1,4 1,4 0,7 0,5 0 0,5 0 0,0,4 0,7 0,5 0 0,5 0 0,6 0,7 0,7 0,9 0,5	Profabrio de H. A de	cada de mado p mado p mado p mado p mado p mado p mposte p mpo	Hormig profabric (Fa refor fa	on (TiR-cada cados cados cados cados cados cados cados cados cada corrector cada cado cado cada cado cado cado cado	no diafragino diafragin	DUDGADE C2 pwg 2,1 -1,1 -0,6 -0,9 -0,2 -0,8 -	2. SISTEMA (C3)	PC1 (TV) 1,8 -1 -0.6 -0.8 -0.8 -0.4 0 2,1 -0.5 NA 0,9 0 0,3 -0.5 NA 0,3 -0.5 NA describe detailadd?	1,5 1,5 0,9 0,6 -0,7 0,3 0 2,4 0,7 0,3 0,5 0,5 0,2 2.4 a recomm	1,8 -1 -0,6 -0,7 -0,5 0 -2,1 -0,8 0 -0,4 -0,6 0,3	(50) 1,8 1,8 -1 -1 -0.6 -0.7 -0.5 0 2,1 -0.8 0 -0.4 -0.7 0,3	PC1 PC2 RM11 PC2 RM11 URM H URM 1,2 -0,8 -0,5 -0,5 -0,1 0 NA -0,3 0,2 -0,3 0,2 -0,0 -0,3 -0,3 -0,2	a a a a a a a a a a a a a a a a a a a
mayor a 500m2 Perico Azero Laminado (Portico Resistente a Momento) Perico Azero Laminado (Portico Resistente a Momento) Perico Azero Laminado con dagonales Perico Azero Laminado con dagonales Perico Azero Laminado com mune se estructurales hormigón Perico Azero Laminado com munes estructurales hormigón Perico Azero con paredes de mampostería de bioque PUNTAJES PRABACTION CALEXANCO (C. LA SSINCKINA (1PO IX (ESPICOFIMA) PUNTAJES PRABACTION CALEXANCO (C. LA SSINCKINA (1PO IX (ESPICOFIMA) PUNTAJES PRABACTION CALEXANCO (C. LA SSINCKINA (1PO IX (ESPICOFIMA) PUNTAJES PRABACTION CALEXANCO (C. LA SSINCKINA (1PO IX (ESPICOFIMA) PUNTAJES PRABACTION CALEXANCO (C. LA SSINCKINA (1PO IX (ESPICOFIMA) PUNTAJES (C. LA CONSTILLO (1PO IX	\$1 \$2 \$3 \$3 \$4 \$5 \$5 \$4 \$5 \$5 \$4 \$5 \$5 \$6 \$6 \$6 \$6 \$6 \$6 \$6 \$6 \$6 \$6 \$6 \$6 \$6	W1A 3,7 -1,3 -0,8 -1,2 -0,9 0 1,9 0,6 0 -0,1 -0,8 1,2 GOS: an una a	312 313 314 315 316 317 32 -1,3 -0,8 -1,1 -0,9 0 2,3 -0,3 -1,2 0,8 -0,3 -1,2 0,8 -0,8 -0,3 -1,2 0,8 -0,8 -0,8 -0,8 -0,8 -0,8 -0,8 -0,8	Losas Portico Edificic 1 0,7 0,9 0,9 1,4 1,4 0,7 0,5 0 0,5 0 0,0,4 0,7 0,5 0 0,5 0 0,6 0,7 0,7 0,9 0,5	Profabrio de H. A de	cada de mado p mado p mado p mado p mado p mado p mposte p mpo	Hormig profabric (Fa refor fa	on (TiR-cada cados cados cados cados cados cados cados cados cada corrector cada cado cado cada cado cado cado cado	nn diafra;	DIJOGA 04 C2 (sw)	2. SISTEMA: 2. SISTEMA: 2. SISTEMA: 2. SISTEMA: 2. SISTEMA: 2. SISTEMA: 3. SISTEMA: 4. SISTEMA: 4. SISTEMA: 4. SISTEMA: 5. SISTEMA: 6. SI	PC1 (10) 1,8 -1 -0,6 -0,8 -0,4 0 2,1 2,1 2,1 0,9 0,3 1Mada? FEMA described functionals described functionals described for the control of the	1,5 1,5 0,9 0,6 0,7 40,3 0 2,4 2,4 0,7 0,9 9,2 40,3 0,7 0,7 0,7 0,7 0,7 0,7 0,7 0,7 0,7 0,7	1,8 1,8 -1 -0,6 -0,7 -0,5 0 2,1 0,8 0 -0,4 -0,6 0,3	(R8) 1,8 -1 -0.6 -0.7 -0.5 -0.9 -0.1 -0.9 -0.4 -0.7 -0.3 -0.3	PC1 PC2 RM11 PC2 RM11 URM H URM 1,2 -0,8 -0,5 -0,5 -0,1 0 NA -0,3 0,2 -0,3 0,2 -0,0 -0,3 -0,3 -0,2	
mayor a 500m2 Perfecio Acero Laminado (Portico Resistente a Momento) Perfecio Acero Laminado (Portico Resistente a Momento) Perfecio Acero Laminado con dagonales Perfecio Acero Laminado con dagonales Perfecio Acero Laminado com munos estructurales hormigón Perfecio Acero Cano paredes de mampostería de bioque PUNTAJES PRAMETROS CALFICATIVOS OCIA ESTRICTIMA (TPO DE CERCOFIMA) PUNTAJES PRAMETROS OCIA ESTRICTIMA (TPO DE CERCOFIMA) PUNTAJE (TRANSPORTIMA	\$1 \$2 \$3 \$3 \$4 \$5 \$5 \$4 \$5 \$5 \$4 \$5 \$5 \$6 \$6 \$6 \$6 \$6 \$6 \$6 \$6 \$6 \$6 \$6 \$6 \$6	W1A 3,7 -1,3 -0,8 -1,2 -0,9 0 1,9 0,6 0 -0,1 -0,8 1,2 GOS: an una a	312 313 314 315 316 317 32 -1,3 -0,8 -1,1 -0,9 0 2,3 -0,3 -1,2 0,8 -0,3 -1,2 0,8 -0,8 -0,3 -1,2 0,8 -0,8 -0,8 -0,8 -0,8 -0,8 -0,8 -0,8	Losas Portico Edificic 1 0,7 0,9 0,9 1,4 1,4 0,7 0,5 0 0,5 0 0,0,4 0,7 0,5 0 0,5 0 0,6 0,7 0,7 0,9 0,5	Profabrio de H. A de	cada de mado p mado p mado p mado p mado p mado p mposte p mpo	Hormig profabric (Fa refor fa	on (TiR-cardon Circon) ados ados ados ados ados ados ados ados	no diafra;	DIDGAD M G2 2.1 -1.1 -0.6 -0.9 -0.7 0 2.1 -0.8 0.8 0.3 N REQUIL S. specific for extra control of the control of	OS STEMAN OS STE	PC1 (10) 1,8 1-1 1,8 1	1,5 1,5 0,9 0,6 0,7 40,3 0 2,4 2,4 0,7 0,9 9,2 40,3 0,7 0,7 0,7 0,7 0,7 0,7 0,7 0,7 0,7 0,7	1,8 1,8 -1 -0,6 -0,7 -0,5 0 2,1 0,8 0 -0,4 -0,6 0,3	(R8) 1,8 -1 -0.6 -0.7 -0.5 -0.9 -0.1 -0.9 -0.4 -0.7 -0.3 -0.3	PC1 PC2 RM11 PC2 RM11 URM H URM 1,2 -0,8 -0,5 -0,5 -0,1 0 NA -0,3 0,2 -0,3 0,2 -0,0 -0,3 -0,3 -0,2	
mayor a 500m2 Perico Azero Laminado (Portico Resistente a Momento) Perico Azero Laminado (Portico Resistente a Momento) Perico Azero Laminado con dagonales Perico Azero Laminado con dagonales Perico Azero Laminado com munos estructurales hormigón Perico Azero Laminado com munos estructurales hormigón Perico Azero con paredes de mampostería de bioque PUNTAJES PRAMETROS CA EXAMOS OC LA ESTRICCIBA (TPO DE CERCO FIMA) PUNTAJES PRAMETROS CA EXAMOS OC LA ESTRICCIBA (TPO DE CERCO FIMA) PUNTAJES PRAMETROS CA EXAMOS OC LA ESTRICCIBA (TPO DE CERCO FIMA) PUNTAJES PRAMETROS CA EXAMOS OC LA ESTRICCIBA (TPO DE CERCO FIMA) PUNTAJES PRAMETROS CA EXAMOS OC LA ESTRICCIBA (TPO DE CERCO FIMA) PUNTAJES PRAMETROS CA EXAMOS OC LA ESTRICCIBA (TPO DE CERCO FIMA) PUNTAJES PRAMETROS CA EXAMOS OC LA ESTRICCIBA (TPO DE CERCO FIMA) PUNTAJES PRAMETROS CA EXAMOS OC LA ESTRICCIBA (TPO DE CERCO FIMA) PUNTAJES PRAMETROS CA EXAMOS OC LA ESTRICCIBA (TPO DE CERCO FIMA) PUNTAJES OC LA CONSTITUCIO (TPO DE CERCO FIMA) PUNTAJES OC LA CONSTITUCIO (TPO DE CERCO FIMA) PUNTAJES OCA A DE SUBJECTO (TROS DE LA CONSTITUCIO (TPO DE CERCO FIMA) PUNTAJES PIPALA (TPO DE SUBJECTO (TPO DE CERCO FIMA) PUNTAJES PIPALA (TPO DE SUBJECTO (TPO DE CERCO FIMA) PUNTAJES PIPALA (TPO DE SUBJECTO (TPO DE CERCO FIMA) PUNTAJES PIPALA (TPO DE SUBJECTO (TPO DE CERCO FIMA) PUNTAJES PIPALA (TPO DE SUBJECTO (TPO DE CERCO FIMA) PUNTAJES PIPALA (TPO DE SUBJECTO (TPO DE CERCO FIMA) PUNTAJES PIPALA (TPO DE SUBJECTO (TPO DE CERCO FIMA) PUNTAJES PIPALA (TPO DE SUBJECTO (TPO DE CERCO FIMA) PUNTAJES PIPALA (TPO DE SUBJECTO (TPO DE CERCO FIMA) PUNTAJES PIPALA (TPO DE SUBJECTO (TPO DE CERCO FIMA) PUNTAJES PIPALA (TPO DE SUBJECTO (TPO DE CERCO FIMA) PUNTAJES PIPALA (TPO DE SUBJECTO (TPO DE CERCO FIMA) PUNTAJES PIPALA (TPO DE SUBJECTO (TPO DE CERCO FIMA) PUNTAJES PIPALA (TPO DE SUBJECTO (TPO DE CERCO FIMA) PUNTAJES PIPALA (TPO DE SUBJECTO (TPO DE CERCO FIMA) PUNTAJES PIPALA (TPO DE SUBJECTO (TPO DE CERCO FIMA) PUNTAJES PIPALA (TPO DE CERCO (TPO DE CERCO FIMA) PUNTAJE	\$1 \$2 \$3 \$3 \$4 \$5 \$5 \$6 \$4 \$6 \$5 \$6 \$6 \$6 \$6 \$6 \$6 \$6 \$6 \$6 \$6 \$6 \$6 \$6	W1A 3,7 -1,3 -0,8 -1,2 -0,9 0 1,9 0,6 0 -0,1 -0,8 1,2 GOS: see una po Potesticolo sesgo del	312 313 314 315 316 317 317 317 317 317 317 317 317 317 317	Losas Portico Portico Edifició	Profabri de H. A. So de Me so de Me so de Me a profal a grafia (RR)	ada de mado e ma	Hormig profabric (a reformation to recommendate to the reformation to the refor	on (TiR-cardon of TiR-cardon o	n diafra; ne diafra; n	DIDGA DV C2 -1,1 -0,6 -0,9 2,1 -1,2 -0,8 0,3 N REQUID S. specified in extraction of the state of th	oxibles colored to the colored to th	PC1 (10) 1,8 1-1 1,8 1	1,5 1,5 0,9 0,6 0,7 40,3 0 2,4 2,4 0,7 0,9 9,2 40,3 0,7 0,7 0,7 0,7 0,7 0,7 0,7 0,7 0,7 0,7	1,8 1,8 -1 -0,6 -0,7 -0,5 0 2,1 0,8 0 -0,4 -0,6 0,3	(R8) 1,8 -1 -0.6 -0.7 -0.5 -0.9 -0.1 -0.9 -0.4 -0.7 -0.3 -0.3	PC1 PC2 RM11 PC2 RM11 URM H URM 1,2 -0,8 -0,5 -0,5 -0,1 0 NA -0,3 0,2 -0,3 0,2 -0,0 -0,3 -0,3 -0,2	
mayor a 500m2 Profice Azero Laminado (Portico Resistente a Momento) Profice Azero Laminado (Portico Resistente a Momento) Profice Azero Laminado con dagonales Profice Azero Laminado con dagonales Profice Azero Laminado con muso estructurales homigón Profice Azero Laminado com muso estructurales homigón Profice Azero con paredos de mampostenta de Bioque PUNTAJES PRAMECINOS CA EXANYOS DE LASSINCERBA (PPO LOS (ESPICOFSMA) PUNTAJES ASSICO REREGULA/MONOSES Teroplandas ventos (Monos VI. 1 Teroplandas ventos (Monos VII. 1 Teroplandas (Monos VIII. 1 Tero	\$1 \$2 \$3 \$3 \$4 \$5 \$5 \$6 \$4 \$6 \$5 \$6 \$6 \$6 \$6 \$6 \$6 \$6 \$6 \$6 \$6 \$6 \$6 \$6	W1A 3,7 -1,3 -0,8 -1,2 -0,9 0 1,9 0,6 0 -0,1 -0,8 1,2 GOS: see una po Potesticolo sesgo del	312 313 314 315 316 317 317 317 317 317 317 317 317 317 317	Losas Portico Portico Ediffició Edif	Profabri de H. A. So de Me so de Me so de Me a profal a grafia (RR)	ada de mado e ma	Hormig profabric (a reformation to recommendate to the reformation to the refor	on (TiR-cardon of TiR-cardon o	n diafra; ne diafra; n	DIDGA DV C2 -1,1 -0,6 -0,9 2,1 -1,2 -0,8 0,3 N REQUID S. specified in extraction of the state of th	oxibles colored to the colored to th	PC1 (10) 1,8 -1 -0,6 -0.8 -0,4 -0,4 -0,5 -0.5 -0.7 -0,5 -0.7 -0,5 -0.7 -0,5 -0.7 -0,5 -0.7 -0,5 -0.7 -0.7 -0.7 -0.7 -0.7 -0.7 -0.7 -0.7	1,5 1,5 0,9 0,6 0,7 40,3 0 2,4 2,4 0,7 0,9 9,2 40,3 0,7 0,7 0,7 0,7 0,7 0,7 0,7 0,7 0,7 0,7	1,8 1,8 -1 -0,6 -0,7 -0,5 0 2,1 0,8 0 -0,4 -0,6 0,3	(R8) 1,8 -1 -0.6 -0.7 -0.5 -0.9 -0.1 -0.9 -0.4 -0.7 -0.3 -0.3	PC1 PC2 RM11 PC2 RM11 URM H URM 1,2 -0,8 -0,5 -0,5 -0,1 0 NA -0,3 0,2 -0,3 0,2 -0,0 -0,3 -0,3 -0,2	a a a a a a a a a a a a a a a a a a a

Ilustración 8: Formulario según la metodología NEC

Fuente: Ministerio de Desarrollo Urbano y Vivienda (MIDUVI)

3.6.3 Metodología análisis estático no lineal (Pushover).

Para aplicar esta metodología se necesitará información de los elementos estructurales, ya sea extraídos in situ o extraídos desde los planos estructurales, además de las especificaciones técnicas como la resistencia de los materiales, el acero utilizado, separaciones de estribos, recubrimientos, etc. de tal manera que se pueda digitalizar la estructura para posteriormente analizar su comportamiento.

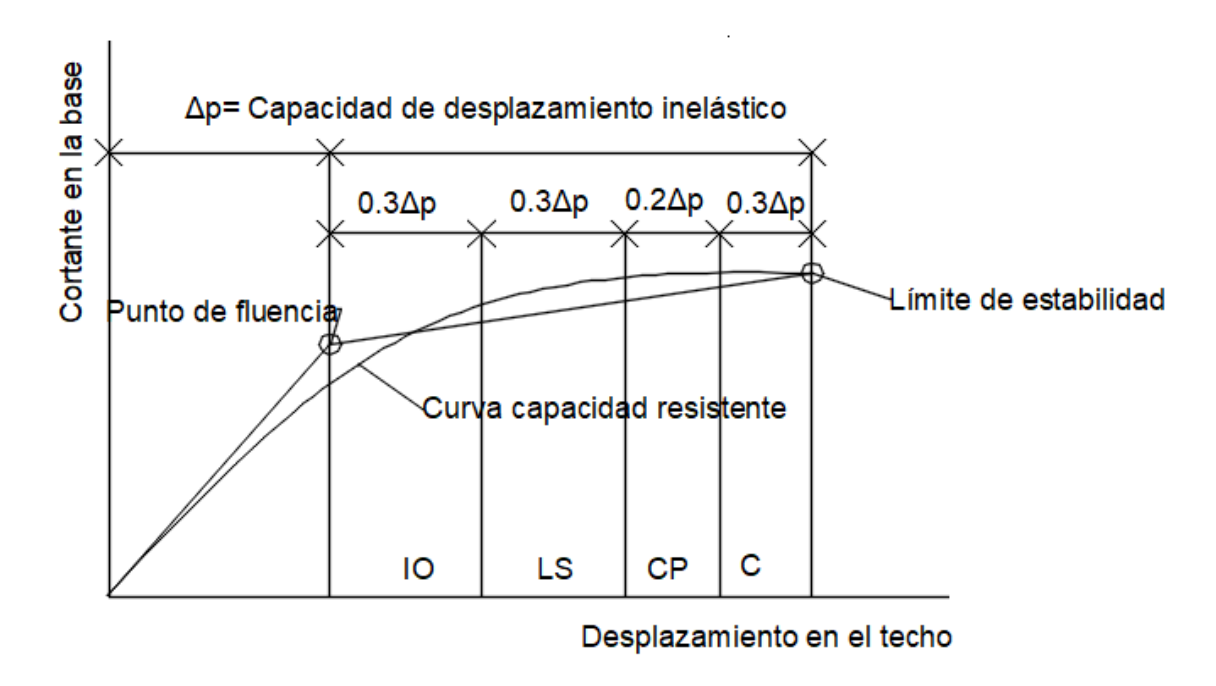


Ilustración 9: Niveles de desempeño en función del desplazamiento

Fuente: Visión 2000

En base a la **Ilustración 9:** Niveles de desempeño en función del desplazamiento según visión 2000 se puede observar la gráfica que corresponde al desempeño de la estructura según el desplazamiento que genere dependiendo el nivel de sismo que se aplique en la estructura.

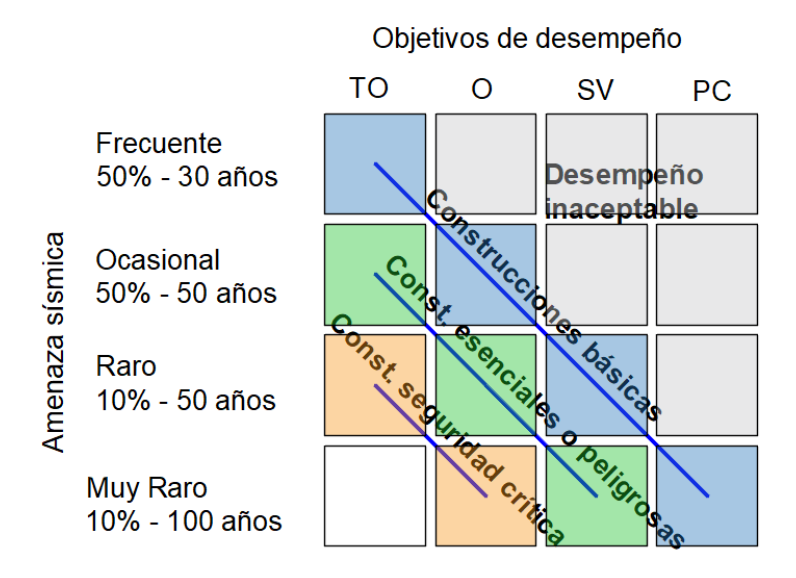


Ilustración 10: Objetivos de desempeño de una edificación ante un sismo

Fuente: Visión 2000

La **Ilustración 10:** Objetivos de desempeño de una edificación ante un sismo muestra los objetivos que debe de tener un edificio dependiendo de su tipo de ocupación o construcción de en donde debe de caer el punto de desempeño según el nivel de sismo que se esté analizando de tal manera que se determine si se comporta bien o mal la estructura ante un evento sísmico.

3.6.3.1. Dimensiones de elementos estructurales

Como primer punto de la aplicación de la metodología del análisis estático no lineal es necesario conocer las dimensiones de los elementos, además del recubrimiento de cada elemento, el acero de refuerzo, acero longitudinal, separación de estribos para lo cual se hace uso de los planos o memorias técnicas en el caso de que se evidencien.

3.6.3.2. Configuración en planta y elevación

Esta sección ayudará a visualizar la geometría del edificio, así como de las longitudes de los elementos estructurales lo que dará al armado esquelético de la estructura en el software de análisis estructural, permitiendo conocer y evidenciar el correcto ingreso de datos para la estructura y modelado del inmueble como se visualiza en las siguientes ilustraciones.

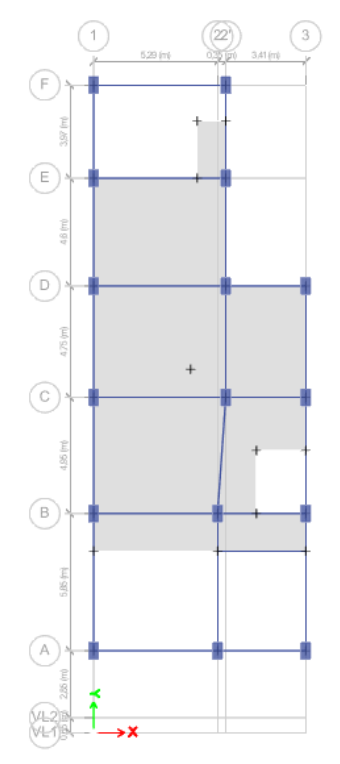


Ilustración 12: Planta Mezanine

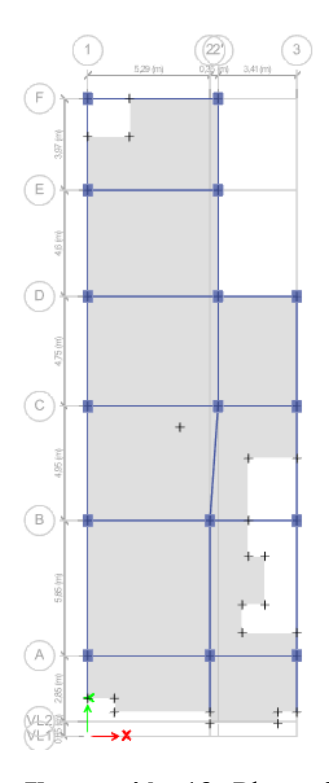


Ilustración 13: Planta 3ra

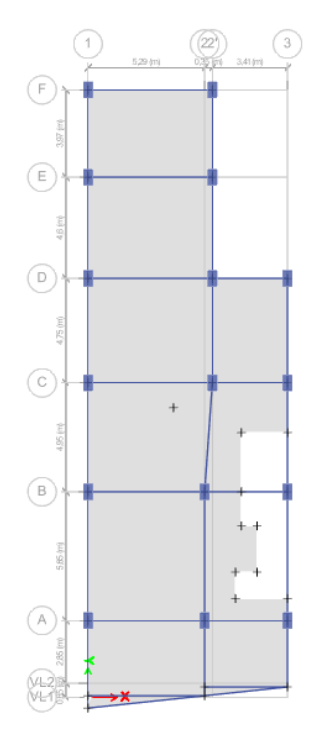


Ilustración 11: Planta 1era y 2da

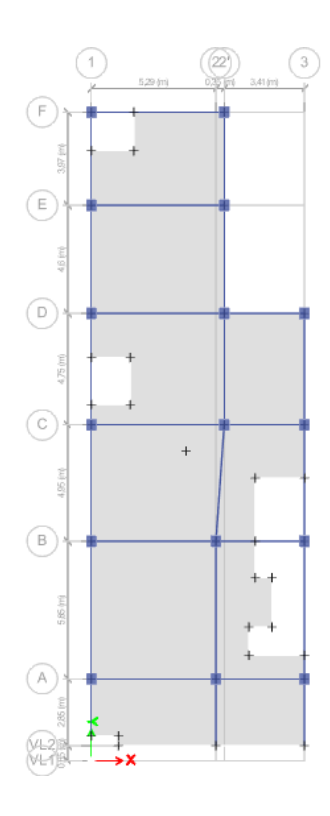


Ilustración 14: Planta 4ta y 5ta

3.6.3.3. Cargas aplicadas a la estructura

3.6.3.3.1. Carga viva

Las cargas vivas aplicadas en la estructura serán adoptadas según el tipo de ocupación del edificio, en caso de que tenga varios tipos de uso, se adoptarán las cargas por piso dependiendo el uso que se le dé a cada nivel como lo muestra la siguiente **Tabla 7:** Cargas según la NEC por tipo de ocupación.

Ocupación o Uso	Carga	Carga
	uniforme $(\frac{KN}{m^2})$	concentrada
	m-	(KN)
Almacenes		
Venta al por menor		
Primer piso	4.80	4.50
Pisos superiores	3.60	4.50
Venta al por mayor. Todos los pisos.	6.00	4.50
Residencias		1
Viviendas (unifamiliares y bifamiliares)	2.00	
Hoteles y residencias multifamiliares		
Habitaciones	2.00	
Salones de uso público y sus corredores	4.80	
Fuente: Norma Ecuatoriana de la Construcción	(NEC)	•

Tabla 7: Cargas según la NEC por tipo de ocupación

Fuente: NEC

Por lo tanto, el resumen de cargas vivas según la ocupación del edificio y según lo siguiente y conforme a la normativa establecida queda como se muestra en la **Tabla 8:** Cargas según la ocupación del edificio de estudio.

Piso	Carga viva $\left(\frac{KN}{m^2}\right)$
Mezanine	4.8
Planta alta 1	4.8
Planta alta 2	2.00
Planta alta 3	2.00
Planta alta 4	2.00
Cubierta	0.7

Tabla 8: Cargas según la ocupación del edificio de estudio

Fuente: Autor

3.6.3.3.2. Carga muerta

La carga muerta para este trabajo no se realizó una evaluación de cargas como debería de realizarse debido a la negativa de obtener los planos arquitectónicos, por ende, se ha propuesto valores de cargas muertas basándose en artículos científicos y añadiendo a esto el peso de la losa de 25 cm se la obtuvo de la siguiente **Ilustración 15:** Pesos según el espesor de losa.

Espesor de losa en cm	Kg/m^2
17	270
20	300
25	350
30	400

Ilustración 15: Pesos según el espesor de losa

Adicional a esto se le agrego un peso equivalente para cada piso de tal manera que la carga muerta sea una carga que tienda a ser lo mayormente acorde a las construcciones que comúnmente se emplean, quedando así las cargas como se visualizan a continuación, destacando que ya están añadidos los pesos de las losas. **Tabla 9:** Cargas muertas aplicadas a la estructura

Piso	Carga muerta $\left(\frac{KN}{m^2}\right)$
Mezanine	6.5
Planta alta 1	6.5
Planta alta 2	7.00
Planta alta 3	7.00
Planta alta 4	7.00
Cubierta	5.0

Tabla 9: Cargas muertas aplicadas a la estructura

Fuente: Elaboración propia.

3.6.3.4. Definición de rótulas plásticas.

Las rótulas plásticas son puntos específicos en los elementos estructurales donde se producen deformaciones plásticas, permitiendo así la disipación de fuerzas laterales y la redistribución de cargas.

Las rótulas plásticas se manifiestan mediante un daño provocado por fuerzas, siendo estas necesarias para que dicha estructura se comporte de una manera dúctil, estas rótulas so, parte del mecanismo de falla que tiende a formarse durante sismos en los elementos estructurales como vigas, columnas y más aún en edificios de varios niveles.

Es por ello que en una evaluación de un diseño estructural es importante que el profesional tenga el conocimiento y la capacidad de elegir que miembros estructurales deben fluir antes, por lo general se mantiene el concepto de columna fuerte viga débil, es decir que se debe tolerar que las columnas resistan y las vigas fluyan a flexión de manera dúctil.

3.6.3.4.1 Diseño de rotulas para columnas

Para el cálculo de rotulas en las columnas de hormigón se basa en la normativa ASCE 41-13. En la siguiente **Ilustración 16:** Parámetros y criterios para análisis no lineal de columnas de concreto se muestra los valores críticos y criterios de aceptación para procedimientos de análisis no lineales en columnas de concreto proporcionando una guía precisa para la evaluación de su comportamiento estructural.

			Modeli	ng Paramete	Accept	tance Cr	iteria				
						Plastic	R	otation			
						Angle)				
			Plastic	Rotation	Residual	Performance Level					
			Angle (radians)	Strength						
					Ratio						
Conditions			a	b	С	IO	LS	CP			
Condition i											
P	ρ										
$\overline{A_g * f'c}$	$=\frac{A_{y}}{b_{w}s}$										
≤ 0.1	<u> </u>		0.035	0.060	0.2	0.005	0.045	0.060			
	0.006										
≥ 0.6	<u> </u>		0.010	0.010	0.0	0.003	0.009	0.010			
	0.006										
≤ 0.1	=		0.027	0.034	0.2	0.005	0.027	0.034			
	0.002										
≥ 0.6	=		0.005	0.005	0.0	0.002	0.004	0.005			
	0.002										
Condition											
ii											
$\frac{P}{A_g * f'c}$	ρ	V^d									
$A_g * f C$	$=\frac{A_y}{b_w s}$	$\frac{V^d}{b_w d\sqrt{f'c}}$									
≤ 0.1	<u> </u>	≤ 3	0.032	0.060	0.2	0.005	0.045	0.060			
	0.006	(0.25)									
≤ 0.1	2	≥ 6	0.025	0.060	0.2	0.005	0.045	0.060			
	0.006	(0.50)									
≥ 0.6	<u> </u>	≤ 3	0.010	0.010	0.0	0.003	0.009	0.010			
	0.006	(0.25)									

≥ 0.6	<u> </u>	<u> </u>	6	0.008	0.008	0.0	0.003	0.007	0.008
	0.006	(0.50))						
≤ 0.1	<u> </u>	<	3	0.012	0.012	0.2	0.005	0.010	0.012
	0.000	(0.25))						
	5								
≤ 0.1	<u> </u>	<u>></u>	6	0.006	0.006	0.0	0.004	0.005	0.006
	0.000	(0.50))						
	5								
≥ 0.6	<u> </u>	<	3	0.004	0.004	0.0	0.002	0.003	0.004
	0.000	(0.25))						
	5								
≥ 0.6	<u> </u>	<u>></u>	6	0.0	0.0	0.0	0.0	0.0	0.0
	0.000	(0.50))						
	5								

Ilustración 16: Parámetros y criterios para análisis no lineal de columnas de concreto

Fuente: ASCE 41-13

Conociendo las características con las que fueron diseñadas las columnas, a continuación, se muestra el proceso para el cálculo de las rótulas plásticas, así como ciertos parámetros con sus respectivas definiciones

 $M_y = Momento de fluencia = 0.5 * f'c * d^2[(1 + ββεφη$

 $A_s = Acero a tensión$

A'_s = Acero a compresión

d = Peralte medido desde la fibra superior de h hasta la mitad del acero inferior

d' = Peralte medido desde la fibra superior de h hasta la mitad del acero superior

 $\rho_t = \text{Cuant\'ia a tensi\'on}$

 ${\rho'}_t = \text{Cuantía a compresión}$

b= base de la columna

b= base de la columna

h= altura de la columna

f'c= esfuerzo a la compresión del concreto

Fy= esfuerzo a la compresión del acero

Ec= módulo de elasticidad del concreto

Es= módulo de elasticidad del acero

rec= Recubrimiento de la columna

S= Separación de estribos

 $\phi_r = di$ ámetro de la varilla de la columna

 ϕ_{st} = diámetro del estribo

Áreas de los aceros

Lo primero es calcular el área de los aceros (estribos, acero longitudinal y transversal)

$$A_v = \text{n\'umero de varillas} * \frac{\pi}{4} * (\phi_{st})^2$$

$$A_s = n$$
úmero de varillas * $\frac{\pi}{4}$ * $(\phi_v)^2$

$$A_{st} = n$$
úmero de varillas * $\frac{\pi}{4}$ * $(\phi_r)^2$

Donde:

 ϕ_{st} = diámetro del estribo

 $\phi_r = di$ ámetro de la varilla de la columna

peralte (d)

Obteniendo estos datos calculamos el peralte como se detalla a continuación.

$$d = h - rec - \phi_{st} - \phi_r * \frac{1}{2}$$

$$d' = rec + \phi_{st} + \frac{\phi_r}{2}$$

donde:

 ϕ_{st} = diámetro del estribo

 $\phi_r=di$ ámetro de la varilla de la columna

rec = recubrimiento

Carga axial máxima (Pu)

Pu= el valor se lo puede encontrar en base a una evaluación de cargas o en base a un software el cual arroje las cargas que actúan sobre el elemento estructural.

Valor de β_C

Hallamos el valor de $oldsymbol{eta}_{oldsymbol{C}}$ a través del cálculo del peralte

$$\beta_C = \frac{d'}{d}$$

Deformación del acero (E_{γ})

$$E_{y} = \frac{f_{y}}{E_{s}}$$

Donde:

fy= esfuerzo a la compresión del acero

Es= módulo de elasticidad del acero

Deformación máxima a comprensión del concreto (ε_0)

El valor máximo a utilizar es $\varepsilon_0 = 0.003$

Valor de α_{ν}

$$\alpha_y = \frac{\varepsilon_y}{\varepsilon_o}$$

Donde:

 E_y = deformación del acero

Valor de η_0

$$\eta_0 = \frac{P_U}{b * d * f'c}$$

Donde:

b= base de la columna

f'c= esfuerzo a la compresión del concreto

Cuantía a tensión (ρ_t)

$$\rho_t = \frac{A_s * f_y}{b * d * f'c}$$

Donde:

b= base de la columna

f'c= esfuerzo a la compresión del concreto

d = peralte

As = área acero de tensión

fy= esfuerzo a la compresión del acero

Cuantía a compresión $(\rho_{t'})$

$$\rho_{t'} = \frac{A_{s'} * f_y}{b * d * f'c}$$

Donde:

b= base de la columna

f'c= esfuerzo a la compresión del concreto

d = peralte

fy= esfuerzo a la compresión del acero

Coeficiente de corrección o ajuste

$$C_2 = 1 + \frac{0.45}{(0.84 + P_t)}$$

Donde:

 ρ_t = Cuantía a tensión

Coeficiente K

$$k = \sqrt{(P_t + p_{t'})^2 * \frac{1}{4 * x_y^2} + (pt + \beta * pt') * \frac{1}{\alpha y}} - (p_t + p_t^4) * \frac{1}{2 * \alpha_y}$$

Donde:

 ρ_t = Cuantía a tensión

 $\rho_{t'}$ = Cuantía a compresión

Curvatura

$$\phi_y = \left(1,05 + (c_2 - 1,05) * \frac{\eta_0}{0,03}\right) * \frac{\varepsilon_y}{(1-k)*d}$$

Donde:

 $\varepsilon_y = deformación del acero$

d = peralte

Deformación del concreto

$$\varepsilon_c = \phi_y * d - \varepsilon_y$$
$$\varepsilon_c < 0.004$$

Coeficiente de eficiencia

$$\eta = \frac{0.75}{1 + \alpha_y} * \left(\frac{\varepsilon_c}{\varepsilon_0}\right)^{0.7}$$

Donde:

 ε_c = deformación del concreto

 $\varepsilon_0 =$ deformación máxima a compresión del concreto

Factor de reducción del concreto

$$\alpha_c = (1 - \beta_c) * \frac{\varepsilon_c}{\varepsilon_y} - \beta_c$$
 el resultado debe ser ≤ 1

Donde:

 ε_c = deformación del concreto

 $\varepsilon_y = deformación del acero$

Si el resultado da un valor mayor que 1, se limita a 1 para evitar sobrestimar la capacidad que tiene el elemento estructural.

Momento máximo de fluencia

$$M_y = 0.5 * f'c * d^2[(1 + \beta_c - \eta) * \eta_0 + (2 - \eta) * p_t + (\eta - 2 * \beta_c) * \alpha_{c*} * pt']$$

Donde:

f'c= esfuerzo a la compresión del concreto

b= base de la columna

d = peralte

 $\rho_{t'}$ = Cuantía a compresión

Inercia de la columna

$$I = \frac{b * h^3}{12}$$

Donde:

b= base de la columna

h= altura de la columna

Valor de rotación de fluencia

$$\theta_{\mathcal{Y}} = \frac{L * M_{\mathcal{Y}}}{9 * E_c * I}$$

Donde:

L = entre eje y eje

Ec= módulo de elasticidad del concreto

I = inercia

Condición 1

$$\frac{Pu}{Ag * f_C'}$$

$$\rho = \frac{Av}{b * s}$$

Donde:

f'c= esfuerzo a la compresión del concreto

b= base de la columna

S= Separación de estribos

Condición 2

$$\frac{Pu}{A_9 * f_C'}$$

$$\rho = \frac{Av}{b * s}$$

$$\frac{v*0,11954}{b*d*\sqrt{f'c}}$$

Donde:

f'c= esfuerzo a la compresión del concreto

b= base de la columna

S= Separación de estribos

d = peralte

f'c= esfuerzo a la compresión del concreto

b= base de la columna

Se toma el valor más bajo de las condiciones establecidas, ya que este permite identificar los parámetros adecuados para representar la rótula plástica del elemento estructural, en este caso, la columna.

$$\theta_u = \theta_y + a$$

Calcular el momento último

$$M_U = M_y + 0.05 * \varepsilon_c * I(\theta_u - \theta_y)$$

Donde:

 ε_c = deformación del concreto

I = inercia

3.6.3.3. Cálculo de rotulas para vigas

Para el cálculo de rotulas en las vigas de hormigón se basa en la normativa ASCE 41-13. En la siguiente **Ilustración 17**: Parámetros de análisis para rótulas en elementos vigas de concreto se muestra los valores críticos y criterios de aceptación para procedimientos de

análisis no lineales en columnas de concreto proporcionando una guía precisa para la evaluación de su comportamiento estructural.

				Modeling Parameters			Acceptance Criteria		
							Plastic Rotation		
							Angle (radians)		
				Plastic		Residua	Performance Level		
				Rotatio	n Angle	1			
				(radians	s)	Strengt			
						h Ratio			
Conditio				a	b	c	Ю	LS	CP
ns									
Condition	i, Beams con	trolled 1	by						
flexure									
$\rho - \rho'$	Transverse	V^d							
$ ho_{bal}$	reinforcemen	$b_w d\sqrt{j}$	r'c						
	t								
≤ 0.0	С	<u>≤</u>	3	0.025	0.05	0.2	0.01	0.02	0.05
		(0.25)					0	5	
≤ 0.0	С	<u>></u>	6	0.02	0.04	0.2	0.00	0.02	0.04
		(0.50)					5		
≥ 0.5	С	<u> </u>	3	0.02	0.03	0.2	0.00	0.02	0.03
		(0.25)					5		
≥ 0.5	С	<u>></u>	6	0.015	0.02	0.2	0.00	0.01	0.02
		(0.50)					5	5	
≤ 0.0	NC	<u> </u>	3	0.02	0.03	0.2	0.00	0.02	0.03
		(0.25)					5		
≤ 0.0	NC	<u>></u>	6	0.01	0.015	0.2	0.00	0.01	0.01
		(0.50)					15		5

≥ 0.5	NC	<u> </u>	3	0.01	0.015	0.2	0.00	0.01	0.01
		(0.25)					5		5
≥ 0.5	NC	<u>></u>	6	0.005	0.01	0.2	0.00	0.00	0.01
		(0.50)					15	5	

Ilustración 17: Parámetros de análisis para rótulas en elementos vigas de concreto

Fuente: ASCE 41-13

Conociendo las características con las que fueron diseñadas las vigas, a continuación, se muestra el proceso para el cálculo de las rótulas plásticas, así como ciertos parámetros con sus respectivas definiciones

L= Longitud de la viga

Bw = Ancho de viga

H= Altura de viga

As = Área de acero de tensión

As' = Área acero de compresión

f'c = Esfuerzo de compresión del hormigón

r = Recubrimiento

F'y = Esfuerzo de compresión del acero

Ec = Módulo de elasticidad del concreto

Es = Módulo de elasticidad del acero

Primero cálculo del bloque de compresión β_1 .

$$\beta_1 = 0.85 - 0.05 \left(\frac{f'c * 28}{7} \right)$$

Cálculo de la variable "c" que representa la distancia desde la fibra de compresión hasta el eje neutro de la viga de concreto.

$$c = \frac{A_s * f'y}{0.85 * f'c * \beta_1 * b_w}$$

Donde:

As = Área acero de tensión

f'y = Esfuerzo de compresión del acero

bw = Ancho de viga

Cálculo del peralte

Peralte (d)

Cálculo de la variable a que representa la altura del bloque de compresión.

$$a = \beta_1 * c$$

Cálculo del momento en el eje y.

$$M_{y} = A_{s} * f'y * \left(d - \frac{a}{2}\right)$$

Donde:

As = área acero de tensión

f'y = esfuerzo de compresión del acero

d = peralte

Cálculo del ángulo de rotación en el eje y.

$$\theta_{y} = \frac{L * M_{y}}{6 * Ec * I}$$

Donde:

L = Longitud entre eje y eje

Ec = Módulo de elasticidad del concreto

I= Inercia

Datos que se usa en la tabla:

Cuantía de acero a tracción

$$\rho = \frac{A_S}{b_w * d}$$

Donde:

As = área acero de tensión

bw = ancho de viga

d = peralte

Cuantía de acero a compresión

$$\rho' = \frac{{A_s}'}{b_w * d}$$

Donde:

As' = área acero de compresión

bw = ancho de viga

d = peralte

Cálculo de cuantía balanceada

$$\rho_{balanceado} = 0.85 * \beta_1 * \frac{f'c}{f'y} * \left(\frac{0.003}{0.003 + \frac{f'y}{Es}}\right)$$

Por último, se usa fórmula para hallar valores en tabla de la ASCE 41-13

$$\frac{\rho - \rho'}{\rho_{balanceado}} = 0$$

Conforme o no conforme

El cortante gravitacional es un dato que se encuentra en el software de modelación. estructura.

Condición 1

$$\frac{d}{3}$$
 > Separación de estribo

Se verifica si la condición cumple o no, en caso de cumplir seria **conforme** y en caso de no cumplir **no conforme**.

Condición 2

$$V_s = \frac{2 * \text{\'a}rea \ del \ estribo * f'y * d}{Separaci\'on \ de \ estribo \ a \ estribo} > \frac{3}{4} * V_d$$

Se verifica si la condición cumple o no, en caso de cumplir seria **conforme** y en caso de no cumplir **no conforme**.

$$M_1 = M_2 = A_s * 1.25 * f'y * (d - (a * \frac{1.25}{2}))$$

Donde:

As = área acero de tensión

f'y = esfuerzo de compresión del acero

d = peralte

Cálculo de la cortante

$$V_d = cortante\ gravitacional + \left(\frac{M_1 + M_2}{L}\right)$$

Donde:

L= Longitud entre ejes.

$$\frac{3}{4} * V_d$$

Se necesita de dos conformes para categorizarlo de esta manera, caso contrario es no conforme.

Se calcula el intervalo de fórmulas para ubicarse en la tabla.

$$\frac{V_d}{b_w * d * \sqrt{f'c}}$$

Donde:

bw = ancho de viga

d = peralte

f'c = esfuerzo de compresión del hormigón

En base a los cálculos resultantes se obtienen los parámetros de las vigas que se encuentran en la Ilustración 17: Parámetros de análisis para rótulas en elementos vigas de concreto, para estableces los datos que se utilizaran para las rótulas de cada elemento estructural.

Cálculo del momento ultimo.

$$M_u = M_y + a * Ec * \left(\frac{I}{L}\right) * (c - \theta_y)$$

3.6.3.5. Niveles de amenaza sísmica.

Introducir varios tipos de niveles de amenaza sísmica permite evaluar el comportamiento de la estructura ante distintos grados de demanda sísmica, lo cual ayuda a determinar el desempeño ante los distintos niveles de sismo como se muestra en la **Tabla 10:** Niveles de amenaza sísmica.

Nivel d	e Sismo	Probabilidad	Periodo Tr	Tasa anual	de
sismo		de	(años)	excedencia	
		excedencia			
		en 50 años			
1	Frecuen	te 50%	72	0.01389	
2	Ocasion	al 20%	225	0.00444	
3	Raro	10%	475	0.00211	
4	Muy rai	ro 2%	2500	0.00040	

Tabla 10: Niveles de amenaza sísmica

Fuente: Normativa NEC

3.6.3.6. Modelado

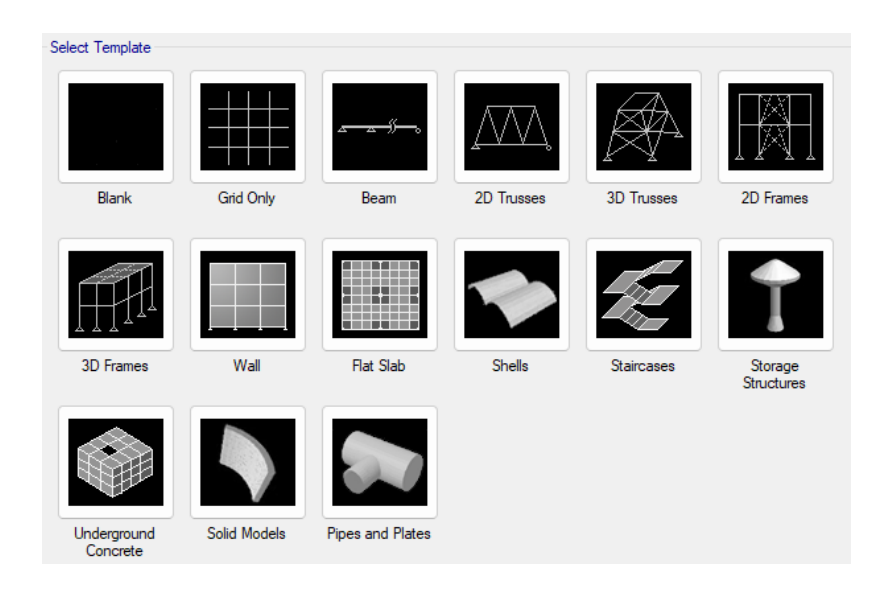
Al iniciar un nuevo modelo se empieza definiendo unidades con las cuales vamos a trabajar, se las puede cambiar en cada momento y automáticamente se cambiarán en las medidas que ya se haya colocado, así como los materiales dependiendo de la región y esto se encuentra en una esquina inferior derecha como se muestra en la **Captura 1:** Elección de unidades usadas en la modelación.



Captura 1: Elección de unidades usadas en la modelación

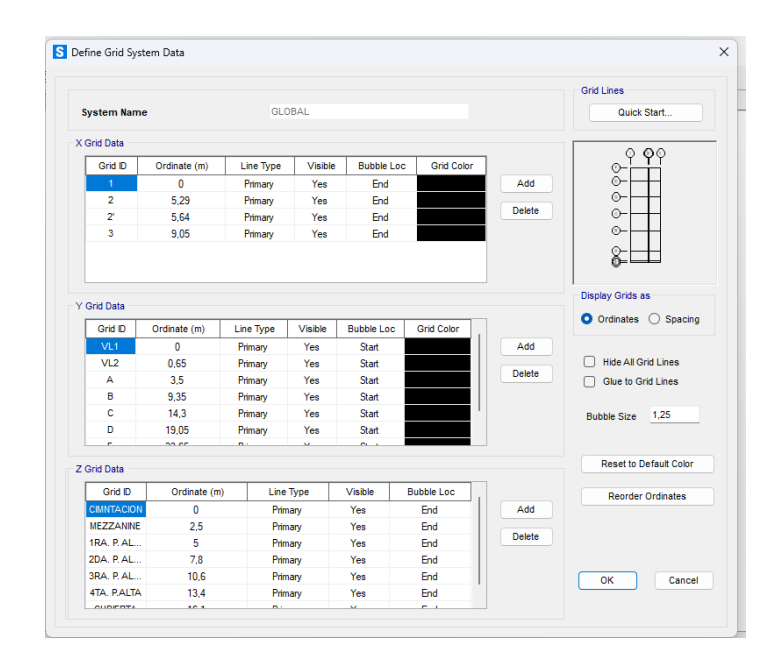
Para empezar con el diseño existen plantillas ya predeterminadas para agilizar su edición en lo que se vaya a modelar, además que ya teniendo un plano el proceso de generación de la grilla o ejes de la estructura. Esto se encuentra al abrir el programa dando clic en "File" y luego en "New model". Ver

Captura 2: Selección de modelo.



Captura 2: Selección de modelo

A continuación, se editan las dimensiones del pórtico que vamos a analizar, número de pisos, altura de pisos, número de vanos, ancho del vano, distancias en los 3 ejes etc. Como se muestra en la **Captura 3:** Definir ejes de estructura.



Captura 3: Definir ejes de estructura

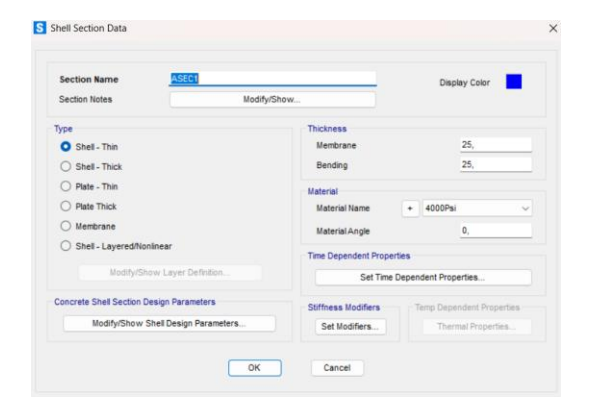
En la ventana de sección de propiedades se puede editar las secciones de vigas y columnas, ya sea desde esa ventana o se lo puede hacer luego en la herramienta "define". Al editar vigas o columnas se da clic en "add new property", añadir nueva propiedad, luego aparece la ventana en donde se elige el material del elemento, la forma del elemento y se colocan dimensiones, se añade el módulo de elasticidad y se coloca para que está siendo usado si como viga, columna arriostramiento etc. Esto se elige como se muestra en la

Captura 4: Tipo de elemento



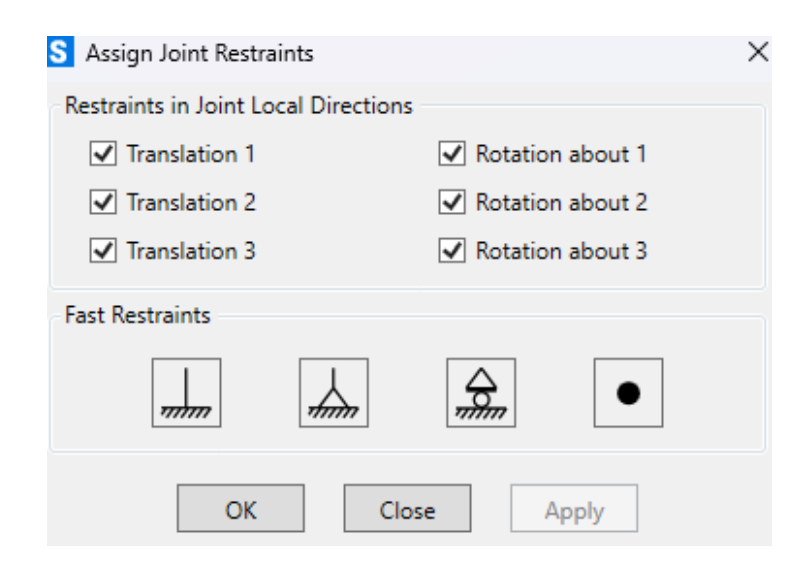
Captura 4: Tipo de elemento

Se define la losa con la que se trabajará, agregando su espesor, material y tipo. Esto se encuentra en la pestaña "Section Properties" y luego "Area Sections" como en la **Captura** 5: Asignación de valores a la losa.



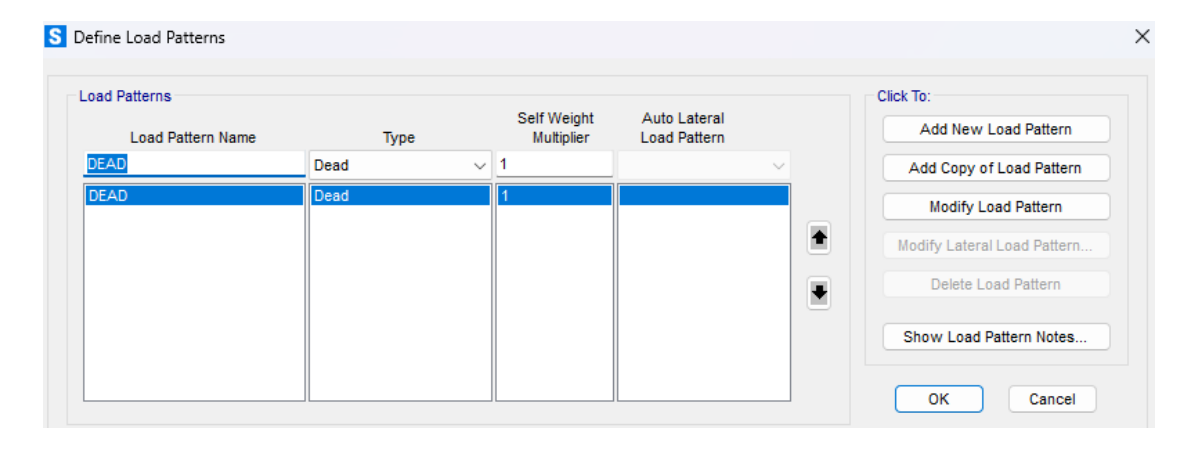
Captura 5: Asignación de valores a la losa

Al tener creada la estructura, podemos cambiar las direcciones de los ejes y como queremos ver a la estructura, si en el plano, o en 3d, en una vista en planta, etc. Particularmente por default suelen ponerse apoyos fijos, pero eso se puede cambiar en la herramienta assign>join<restraints, lo cual te permitirá editar y cambiar los apoyos de la estructura como se ve en la **Captura 6:** Restricciones de la estructura.



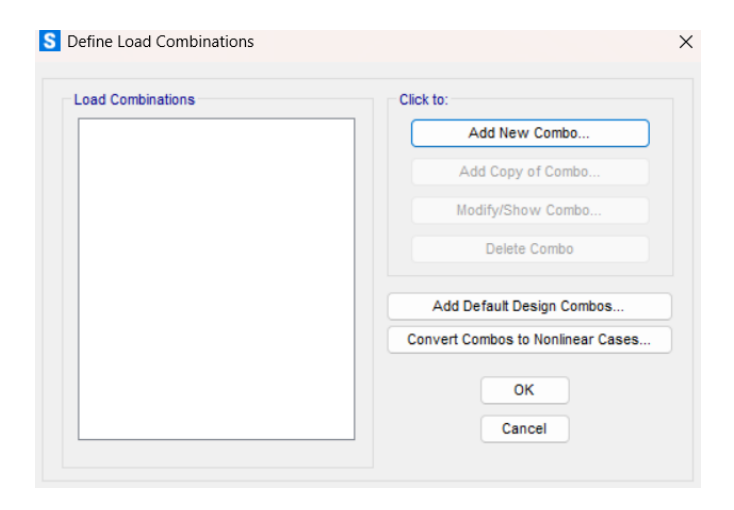
Captura 6: Restricciones de la estructura.

Ya teniendo nuestra estructura armada, podemos proceder a colocarles las cargas (load), señalando los elementos a los que se les va a añadir, en este caso a las vigas, luego vamos a define > load patterns y aparece la siguiente ventana.



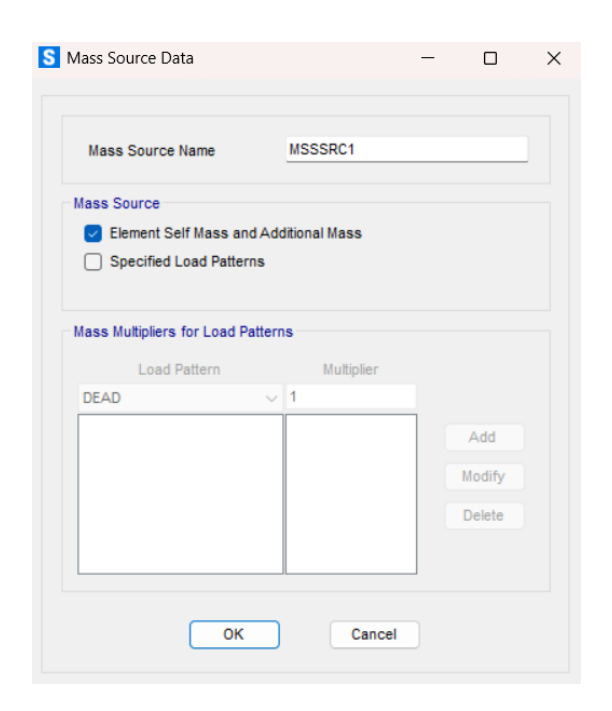
Captura 7: Colocación de cargas.

Luego se define las combinaciones o combos de carga y resistencia según el método LRFD. Esta se encuentra en la pestaña "Define" y luego "Load Combinations" como en la **Captura 8:** Combinaciones de carga.



Captura 8: Combinaciones de carga.

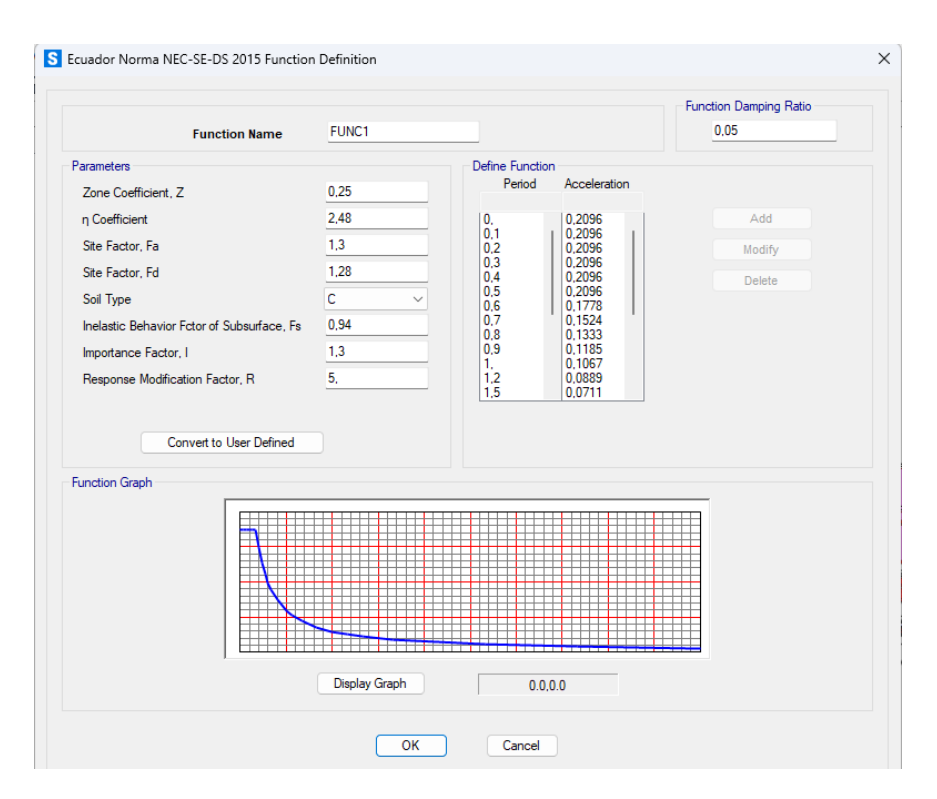
Seguidamente se define la masa reactiva para el cálculo de la fuerza sísmica, esto estará designado por la NEC. Esto se encuentra en la pestaña "Define" y luego "Mass Source" como en la **Captura 9:** Definición de masa reactiva.



Captura 9: Definición de masa reactiva

Se ingresarán los espectros de respuesta correspondiente al tipo de suelo de la zona de estudio. Esto se encuentra en la pestaña "Define", luego "Functions" y finalmente

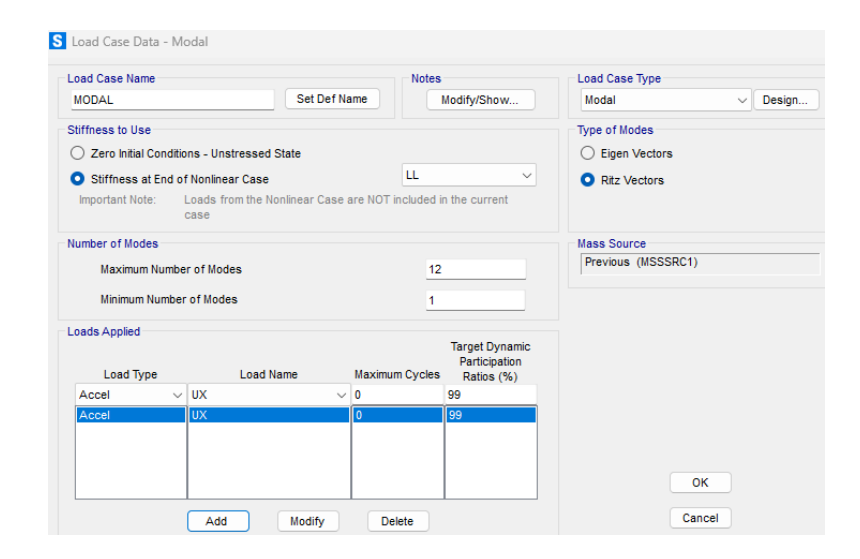
"Response Spectrum" como se ve en la **Captura 10:** Ingreso de espectro de respuesta según normativas.



Captura 10: Ingreso de espectro de respuesta según normativas.

Se definen los estados de carga perteneciente al análisis estático no lineal, uno gravitacional y los otros correspondientes a la dirección "x" y "y". Esto se encuentra en la pestaña "Define" y luego "Load Cases" como se muestra en la

Captura 11: Definición de casos de carga



Captura 11: Definición de casos de carga

Luego se colocan los valores ya calculados anteriormente en las rotulas plásticas tanto en vigas como columnas. Eso se encuentra en la pestaña "Define", luego "Section Properties" y "Hinge Properties" como se muestra en la

Captura 12: Rótulas plásticas en vigas y columnas.

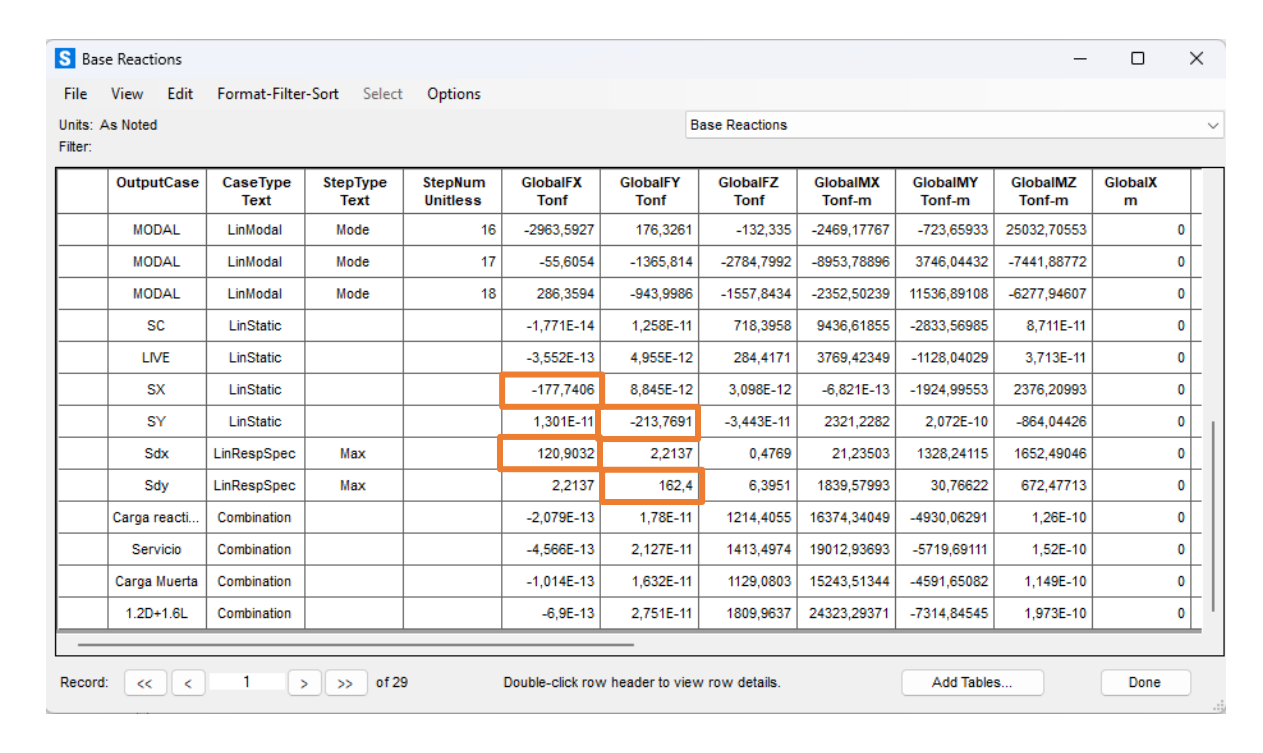


Captura 12: Rótulas plásticas en vigas y columnas

3.6.3.7. Chequeos Sísmicos

3.6.3.7.1 Cortante basal estático y dinámico

Para la verificación de la relación entre el cortante dinámico y el cortante estático el resultado debe ser mayor al 85% según la NEC para estructuras irregulares, caso de no cumplir se debe recomendar hacer un ajuste por cortante, para verificar estos valores en el programa se debe chequear en la tabla de resultados habilitando el apartado de "Base Reactions" como se muestra en la siguiente **Captura 13:** Tabla Base Reactions para verificar cortantes.



Captura 13: Tabla Base Reactions para verificar cortantes

Fuente: Autor

Para el chequeo de la relación se realiza el siguiente cálculo.

$$\frac{Cortante\ dinámico}{Cortante\ estático} > 85\%$$

3.6.3.7.1.2 Verificación de cortante estático y dinámico en el eje "X"

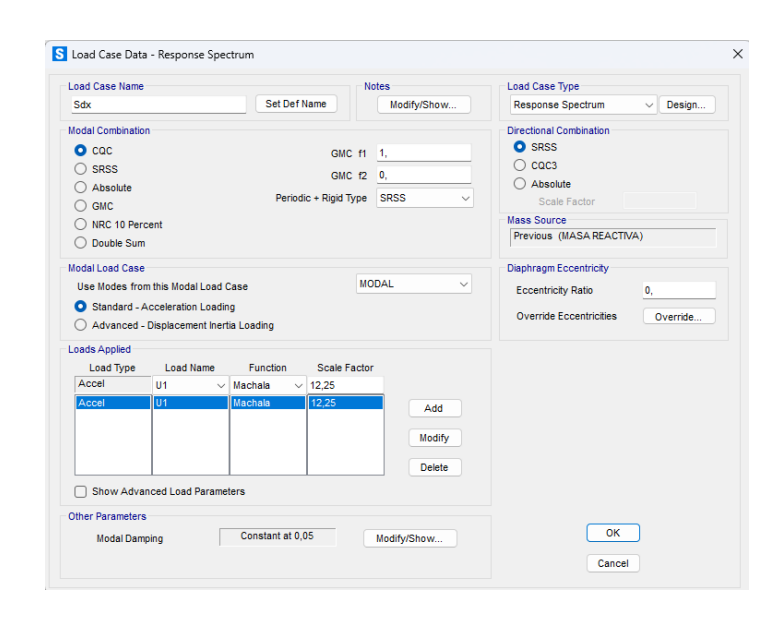
$$\frac{120,9032}{177,7406} = 0,68 * 100 = 68\%$$

Por lo tanto, se recomienda realizar un ajuste de cortante mediante la siguiente expresión.

$$\frac{g}{Cortante\ dinámico} * 0,85$$

$$\frac{9,81}{120,9032} * 0,85 = 12,25$$

El resultado será el nuevo valor de la gravedad que se lo cambiará para realizar el ajuste de cortante en la pestaña "Define" luego a "Load cases" y luego se modifican en los cortantes dinámicos según en el eje que no cumpla como se muestra en la siguiente **Captura 14:** Cambio del valor de la aceleración de la gravedad para el ajuste de cortante.



Captura 14: Cambio del valor de la aceleración de la gravedad para el ajuste de cortante

Fuente: Autor

Y con este ajuste de la cortante, se vuelve a correr el programa obteniendo los siguientes resultados mostrados en la **Tabla 11:** Ajuste de cortante en sentido "X".

			Factor	de	SDX	
SX	SDX	Porcentaje	ajuste		ajustado	Porcentaje
177,741	120,903	68%	12,25		151,0794	85%
						cumple

Tabla 11: Ajuste de cortante en sentido "X"

3.6.3.7.1.2 Verificación de cortante estático y dinámico en el eje "Y"

Siguiendo los mismos pasos que en el anterior hasta llegar al ajuste.

$$\frac{213,769}{162,4} = 0,76 * 100 = 76\%$$

Por lo tanto, se recomienda realizar un ajuste de cortante mediante la siguiente expresión.

$$\frac{g}{\frac{Cortante\ dinámico}{Cortante\ estático}}*0,85$$

$$\frac{9,81}{\frac{213,769}{1624}} * 0,85 = 10,97$$

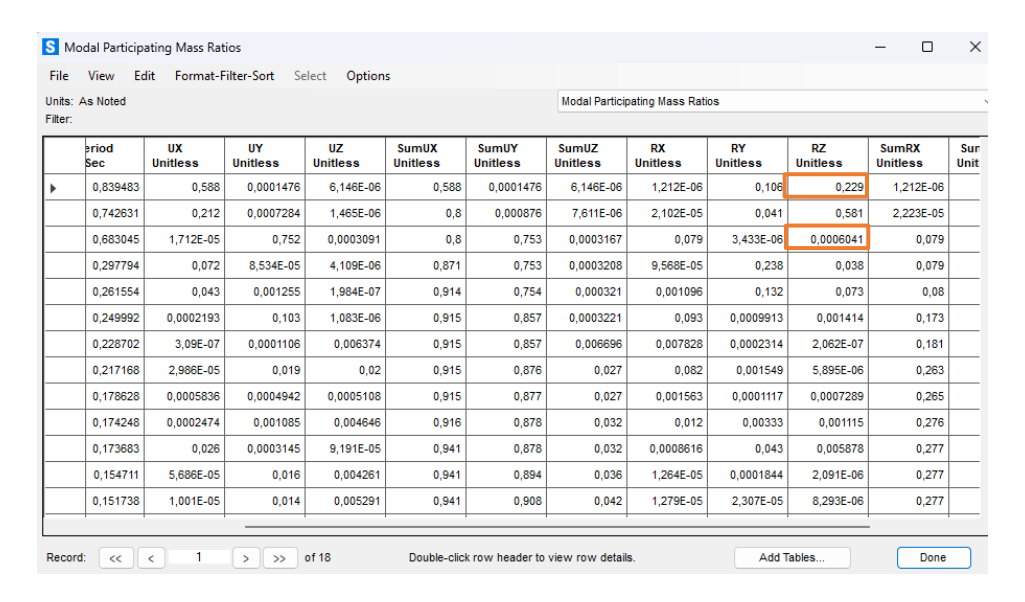
El resultado será el nuevo valor de la gravedad que se lo cambiará para realizar el ajuste de cortante en la pestaña "Define" luego a "Load cases" y luego se modifican en los cortantes dinámicos según en el eje que no cumpla y con este ajuste de la cortante, se vuelve a correr el programa obteniendo los siguientes resultados en la **Tabla 12:** Ajuste de cortante en sentido "Y"

			Factor	de	SDY	
SY	SDY	Porcentaje	ajuste		ajustado	Porcentaje
162,4	213,769	76%	10,97		181,65	85%
						cumple

Tabla 12: Ajuste de cortante en sentido "Y"

3.6.3.7.2 Control de Torsión

Para realizar el chequeo de torsión se lo puede realizar mediante el uso del programa y se lo puede revisar corriendo el programa, analizando los resultados en la ventana "Modal Participating Mass Ratios" como se muestra en la siguiente **Captura 15:** Tabla señalada para valores que sirven para la verificación de torsión en los 2 sentidos.



Captura 15: Tabla señalada para valores que sirven para la verificación de torsión en los 2 sentidos

Fuente: Autor

Según el eje de estudio tanto en "X" como en "Y" para verificar si existe problemas torsionales en la edificación se verifican los valores de RZ y estos no deben ser mayores al 10% como se muestra en la siguiente **Tabla 13:** Torsión en los modos traslacionales.

Torsión	en	el	modo	Torsión	en	el	modo
traslacion	nal X			traslacion	nal Y		
	0,22	9			0,000	06	
no	cun	nple		-	cump	ole	

Tabla 13: Torsión en los modos traslacionales.

3.6.3.7.3 Control de Derivas

Para la verificación de las derivas según la Normativa (NEC) es un proceso que se verifica a través de los desplazamientos laterales entre pisos debido a cargas sísmicas los cuáles no deben exceder los límites permitidos, en el cual se garantice la estabilidad de la estructura y la seguridad de los elementos estructurales, según la normativa redacta que las derivas inelásticas o deben sobrepasar el 2% en ambas direcciones.

$$\Delta ine = 0.75 * R * \Delta e$$

Donde:

 $\Delta ine = Deriva máxima inelástica$

 $\Delta e = Desplazamiento obtenido en la aplicación de las fuerzas laterales$

R = Factor de reducción de resistencia

3.6.3.7.3.1 Control de Derivas en X

$$\Delta ine = 0.75 * 6 * 0.002835$$

 $\Delta ine = 1,29\% < 2\%$: cumple deriva

3.6.3.7.3.2 Control de Derivas en Y

$$\Delta ine = 0.75 * 6 * 0.002697$$

$$\Delta ine = 1,21\% < 2\%$$
 : cumple deriva

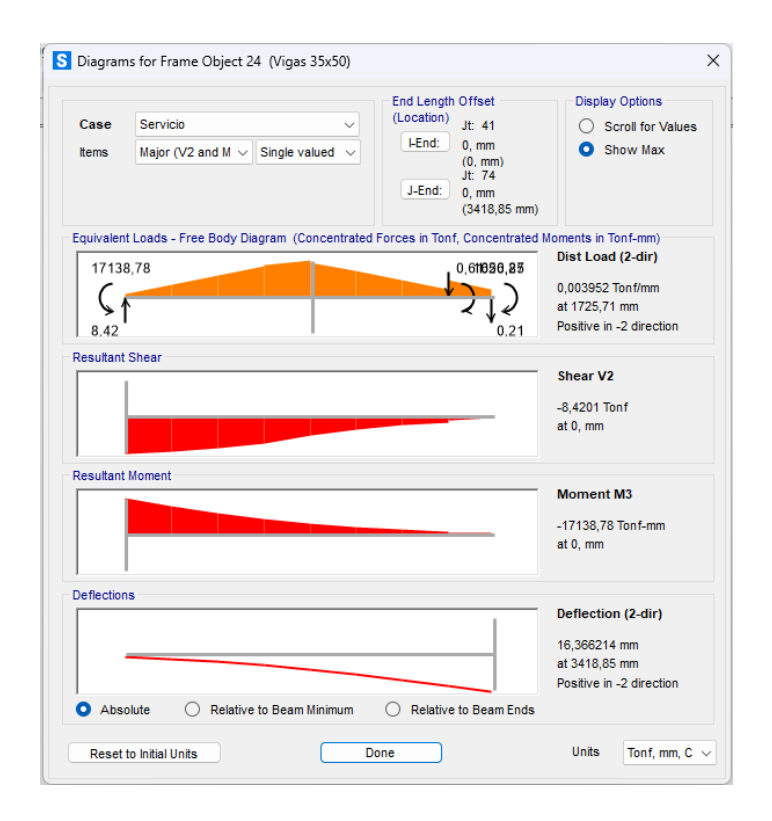
Para esta edificación las derivas inelásticas en cada piso son menores al 2% por lo que la estructura si cumple con el chequeo de derivas.

3.6.3.7.4 Deflexiones en los elementos.

Para la revisión de deflexiones en los elementos estructurales se evalúan los desplazamientos bajo las condiciones de carga de servicio, y estos valores deben mantenerse en el rango de los límites establecidos por la NEC comparándose con un máximo de L/360, en función a la longitud del elemento y las cargas aplicadas.

El siguiente análisis es importante para asegurar el correcto comportamiento de los diferentes tipos de elementos estructurales, y prevenir cualquier tipo de colapso o riesgo para la seguridad de los ocupantes de las edificaciones.

En la siguiente **Captura 16:** Deflexión de viga en volado. se muestra la deflexión en el elemento más cargado según el análisis en el software de modelado, siendo esta una viga de volado.



Captura 16: Deflexión de viga en volado.

Fuente: Autor

$$Deflexión = 16,366 mm$$

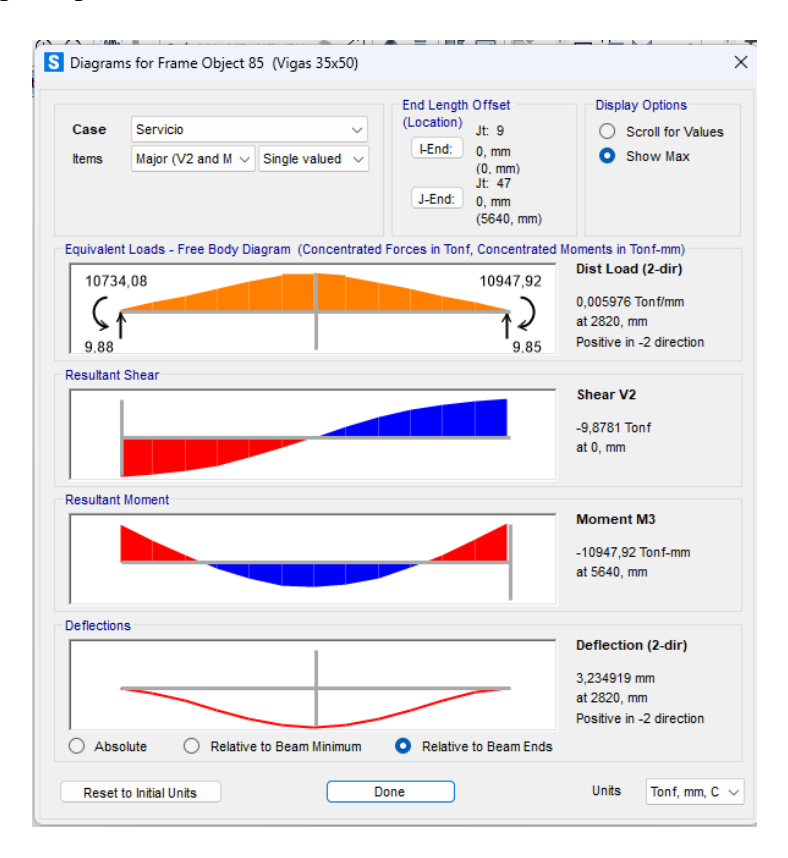
Longitud = 3418,85 mm

$$Deflexión < \frac{L}{360} \rightarrow Deflexión < \frac{3418,85 \ mm}{360}$$

$$16,366 \ mm < \frac{3418,85 \ mm}{360}$$

16,366 mm < 9,497 mm no cumple

En la siguiente **Captura 17:** Deflexión de viga cargadora. se muestra la deflexión en el elemento más cargado según el análisis en el software de modelado, siendo esta una viga de cargadora principal.



Captura 17: Deflexión de viga cargadora.

Fuente: Autor

$$Deflexión = 3,2349 mm$$

$$Longitud = 5640 mm$$

$$Deflexión < \frac{L}{360} \rightarrow Deflexión < \frac{5640 \text{ mm}}{360}$$

$$3,2349 \ mm < \frac{5640 \ mm}{360}$$

 $3,2349 \ mm < 15,67 \ mm \ cumple$

3.6.3.7.5 Distorsiones de piso

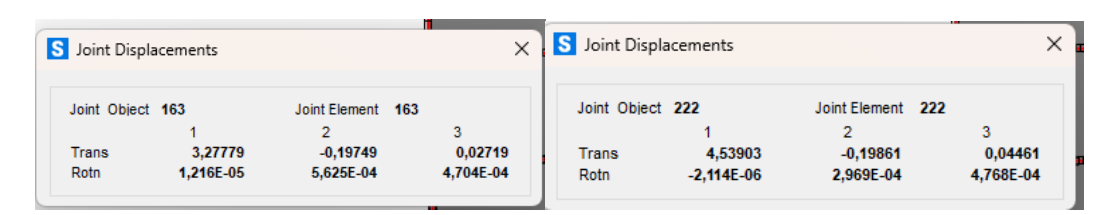
Para verificar si la estructura presenta distorsiones de piso se debe visualizar la estructura en planta y se debe buscar donde la distorsión de piso sea mayor, siendo así que estos puntos se encuentran en las esquinas de la losa del último piso, una vez que se encuentre en este punto se debe también revisar y comparar con el extremo opuesto, y a ambos puntos se determina cuanto se han deformado utilizando la siguiente ecuación.

$$Distorsi\'on = \left[\frac{1,2*(Desplazamiento~1 + Desplazamiento~2)}{2}\right]$$

Si el resultado es menor que el valor máximo de ambos desplazamientos, entonces significa que hay distorsión y no se cumple con los requisitos para un correcto desempeño estructural, caso de que sea mayor o igual entonces la estructura si cumple y no habría problema de distorsión de piso.

3.6.3.7.5.1 Distorsiones de piso en X

En la siguiente **Captura 18:** Desplazamientos del último piso para verificación de distorsión. Se muestran los valores para el análisis respectivo.



Captura 18: Desplazamientos del último piso para verificación de distorsión.

Fuente: Autor

Desplazamiento 1 = 3,277 cm

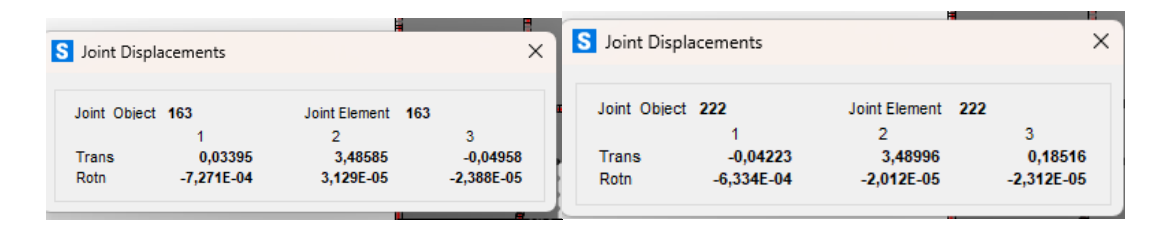
 $Desplazamiento\ 2 = 4,539\ cm$

Distorsión en
$$x = \left[\frac{1,2 * (3,277 cm + 4,539 cm)}{2} \right]$$

Distorsión en x = 3,69 cm : Hay distorsiones de piso

3.6.3.7.5.2 Distorsiones de piso en Y

En la siguiente **Captura 19:** Desplazamientos para verificar las distorsiones de pisos se muestran los valores para el análisis respectivo.



Captura 19: Desplazamientos para verificar las distorsiones de pisos

Fuente: Autor

Desplazamiento 1 = 3,4858 cm

Desplazamiento 2 = 3,4899cm

Distorsión en Y =
$$\left[\frac{1,2 * (3,4858 cm + 3,4899 cm)}{2} \right]$$

Distorsión en Y = 4,18 cm : no hay distorsiones de piso

3.6.3.7.6 Verificación de índice de estabilidad.

Este análisis evalúa el efecto de las deformaciones laterales en la estructura debido a las cargas gravitacionales y laterales que carguen sobre la misma, siendo así que este fenómeno considera el cómo afectan los desplazamientos horizontales incrementando los momentos flectores y las fuerzas internas.

De acuerdo con la NEC-SE-DS-Peligro-Sísmico, loa parámetros para estimar el valor del Índice de estabilidad del piso los cuales se visualizan en la siguiente **Ilustración 18:** Ecuación del índice de estabilidad según la NEC-SE-DS

$$Q_i = \frac{P_i \Delta_i}{V_i h_i}$$

Dónde:

Qi Índice de estabilidad del piso i, es la relación entre el momento de segundo orden y el momento de primer orden.

P_i Suma de la carga vertical total sin mayorar, incluyendo el peso muerto y la sobrecarga por carga viva, del piso i y de todos los pisos localizados sobre el piso i

Deriva del piso i calculada en el centro de masas del piso.

Vi Cortante sísmico del piso i

h_i Altura del piso i considerado

Ilustración 18: Ecuación del índice de estabilidad según la NEC-SE-DS

Fuente: NEC-2015

En la siguiente **Tabla 14:** Índice de estabilidad en X y en la **Tabla 15:** Índice de estabilidad en Y se muestran los resultados obtenidos en base de la estructura modelada.

Índice de estab	Índice de estabilidad X										
Piso	Hi	Pi	Vi	Di	Qi < 0,1						
Terraza	2,7	166,0085	36,5296	0,039222	0,06601633						
Planta alta 4	2,8	402,5093	79,6248	0,035359	0,06383656						
Planta alta 3	2,8	641,5143	115,9491	0,029223	0,05774385						
Planta alta 2	2,8	901,4733	146,8923	0,021489	0,04709904						
Planta alta 1	2,5	1214,2095	169,2435	0,012274	0,03522311						
mezanine	2,5	1413,4974	177,74	0,004848	0,01542171						
	1	I	- I	-1	cumple						

Tabla 14: Índice de estabilidad en X

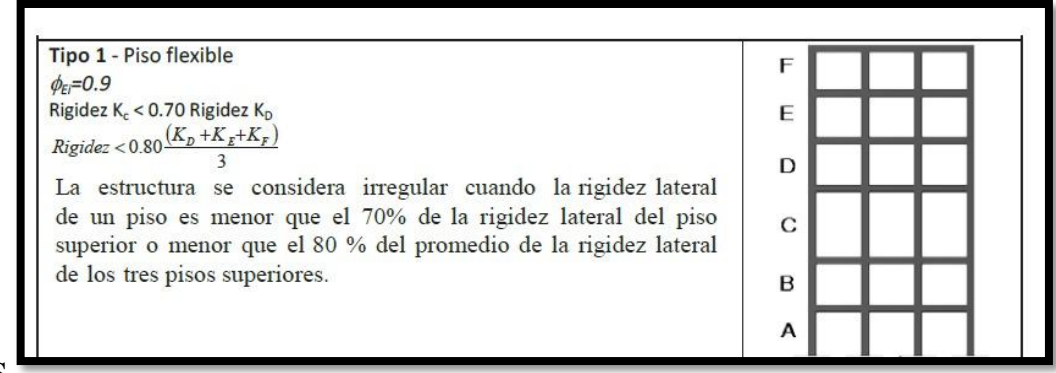
Piso	Hi	Pi	Vi	Di	Qi < 0,1
Terraza	2,7	166,00	44,25	0,034	0,048
Planta alta 4	2,8	402,50	96,32	0,030	0,045
Planta alta 3	2,8	641,51	140,06	0,024	0,039
Planta alta 2	2,8	901,47	177,14	0,017	0,030
Planta alta 1	2,5	1214,20	203,75	0,008	0,020
mezanine	2,5	1413,49	213,76	0,0031	0,008
	l .	I	_1		cumple

Tabla 15: Índice de estabilidad en Y

Quiere decir que los resultados muestran los efectos con respecto a la estabilidad de la estructura, siendo así que no deben ser considerados.

3.6.3.7.6 Verificación de piso blando

El chequeo de pisos blandos en la estructura consiste en verificar el valor de la rigidez lateral de un piso relacionándolo con los pisos adyacentes, para evitar deformaciones excesivas y posibles fallas durante un sismo, para lo cual se evalúa la rigidez entre pisos y se comparan los desplazamientos para identificar irregularidades como se muestra en la siguiente **Tabla 16:** Cálculo de valores para verificación de pisos blandos. En base a las fórmulas mostradas en la **Ilustración 19:** Verificación de pisos flexible según la NEC-SE-



DS

Ilustración 19: Verificación de piso flexible según la NEC-SE-DS

Fuente: NEC 2015

	ANALISIS EN X										
Piso	V	Despl	RIGIDEZ	Verificació	on 70%	verificación	1 80%				
Terraza	36,52	0,039	931,35	no aplica							
Planta alta 4	79,62	0,035	2251,89	651,94	cumple	no aplica					
Planta alta 3	115,94	0,029	3967,73	1576,32	cumple	no aplica					
Planta alta 2	146,89	0,021	6835,69	2777,41	cumple	1906,9	cumple				
Planta alta 1	169,24	0,012	13788,78	4784,98	cumple	3481,42	cumple				
mezanine	177,74	0,0048	36662,54	9652,14	cumple	6557,92	cumple				
			ANALISIS	EN Y							
Piso	V	Despl	RIGIDEZ	Verificació	ón 70%	verificación	n 80%				
Terraza	44,25	0,034	1274,47	no aplica							
Planta alta 4	96,32	0,030	3155,41	892,130	cumple	no aplica					
Planta alta 3	140,06	0,024	5737,71	2208,79	cumple	no aplica					
Planta alta 2	177,14	0,017	10391,75	4016,40	cumple	2711,36	cumple				
Planta alta 1	203,75	0,008	23482,5	7274,23	cumple	5142,63	cumple				
mezanine	213,76	0,003	68846,73	16437,76	cumple	10563,19	cumple				

Tabla 16: Cálculo de valores para verificación de pisos blandos.

Fuente: Autor

Los resultados obtenidos demuestran la presencia de pisos rígidos y no existe la presencia de pisos blandos, cabe destacar que en donde dice "no aplica" es debido a que la norma exige que en la verificación del 70% se toma en cuenta un piso superior, y al estar ya en la terraza, no hay presencia de pisos superiores, así mismo en la verificación del 80% la norma exige tomar en cuenta tres pisos superiores por ende llega a un punto en donde ya no hay los 3 pisos superiores requeridos y por ende no aplicará a su verificación.

CAPÍTULO IV ANÁLISIS E INTERPRETACIÓN DE RESULTADOS 4.

4.1 Análisis de resultados

En base al estudio correspondiente de la edificación, se modeló empleando el uso de los

planos estructurales, tomando en cuenta todos los aspectos necesarios desde las secciones

de elementos, consideraciones normativas como las inercias agrietadas, secciones de

elementos, configuraciones tanto en planta y elevación de tal forma que nos permita

realizar unos estudios con un menor margen de error permitiendo conocer el desempeño

y los resultados de la edificación.

4.1.1 Inspección Visual Rápida (FEMA P-154)

Nombre del Edificio: "Edificio 9 de Mayo".

Datos de Propietario: Reservado

Uso: Edificio de uso residencial y comercial

Ciudad: Machala

Ubicación Geográfica: Zona 17S

Descripción General

Año de construcción: 2021

Intervenciones y/o modificaciones: Ninguna

Área de construcción: 249,96 m2

Número de pisos: 5

Evolución en el tiempo: El edificio no tiene mucho tiempo de construcción por lo tanto

no ha sufrido deterioros relevantes.

Número de usuarios diarios promedio: 20 usuarios diarios promedios.

Tipo de estructura: Pórticos de hormigón armado (C1)

Materiales: Bloques, cemento, material granular, acero.

81

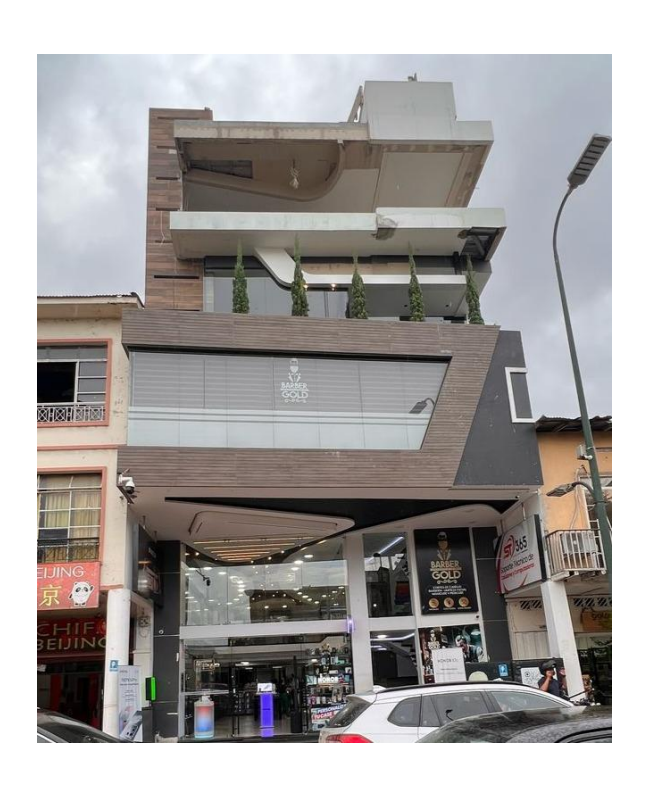


Ilustración 20: Estado actual de la edificación (2025)

Cimentación: El tipo de cimentación es directa y superficial, es decir cuenta con un sistema de zapatas aisladas con vigas de cimentación.

Vigas: El tipo de vigas son vigas peraltadas, es decir que sobresalen de las losas, según se visualiza los planos del diseño estructural y según su geometría medible.

Columnas: El tipo de columnas son columnas rectangulares en mezanine, planta baja hasta la tercera planta y en la cuarta y quinta son columnas según se haya calculado en la evaluación estructural del edificio, en la presente evaluación no se divisan fallas o deformaciones en ninguna columna de todo el edificio.

Sistemas de piso: El sistema de piso es una losa aligerada, ya que no se cuenta con planos arquitectónicos, la cubierta de los pisos está decorado con cerámica de 30x30, visualmente no se visualizan grietas o fisuras como fallas en ninguno de los elementos.

En base a algunos datos obtenidos, tanto en observación de campo como en la visualización de planos, ayuda a llenar los campos obligatorios de las metodologías mencionadas a continuación lo cual es un aporte necesario para determinar un puntaje que califique a la edificación.

4.1.1 Inspección Visual Rápida (FEMA)

MINISTER 1 4 4 5 1	11.0					Add	ress: D	NK									
	1	SOL.				7.44							7	ip: DN	ĸ		
100	Opin"	-	-	-		Othe	er Identi	fiers:	DNK					-			
		1	- 1				ding Na										
1		-3				10000	-	_	esidencial								
	100		1			10000	tude: Di					Longitu	de:	DNK			
						Ss	0.8					10000	.86				
		100	li I			1000			m Marcel	o Ochoa		many	ate/Time	21/0	06/2025:	15:00 pn	n
							Stories:	-	e Grade			w Grade	ACCESSOR 1715 AV	-	Built:	-] EST
				1		0.000	I Floor			_	96 m2	w Glauc	_		Year:	2021	J 120
The second	20		ALC: UN	1		140060	itions:	XN		Yes, Y		Built	3	-		LULI	
		里		10		-	upancy		embly	Comme		Emer. S	ervices	Пн	istoric	☐ Shelt	er
AND PROPERTY.							apanoy.	Indi	ustrial	Office		School		G	overnmer		
							_	Utili		Wareho			ntial, # Ur				
				_		Soil	Type:	Hard Rock	Avg Rock	Dens	se S	tiff S	oft P		NK DNK ass	ите Туре	D.
	100	7 +				Geo	logic Ha	3.6721.677	Liquefac	tion: Yes		-		_	Surf Ru	int: Yes	No/DI
		1 -	-	-			cency:			unding						t Building	
(2)			-	-		-	gularitie			rtical (ty			THE REAL PROPERTY.	ont runc	, apassi	. Daniang	
			-	-		nief	Julaniue	э.		an (type)			roceso e	xcesivo e	n las esq	uinas	
						Exte	rior Fal	lina	- 22	braced	_					eavy Ven	nor
		1 _					ards:	m.A		arapets.	Omman (e)			endages	1112	auty ton	1001
4									☐ O				- //				
0+	+					CO	MMENT	S:									
						1,	Vinguno										
(1)		+ =				1 "	viii gurid										
0		1				1	Milguill	,									
0+] "	vii igu ik										
(E) =							vii iguili										
0							Villgano	Š									
0	i						Villigani										
© 10 10 10 10 10 10 10 10 10 10 10 10 10	KETCH						e Conta		es or con	nments o	on sepan	ate page					
SI		ASIC	SCOR	RE, MO	DIFIEF		Additiona	al sketch	es or con		on sepan						
		ASIC WIA	SCOR W2	RE, MO	DIFIEF \$2 (BR)		Additions ND FIN	al sketch			C3		PC2	RM1 (FD)	RM2 (RD)	URM	МН
FEMA BUILDING TYPE Do Not	В	-	_	S1	S2	RS, AM	Additions ND FIN	al sketch	C1	SCO	RE, S	L1 PC1				URM	- 100
FEMA BUILDING TYPE Do Not Know	W1	W1A 3.7 -1.3	W2	S1 (MRF)	\$2 (BR) 2.2 -1.0	RS, AN \$3 (LM) 2.9 -1.2	Additions ND FIN S4 (RC SW) 2.2 -1.0	al sketch	C1 (MRF)	C2 (SW)	C3 (URM NF) 1.4 -0.8	PC1 (TU)	PC2	(FD) 1.8 -1.0	(RD)	5,000	2.2
FEMA BUILDING TYPE Do Not Know Basic Score Severe Vertical Irregularity, V _{L1} Moderate Vertical Irregularity, V _{L1}	W1 4.1 -1.3 -0.8	W1A 3.7 -1.3 -0.8	3.2 -1.3 -0.8	S1 (MRF) 2.3 -1.1 -0.7	\$2 (BR) 2.2 -1.0 -0.6	S3 (LM) 29 -1.2 -0.8	Additions ND FIN S4 (RC 5W) 2.2 -1.0 -0.6	SS (URM (NF) 2.0 -0.9 -0.6	C1 (MRF) 1.7 -1.0 -0.6	C2 (SW) 2.1 -1.1 -0.6	C3 (URM NF) 1.4 -0.8 -0.5	PC1 (TU) 1.8 -1.0 -0.6	PC2 1.5 -0.9 -0.6	1.8 -1.0 -0.6	1.8 -1.0 -0.6	1.2 -0.8 -0.5	2.2 NA
FEMA BUILDING TYPE Do Not Know Basic Score Severe Vertical Irregularity, V_{L1} Moderate Vertical Irregularity, V_{L1} Plan Irregularity, P_{L1}	4.1 -1.3 -0.8 -1.3	3.7 -1.3 -0.8 -1.2	3.2 -1.3 -0.8 -1.1	\$1 (MRF) 2.3 -1.1 -0.7 -0.9	\$2 (BR) 2.2 -1.0 -0.6 -0.8	S3 (LM) 29 -1.2 -0.8 -1.0	Additions ND FIN S4 (RC 5W) 2.2 -1.0 -0.6 -0.8	SS (URM (NF) 2.0 -0.9 -0.6 -0.7	C1 (MRF) 1.7 -1.0 -0.6 -0.7	C2 (SW) 2.1 -1.1 -0.6 -0.9	C3 (URM NF) 1.4 -0.8 -0.5 -0.6	PC1 (TU) 1.8 -1.0 -0.6 -0.8	PC2 1.5 -0.9 -0.6 -0.7	1.8 -1.0 -0.6 -0.7	1.8 -1.0 -0.6 -0.7	1.2 -0.8 -0.5 -0.5	2.2 NA NA
FEMA BUILDING TYPE Do Not Know Basic Score Severe Vertical Irregularity, V _{L1} Moderate Vertical Irregularity, V _{L1} Plan Irregularity, P _{L1} Pre-Code	4.1 -1.3 -0.8 -1.3 -0.8	W1A 3.7 -1.3 -0.8 -1.2 -0.9	3.2 -1.3 -0.8 -1.1 -0.9	S1 (MRF) 2.3 -1.1 -0.7 -0.9 -0.5	\$2 (BR) 2.2 -1.0 -0.6 -0.8 -0.5	29 -1.2 -0.8 -1.0 -0.7	Additions ND FIN S4 (RC 5W) 2.2 -1.0 -0.6 -0.8 -0.6	SS (URM INF) -0.9 -0.6 -0.7 -0.2	C1 (MRF) 1.7 -1.0 -0.6 -0.7 -0.4	C2 (SW) 2.1 -1.1 -0.6 -0.9 -0.7	C3 (URM NF) 1.4 -0.8 -0.5 -0.6 -0.1	PC1 (TU) 1.8 -1.0 -0.6 -0.8 -0.4	PC2 1.5 -0.9 -0.6 -0.7 -0.3	1.8 -1.0 -0.6 -0.7 -0.5	1.8 -1.0 -0.6 -0.7 -0.5	1.2 -0.8 -0.5 -0.5 -0.1	NA NA NA
FEMA BUILDING TYPE Do Not Know Basic Score Severe Vertical Irregularity, V _{L1} Moderate Vertical Irregularity, V _{L1} Plan Irregularity, P _{L1} Plan Code Post-Benchmark	4.1 -1.3 -0.8 -1.3	3.7 -1.3 -0.8 -1.2	3.2 -1.3 -0.8 -1.1	\$1 (MRF) 2.3 -1.1 -0.7 -0.9	\$2 (BR) 2.2 -1.0 -0.6 -0.8	S3 (LM) 29 -1.2 -0.8 -1.0	Additions ND FIN S4 (RC 5W) 2.2 -1.0 -0.6 -0.8	SS (URM (NF) 2.0 -0.9 -0.6 -0.7	C1 (MRF) 1.7 -1.0 -0.6 -0.7	C2 (SW) 2.1 -1.1 -0.6 -0.9	C3 (URM NF) 1.4 -0.8 -0.5 -0.6	PC1 (TU) 1.8 -1.0 -0.6 -0.8	PC2 1.5 -0.9 -0.6 -0.7	1.8 -1.0 -0.6 -0.7	1.8 -1.0 -0.6 -0.7	1.2 -0.8 -0.5 -0.5	2.2 NA NA NA 1.2
FEMA BUILDING TYPE Basic Score Severe Vertical Irregularity, V _{L1} Moderate Vertical Irregularity, V _{L1} Plan Irregularity, P _{L1} Pre-Code Post-Benchmark Soil Type A or B	4.1 -1.3 -0.8 -1.3 -0.8 1.5	W1A 3.7 -1.3 -0.8 -1.2 -0.9 1.9	3.2 -1.3 -0.8 -1.1 -0.9 2.3	\$1 (MRF) 2.3 -1.1 -0.7 -0.9 -0.5 1.4	\$2 (BR) 2.2 -1.0 -0.6 -0.8 -0.5 1.4	29 -1.2 -0.8 -1.0 -0.7 1.0	Additions ND FIN S4 (RC 5W) 2.2 -1.0 -0.6 -0.8 -0.6 1.9	S5 (URM INF) 2.0 -0.9 -0.6 -0.7 -0.2 NA	C1 (MRF) 1.7 -1.0 -0.6 -0.7 -0.4 1.9	C2 (SW) 2.1 -1.1 -0.6 -0.9 -0.7 2.1	C3 (URM NF) 1.4 -0.8 -0.5 -0.6 -0.1 NA	PC1 (TU) 1.8 -1.0 -0.6 -0.8 -0.4 2.1	PC2 1.5 -0.9 -0.6 -0.7 -0.3 2.4	1.8 -1.0 -0.6 -0.7 -0.5 2.1	1.8 -1.0 -0.6 -0.7 -0.5 2.1	1.2 -0.8 -0.5 -0.5 -0.1 NA	2.2 NA NA NA 0.1 1.2
FEMA BUILDING TYPE Do Not Know Basic Score Severe Vertical Irregularity, V _{L1} Moderate Vertical Irregularity, V _{L1} Plan Irregularity, P _{L1} Pre-Code Post-Benchmark Soil Type A or B Soil Type E (+3 stories) Soil Type E (> 3 stories)	4.1 -1.3 -0.8 -1.3 -0.8 1.5 0.3 0.0 -0.5	W1A 3.7 -1.3 -0.8 -1.2 -0.9 1.9 0.6 -0.1 -0.8	3.2 -1.3 -0.8 -1.1 -0.9 2.3 0.9 -0.3 -1.2	\$1 (MRF) 2.3 -1.1 -0.7 -0.9 -0.5 1.4 0.6 -0.4 -0.7	\$2 (BR) 2.2 -1.0 -0.6 -0.8 -0.5 1.4 0.9 -0.5 -0.7	S3 (LM) 29 -1.2 -0.8 -1.0 -0.7 1.0 0.3 0.0 NA	Additions ND FIN S4 (RC 5W) 2.2 -1.0 -0.6 -0.8 -0.6 1.9 -0.4 -0.7	SS (URM) -0.9 -0.5 -0.6 -0.5 -0.6	1.7 -1.0 -0.6 -0.7 -0.4 1.9 -0.6 -0.2 -0.6	C2 (SW) 2.1 -1.1 -0.6 -0.9 -0.7 2.1 0.8 -0.2 -0.8	C3 (URM NF) 1.4 -0.8 -0.5 -0.6 -0.1 NA 0.7 -0.4 -0.4	1.8 -1.0 -0.6 -0.8 -0.4 2.1 0.9 -0.5 NA	PC2 1.5 -0.9 -0.6 -0.7 -0.3 -0.7 -0.3 -0.5	1.8 -1.0 -0.6 -0.7 -0.5 2.1 0.8 -0.4 -0.6	1.8 -1.0 -0.6 -0.7 -0.5 2.1 0.8 -0.4 -0.7	1.2 -0.8 -0.5 -0.5 -0.1 NA -0.6 -0.3 -0.3	2.2 NA NA NA -0.1 1.2 0.9 -0.1
FEMA BUILDING TYPE Do Not Know Basic Score Severe Vertical Irregularity, V _{L1} Moderate Vertical Irregularity, V _{L1} Plan Irregularity, P _{L1} Pre-Code Post-Benchmark Soil Type A or B Soil Type E (+3 stories) Soil Type E (> 3 stories) Minimum Score, Same	4.1 -1.3 -0.8 -1.3 -0.8 1.5 0.3 0.0 -0.5	W1A 3.7 -1.3 -0.8 -1.2 -0.9 1.9 0.6 -0.1	3.2 -1.3 -0.8 -1.1 -0.9 2.3 0.9 -0.3	\$1 (MRF) 2.3 -1.1 -0.7 -0.9 -0.5 1.4 0.6 -0.4	\$2 (BR) 2.2 -1.0 -0.6 -0.8 -0.5 1.4 0.9 -0.5	29 -1.2 -0.8 -1.0 -0.7 1.0 0.3 0.0	Additions ND FIN S4 (RC 5W) 2.2 -1.0 -0.6 -0.6 -0.6 1.9 0.9 -0.4	SS (URM INF) 20 -0.9 -0.6 -0.7 -0.2 NA 0.9 -0.5	C1 (MRF) 1.7 -1.0 -0.6 -0.7 -0.4 1.9 0.6 -0.2 -0.6 -0.3	C2 (SW) 2.1 -1.1 -0.6 -0.9 -0.7 2.1 0.8 -0.2	C3 (URM NF) 1.4 -0.8 -0.5 -0.6 -0.1 NA 0.7 -0.4	PC1 (TU) 1.8 -1.0 -0.6 -0.8 -0.4 2.1 0.9 -0.5	PC2 1.5 -0.9 -0.6 -0.7 -0.3 2.4 0.7 -0.3	1.8 -1.0 -0.6 -0.7 -0.5 2.1 0.8 -0.4	1.8 -1.0 -0.6 -0.7 -0.5 2.1 0.8 -0.4	1.2 -0.8 -0.5 -0.5 -0.1 NA 0.6 -0.3	MH 2.22 NA NA NA -0.3 1.2 0.9 -0.5 NA
FEMA BUILDING TYPE Do Not	4.1 -1.3 -0.8 -1.3 -0.8 1.5 0.3 0.0 -0.5	W1A 3.7 -1.3 -0.8 -1.2 -0.9 1.9 0.6 -0.1 -0.8	3.2 -1.3 -0.8 -1.1 -0.9 2.3 0.9 -0.3 -1.2	\$1 (MRF) 2.3 -1.1 -0.7 -0.9 -0.5 1.4 0.6 -0.4 -0.7	\$2 (BR) 2.2 -1.0 -0.6 -0.8 -0.5 1.4 0.9 -0.5 -0.7	S3 (LM) 29 -1.2 -0.8 -1.0 -0.7 1.0 0.3 0.0 NA	Additions ND FIN S4 (RC 5W) 2.2 -1.0 -0.6 -0.8 -0.6 1.9 -0.4 -0.7	SS (URM) -0.9 -0.5 -0.6 -0.5 -0.6	1.7 -1.0 -0.6 -0.7 -0.4 1.9 -0.6 -0.2 -0.6	C2 (SW) 2.1 -1.1 -0.6 -0.9 -0.7 2.1 0.8 -0.2 -0.8	C3 (URM NF) 1.4 -0.8 -0.5 -0.6 -0.1 NA 0.7 -0.4 -0.4	1.8 -1.0 -0.6 -0.8 -0.4 2.1 0.9 -0.5 NA	PC2 1.5 -0.9 -0.6 -0.7 -0.3 -0.7 -0.3 -0.5	1.8 -1.0 -0.6 -0.7 -0.5 2.1 0.8 -0.4 -0.6	1.8 -1.0 -0.6 -0.7 -0.5 2.1 0.8 -0.4 -0.7	1.2 -0.8 -0.5 -0.5 -0.1 NA -0.6 -0.3 -0.3	2.2 NA NA NA -0.3 1.2 0.9 -0.5 NA
FEMA BUILDING TYPE Do Not Know Basic Score Severe Vertical Irregularity, V _{L1} Moderate Vertical Irregularity, V _{L2} Plan Irregularity, P _{L1} Pre-Code Post-Benchmark Soil Type A or B Soil Type E (+3 stories) Soil Type E (> 3 stories) Minimum Score, Same	4.1 -1.3 -0.8 -1.3 -0.8 1.5 0.3 0.0 -0.5	W1A 3.7 -1.3 -0.8 -1.2 -0.9 1.9 0.6 -0.1 -0.8	3.2 -1.3 -0.8 -1.1 -0.9 2.3 0.9 -0.3 -1.2 0.8	\$1 (MRF) 2.3 -1.1 -0.7 -0.9 -0.5 1.4 0.6 -0.4 -0.7	\$2 (BR) 2.2 -1.0 -0.6 -0.8 -0.5 1.4 0.9 -0.5 -0.7	SS, AN S3 [LM] 29 -1.2 -0.8 -1.0 -0.7 -1.0 0.3 0.0 NA 0.9	Additions S4 (RC 5W) 2.2 1.0 0.6 0.8 0.6 1.9 0.9 0.4 0.7 0.5	SS (URM) -0.9 -0.5 -0.6 -0.5 -0.6	C1 (MRF) 1.7 -1.0 -0.6 -0.7 -0.4 1.9 0.6 -0.2 -0.6 0.3 1.0	C2 (SW) 2.1 -1.1 -0.6 -0.9 -0.7 2.1 0.8 -0.2 -0.8	C3 (URM NF) 1.4 -0.8 -0.5 -0.6 -0.1 NA 0.7 -0.4 -0.4 -0.3	PC1 (TU) 1.8 -1.0 -0.6 -0.8 -0.4 2.1 0.9 -0.5 NA 0.3	PC2 1.5 -0.9 -0.6 -0.7 -0.3 -0.7 -0.3 -0.5	1.8 -1.0 -0.6 -0.7 -0.5 2.1 0.8 -0.4 -0.6	1.8 -1.0 -0.6 -0.7 -0.5 2.1 0.8 -0.4 -0.7	1.2 -0.8 -0.5 -0.5 -0.1 NA -0.6 -0.3 -0.3	2.2 NA NA NA -0.1 1.2 0.9 -0.1
FEMA BUILDING TYPE Basic Score Severe Vertical Irregularity, V _{L1} Moderate Vertical Irregularity, V _{L1} Plan Irregularity, P _{L1} Pre-Code Post-Benchmark Soil Type A or B Soil Type A or B Soil Type E (+3 stories) Soil Type E (>3 stories) Minimum Score, S _{MM} FINAL LEVEL 1 SCORE, S _{L1} ≥ S _{MB} EXTENT OF REVIEW Exterior: Partial □	## 4.1 -1.3 -0.8 -1.3 -0.8 1.5 0.3 0.0 -0.5 7.6	W1A 3.7 -1.3 -0.8 -1.2 -0.9 1.9 0.6 -0.1 -0.8 1.2	3.2 -1.3 -0.8 -1.1 -0.9 2.3 0.9 -0.3 -1.2 0.8	\$1 (MRF) 2.3 -1.1 -0.7 -0.9 -0.5 1.4 0.6 -0.4 -0.7 0.5	\$2 (BR) 2.2 -1.0 -0.6 -0.8 -0.5 1.4 0.9 -0.5 -0.7 0.5	SS, AN S3 (LM) 2.9 -1.2 -0.8 -1.0 -0.7 1.0 0.3 0.0 NA 0.9	Additions ND FIN S4 PRC 5N) -0.6 -0.8 -0.6 1.9 -0.9 -0.7 -0.5	S5 (NF) 2.0 (-0.9 (NF) -0.6 (-0.7 (-0.5 (-	C1 (MRF) 1.7 -1.0 -0.6 -0.7 -0.4 1.9 -0.6 -0.2 -0.6 -0.3 -0.0 ACTI	C2 (SW) 2.1 -1.1 -0.6 -0.9 -0.7 2.1 0.8 -0.2 -0.8 0.3	C3 (URM NF) 1.4 -0.8 -0.5 -0.6 -0.1 NA 0.7 -0.4 -0.4 0.3	PC1 (TU) 1.8 -1.0 -0.6 -0.8 -0.4 2.1 0.9 -0.5 NA 0.3	PC2 1.5 -0.9 -0.6 -0.7 -0.3 -0.7 -0.3 -0.5	(FD) 1.8 -1.0 -0.6 -0.7 -0.5 2.1 0.8 -0.4 -0.6 0.3	1.8 -1.0 -0.6 -0.7 -0.5 2.1 0.8 -0.4 -0.7	1.2 -0.8 -0.5 -0.5 -0.1 NA -0.6 -0.3 -0.3	2.2 NA NA NA -0.1 1.2 0.9 -0.1
FEMA BUILDING TYPE Basic Score Severe Vertical Irregularity, V _{L1} Moderate Vertical Irregularity, V _{L1} Plan Irregularity, P _{L1} Plan Irregularity, P _{L1} Plan Irregularity, P _{L2} Plan Irregularity, P _{L3} Plan Irregularity, P _{L4} Soil Type A or B Soil Type A or B Soil Type E {1-3 stories} Soil Type E {-3 stories} Minimum Score, S _{MN} FINAL LEVEL 1 SCORE, S _{L5} ≥ S _{MN} EXTENT OF REVIEW Exterior: □ Partial □ Interior: □ None □	### ##################################	W1A 3.7 -1.3 -0.8 -1.2 -0.9 1.9 0.6 -0.1 -0.8 1.2	3.2 -1.3 -0.8 -1.1 -0.9 2.3 0.9 -0.3 -1.2 0.8	S1 (MRF) 2.3 -1.1 -0.7 -0.9 -0.5 1.4 0.6 -0.4 -0.7 0.5	\$2 (BR) 2.2 -1.0 -0.6 -0.8 -0.5 1.4 0.9 -0.5 -0.7 0.5	SS, AN S3 (LM) 2.9 -1.2 -0.8 -1.0 -0.7 1.0 0.3 0.0 NA 0.9	Additions ND FIN S4 PRC 5N) -0.6 -0.8 -0.6 1.9 -0.9 -0.7 -0.5	S5 (NF) 2.0 (-0.9 (NF) -0.6 (-0.7 (-0.5 (-	C1 (MRF) 1.7 -1.0 -0.6 -0.7 -0.4 1.9 0.6 -0.2 -0.6 -0.3 1.0 ACTI	C2 (SW) 2.1 -1.1 -0.6 -0.9 -0.7 2.1 0.8 -0.2 -0.8 0.3	RE, S C3 (URM (NF) 1.4 -0.8 -0.5 -0.6 -0.1 NA 0.7 -0.4 -0.4 0.3 EQUIF	PC1 (TU) 1.8 -1.0 -0.6 -0.8 -0.4 -2.1 0.9 -0.5 NA 0.3	PC2 1.5 -0.9 -0.6 -0.7 -0.3 2.4 0.7 -0.3 -0.5	(FD) 1.8 -1.0 -0.6 -0.7 -0.5 2.1 0.8 -0.4 -0.6 0.3	(RD) 1.8 -1.0 -0.6 -0.7 -0.5 2.1 0.8 -0.4 -0.7 0.3	1.2 -0.8 -0.5 -0.5 -0.1 NA -0.6 -0.3 -0.3	2.2 NA NA NA -0.1 1.2 0.5 -0.1
FEMA BUILDING TYPE Basic Score Severe Vertical Irregularity, V _{L1} Moderate Vertical Irregularity, V _{L2} Plan Irregularity, P _{L1} Plan Irregularity, P _{L2} Plan Irregularity, P _{L2} Pre-Code Post-Benchmark Soil Type A or B Soil Type E (1-3 stories) Soil Type E (1-3 stories) Minimum Score, Same FINAL LEVEL 1 SCORE, S _{L2} ≥ Same EXTENT OF REVIEW Exterior: None Drawings Reviewed: ∑ Yes	## 4.1 -1.3 -0.8 -1.3 -0.8 1.5 0.3 0.0 -0.5 7.6	W1A 3.7 -1.3 -0.8 -1.2 -0.9 1.9 0.6 -0.1 -0.8 1.2	3.2 -1.3 -0.8 -1.1 -0.9 2.3 0.9 -0.3 -1.2 0.8	S1 (MRF) 2.3 -1.1 -0.7 -0.9 -0.5 1.4 0.6 -0.4 -0.7 0.5 OTHER Are There Detailed: X Poun	\$2 (BR) 2.2 -1.0 -0.6 -0.8 -0.5 1.4 0.9 -0.5 -0.7 0.5 8 HAZJe Hazard Structura	RS, AN S3 (LM) 2.9 -1.2 -0.8 -1.0 0.3 0.0 0.3 0.0 NA 0.9	Additions ND FIN S4 PRC 599 1-10 0-6 0-8 0-9 0-9 0-9 0-7 0-5 Frigger A	SS (URM NF) 2.0 0.6 0.7 NA 0.9 0.5 0.5	C1 (MRF) 1.7 -1.0 -0.6 -0.7 -0.4 1.9 0.6 -0.2 -0.6 0.3 1.0 ACTI Detaile	C2 (SW) 2.1 -1.1 -0.6 -0.9 -0.7 2.1 0.8 -0.8 -0.3 CON RI ded Structure, unknown, score	C3 (URM NF) 1.4 -0.8 -0.5 -0.6 -0.1 NA 0.7 -0.4 -0.4 -0.3 EQUIF tural Ev	PC1 (TU) 1.8 -1.0 -0.6 -0.8 -0.4 -2.1 0.9 -0.5 NA 0.3 RED aluation	PC2 1.5 -0.9 -0.6 -0.7 -0.3 -2.4 0.7 -0.3 -0.5 0.2 Require	(FD) 1.8 -1.0 -0.6 -0.7 -0.5 2.1 0.8 -0.4 -0.6 0.3	(RD) 1.8 -1.0 -0.6 -0.7 -0.5 2.1 0.8 -0.4 -0.7 0.3	1.2 -0.8 -0.5 -0.5 -0.1 NA -0.6 -0.3 -0.3	2.2 NA NA NA -0.1 1.2 0.9 -0.1
FEMA BUILDING TYPE Basic Score Severe Vertical Irregularity, V _{L1} Moderate Vertical Irregularity, V _{L2} Plan Irregularity, P _{L1} Pre-Code Post-Benchmark Soil Type A or B Soil Type A or B Soil Type E (+3 stories) Soil Type E (>3 stories) Minimum Score, S _{MM} FINAL LEVEL 1 SCORE, S _{L2} ≥ S _{MM} EXTENT OF REVIEW Exterior: Partial Interior: None ⊠ Drawings Reviewed: ∑ Yes Yes Soil Type Source: EST	### ##################################	W1A 3.7 -1.3 -0.8 -1.2 -0.9 1.9 0.6 -0.1 -0.8 1.2	3.2 -1.3 -0.8 -1.1 -0.9 2.3 0.9 -0.3 -1.2 0.8	S1 (MRF) 2.3 -1.1 -0.7 -0.9 -0.5 1.4 0.6 -0.4 -0.7 0.5 OTHEF Are There Detailed : Pount cut-o	\$2 (BR) 2.2 -1.0 -0.6 -0.8 -0.5 -0.7 0.5 -0.7 0.5 -0.7 0.5 -0.7 0.5 -0.5 -0.7 -0.5 -0.7 -0.5 -0.7 -0.5 -0.7 -0.5 -0.7 -0.5 -0.7 -0.5 -0.7 -0.5 -0.7 -0.5 -0.7 -0.5 -0.7 -0.5 -0.7 -0.5 -0.7 -0.7 -0.5 -0.7 -0.7 -0.7 -0.7 -0.7 -0.7 -0.7 -0.7	29 -1.2 -0.8 S3 (LM) 29 -1.0 -0.7 1.0 0.3 0.0 NA 0.9 ARDS s That T	Additions S4 S8 S9 10 06 19 09 09 09 07 05	SS (URM NRF) -0.9 -0.9 -0.7 -0.2 NA 0.9 -0.5 -0.6	C1 (MRF) 1.7 -1.0 -0.6 -0.7 -0.4 1.9 0.6 -0.2 -0.6 -0.3 1.0 ACTI Detaile Ye Ye	C2 (SW) 2.1 -0.6 -0.9 -0.7 2.1 0.8 -0.2 -0.8 0.3 CON RI Sed Structure is set, unknown is set, score is set, score is set, softer	C3 (URM NF) 1.4 -0.8 -0.5 -0.6 -0.1 NA 0.7 -0.4 -0.4 -0.3 EQUIF tural Ev	PC1 (TU) 1.8 -1.0 -0.6 -0.8 -0.4 -2.1 0.9 -0.5 NA 0.3 RED aluation	PC2 1.5 -0.9 -0.6 -0.7 -0.3 -2.4 0.7 -0.3 -0.5 0.2 Require	(FD) 1.8 -1.0 -0.6 -0.7 -0.5 2.1 0.8 -0.4 -0.6 0.3	(RD) 1.8 -1.0 -0.6 -0.7 -0.5 2.1 0.8 -0.4 -0.7 0.3	1.2 -0.8 -0.5 -0.5 -0.1 NA -0.6 -0.3 -0.3	2.2 NA NA NA -0.1 1.2 0.9 -0.1
FEMA BUILDING TYPE Basic Score Severe Vertical Irregularity, V _{L1} Moderate Vertical Irregularity, V _{L1} Plan Irregularity, P _{L1} Pre-Code Post-Benchmark Soil Type A or B Soil Type E (+3 stories) Soil Type E (+3 stories) Minimum Score, S _{MN} FINAL LEVEL 1 SCORE, S _{L1} ≥ S _{MR} EXTENT OF REVIEW Exterior: None	### ##################################	W1A 3.7 -1.3 -0.8 -1.2 -0.9 1.9 0.6 -0.1 -0.8 1.2	3.2 -1.3 -0.8 -1.1 -0.9 2.3 0.9 -0.3 -1.2 0.8	S1 (MRF) 2.3 -1.1 -0.7 -0.9 -0.5 1.4 0.6 -0.4 -0.7 0.5 OTHEF Are There Detailed Pallin cut-o Fallin	\$2 (BR) 2.2 -1.0 -0.6 -0.8 -0.5 1.4 0.9 -0.5 -0.7 0.5 R HAZJ e Hazard Structura ding pole ff, if know g hazard	29 -1.2 -0.8 S3 (LM) 29 -1.0 -0.7 1.0 0.3 0.0 NA 0.9 ARDS s That T	Additions S4 S8 S9 10 06 19 09 09 09 07 05	SS (URM NRF) -0.9 -0.9 -0.7 -0.2 NA 0.9 -0.5 -0.6	C1 (MRF) 1.7 -1.0 -0.6 -0.7 -0.4 1.9 0.6 -0.2 -0.6 -0.3 1.0 ACTI Detaile Ye Ye No	C2 (SW) 2.1 -0.6 -0.9 -0.7 2.1 0.8 -0.2 -0.8 0.3 CON RI C	RE, S C3 (URM NF) 1.4 -0.8 -0.5 -0.6 -0.1 NA 0.7 -0.4 -0.4 0.3 EQUIF	1.8 1.0 0.6 0.8 0.4 2.1 0.9 0.5 NA 0.3 RED aluation IA building present	PC2 1.5 -0.9 -0.6 -0.7 -0.3 -0.4 -0.7 -0.3 -0.5 -0.2	(FD) 1.8 -1.0 -0.6 -0.7 -0.5 2.1 0.8 -0.4 -0.6 0.3	(RD) 1.8 -1.0 -0.6 -0.7 -0.5 2.1 0.8 -0.4 -0.7 0.3	1.2 -0.8 -0.5 -0.5 -0.1 NA -0.6 -0.3 -0.3 -0.3	2.2 NA NA NA -0.3 1.2 0.9 -0.9 NA 1.4
Basic Score Severe Vertical Irregularity, V _{L1} Moderate Vertical Irregularity, V _{L2} Plan Irregularity, P _{L1} Plan Irregularity, P _{L2} Plan Irregularity, P _{L2} Plan Irregularity, P _{L2} Plan Irregularity, P _{L2} Plan Irregularity, P _{L3} Plan Irregularity, P _{L4} Plan Irregularity, P _{L4} Plan Irregularity, P _{L4} Plan Irregularity, V _{L3} Plan Irregularity, V _{L3} Plan Irregularity, V _{L3} Soil Type A or B Soil Type A or B Soil Type E (> 3 stories) Minimum Score, S _{MM} FINAL LEVEL 1 SCORE, S _{L2} ≥ S _{MM} EXTENT OF REVIEW EXTENT OF REVIEW Exterior: Partial Interior: Partial Drawings Reviewed: Y yes Soil Type Source: EST Geologic Hazards Source: EST Contact Person: DNK	4.1 -1.3 -0.8 -1.3 -0.8 1.5 0.0 -0.5 7.6 4.1 Visible No	37 -1.3 -0.8 -1.2 -0.9 -0.1 -0.6 -0.1 -0.8 -1.2	3.2 -1.3 -0.8 -1.1 -0.9 2.3 0.9 -0.3 -1.2 0.8	S1 (MRF) 2.3 -1.1 -0.7 -0.9 -0.5 1.4 0.6 -0.4 -0.7 0.5 OTHEF Are Therm Detailed: ☑ Poun cut-o Fallin Geold Geold	\$2 (BR) 2.2 -1.0 -0.6 -0.8 -0.5 1.4 0.9 -0.5 -0.7 0.5 8 HAZZI ding pote ff, if know g hazard ing	29 -1.2 -0.8 -1.0 -0.7 -1.0 0.3 0.0 NA 0.9 ARDS s That T all Evaluation that is sfront to	Additions ND FIN S4 S0 S0 10 06 19 09 09 04 07 05	SS (URM NRF) -0.9 -0.9 -0.7 -0.2 NA 0.9 -0.5 -0.6 -0.5	C1 (MRF) 1.7 -1.0 -0.6 -0.7 -0.4 1.9 0.6 -0.2 -0.6 -0.3 1.0 ACTI Detaile Ye No Detaile	2.1 -1.1 -0.6 -0.9 -0.7 -0.8 -0.2 -0.8 -0.3 -0.8 dStruct	RE, S. C3 (JRM NF) 14 -0.8 -0.5 -0.6 -0.1 NA 0.7 -0.4 -0.4 -0.3 EQUIF tural Ev wwn FEM less that hazards tructural tructural tructural tructural control of the control of	L1 PC1 (TU) 1.8 -1.0 -0.6 -0.8 -0.4 2.1 0.9 -0.5 NA 0.3 RED aluation IA buildin n cut-off present	1.5 -0.9 -0.6 -0.7 -0.3 -0.5 -0.2 	(FD) 1.8 -1.0 -0.6 -0.7 -0.5 2.1 0.8 -0.4 -0.6 0.3	(RD) 1.8 -1.0 -0.6 -0.7 -0.5 2.1 0.8 -0.4 -0.7 0.3	1.2 -0.8 -0.5 -0.5 -0.1 NA -0.6 -0.3 -0.3 -0.2	2.2 NA NA NA -0.1 1.2 0.5 -0.1 NA
FEMA BUILDING TYPE Basic Score Severe Vertical Irregularity, V _{L1} Moderate Vertical Irregularity, V _{L1} Plan Irregularity, P _{L1} Pre-Code Post-Benchmark Soil Type A or B Soil Type A or B Soil Type E (+3 stories) Soil Type E (+3 stories) Minimum Score, S _{MM} FINAL LEVEL 1 SCORE, S _{L1} ≥ S _{MII} EXTENT OF REVIEW Exterior: Partial Interior: None ⊠ Drawings Reviewed: ∑ Yes Soil Type Source: EST Geologic Hazards Source: EST Geologic Hazards Source: EST Contact Person: DNK	4.1 -1.3 -0.8 -1.3 -0.8 1.5 0.0 -0.5 7.6 4.1 Visible No	3.7 -1.3 -0.8 -1.2 -0.9 -0.1 -0.8 -1.2 -0.8 -1.2 -0.8 -1.2 -0.8 -1.2 -0.8 -0.8 -0.8 -0.8 -0.8 -0.8 -0.8 -0.8	3.2 -1.3 -0.8 -1.1 -0.9 -2.3 -0.9 -0.3 -1.2 -0.8	S1 (MRF) 2.3 -1.1 -0.7 -0.9 -0.5 1.4 0.6 -0.4 -0.7 0.5 OTHEF Are There Detailed: ☑ Poun cut-o- □ Fallin □ Geole □ Signii	\$2 (BR) 2.2 -1.0 -0.6 -0.8 -0.5 -0.7 -0.5 -0.7 -0.5 R HAZJ R Hazard ff, if know g hazard ng	RS, AN S3 (LM) 2.9 -1.2 -0.8 -1.0 -0.7 -1.0 0.3 0.0 NA 0.9 ARDS s That T il Evalua ntbal (un nt) s from tz	Additions ND FIN S4 S0 S0 10 06 19 09 09 04 07 05	SS (URM NRF) -0.9 -0.9 -0.7 -0.2 NA 0.9 -0.5 -0.6 -0.5	C1 (MRF) 1.7 -10 -0.6 -0.7 -0.4 1.9 -0.6 -0.2 -0.6 -0.3 -0.9 -0.6 -0.3 -0.9 -0.9 -0.9 -0.9 -0.9 -0.9 -0.9 -0.9	21 -1.1 -0.6 -0.9 -0.7 -0.8 -0.2 -0.8 -0.3 -0.3 -0.3 -0.3 -0.3 -0.3 -0.3 -0.3	RE, S. C3 (JRM NF) 1.4 -0.8 -0.5 -0.6 -0.1 NA 0.7 -0.4 -0.4 0.3 EQUIF	1.8 -1.0 -0.6 -0.8 -0.4 -0.4 -0.5 NA -0.3 -0.3 -0.4 -0.3 -0.4 -0.3 -0.5 NA	1.5 -0.9 -0.6 -0.7 -0.3 -2.4 -0.7 -0.3 -0.5 -0.2 	1.8 -1.0 -0.6 -0.7 -0.5 2.1 0.8 -0.4 -0.6 0.3	1.8 -1.0 -0.6 -0.7 -0.5 2.1 0.8 -0.4 -0.7 0.3	1.2 -0.8 -0.5 -0.1 NA -0.6 -0.3 -0.3 -0.3	222 NA NA NA NA -0.1 1.2 0.8 1.4
FEMA BUILDING TYPE Basic Score Severe Vertical Irregulantly, V _{L1} Moderate Vertical Irregulantly, V _{L1} Plan Irregulantly, P _{L1} Pre-Code Post-Benchmark Soil Type A or B Soil Type A or B Soil Type E (> 3 stories) Minimum Score, S _{MM} FINAL LEVEL 1 SCORE, S _{L1} ≥ S _{MM} EXTENT OF REVIEW EXTENT	4.1 -1.3 -0.8 -1.3 -0.8 1.5 0.0 -0.5 7.6 4.1 Visible No	W1A 3.7 -1.3 -0.8 -1.2 -0.9 -1.9 -0.6 -0.1 -0.8 -1.2 -0.8 -0.1 -0.8 -0.8 -0.1 -0.8 -0.8 -0.8 -0.8 -0.8 -0.8 -0.8 -0.8	3.2 -1.3 -0.8 -1.1 -0.9 -2.3 -0.9 -0.3 -1.2 -0.8	S1 (MRF) 2.3 -1.1 -0.7 -0.9 -0.5 1.4 0.6 -0.4 -0.7 0.5 OTHEF Are There Detailed: ☑ Poun cut-o- □ Fallin □ Geole □ Signii	\$2 (BR) 2.2 -1.0 -0.6 -0.8 -0.5 1.4 0.9 -0.5 -0.7 0.5 8 HAZZI ding pote ff, if know g hazard ing	RS, AN S3 (LM) 2.9 -1.2 -0.8 -1.0 -0.7 -1.0 0.3 0.0 NA 0.9 ARDS s That T il Evalua ntbal (un nt) s from tz	Additions ND FIN S4 S0 S0 10 06 19 09 09 04 07 05	SS (URM NRF) -0.9 -0.9 -0.7 -0.2 NA 0.9 -0.5 -0.6 -0.5	C1 (MRF) 1.7 -1.0 -0.6 -0.7 -0.4 1.9 -0.6 -0.2 -0.6 -0.3 1.0 ACTI Detaile Yee No. Detaile	2.1 -1.1 -0.6 -0.9 -0.7 -2.1 -0.8 -0.2 -0.8 -0.3 -0.8 -0.2 -0.8 -0.3 -0.3 -0.8 -0.3 -0.3 -0.3 -0.3 -0.3 -0.3 -0.3 -0.3	RE, S C3 (URM NF) 1.4 -0.8 -0.5 -0.6 -0.1 NA 0.7 -0.4 -0.4 -0.4 0.3 EQUIF tural Ev wwn FEN less tha hazards tructural a	1.8 -1.0 -0.6 -0.8 -0.4 -2.1 -0.9 -0.5 NA -0.3 -0.4 -0.5 NA -0.3 -0.5 NA -0.3 -0.5 NA	1.5 -0.9 -0.6 -0.7 -0.3 -0.5 -0.5 -0.2 	1.8 -1.0 -0.6 -0.7 -0.5 -2.1 -0.8 -0.4 -0.6 -0.3 -0.3 -0.3 -0.3 -0.3 -0.3 -0.3 -0.3	(RD) 1.8 -1.0 -0.6 -0.7 -0.5 -2.1 0.8 -0.4 -0.7 0.3	1.2 -0.8 -0.5 -0.5 -0.1 NA -0.6 -0.3 -0.3 -0.2	2.1 NA NA -0. 1.1 0.1 -0. NA 1.4
FEMA BUILDING TYPE Basic Score Severe Vertical Irregularity, V _{L1} Moderate Vertical Irregularity, V _{L2} Plan Irregularity, P _{L1} Plan Irregularity, P _{L1} Pre-Code Post-Benchmark Soil Type A or B Soil Type A or B Soil Type E (> 3 stories) Minimum Score, S _{MM} FINAL LEVEL 1 SCORE, S _{L2} ≥ S _{MM} EXTENT OF REVIEW Exterior: Partial Interior: Partial Interior: Yes Soil Type Source: EST Geologic Hazards Source: EST Geologic Hazards Source: EST Contact Person: DNK LEVEL 2 SCREENING PERF	4.1 -1.3 -0.8 -1.3 -0.8 1.5 0.0 -0.5 7.6 4.1 Visible No	3.7 -1.3 -0.8 -1.2 -0.9 -0.1 -0.8 -1.2 -0.8 -1.2 -0.8 -1.2 -0.8 -1.2 -0.8 -0.8 -0.8 -0.8 -0.8 -0.8 -0.8 -0.8	3.2 -1.3 -0.8 -1.1 -0.9 -2.3 -0.9 -0.3 -1.2 -0.8	S1 (MRF) 2.3 -1.1 -0.7 -0.9 -0.5 1.4 0.6 -0.4 -0.7 0.5 OTHEF Are There Detailed: ☑ Poun cut-o- □ Fallin □ Geole □ Signii	\$2 (BR) 2.2 -1.0 -0.6 -0.8 -0.5 -0.7 -0.5 -0.7 -0.5 R HAZJ R Hazard ff, if know g hazard ng	RS, AN S3 (LM) 2.9 -1.2 -0.8 -1.0 -0.7 -1.0 0.3 0.0 NA 0.9 ARDS s That T il Evalua ntbal (un nt) s from tz	Additions ND FIN S4 S0 S0 10 06 19 09 09 04 07 05	SS (URM NRF) -0.9 -0.9 -0.7 -0.2 NA 0.9 -0.5 -0.6 -0.5	C1 (MRF) 1.7 -1.0 -0.6 -0.7 -0.4 1.9 -0.6 -0.2 -0.6 -0.3 1.0 ACTI Detaile Yee No. Detaile	2.1 -1.1 -0.6 -0.9 -0.7 -2.1 -0.8 -0.2 -0.8 -0.3 -0.8 -0.2 -0.8 -0.3 -0.3 -0.8 -0.3 -0.3 -0.3 -0.3 -0.3 -0.3 -0.3 -0.3	RE, S C3 (URM NF) 1.4 -0.8 -0.5 -0.6 -0.1 NA 0.7 -0.4 -0.4 -0.4 0.3 EQUIF tural Ev wwn FEN less tha hazards tructural a	1.8 -1.0 -0.6 -0.8 -0.4 -2.1 -0.9 -0.5 NA -0.3 -0.4 -0.5 NA -0.3 -0.5 NA -0.3 -0.5 NA	1.5 -0.9 -0.6 -0.7 -0.3 -2.4 0.7 -0.3 -0.5 -0.5 -0.2	1.8 -1.0 -0.6 -0.7 -0.5 -2.1 -0.8 -0.4 -0.6 -0.3 -0.3 -0.3 -0.3 -0.3 -0.3 -0.3 -0.3	1.8 -1.0 -0.6 -0.7 -0.5 2.1 0.8 -0.4 -0.7 0.3	1.2 -0.8 -0.5 -0.1 NA -0.6 -0.3 -0.3 -0.3	2 N N N -0 -0 N 1

Ilustración 21: Evaluación de edificación a través del formulario de la FEMA P154

Dependiendo de la tipología del sistema estructural, se establecen rangos de puntaje mínimo, debiéndose a la siguiente expresión $S_{L1} > S_{min}$ donde S_{L1} es el puntaje obtenido en la evaluación y S_{min} es el puntaje mínimo según el formulario, dando como resultado que el puntaje obtenido de esta evaluación es de 1 y el mínimo para este tipo de sistema estructural es de 0.3, lo cual implica que no se requiere una evaluación más detallada, y tendrá un buen desempeño sísmico, como se muestra en la **Ilustración 22:** Evaluación de edificación a través del formulario de la FEMA P154.

4.1.2 Inspección Visual Rápida (NEC)

Siguiendo el mismo proceso que en la evaluación anterior esta vez con la evaluación de la normativa NEC donde se visualizan los mismos parámetros, pero ajustados a la localidad, y con la diferencia más notoria que redacta que si el puntaje obtenido es menor a 2 requiere una evaluación más detallada a pesar de que cumpla con ser mayor al puntaje mínimo requerido.

El puntaje obtenido según lo muestra en la **Ilustración 23:** Formulario NEC para evaluación de edificaciones según la zona sísmica. Es de 3.6 siendo un puntaje bastante aceptable y esto se puede deber a que es una construcción nueva por ende no requiere una evaluación más detallada, además que el puntaje mínimo es igual que el anterior de 0.3 según lo redacta el tipo de sistema estructural.

U	ONDEIO TECNICO DE SO Y GESTIÓN DEL SUELO 2001. FORMULARIO DE DETECCIÓN VISUAL RÁPIDA DE VUL	NERA	BILI	DAD :	sís	MICA PA	ARA E	DIFIC	ACIO	ONES						Nivel	1	
Forn	ulario de recopilación de datos con base al FEMA P-154					Modera	adam	ente			icidad							
100	FOT OGRAFIA Y ESQUEMA ESTRUCTURAL DEL INMUEBLE			102	Non	TOSEDIF nbredela Edi				E	dficio 9 de Ma							
				103		ección: o de referenc			L.		9 de Mayo :			Destal		07021	•	
				106	Tip	o de uso:	21 a:		31		Vivienda u	nifam	iliar					
				107 107A	Zona		107B	Norte:			74007 059,0		Longitu Este:	d:			9,95509	
				109	Ss(C),2seg): TOSDELI	PROFF	SLONA		0,6		110	S1(1seg	g):			0,35	
				112	Non	nbre del evalu	uador:		Ē		810588	ng. Ji	m Mar	celo Oc	hoa Co		-06-202	
	60 B 2 3 3 2 1			114	Reg	istro SENES	CYT					116					15 h00	
				117		TOS CONS		CIÓN		6								
				119		reel Suelo deconstrucc	ión:		-	6 2	021		Bajo el Ar ea de	Suel o Constru	cción		249,9	6
				123	Cód	ligo Año:	Nean		x	SI		124	Año(s)	Remodela	ción:		1	
	THE RESERVE TO SERVE THE PARTY OF THE PARTY					ones:			x	SI				de Predi atastral	10			
_				200	Asa	UPACION mbleas	:		Come	ercial		x	Servici	ode Eme	r gencia			
	① ② ③			202		istria idad			Of ici				Educac			1		
				203A 204	Hist	tórico PO DE SUE			Alber				Público					
	<u> </u>			204A	Ë	Α		В		С		D		E		F	Х	DNK
				204B 204C	1	Roca Dura		oca ibil		Suelo Denso	Suel o Dur o		Sue Bla			Suel o Pobre	Si DNK,	
				205		ESGOS GE	OLÓGI	cos	Desti	zamiento:			Runtur	a de Super	rficie:			
				206A		SI				SI				SI				
				206B 206C		NODNK		x	N	IO DNK	×		NO	DNK		×		
					A d	yacencia	0 ^{(cop+} 2	07B			° Peligrodeca	ida del E	dificio	Adyacent	e	ninguna		
				208	lrr	egularida	des:											
				208A	Ė			/severid	iad)									
				208B		Planta (*****								
	·			209	Pel	ligro de C		xterio	res									
				209A	1	_		oportela						209D	1	Apéndices		
				209B	L	Reves.	Pesado	o de chapa		ider a pesad	a			209E		Par apetos		
	© 1					Otros												
				210		edificiono pr	esentar		r egul ar	ır i dades en	el ambito estructur	al. siner	mbar go e	s necesa	rio el mar	etenimiento.		
					y ci	uidado de la ir	nf raestr	uctura.								_		
	Esquema ce pianta ESQUEMA ESTRUCTURAL EN PLANTA				F	D. b					ágina aparte							
300						LSISTEN	MA ES	TRUC			agina aparte							
301 302	Porticos de Madera Livianos viviendas multifamiliares de uno a 2 pisos Porticos de madera Livianos múltiples unidades, multiples pisos para edificios	W 1 A		309 310		tico Hormigó tico H. Armao			or te								C 1	
303	r esidenciales con áreas en planta en cada piso de más de 300m2 Por ticos de madera para edificios comerciales e industricales con un area de piso	W 2	+	311	Pór	tico H. Armad	do con m	amposter	ía de re	elleno sin re	ef uer zo						СЗ	
304	mayor a 500m2	S1	_	312													PC1	
305	Pórtico Acero Laminado (Portico Resistente a Momento) Pórtico Acero Laminado con diagonales	\$2		313	Por	as Prefabric tico de H. Arr	mado pr e	ef abricad	ios								PC2	
306 307	Pôrtico Acer o Liviano o Conformado en frío Pôrtico Acer o Laminado con mur os estructur al es hor migón	S3		314 315	Edit	ficios de mam ficios de mam	npostería	reforza	da con i								RM1	
308	Pórtico Acer o con par edes de mamposter ía de bloque	\$5		316		ficios de Man ienda prefabr		a no ref or	rzada								URM	
400	PUNTA	ESBÁ	SICO	S, MOI	OIFI	CADORES	YPU	TAJE	FINA	LNIVEL	1, SL1 TIPOLOGÍA DEL	SISTE	MAES	TRUCTU	RAL			
401	PARÂMETROS CALIFICATIVOS DE LA ESTRUCTURA (TIPO DE EDIFICIO FEMA)	W1	W 1	W 2		\$1 \$2		S4 (RC	S5 (URM		C 2	C3 (URM		PC2		R M 2	URM	MH
	PUNTAJE BÁSICO	4,1	3.7	3,2	(M F		(LM) 2,9	sw)	ING)	(MRF)	(8W) 2.1	1 NF)	(TU)	1.5	(FD)	(RD)	1,2	2.2
	IRREGULARIDADES										-1.1					-1	-0.8	•
40	Ir regular i dad verti cal Grave, VL1 Ir regular i dad verti cal Moderada, VL1	-1,3 -0,8	-0,8	-1,3 -0,8	-1,1 -0,7	-0,6	-1,2 -0,8	-1 -0,6	-0,9 -0,6	-0,6	-0,6	-0,8 -0,5	-1 -0,6	-0,9 -0,6	-1 -0,6	-0,6	-0,5	5 NA
405	Irregularidaden planta, PL1 CODIGO DE LA CONSTRUCCIÓN	-1,3		-1,1	-0,9		-1	-0,8	-0,7	-0,7	-0,9	-0,6	-0,8	-0,7	-0,7	-0,7	-0,5	
40	Pr e-código moder no (construido antes de 2001) o auto construcción Construido en etapa de transición (desde 2001 per o antes de 2015)	-0,8			-0,5		-0,7 0	-0,6 0	-0,2 0		-0,7 0	-0,1 0	-0,4 0	-0,3 0	-0,5 0	-0,5 0	-0,1 0	1 -0,3
40	Construction or retains durit anistration (desdezator per orantes de 2015) Post código moder no (construido a partir de 2015) SUELO			2,3				1,9							2,1		NA.	
40	Suelo Tipo A o B		0,6	0,9	0,6	0,9	0,3	0,9	0,9		0,8	0,7	0,9	0,7	0,8	0,8	0,€	
40	Suelo Tipo D Suelo Tipo E (1-3Pisos)	0	-0,1	-0,3	-0,4	-0,5	0	-0,4	-0,5	-0,2	-0,2	-0,4	-0,5	-0,3	-0,4	-0,4	-0,3	0 3 -0,5
4 0	Tipo de suelo E (>3 Pisos) Puntaje Mínimo	-0,5 1,6		-1,2 0,8	-0.7		NA 0,9	-0,7 0,5		0,3	-0,8 0,3	-0,4 0,3	NA 0,3	-0,5 0,2	-0,6 0,3	-0,7 0,3	-0,3 0,2	
408 500	PUNTAJE FINAL NIVEL 1, SL1 > SMIN GRADO DE REVISIÓN 600 OT				Ė					3,6	N REQUERIDA			Ė				
501	Exterior: 1000s10sLados Aereo Hay pell	gro qu	ie ame	eriten	una	e valuació	5 n		Requ	uiere ev	aluación estru	ctura	l deta	lada?				
	x ParcialInterior: Visible x Completo estructi Ninguno x Si No	ral de	talla	da?					701		Sit poda edicacin FEM.	A deson will	buotro and	iib				
502	Planos revisados: Asumida Fuente del Tipo de suelo: 601	_		ncial (a r	nenor	que SL2 xl i mi	te, si es						o u ot ro ear					
		cono	cido)						702		Sipun taka men or que ellhi							
	602	R	iesgo d	le caida d	e edif	icios adyacer	ntes más	altos	703	l I	Si otros palgros presente	6						
503									704	×	NO							
504	603	Ries	go geol	ógi co o ti	po de	Suel o F			-		Evaluación n	o estr	uctura	ıl detal	llada r	e c o me n da da	? (mar qu	e con una x)
505	Fuente del Peli gro Geológico: dnk			,					705		Si, peligros no est	ructur al	es i dent	ificados o	que deben	ser evaluados		
	Per sonas de Contacto: Ing. Jim Ochoa 60 4	Daño	signifi	icativo/	deteri	or odel sisten	na estru	ctur al	706									
506	Per sonas de Contacto: Ing. JIMOchoa Celular:								L	61	o, existen peligros : raluación					igación, pero no	necesita	ına
	Correo: jochoa@utmachala.edu.ec								707		No, no se identific	an pel i g	r os no es	tructura	les			
									708	ı	DNK=no conoce							
par.	Cuando bs datos no pueden ser	verf bade	os, elh	spector	debe	rá anotar b	sgueht	e: EST=	Estinad	do o dato i	ofable O DNK= N	o con oc	•					
800	OBSERVACIONES: Eleditión o present a fallas est ructuralmenta, por bitantono esinecesario realiar un a evaluación estructuraldetalada.				1													
E																		
					L						FIRMA RESPONS	ABLF "	EVALUA	CIÓN				
M odi	bado por: Ing MarcabOctos	of Post	ldi-c			ntial e-:	mie V		- 6						nort .	T.C. C-114	nia	
Mod	erencia del formulario: FEMA P 154 (2015). Rapid Visual Screening lificado: Junio 2026	, Bui	. uing:	or F	ote	501	35"	.zards	- A H		oin eartion.	· c M A	a NEH	AP TO	purt, A	. c, califor	4	

Ilustración 23: Formulario NEC para evaluación de edificaciones según la zona sísmica.

4.1.3 Análisis dinámico espectral

4.1.3.1 Espectro de diseño de aceleraciones

Para el cálculo de los parámetros que servirán para el de diseño de espectro en aceleraciones se debe utilizar la curva de peligro sísmico dependiendo de la región y la normativa local, en el presente documento se van a analizar los 4 niveles de amenaza sísmica bajo la normativa local sacando los valores respectivos de los valores de las aceleraciones como se muestra en la **Ilustración 24:** Curva de peligro sísmico con intersecciones según el nivel de sismo.

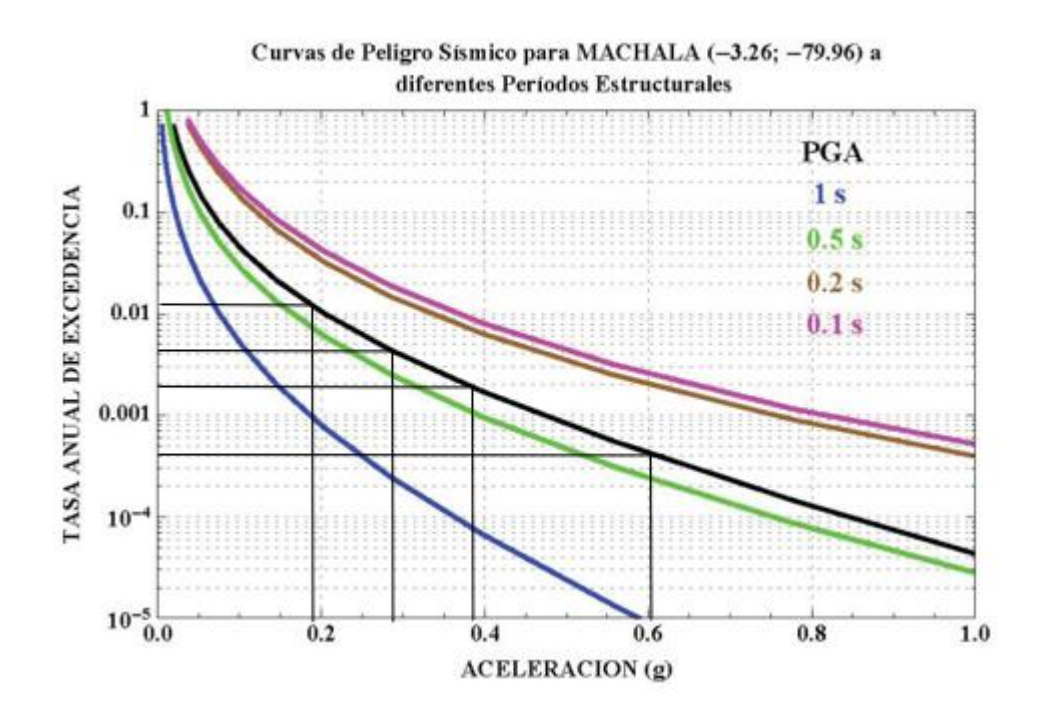


Ilustración 24: Curva de peligro sísmico con intersecciones según el nivel de sismo

Fuente: NEC 2015

A través del uso de la NEC y del tipo de suelo de la zona, se identifican los coeficientes los cuales ayudarán a encontrar los valores de aceleración para evaluar su desempeño con los distintos niveles de amenaza sísmica como se detalla a continuación en la **Tabla 17:** Coeficientes de perfil del suelo.

Suelo Tipo D – Zona V		
Descripción	Símbolo	Valor
Aceleración máxima en roca.	Z	0,4
Relación de amplificación espectral.	n	1,8 (Costa)
Coeficiente de amplificación de suelo en la zona de periodo corto.	Fa	1,20
Amplificación de las ordenadas del espectro elástico de respuesta de	Fd	
desplazamientos para diseño en roca.		1,19
Comportamiento no lineal de los suelos.	Fs	1.28

Tabla 17: Coeficientes de perfil del suelo

Fuente: NEC 2015

Con los valores del espectro elástico se procede a verificar, calcular los valores que ayudarán a la construcción del espectro inelástico con la finalidad de obtener el espectro de diseño como se muestra en la **Tabla 18:** Coeficientes para espectro inelástico.

Coeficientes para el espectro inelástico								
Descripción	Símbolo	Valor						
Nivel de importancia	I	1						
Factor de reducción de resistencia sísmica	R	6						
Coeficiente de configuración en planta	ФР	1						
Coeficiente de configuración en elevación	ФЕ	1						

Tabla 18: Coeficientes para espectro inelástico

Fuente: NEC 2015

A través del análisis dinámico empleado para hallar el espectro según la normativa de peligro sísmico, con un periodo de retorno de 475 años para la ciudad de Machala, con un suelo considerado tipo D obtenemos los periodos correspondientes a los distintos modos de vibración de la estructura como lo muestra la siguiente **Tabla 19:** Periodos fundamentales y participación de masa.

MODO	PERIODO	UX	UY	UZ	SumUX	SumUY
1	0,8395	0,5878	0,0001	0,0000	0,5878	0,0001
2	0,7426	0,2119	0,0007	0,0000	0,7997	0,0009
3	0,6830	0,0000	0,7518	0,0003	0,7997	0,7527
4	0,2978	0,0717	0,0001	0,0000	0,8715	0,7528
5	0,2616	0,0430	0,0013	0,0000	0,9145	0,7540
6	0,2500	0,0002	0,1033	0,0000	0,9147	0,8573
7	0,2287	0,0000	0,0001	0,0064	0,9147	0,8574
8	0,2172	0,0000	0,0188	0,0200	0,9147	0,8763
9	0,1786	0,0006	0,0005	0,0005	0,9153	0,8767
10	0,1742	0,0002	0,0011	0,0046	0,9156	0,8778
11	0,1737	0,0256	0,0003	0,0001	0,9411	0,8781
12	0,1547	0,0001	0,0159	0,0043	0,9412	0,8941
13	0,1517	0,0000	0,0140	0,0053	0,9412	0,9081
14	0,1494	0,0130	0,0001	0,0002	0,9542	0,9082
15	0,1361	0,0001	0,0160	0,0145	0,9543	0,9242
16	0,1227	0,0107	0,0000	0,0000	0,9650	0,9242
17	0,1194	0,0000	0,0019	0,0079	0,9650	0,9261
18	0,1172	0,0001	0,0012	0,0029	0,9651	0,9272

Tabla 19: Periodos fundamentales y participación de masa

Fuente: El autor

4.1.3.1 Control del periodo de vibración según la NEC-SE-DS

Para el primer método, el valor de control del periodo esta dado por la siguiente expresión:

$$T = C_t * h_n^{\alpha}$$

Donde:

 h_n =Altura de la edificación= 16,1 m

Y los demás valores son coeficientes dado por la normativa dependiendo de las características de la edificación como detallan a continuación en la **Tabla 20**: Coeficientes para el cálculo del periodo teórico

Tipo de estructura	C_t	α
Pórticos especiales de hormigón armado		
Sin muros estructurales ni diagonales rigidizadores.	0.055	0.9

Tabla 20: Coeficientes para el cálculo del periodo teórico

Fuente: NEC 2015

Obteniendo como resultado:

$$T = 0.055 * 16.1^{0.9}$$

$$T = 0.67066 seg$$

El método 2 establece que el periodo fundamental de la estructura no debe ser mayor a un 30% al periodo obtenido por el primer método.

$$T = 1.30 * 0.67066 seg$$

$$T = 0.8718 \, seg$$

Los periodos anteriormente descritos se los puede establecer como periodos de control establecidos por la normativa NEC-SE-DS que dieron como resultado un periodo de T= 0.6706 seg y un periodo máximo de T= 0.8718 seg dejando como evidencia que la estructura cumple con los requisitos mínimos y máximos en las dos direcciones según normativas locales como se muestra a continuación en el resumen en la **Tabla 21**: Control de periodos de la estructura.

T teórico	0,6706	seg	
Tmax	0,8718	seg	
Tx	0,8395	seg	ok
Ту	0,683	seg	ok

Tabla 21: Control de periodos de la estructura

4.1.3.2 Cálculo de desplazamientos

De acuerdo a la estructura y con los datos obtenidos en el modelamiento se obtuvo los desplazamientos máximos generados por el sismo de diseño en los dos sentidos como se muestra en la Tabla 22: Desplazamientos máximos de la edificación y en la Ilustración 25: Gráfica de desplazamientos máximos.

Desplazamiento máximo para sismo					
Planta	Altura (cm)	X (cm)	Y (cm)		
Cubierta	1610	0,03469	0,03149		
4ta planta	1340	0,03122	0,02757		
3ra planta	1060	0,02505	0,02191		
2da planta	780	0,01865	0,01514		
1ra planta	500	0,01060	0,00759		
Mezanine	250	0,00410	0,00268		
Planta baja	0	0,00	0,00		

Tabla 22: Desplazamientos máximos de la edificación

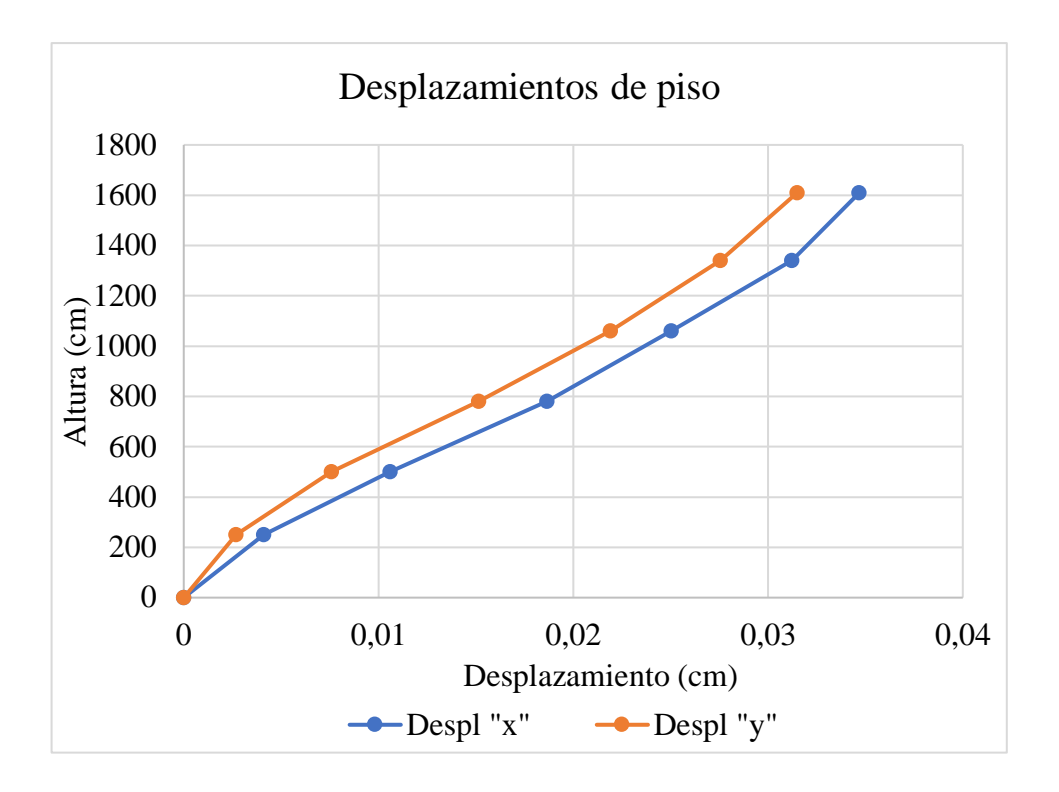


Ilustración 26: Gráfica de desplazamientos máximos

La gráfica de desplazamiento está representando los desplazamientos máximos que tiene el edificio ante un sismo de diseño en ambas direcciones.

4.1.3.3 Cálculo de derivas de entrepiso

Para las derivas inelásticas se hará uso de los límites dispuestos por la normativa local como se muestra en la siguiente **Tabla 23:** Valores de derivas máximos para los pisos.

$$\Delta ine = 0.75 * R * \Delta e$$

Estructuras de:	Δm máxima (sin unidad)
Hormigón armado, estructuras metálicas y de	0,02
madera.	
De mampostería	0,01

Tabla 23: Valores de derivas máximos para los pisos

Fuente: NEC

Los resultados del cálculo de las derivas inelásticas tanto en el eje x se presentan en la **Tabla 24:** Derivas de piso elástica e inelástica por piso en dirección X y está representado en la **Ilustración 27:** Gráfica de derivas máximas en dirección X.

Derivas de piso en sentido X						
Piso	Altura	Despl x	Despl e/piso	Deriva elástica	Deriva inelástica	
Terraza	2,7	0,034	0,003	0,00128	0,57	
Planta alta 4	2,8	0,031	0,006	0,0022	0,9917	
Planta alta 3	2,8	0,025	0,006	0,0022	1,027	
Planta alta 2	2,8	0,018	0,008	0,00287	1,29	
Planta alta 1	2,5	0,010	0,006	0,0025	1,16	
mezanine	2,5	0,004	0,004	0,0016	0,73	

Tabla 24: Derivas de piso elástica e inelástica por piso en dirección X

Fuente: Autor

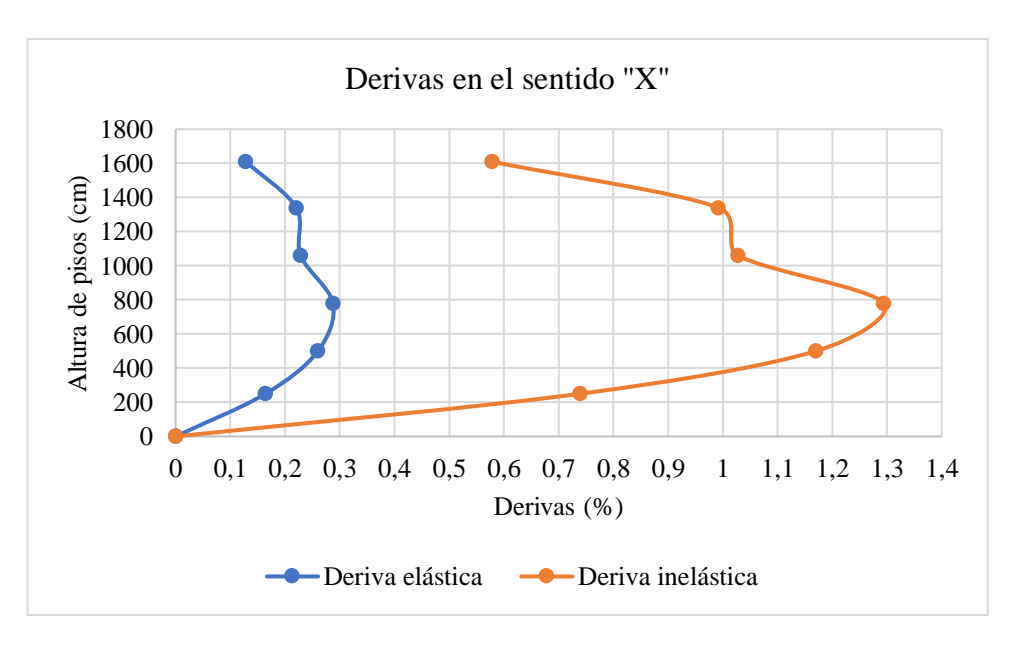


Ilustración 27: Gráfica de derivas máximas en dirección X.

Los resultados del cálculo de las derivas inelásticas tanto en el eje x se presentan en la **Tabla 25:** Derivas de piso elástica e inelástica por piso en dirección Y. y está representado en la **Ilustración 28:** Gráfica de derivas máximas en dirección Y.

Derivas de piso en sentido Y						
Piso	Altura	Despl y	Despl e/piso	Deriva elástica	Deriva inelástica	
Terraza	2,7	0,031	0,0039	0,0014	0,6	
Planta alta 4	2,8	0,027	0,005	0,0020	0,90	
Planta alta 3	2,8	0,021	0,006	0,0024	1,08	
Planta alta 2	2,8	0,015	0,007	0,0026	1,2	
Planta alta 1	2,5	0,007	0,004	0,0019	0,88	
mezanine	2,5	0,0026	0,002	0,0010	0,48	

Tabla 25: Derivas de piso elástica e inelástica por piso en dirección Y.

Fuente: Autor

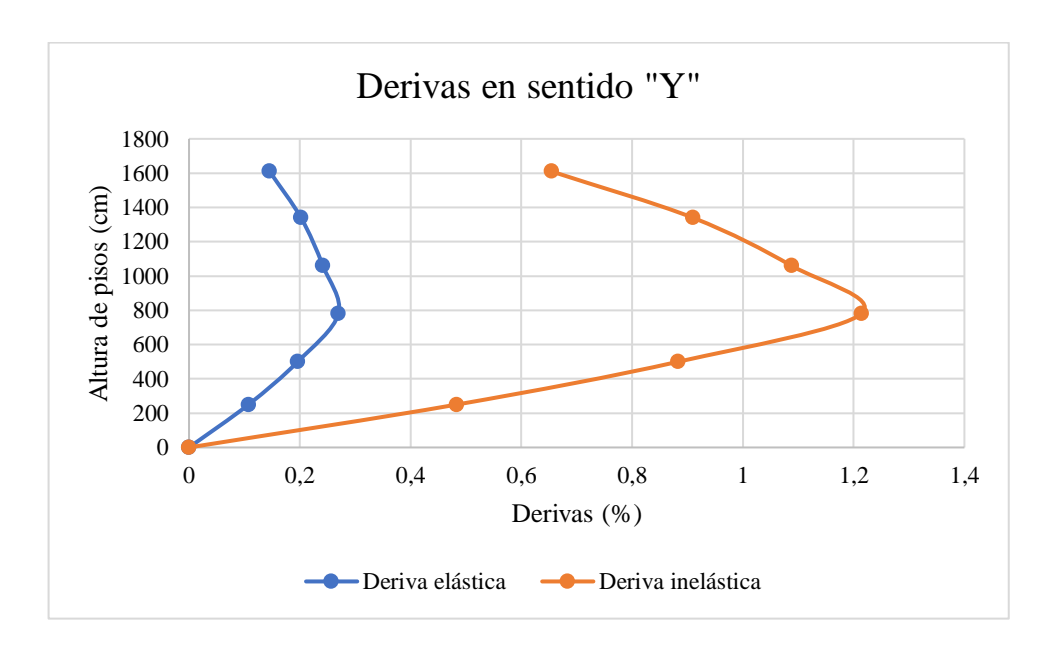


Ilustración 28: Gráfica de derivas máximas en dirección Y.

En base a los resultados se puede apreciar que en la dirección tanto en X como en Y cumple con las derivas por piso sin excederse al 2%, por lo tanto, la estructura cumple con la normativa vigente.

4.1.4 Análisis sísmico estático

4.1.4.1 Cálculo de coeficientes sísmicos C y K.

Para el cálculo de estos coeficientes se usan los periodos fundamentales que corresponden a los modos de vibración en las 2 direcciones del análisis para posteriormente calcular la aceleración para el espectro correspondiente usando la siguiente fórmula:

$$Sa = \eta * z * Fa$$

Luego de obtener el valor de aceleración se calculan los coeficientes mediante la cortante basal para obtener el coeficiente sísmico C, cuyas variables se identifican en la siguiente tabla y posteriormente se define el valor de dicho coeficiente en la siguiente fórmula.

$$C = \frac{Sa * I}{R * \phi_e * \phi_n}$$

Variable	Valor
Tx	0,834 seg
R	6
ϕ_p	0,9
ϕ_e	0,9
I	1
Sa	0,864

Tabla 26: Coeficientes para el cálculo de factores como Sa, C y K

Fuente: Autor

Para determinar el coeficiente K relacionado con el periodo de vibración se usará la tabla **Tabla 27:** Coeficientes de K en función de T basada en la normativa ecuatoriana.

Valores de T (s)	K
≤ 0,5	1

$0.5 < T \le 2.5$	0.75 + 0.50 * T
>2,5	2

Tabla 27: Coeficientes de K en función de T

Fuente: NEC-SE-DS

En la siguiente **Tabla 28:** Coeficientes para el análisis estático se puede observar los valores generado por los resultados del reemplazo ayudado con las tablas anteriormente descritas y respetando la normativa.

Tipo	Dirección X	Dirección Y
T (segundos)	0,8395	0,6830
С	0,1778	0,1778
K	0,824	0,839

Tabla 28: Coeficientes para el análisis estático

Fuente: Autor

4.1.4.2 Fuerzas laterales por piso.

En una edificación el análisis estático se realiza utilizando fuerzas laterales que actúan en los centros de masa en cada nivel, estas fuerzas se calculan a partir de la cortante basal, la cual se determina en base a un coeficiente sísmico de la estructura y la carga que soporta la edificación según el piso y según la dirección de análisis como se muestra en la **Tabla 29:** Calculo de fuerzas laterales por piso en el eje X y en la

						Eje X	
Piso	Carga total	carga por piso	Hi	HI (acum)	Wi*HI^k	alfa i	fi (Ton)
Terraza	156,5604	156,5604	2,7	16,1	1545,633	0,211	37,520
Planta alta 4	365,9511	209,3907	2,8	13,4	1777,018	0,243	43,136
Planta alta 3	577,7439	211,7928	2,8	10,6	1481,710	0,202	35,968
Planta alta 2	808,8537	231,1098	2,8	7,8	1255,753	0,172	30,483
Planta alta 1	1052,352	243,4983	2,5	5	917,164	0,125	22,264
mezanine	1214,4055	162,0535	2,5	2,5	344,795	0,047	8,370
Total					7322,074		177,741

Tabla 29: Calculo de fuerzas laterales por piso en el eje X

						Eje Y	
Piso	Carga total	carga por piso	Hi	HI (acum)	Wi*HI^k	alfa i	fi (Ton)
Terraza	156,5604	156,5604	2,7	16,1	1611,420	0,213	45,455
Planta alta 4	365,9511	209,3907	2,8	13,4	1847,559	0,252	53,940
Planta alta 3	577,7439	211,7928	2,8	10,6	1535,122	0,210	44,818
Planta alta 2	808,8537	231,1098	2,8	7,8	1295,048	0,177	37,809
Planta alta 1	1052,352	243,4983	2,5	5	939,576	0,128	27,431
mezanine	1214,4055	162,0535	2,5	2,5	349,567	0,048	10,206
Total					7578,291		219,659

Tabla 30: Cálculo de fuerzas laterales por piso en el eje Y

4.1.4.3 Diseño de rótulas plásticas

Rótulas plásticas en vigas

Datos

Datos iniciales						
fy	4200	kg/cm2				
f'c	240	kg/cm2				
b	35	cm				
recub.	4	cm				
Н	50	cm				
Ø est.	10	mm				
d	44,1	cm				
As sup						
num.	4	unid.				
Ø long.	18	mm				
As col.	10,1788	cm2				
Cuantía	0,582%	OK				
Sep.	10	cm				
As inf.	As inf.					
num.	4	unid.				
Ø long.	18	mm				

As col.	10,1788	cm2
Cuantía	0,582%	ОК
Sep.	10	cm
Estribos		
S estr.	10	cm
S max.	10	cm

Momento en el eje y

$$\beta_1 = 0.85$$

$$c = \frac{A_s * f'ye}{0.85 * f'c * \beta_1 * b_w}$$

Un dato adicional que se añade a el cálculo de rótulas para las vigas y columnas estará sustentado en la normativa ASCE 41-17 en donde al acero se le multiplicará por un factor de 1.25 ya que para un análisis de estructuras ese valor adicional que se le aplica se considera una estimación conservadora del comportamiento real del material

$$c = \frac{10,178 * 4200 * 1,25}{0,85 * 240 * 0,85 * 35} = 8,81$$

$$Peralte (d) = 44,1 cm$$

$$a = \beta_1 * c$$

$$a = 0,85 * 8,81 = 7,48 cm$$

$$M_y = A_s * f'y * 1,25 * \left(d - \frac{a}{2}\right)$$

$$M_y = 10,178 * 4200 * 1,25 * \left(44,1 - \frac{7,48}{2}\right) = 2156660,401 kg * cm$$

$$\theta_y = \frac{L * M_y}{6 * Ec * I}$$

$$\theta_y = \frac{475 * 2156660,401}{6 * 232379,0008 * 364583,33} = 0,00202 rad$$

Datos de la tabla

$$\rho = \frac{A_s}{b_w * d}$$
97

$$\rho = \frac{10,178}{35 * 44,1} = 0,659\%$$

$$\rho' = \frac{A_s'}{b_w * d}$$

$$\rho' = \frac{10,178}{35 * 44,1} = 0,659\%$$

$$\rho_{balanceado} = 0,85 * \beta_1 * \frac{f'c}{f'y} * \left(\frac{0,003}{0,003 + \frac{f'y}{Es}}\right)$$

$$\rho_{balanceado} = 2,448\%$$

$$\frac{\rho - \rho'}{\rho_{balanceado}} = 0$$

Conforme o no conforme

El **cortante gravitacional** se lo encuentra en el software revisando según el estado de carga en la viga en estudio, como se muestra en la siguiente **Ilustración 29:** Captura de programa sacando la cortante gravitacional.

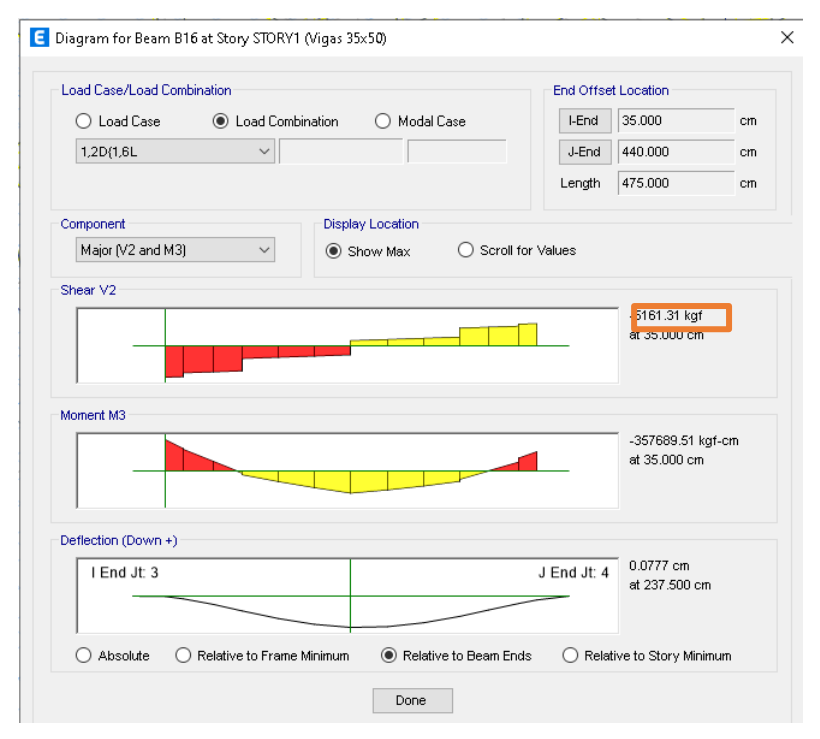


Ilustración 29: Captura de programa sacando la cortante gravitacional

Cortante gravitacional = 5161.31 kgf

Condición 1

$$\frac{d}{3}$$
 > Separación de estribo

Separación de estribo a estribo= 10 cm

Se verifica si la condición cumple o no, en caso de cumplir seria CONFORME y en caso de no cumplir NO CONFORME.

$$\frac{d}{3} = \frac{44,1}{3} = 14,70 \ cm$$

Según los resultados si cumple, así que es CONFORME.

Condición 2

$$V_s = \frac{2 * \text{Á}rea \ del \ estribo}{Separación \ de \ estribo} * \frac{f'y*d}{a \ estribo} > \frac{3}{4} * V_d$$

Área del estribo=0,785 cm2

Se verifica si la condición cumple o no, en caso de cumplir seria CONFORME y en caso de no cumplir NO CONFORME.

$$V_{s} = \frac{2*1,57*4200*44,1}{10} = 36367,86 \, kg$$

$$M_{1} = M_{2} = A_{s}*1,25*f'y*1,25*(d - \left(a*\frac{1,25}{2}\right))$$

$$M_{1} = M_{2} = 10,178*1,25*4200*1,25*(44,1 - \left(7,48*\frac{1,25}{2}\right))$$

$$= 2156660,4 \, kg*cm$$

$$V_{d} = 9000 + \left(\frac{M_{1} + M_{2}}{L}\right)$$

$$V_{d} = \frac{2156660,4*2}{475 - 70} = 15811,48$$

$$\frac{3}{4}*V_{d} = \frac{3}{4}*15811,48 \, kg = 11858,61 \, kg$$

$$V_{s} > 11858,61$$

Según los resultados cumple, así que es CONFORME

Se calcula el intervalo de fórmulas para ubicarse en la tabla.

$$\frac{V_d}{b_w * d * \sqrt{f'c}} = \frac{15811,48}{35 * 44,1 * \sqrt{240}} = 0,08$$

Con esta información ya se ubicará dentro de la tabla donde corresponde obtener los datos necesarios para la rótula en el software de modelado.

a	0,025
b	0,05
С	0,2
Rotación elástica (IO)	0,001
Rotación plástica (LS)	0,025
Rotación en colapso (CP)	0,05

Fuente: Autor

Cálculo del momento ultimo.

$$M_u = M_y + a * Ec * \left(\frac{I}{L}\right) * (c - \theta_y)$$

$$M_u = 26,86 Tn * m$$

	Rotación	Momento (t*m)
A	0	0
В	0,00202	21,57
С	0,02702	26,86
D	0,02702	4,31
E	0,05202	4,31

 Tabla 31: Tabla de datos calculados para formación de rótula de viga

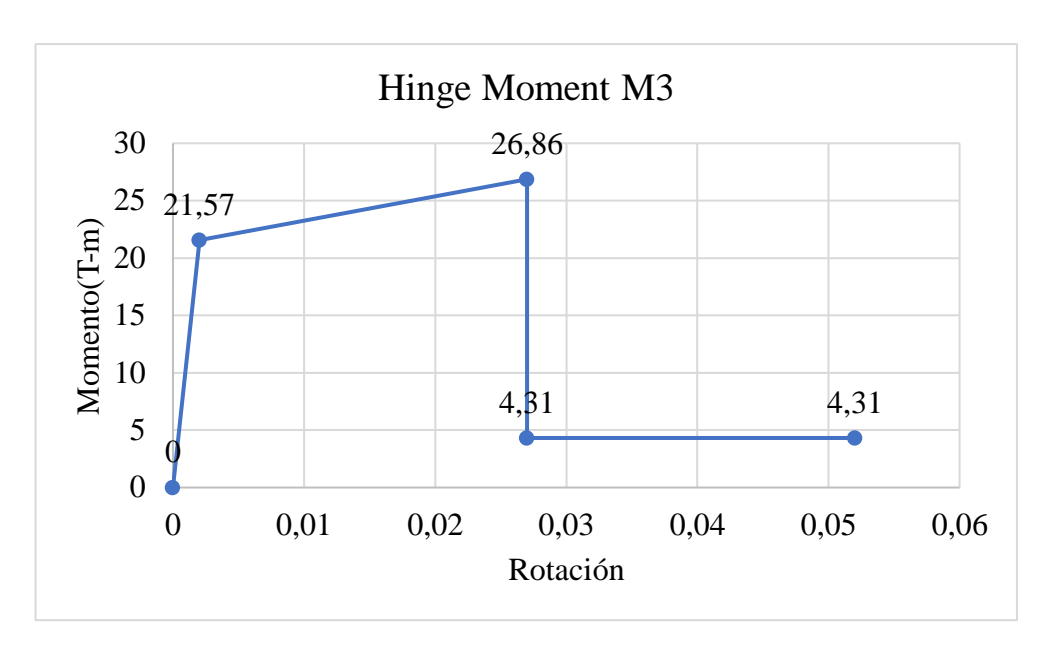


Ilustración 30: Gráfica de rótula plástica

Rótulas plásticas en columnas

Datos iniciales

Datos iniciales				
fy	4200	kg/cm2		
f'c	240	kg/cm2		
b	70	cm		
recub.	4	cm		
Н	40	cm		
Ø est.	10	mm		
d	33,9	cm		
Ag	2800	cm2		
As tensión				
num.	7	unid.		
Ø long.	22	mm		
As col.	26,6093	cm2		

Cuantía	0,950%	OK	
Sep.	10	cm	
As compresión			
num.	7	unid.	
Ø long.	22	mm	
As col.	26,6093	cm2	
Cuantía	0,950%	OK	
Sep.	10	cm	

Carga axial máxima (Pu)

La carga máxima es extraída después de haber modelado, aplicado las cargas correspondientes para poder determinar la carga axial máxima como se muestra en la **Ilustración 31:** Carga axial en la columna de estudio.

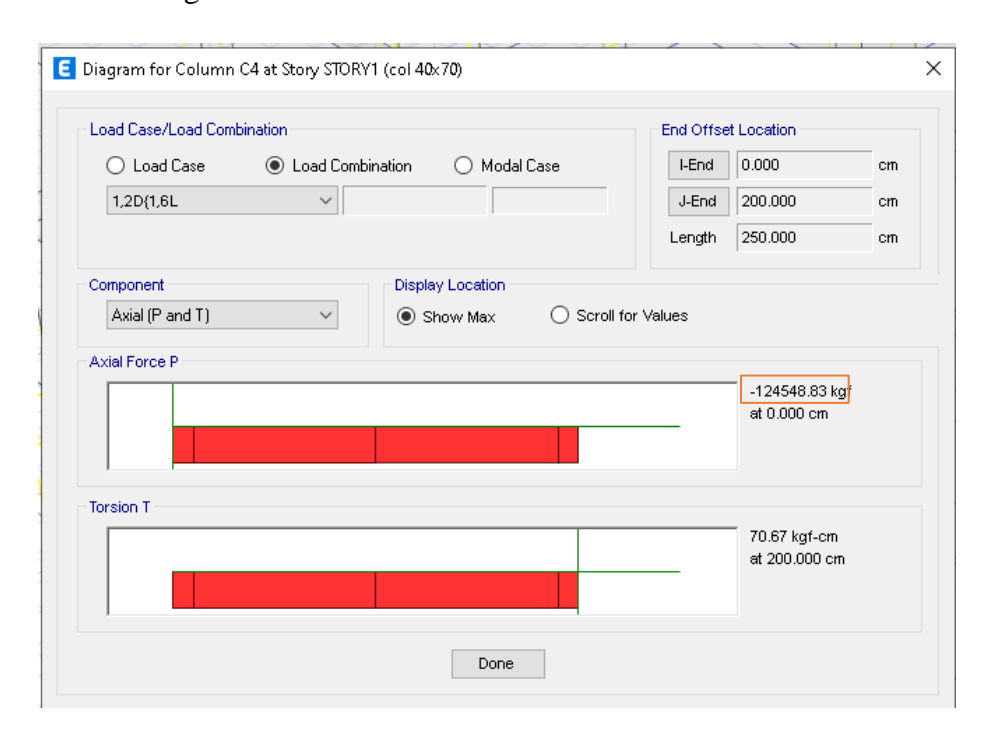


Ilustración 31: Carga axial en la columna de estudio

Pu= 124548,83 kg

Valor de β_C

$$\beta_C = \frac{d'}{d}$$

$$\beta_C = \frac{7.2 \ cm}{33.9 \ cm}$$

$$\beta_C = 0.2124$$

Deformación de fluencia del acero (ε_{ν})

$$\varepsilon_y = \frac{f_y * 1,25}{E_s}$$

$$\varepsilon_y = \frac{4200 \frac{kg}{cm^2} * 1,25}{2039000 \ kg/cm^2}$$

$$\varepsilon_y = 0.0026$$

Valor de α_y

$$\alpha_y = \frac{\varepsilon_y}{\varepsilon_o}$$

$$\alpha_y = \frac{0,0026}{0,003}$$

$$\alpha_y = 0.8583$$

Valor de η_0

$$\eta_0 = \frac{P_U}{b \cdot d \cdot f'c}$$

$$\eta_0 = \frac{124548,83 \ kg}{70cm * 33,9 * 240 \ kg/cm^2}$$

$$\eta_0=0,\!2187\,rad$$

Cuantía a tensión (ρ_t)

$$\rho_t = \frac{A_s tension \cdot f_y * 1,25}{b \cdot d \cdot f'c}$$

$$\rho_t = \frac{26,6093 \ cm^2 * 4200 \frac{kg}{cm^2} * 1,25}{70 \ cm * 33,9 * 240 \ kg/cm^2}$$

$$\rho_t = 0,2453$$

Cuantía a compresión $(\rho_{t'})$

$$\rho_{t'} = \frac{A'_s \cdot f_y * 1,25}{b \cdot d \cdot f'c}$$

$$\rho_{t'} = \frac{26,6093 \ cm^2 * 4200 \frac{kg}{cm^2} * 1,25}{70 \ cm * 33,9 * 240 \ kg/cm^2}$$

$$\rho_{t'} = 0,2453$$

Coeficiente de corrección o ajuste

$$C_2 = 1 + \frac{0.45}{(0.84 + \rho_t)}$$

$$C_2 = 1 + \frac{0.45}{(0.84 + 0.2453)}$$

$$C_2 = 1.4146$$

Coeficiente K

$$k = \sqrt{(\rho_t + \rho_{t'})^2 \cdot \frac{1}{4 \cdot \alpha_y^2} + (\rho_t + \beta_c \cdot \rho_{t'}) \cdot \frac{1}{\alpha y}} - (\rho_t + p_t^4) \cdot \frac{1}{2 \cdot \alpha_y}$$

$$k = \sqrt{(0,2453 + 0,2453)^2 \cdot \frac{1}{4 \cdot (0,8583)^2} + (0,2453 + 0,2124 \cdot 0,2453) \cdot \frac{1}{0,8583}}$$

$$- (0,2453 + 0,2453^4) \cdot \frac{1}{2 \cdot 0,8583}$$

$$k = 0,3773$$

Curvatura

$$\phi_y = \left(1,05 + (c_2 - 1,05) \cdot \frac{\eta_0}{0,03}\right) \cdot \frac{\varepsilon_y}{(1-k) \cdot d}$$

$$\phi_y = \left(1,05 + (1,4146 - 1,05) \cdot \frac{0,2187}{0,03}\right) \cdot \frac{0,0026}{(1-0,3773) \cdot 33,9}$$

$$\phi_y = 0,000452 \frac{rad}{cm}$$

Deformación del concreto

$$arepsilon_c = \phi_y \cdot d - arepsilon_y$$

$$arepsilon_c = 0.000452 rad/cm \cdot 33.9 - 0.0026$$

$$arepsilon_c = 0.012$$

 $\varepsilon_c > 0.004$ (No cumple)entonces se utiliza 0,004

Coeficiente de eficiencia

$$\eta = \frac{0.75}{1 + \alpha_y} \cdot \left(\frac{\varepsilon_c}{\varepsilon_0}\right)^{0.7}$$

$$\eta = \frac{0.75}{1 + 0.8583} \cdot \left(\frac{0.004}{0.003}\right)^{0.7}$$

$$\eta = 0.4936$$

Factor de reducción del concreto

$$\alpha_c = (1 - \beta_c) \cdot \frac{\varepsilon_c}{\varepsilon_y} - \beta_c$$
 el resultado debe ser ≤ 1

$$\alpha_c = (1 - 0.2124) \cdot \frac{0.004}{0.0026} - 0.2124$$

$$\alpha_c = 1 (Si cumple)$$

Momento máximo de fluencia

$$M_{y} = 0.5 \cdot f'c \cdot b \cdot d^{2} \cdot ((1 + \beta_{c} - \eta) \cdot \eta_{0} + (2 - \eta) * \rho_{t} + (\eta - 2 * \beta_{c}) \cdot \alpha_{c} \cdot \rho_{t}'$$

$$M_y = 0.5 \cdot 240 \ kg/cm^2 \cdot 70cm \cdot 33.9^{-2} \cdot ((1 + 0.2124 - 0.4936) \cdot 0.2187 + (2 - 0.2124) \cdot 0.2453 + (0.4936 - 2 \cdot 0.2124) \cdot 1 \cdot 0.2453$$

$$M_y = 5247309,3557 \frac{kgf}{cm}$$

Valor de rotación de fluencia

$$\theta_y = \frac{L \cdot M_y}{9 \cdot E_c \cdot I}$$

$$\theta_y = \frac{250 \ cm \cdot 5247309,3557 \ kg/cm}{9 \cdot 233928,194 \frac{kg}{cm^2} \cdot 3733333,33 \ cm^4}$$

$$\theta_y = 0,0025$$

Condición I

$$\frac{Pu}{Ag \cdot f'_{C}}$$

$$\frac{124548,83 \ kg}{2800 \ cm^{2} \cdot 240 \ kg/cm^{2}} = 0,1853$$

$$\rho = \frac{Av}{b \cdot s}$$

$$\rho = \frac{3,1416 \text{ cm}^2}{70 \text{ cm} * 10 \text{ cm}}$$

$$\rho = 0,0045$$

Condición II

$$\frac{v \cdot 0,11954}{b \cdot d \cdot \sqrt{f'c}}$$

Para hallar el valor de la cortante se visualiza en el programa en la siguiente **Ilustración**32: Cortante extraída del software de modelado.

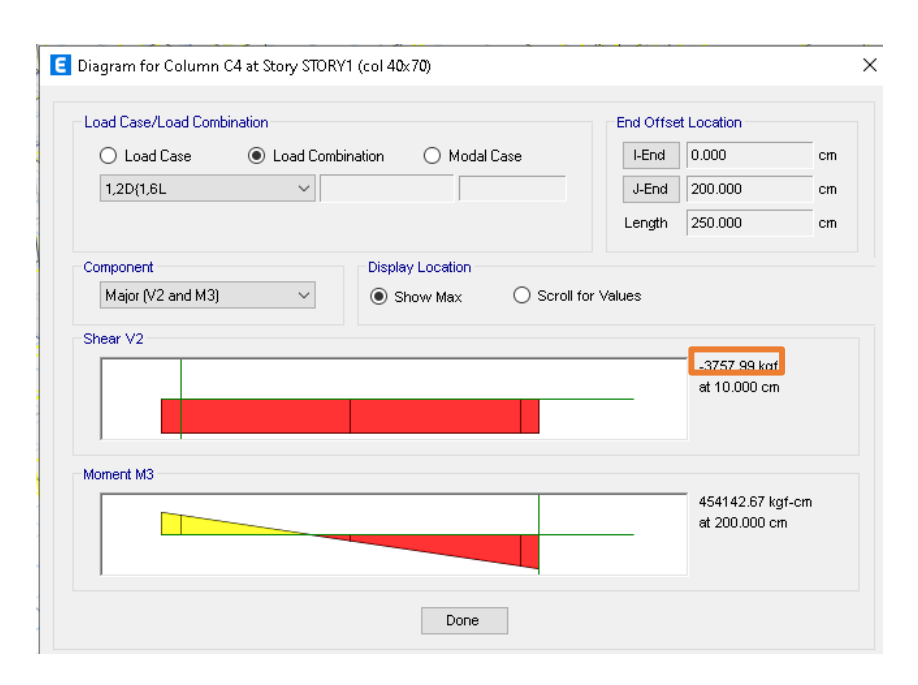


Ilustración 32: Cortante extraída del software de modelado

Fuente: Autor

Por lo tanto, V = 3757,99 kgf

$$\frac{3757,99 \ kg \cdot 0,11954}{70 \ cm \cdot 33,9 \cdot \sqrt{240} kg/cm^2} = 0,012$$

Se toma el valor más bajo de las condiciones establecidas, este permite identificar los parámetros adecuados para representar la rótula plástica de la columna.

$$\theta_u = \theta_y + a$$

$$\theta_u = 0,0025 + 0,007$$

$$\theta_u = 0,01$$

Calcular el momento último

$$M_U = M_y + 0.05 \cdot \varepsilon_c \cdot I(\theta_u - \theta_y)$$

$$M_U = 5247309.3557 + 0.05 \cdot 0.004 \cdot 3733333.33(0.01 - 0.0025)$$
 107

$$M_U = 5552975,529 \frac{kgf}{cm}$$

	Condición I	Condición II	Elegidos
a	0,023	0,007	0,007
b	0,02905	0,0251	0,0251
с	0,166	0,2	0,2
Rotación elástica			0,0007
(IO)			
Rotación plástica			0,00251
(LS)			
Rotación en colapso			0,00452
(CP)			

Tabla 32: Valores de rótula plástica según lo calculado

	Dotooión	Momento	
	Rotación	(kg*cm)	
A	0	0	
В	0,00250	5247,31	
С	0,00950	5552,98	
D	0,00950	1049,46	
E	0,02760	1,05	

 Tabla 33: Tabla de datos calculados para la formación de rótula en columna

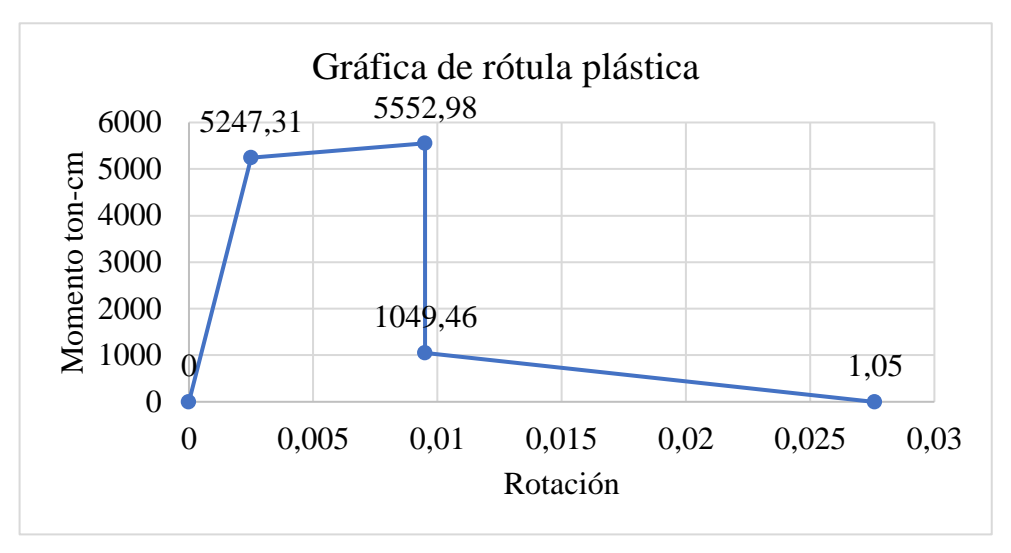


Ilustración 33: Gráfica de rótula plástica en columna

Fuente: Autor

4.1.5 Análisis estático no lineal (Pushover)

El análisis estático no lineal está representado por una gráfica entre el desplazamiento que sufre la edificación con el cortante basal, demostrando el desempeño de la estructura tanto en el rango elástico como en el rango inelástico, y esto se representará con modelos bidimensionales en ambas direcciones del análisis los cuales se detallan en la siguiente **Ilustración 34:** Curva de desempeño sísmico, en dirección X y en la **Ilustración 35:** Curva de desempeño sísmico, en dirección Y

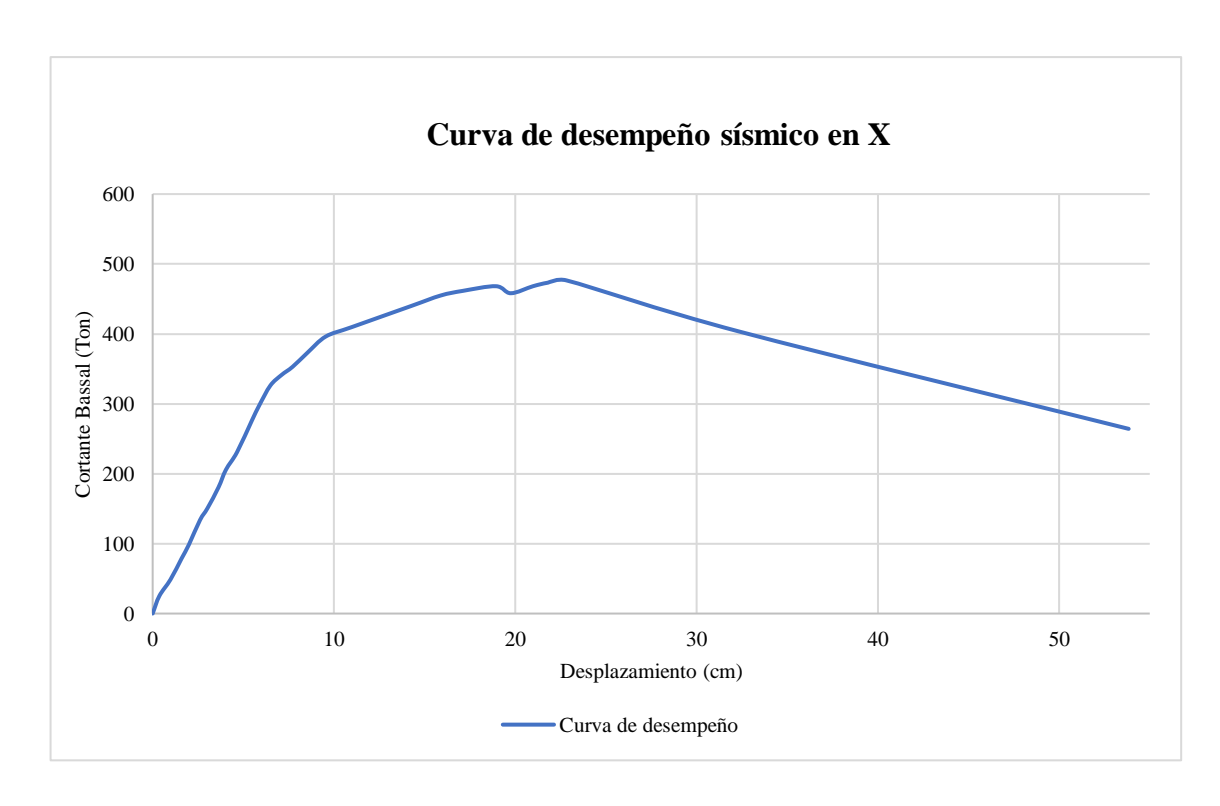


Ilustración 34: Curva de desempeño sísmico, en dirección X

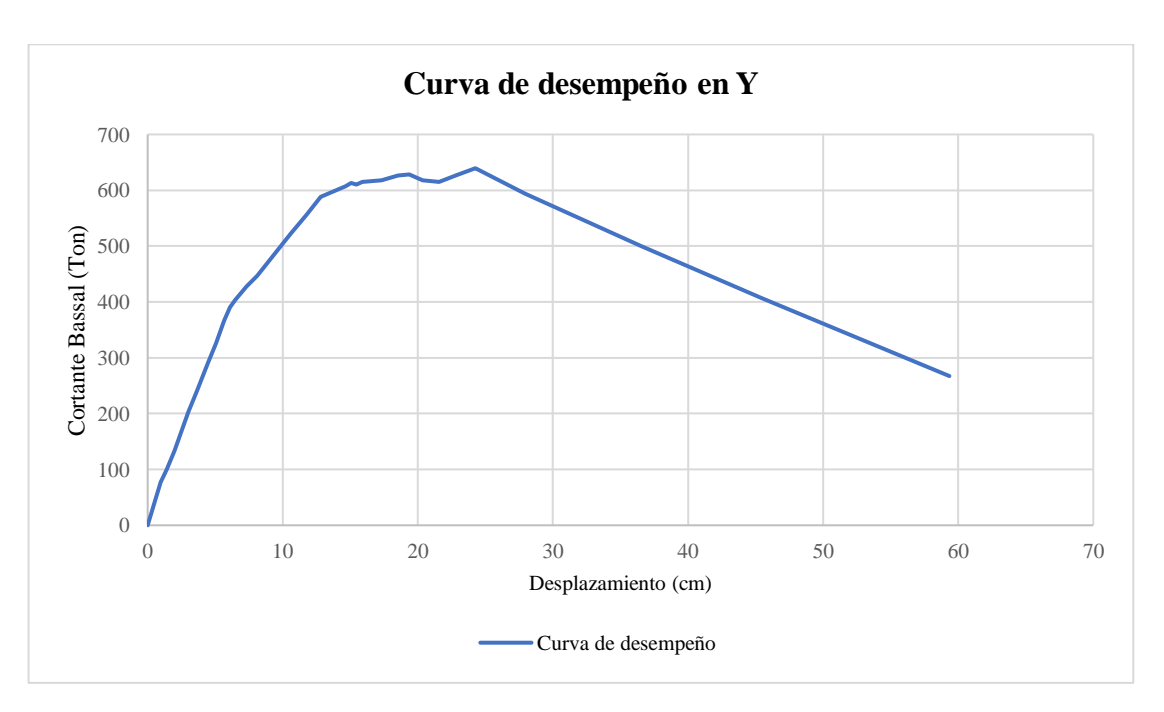


Ilustración 35: Curva de desempeño sísmico, en dirección Y

Fuente: Autor

110

En el software de modelación como se ha mencionado anteriormente se ingresó espectros de distintos niveles por sismo como se muestra en la **Ilustración 36:** Espectros de aceleraciones para distintos niveles de sismo. para poder evaluar la estructura con los distintos niveles de desempeño como se lo muestra a continuación.

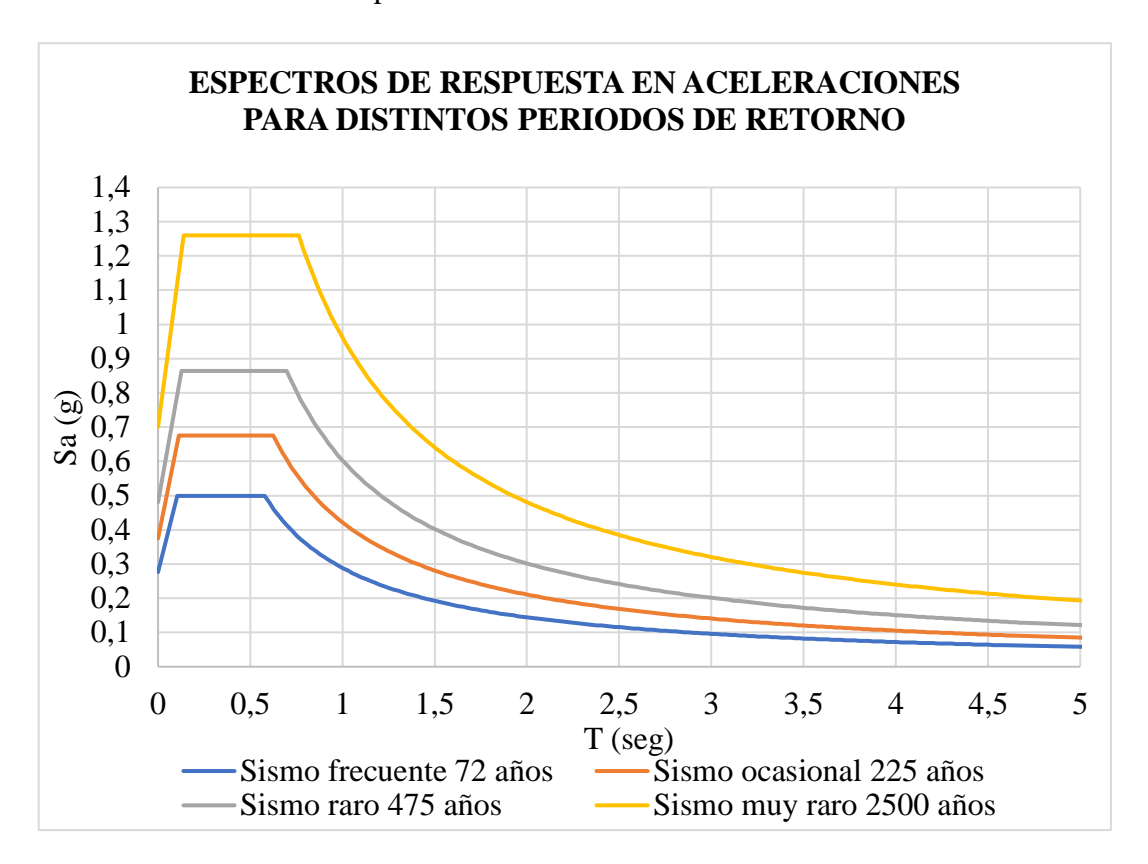


Ilustración 36: Espectros de aceleraciones para distintos niveles de sismo.

Fuente: Autor

4.1.5.1 Evaluación de la edificación por los distintos niveles de sismo.

La evaluación se la realizo para los distintos niveles de sismo con la finalidad de visualizar a través de datos en qué nivel de desempeño se encuentra la estructura, y como primer punto se realza el análisis de los desplazamientos en las dos direcciones como se muestra a continuación.

Desplazamientos	Eje x	Eje y	
Desplazamiento de fluencia	Δy	7,1023	6,9676
Desplazamiento último	Δυ	14,242	14,92

Tabla 34: Desplazamientos de la estructura

En la **Tabla 34:** Desplazamientos de la estructura muestra el desplazamiento de fluencia o punto de fluencia que tiene la estructura antes de empezar a deformarse y llegar a los distintos objetivos de desempeño, así como el desplazamiento ultimo que tiene la estructura ya cuando esta llega al colapso.

Nivel	Eje x		Eje y			
	Despl. máx.	Despl. Nivel		Despl. máx.	Despl. Nivel	
Operacional	7,1023			6,9676		
Daño controlado	9,24421	6,52	cumple	9,35332	6,249	cumple
Seguridad de vida	11,38612	8,288	cumple	11,73904	8,75	cumple
Prevención de						
colapso	13,52803	10,955	cumple	14,12476	11,774	cumple
Colapso	14,242	18,824	no cumple	14,92	17,85	no cumple

Tabla 35: Despl. máx. vs despl. por nivel de amenaza sísmica

Fuente: Autor

En la **Tabla 35:** Despl. máx. vs despl. por nivel de amenaza sísmica se compara los desplazamientos máximos calculados según la tabla de objetivos de desempeño versus los desplazamientos calculados mediante el software del modelado, los cuales determinan el cumplimiento de los desplazamientos de la estructura.

Para determinar si la estructura cumple con los desplazamientos requerido primero se calcula los desplazamientos máximos como se detalla a continuación para el eje x y lo mismo se replicará para el eje y.

operacional =
$$\Delta y = 7,1023$$

Daño controlado = $\Delta y + 0,3 * (\Delta u - \Delta y)$
Daño controlado = $7,1023 + 0,3 * (14,242 - 7,1023) = 9,24421$
Seguridad de vida = $\Delta y + 0,6 * (\Delta u - \Delta y)$
Seguridad de vida = $7,1023 + 0,6 * (14,242 - 7,1023) = 11,38612$
Prevención de colapso = $\Delta y + 0,9 * (\Delta u - \Delta y)$

Prevención de colapso =
$$7,1023 + 0,9 * (14,242 - 7,1023) = 13,52803$$

Colapso =
$$\Delta u = 14,242$$

Para determinar la ductilidad de la estructura es esencial calcular las ductilidades, el factor de sobre resistencia y el factor R como se detalla y para ello necesitamos obtener valores obtenidos del análisis dinámico que ayudarán al cálculo de la sobre resistencia y cortantes como se muestra en la **Tabla 36:** Datos obtenidos en el análisis dinámico.

Dirección	T (seg)	Sa (g)	Sa (g) - inel	W reactiva (Tonf)
X	0,8395	0,7186	0,148	1214,4055
Y	0,683	0,864	0,178	1214,4055

Tabla 36: Datos obtenidos en el análisis dinámico

Fuente: Autor

En base a estos datos recopilados se procede a realizar los cálculos correspondientes para obtener el factor de sobre resistencia como se detalla a continuación en el siguiente ejemplo, empezando por el cálculo de cortantes.

$$V_{elástico} = Sa(g) * W_{reactica}$$

$$V_{elástico} = 0.7186 * 1214.4 \text{ Ton} = 872.67 \text{ Ton}$$

En cambio, el cortante de diseño se lo calcula mediante la siguiente expresión:

$$V_{
m dise\~no} = {
m Sa(g)}_{
m el\'astico} * W_{
m reactica}$$
 $V_{
m dise\~no} = 0.148 * 1214.4 \, {
m Ton} = 179.73 \, {
m Ton}$

Para la obtención del cortante máximo es necesario extraer el valor máximo de fuerzas obtenidas en la curva capacidad, y luego se calcula los valores de la sobre resistencia dividiendo el cortante máximo para el cortante de diseño según la dirección establecida y para el análisis en esta estructura se ha obtenido los siguientes datos en la **Tabla 37**: Valor de cortante máximo y factor de

Dirección	V _{máximo} (Ton)	Sobre resistencia	Cumple
X	440,118	2,449	No
Y	609,272	2,189	No

Tabla 37: Valor de cortante máximo y factor de sobre resistencia

El factor de resistencias según la normativa tiene que ser como mínimo un valor de 3, y según los resultados indican que la estructura no posee una sobre resistencia, por ende, depende de la magnitud del sismo se estima que la edificación puede sufrir ciertos daños.

4.1.5.1.1 Curva Pushover para sismo frecuente.

En las siguientes **Ilustración 37:** Nivel de desempeño para un sismo frecuente en el eje X e **Ilustración 38:** Nivel de desempeño para un sismo frecuente en el eje Y se muestra la curva de capacidad considerando el sismo con un periodo de retorno de 72 años en ambas direcciones.

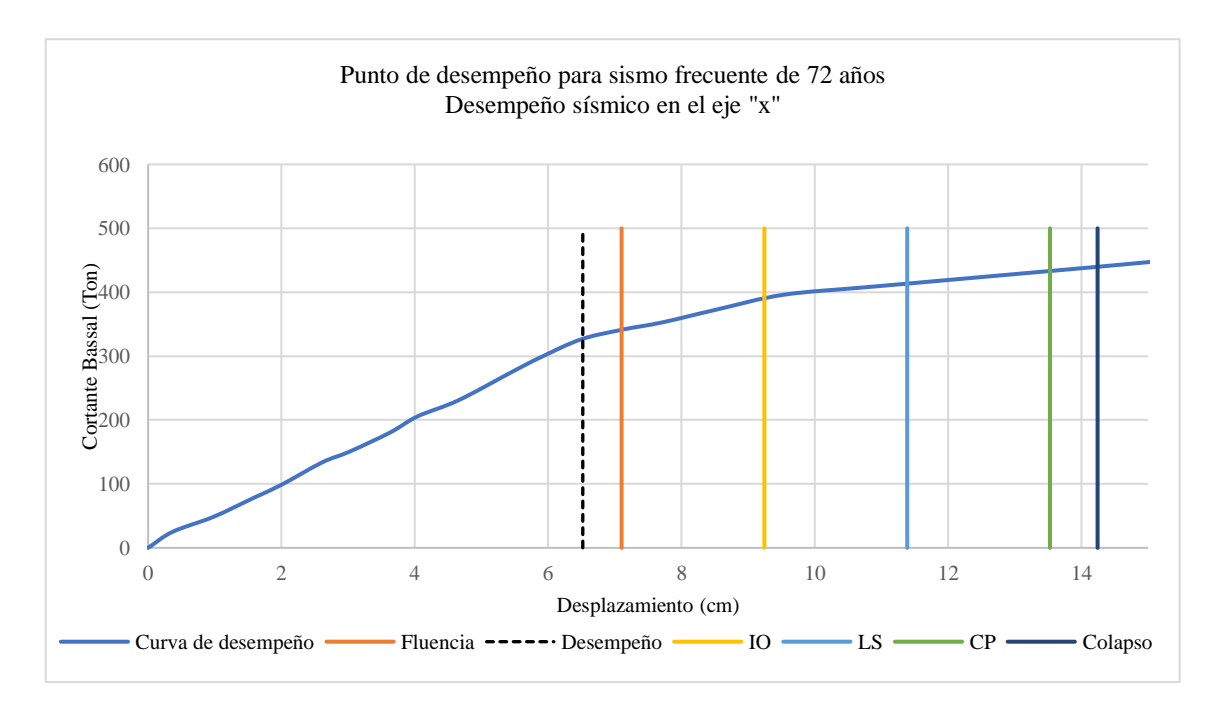


Ilustración 37: Nivel de desempeño para un sismo frecuente en el eje X

Resumen	
Ductilidad μ máxima	2,005
Ductilidad μ demanda	0,918
Ductilidad μ reserva	1,087
Edificio habitable	
V elástico (Ton)	872,6717923
V máximo (Ton)	440,118
V diseño (Ton)	179,732014
Sobre resistencia Ω	2,44874572
Factor de reducción R	1,3024

Tabla 38: Ductilidad de la estructura para sismo frecuente en X

Después de haber simulado el sismo en la estructura en la dirección del análisis con un periodo de retorno de 72 años se concluye que la edificación es habitable debido a que la ductilidad de reserva es mayor a la ductilidad de demanda como se muestra en la **Tabla 38:** Ductilidad de la estructura para sismo frecuente en X

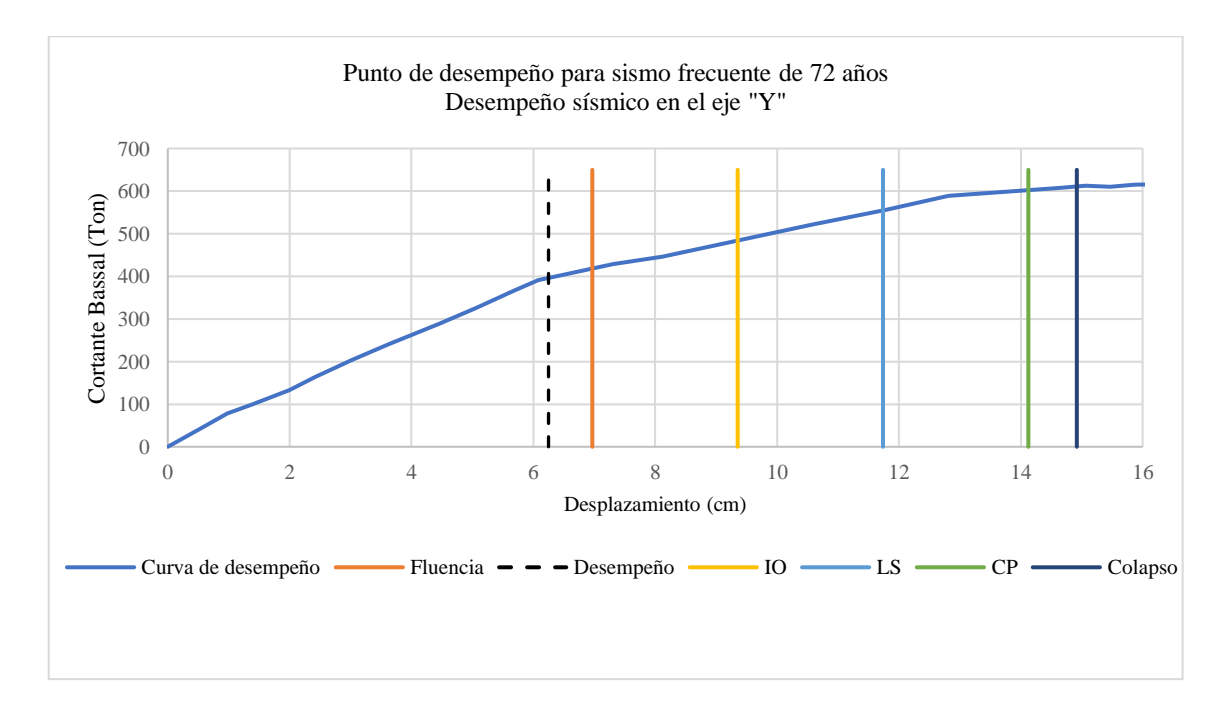


Ilustración 38: Nivel de desempeño para un sismo frecuente en el eje Y

Fuente: Autor

Resumen	
Ductilidad μ máxima	2,141
Ductilidad μ demanda	0,897
Ductilidad μ reserva	1,244
Edificio habitable	
V elástico (Ton)	1049,246352
V máximo (Ton)	609,272
V diseño (Ton)	216,164179
Sobre resistencia Ω	2,819
Factor de reducción R	1,3557

Tabla 39: Ductilidad de la estructura para sismo frecuente en Y

Después de haber simulado el sismo en la estructura en la dirección del análisis con un periodo de retorno de 72 años se concluye que la edificación es habitable debido a que la ductilidad de reserva es mayor a la ductilidad de demanda como se muestra en la **Tabla 39:** Ductilidad de la estructura para sismo frecuente en Y

4.1.5.1.2 Curva Pushover para sismo ocasional

En las siguientes **Ilustración 39:** Nivel de desempeño para un sismo ocasional en el eje X e **Ilustración 40:** Nivel de desempeño para un sismo ocasional en el eje Y se muestra la curva de capacidad considerando un sismo con un periodo de retorno de 72 años en ambas direcciones.

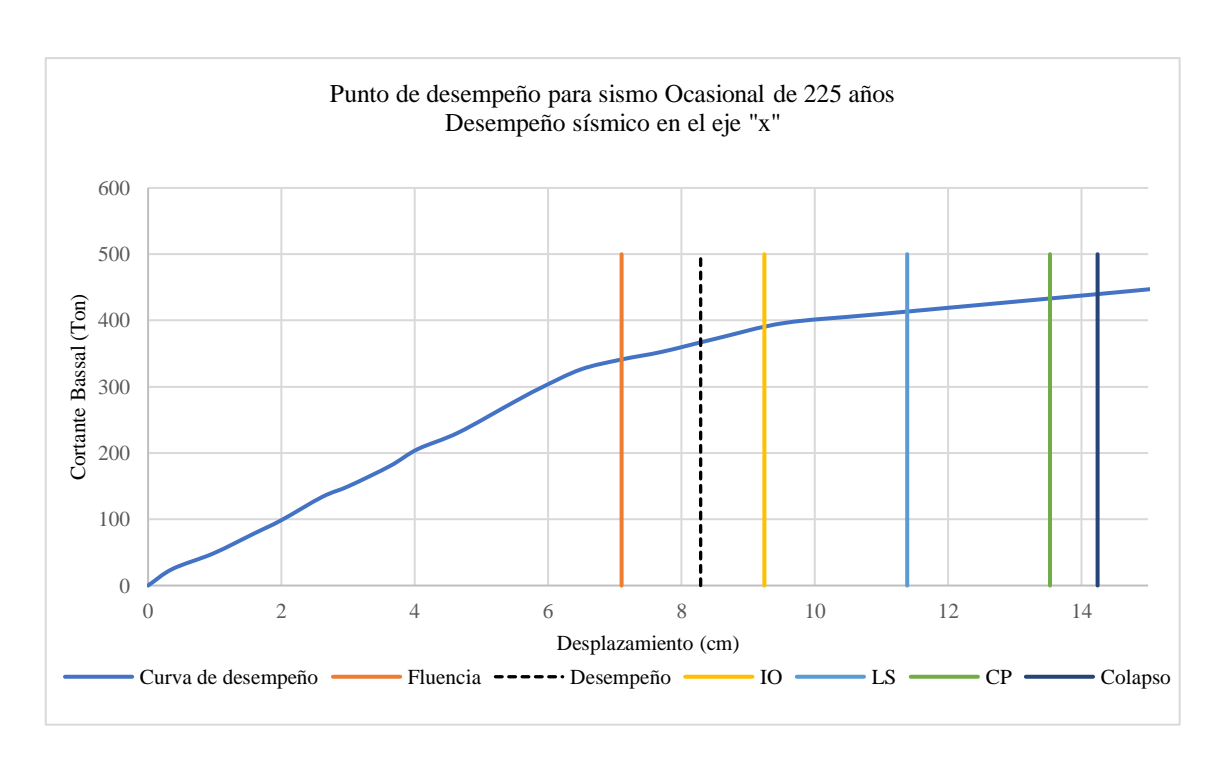


Ilustración 39: Nivel de desempeño para un sismo ocasional en el eje X

Resumen				
Ductilidad μ máxima	2,005			
Ductilidad μ demanda	1,167			
Ductilidad μ reserva	0,838			
Requiere reforzamiento estructural				
V elástico (Ton)	872,6717923			
V máximo (Ton)	440,118			
V diseño (Ton)	179,732014			
Sobre resistencia Ω	2,44874572			
Factor de reducción R	1,8763			

Tabla 40: Ductilidad de la estructura para sismo ocasional en X

Fuente: Autor

Después de haber simulado el sismo en la estructura en la dirección del análisis con un periodo de retorno de 225 años se concluye que la edificación necesita un reforzamiento

estructural debido a que la ductilidad de reserva es menor a la ductilidad de demanda como se muestra en la **Tabla 40:** Ductilidad de la estructura para sismo ocasional en X., sin embargo aún la estructura cumple con los objetivos de desempeño ya que se encuentra entre el punto de fluencia y el punto de ocupación inmediata y su desplazamiento no supera al máximo calculado.

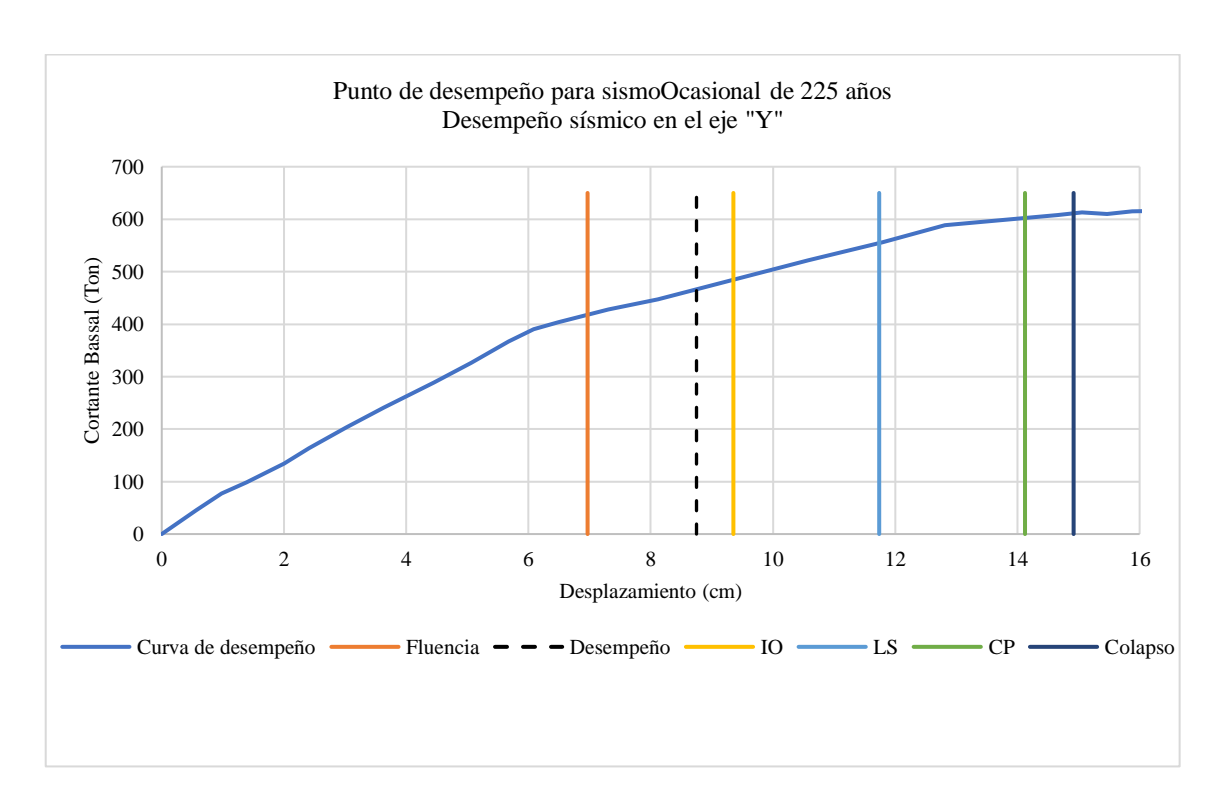


Ilustración 40: Nivel de desempeño para un sismo ocasional en el eje Y

Resumen				
Ductilidad µ máxima	2,141339916			
Ductilidad μ demanda	1,255812618			
Ductilidad μ reserva	0,885527298			
Requiere reforzamiento estructural				
V elástico (Ton)	1049,246352			

V máximo (Ton)	609,272
V diseño (Ton)	216,164179
Sobre resistencia Ω	2,818561349
Factor de reducción R	1,9818

Tabla 41: Ductilidad de la estructura para sismo ocasional en Y

Después de haber simulado el sismo en la estructura en la dirección del análisis con un periodo de retorno de 225 años se concluye que la edificación necesita un reforzamiento estructural debido a que la ductilidad de reserva es menor a la ductilidad de demanda como se muestra en la **Tabla 41:** Ductilidad de la estructura para sismo ocasional en Y. sin embargo, aún la estructura cumple con los objetivos de desempeño ya que se encuentra entre el punto de fluencia y el punto de ocupación inmediata y su desplazamiento no supera al máximo calculado.

4.1.5.1.3 Curva Pushover para sismo raro.

En las siguientes **Ilustración 41:** Nivel de desempeño para un sismo raro en el eje X e Y. Se muestra la curva de capacidad de la estructura considerando un sismo con un periodo de retorno de 72 años en ambas direcciones.

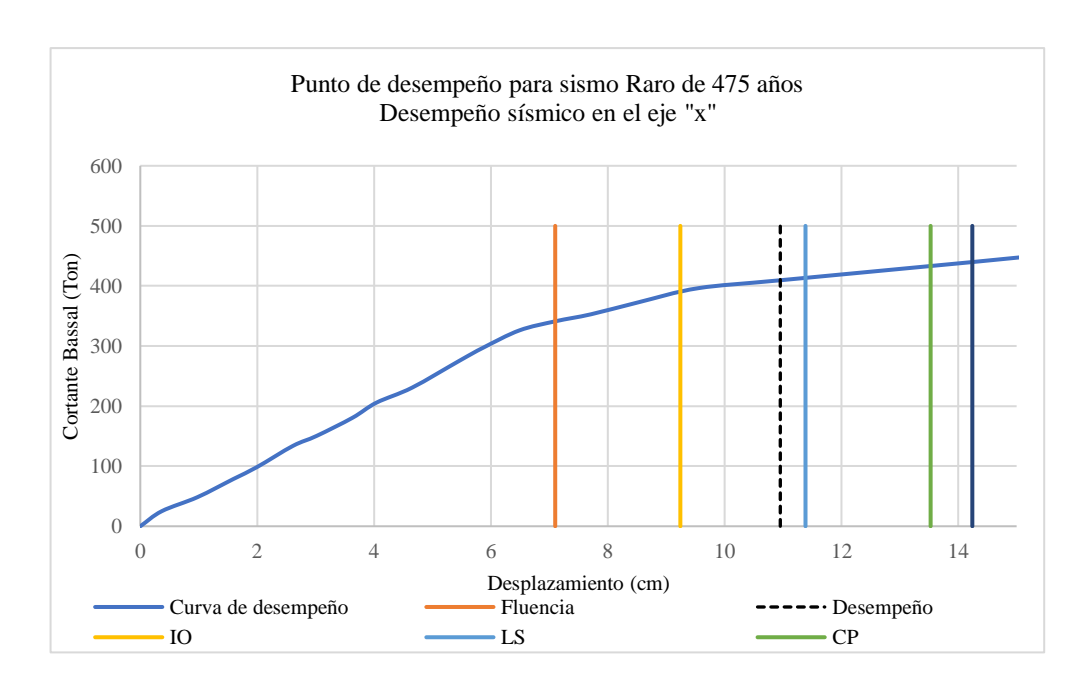


Ilustración 41: Nivel de desempeño para un sismo raro en el eje X

Resumen			
Ductilidad μ máxima	2,005		
Ductilidad μ demanda	1,542		
Ductilidad μ reserva	0,463		
Requiere reforzamiento estructural			
V elástico (Ton)	872,6717923		
V máximo (Ton)	440,118		
V diseño (Ton)	179,732014		
Sobre resistencia Ω	2,44874572		
Factor de reducción R	2,4532		

Tabla 42: Ductilidad de la estructura para sismo raro en X

Fuente: Autor

Después de haber simulado el sismo en la estructura en la dirección del análisis con un periodo de retorno de 475 años se concluye que la edificación necesita un reforzamiento estructural debido a que la ductilidad de reserva es menor a la ductilidad de demanda

como se muestra en la **Tabla 42:** Ductilidad de la estructura para sismo raro en X sin embargo, aún la estructura cumple con los objetivos de desempeño ya que se encuentra entre el punto de seguridad de vida y el punto de daño operacional y su desplazamiento no supera al máximo calculado.

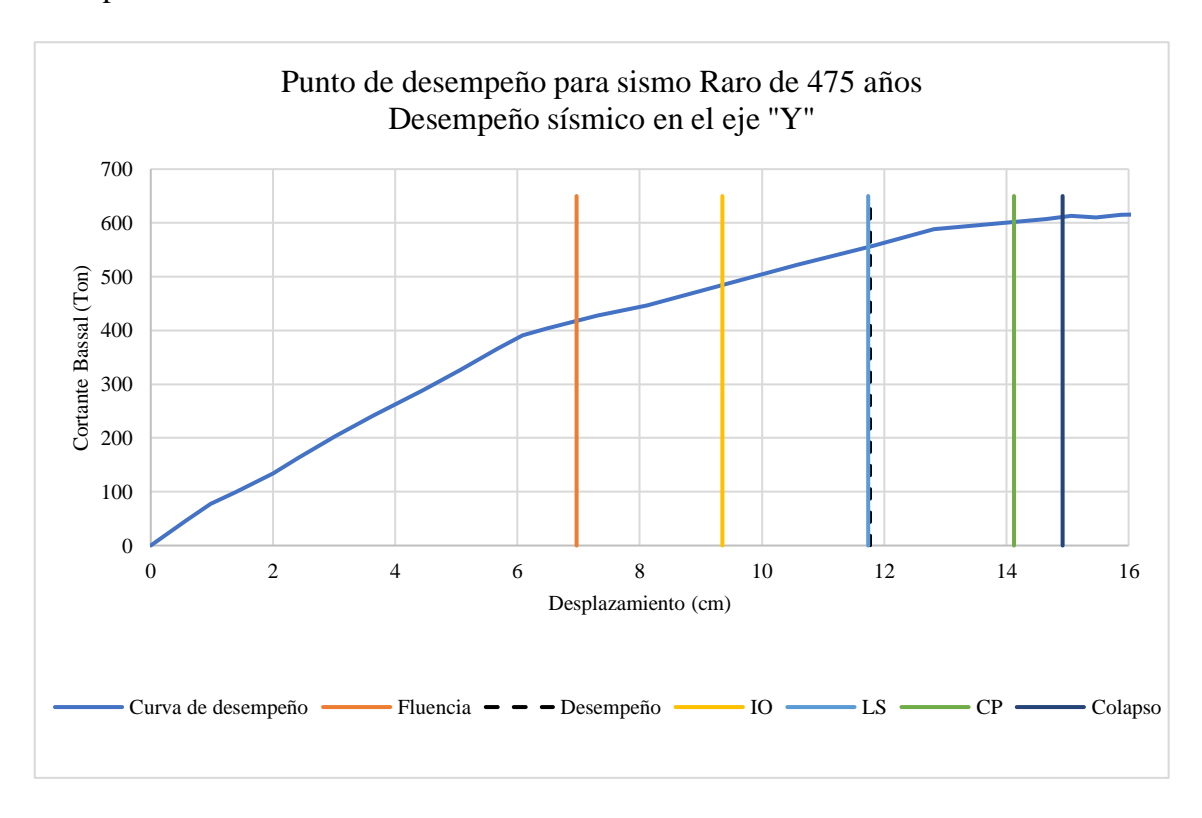


Ilustración 42: Nivel de desempeño para un sismo raro en el eje Y.

Resumen	
Ductilidad μ máxima	2,141339916
Ductilidad μ demanda	1,689821459
Ductilidad μ reserva	0,451518457
Requiere reforzamiento es	tructural
V elástico (Ton)	1049,246352
V máximo (Ton)	609,272
V diseño (Ton)	216,164179
Sobre resistencia Ω	2,818561349

Factor de reducción R	2,3653	
-----------------------	--------	--

Tabla 43: Ductilidad de la estructura para sismo raro en Y

Después de haber simulado el sismo en la estructura en la dirección del análisis con un periodo de retorno de 475 años se concluye que la edificación necesita un reforzamiento estructural debido a que la ductilidad de reserva es menor a la ductilidad de demanda como se muestra en la **Tabla 43:** Ductilidad de la estructura para sismo raro en Y, sin embargo, aún la estructura cumple con los objetivos de desempeño ya que se encuentra entre el punto de seguridad de vida y el punto de daño operacional y su desplazamiento no supera al máximo calculado.

4.1.5.1.4 Curva Pushover para sismo muy raro

En las siguientes **Ilustración 43:** Nivel de desempeño para un sismo muy raro en el eje X e Y. Se muestra la curva de capacidad de la estructura considerando un sismo con un periodo de retorno de 72 años en ambas direcciones.

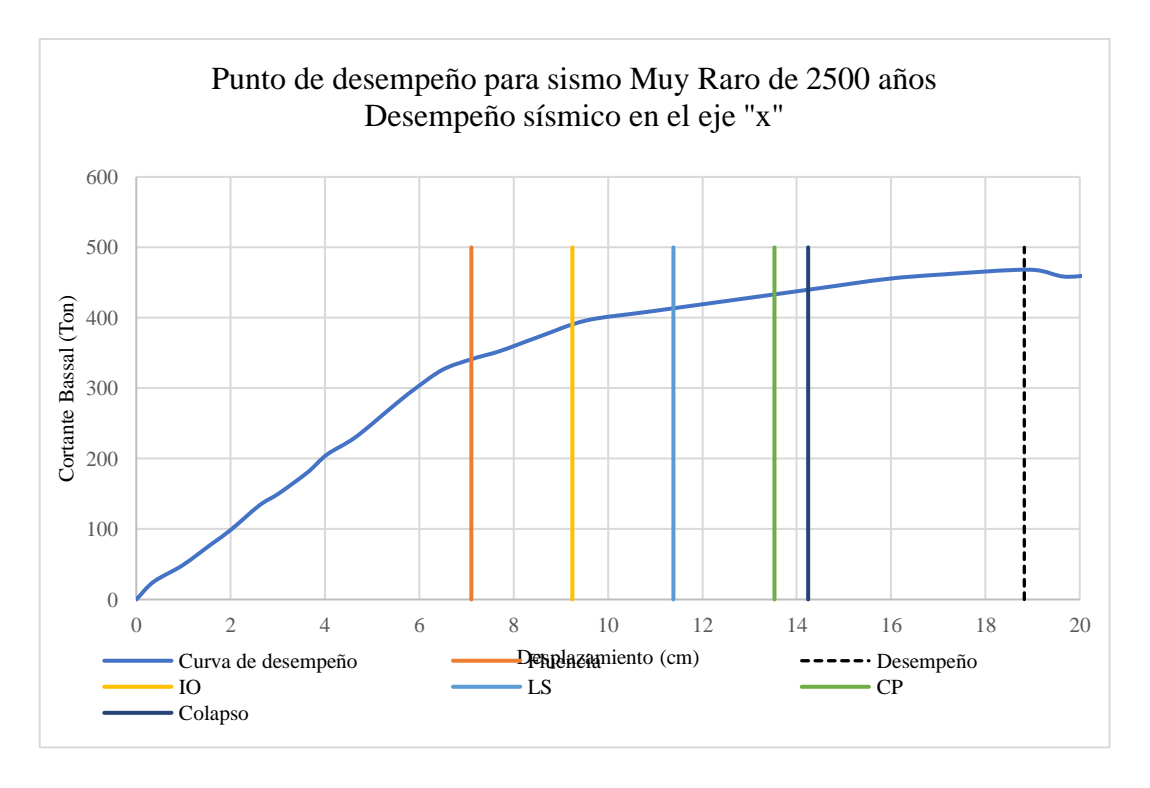


Ilustración 43: Nivel de desempeño para un sismo muy raro en el eje X

Fuente: Autor

Resumen	
Ductilidad µ máxima	2,005
Ductilidad µ demanda	2,650
Ductilidad μ reserva	-0,645
Requiere reforzamiento estructu	ıral
V elástico (Ton)	872,6717923
V máximo (Ton)	440,118
V diseño (Ton)	179,732014
Sobre resistencia Ω	2,44874572
Factor de reducción R	3,5855

Tabla 44: Ductilidad de la estructura para sismo muy raro en X

Después de haber simulado el sismo en la estructura en la dirección del análisis con un periodo de retorno de 2500 años se concluye que la edificación necesita un reforzamiento estructural debido a que la ductilidad de reserva es menor a la ductilidad de demanda como se muestra en la **Tabla 44:** Ductilidad de la estructura para sismo muy raro en X y por ende la estructura ya para este sismo tiende al colapso.

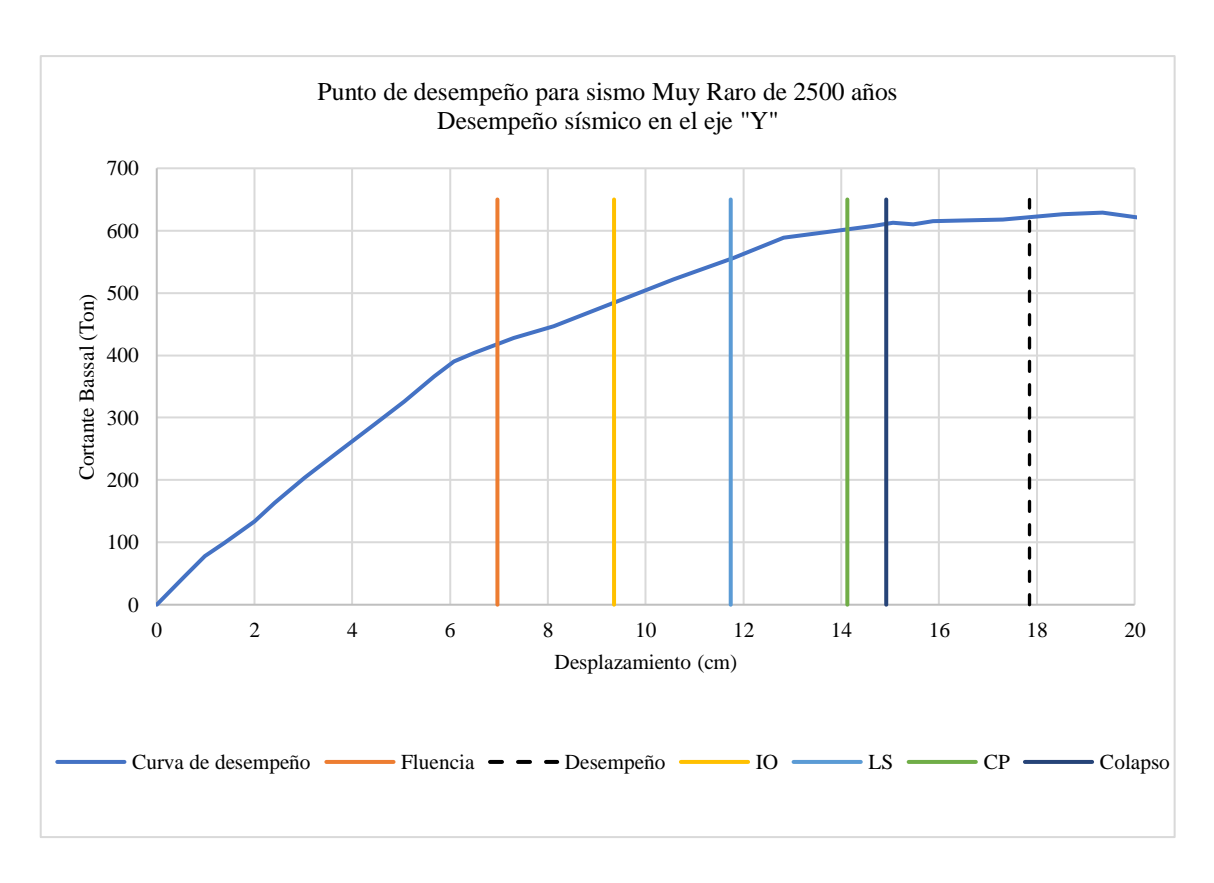


Ilustración 44: Nivel de desempeño para un sismo muy raro en el eje Y.

Resumen								
Ductilidad μ máxima	2,141339916							
Ductilidad μ demanda	2,561857742							
Ductilidad μ reserva	-0,420517825							
Requiere reforzamiento estr	ructural							
V elástico (Ton)	1049,246352							
V máximo (Ton)	609,272							
V diseño (Ton)	216,164179							
Sobre resistencia Ω	2,818561349							
Factor de reducción R	2,9214							

Tabla 45: Ductilidad de la estructura para sismo muy raro en Y

Después de haber simulado el sismo en la estructura en la dirección del análisis con un periodo de retorno de 2500 años se concluye que la edificación necesita un reforzamiento estructural debido a que la ductilidad de reserva es menor a la ductilidad de demanda como se muestra en la **Tabla 45:** Ductilidad de la estructura para sismo muy raro en Y y por ende la estructura ya para este sismo tiende al colapso.

4.1.5.5 Espectro demanda/capacidad y punto de desempeño

En base a las siguiente Ilustración 45: Espectro demanda/capacidad y punto de desempeño en el sentido X-X y la **Ilustración 46:** Espectro demanda capacidad y punto de desempeño en el sentido Y-Y estas gráficas ayudan a determinar el punto de desempeño estructural de la edificación frente a un evento sísmico, siendo esto útil para evaluar el nivel de daño esperado

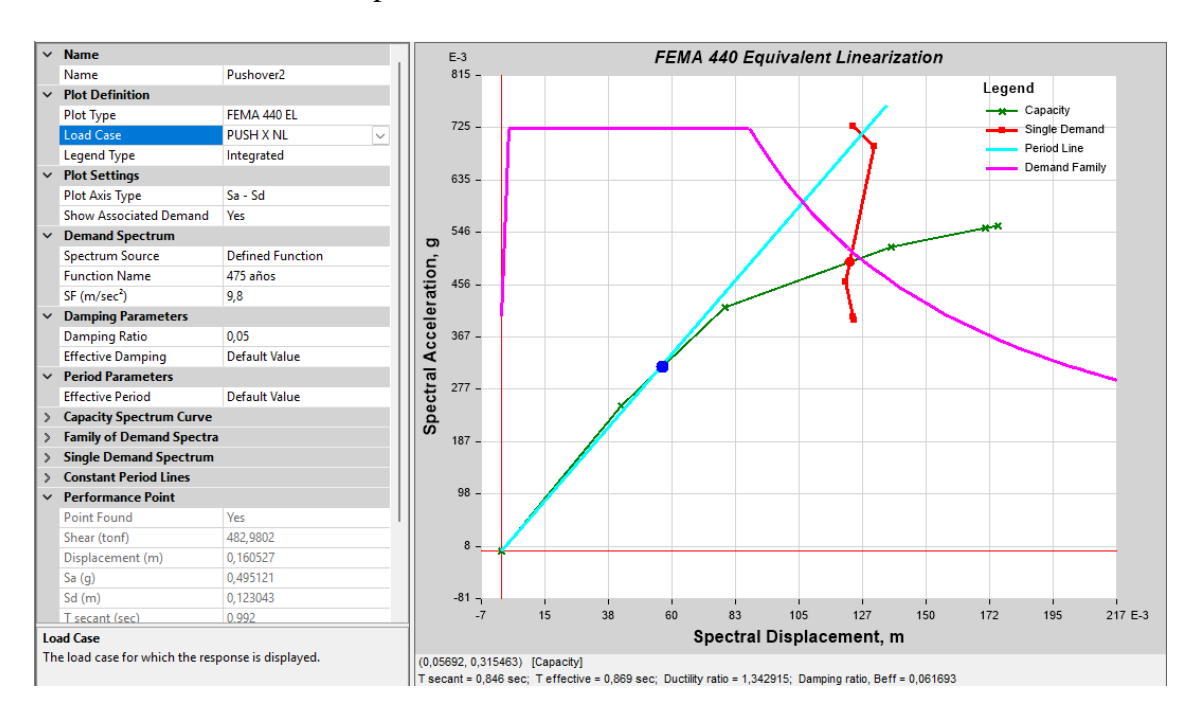


Ilustración 45: Espectro demanda/capacidad y punto de desempeño en el sentido X-X

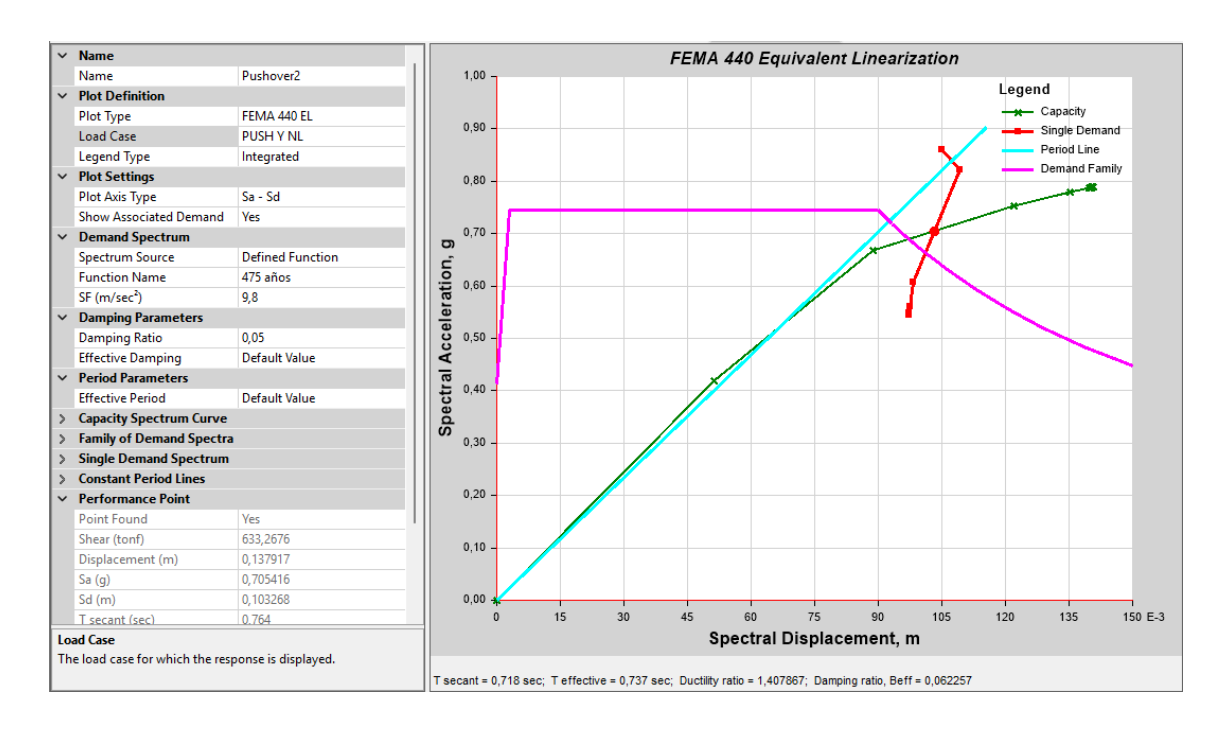


Ilustración 46: Espectro demanda capacidad y punto de desempeño en el sentido Y-Y

4.1.5.6 Formación de rótulas

La **Ilustración 47:** Formación de rótulas en el sentido X-X y la **Ilustración 49:** Formación de rótulas en el sentido Y-Y sirven para identificar el nivel de daño en los elementos estructurales conforme se incrementa el desplazamiento lateral, es decir que a partir de cierto desplazamiento las rótulas van desde estados de ocupación inmediatas hasta niveles de desempeño cerca del colapso según se identifique en los datos obtenidos.

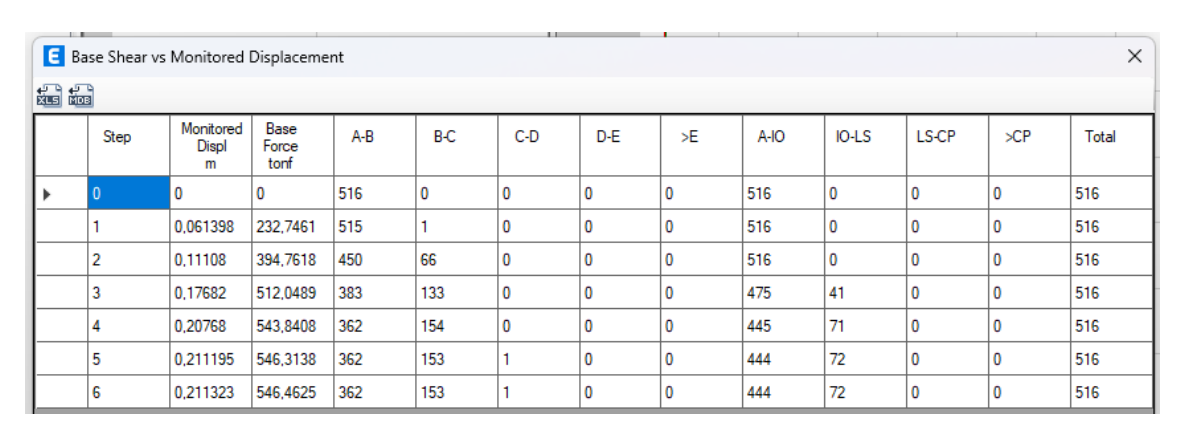


Ilustración 47: Formación de rótulas en el sentido X-X

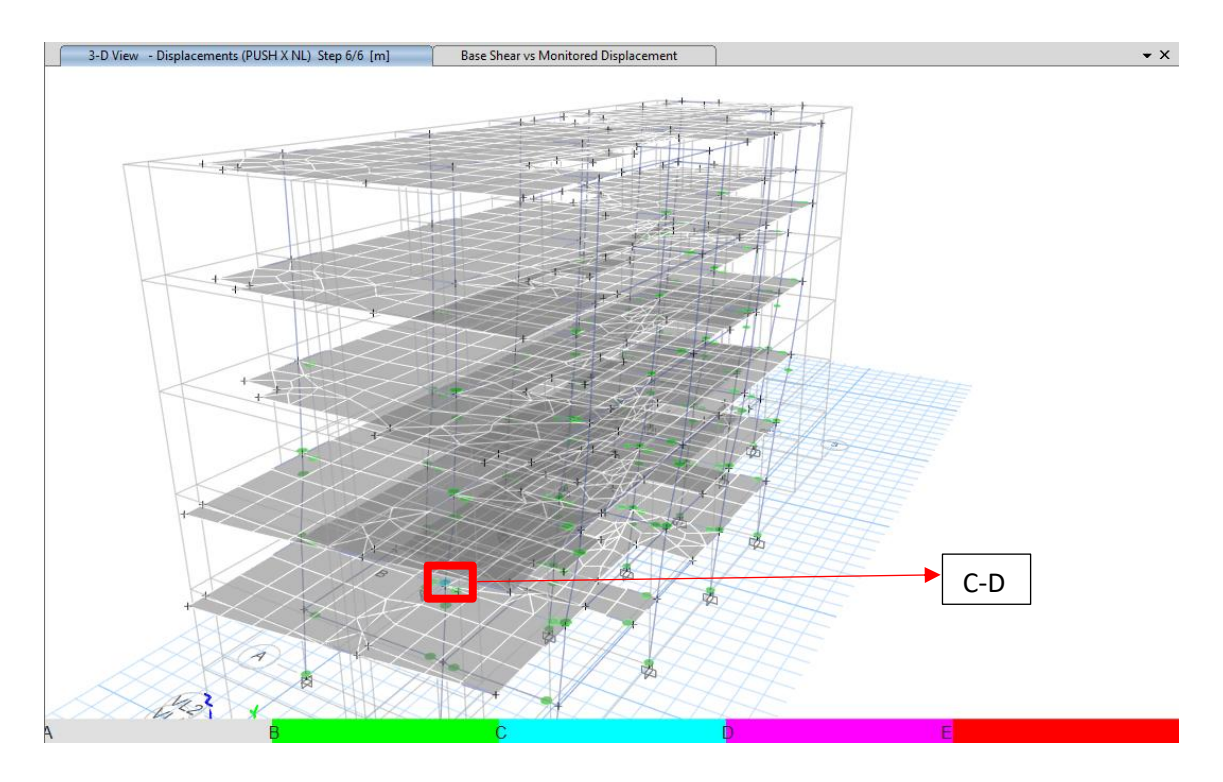


ilustración 48: Ubicación de formación de rótulas plásticas en x

Fuente: Autor

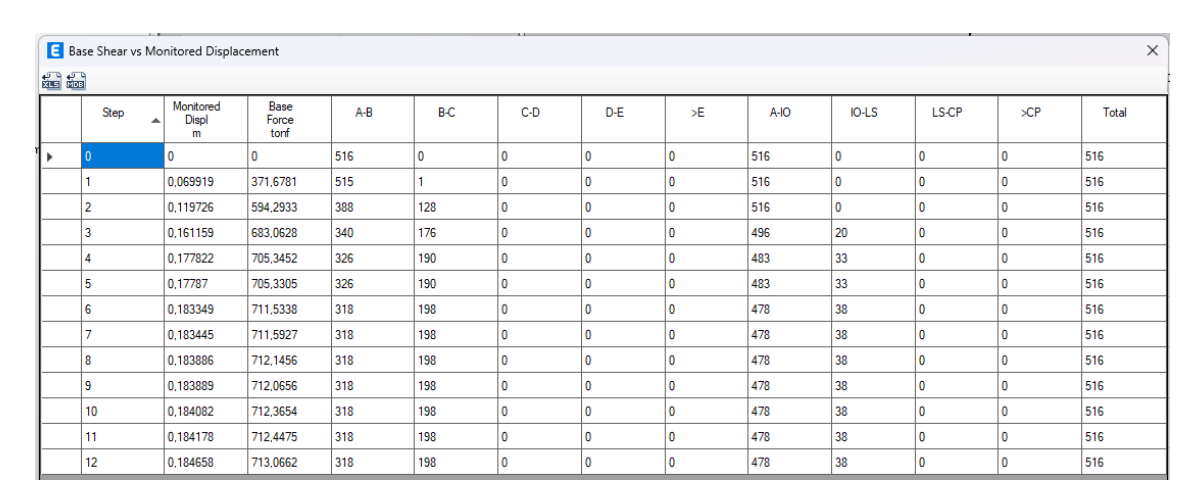


Ilustración 49: Formación de rótulas en el sentido Y-Y

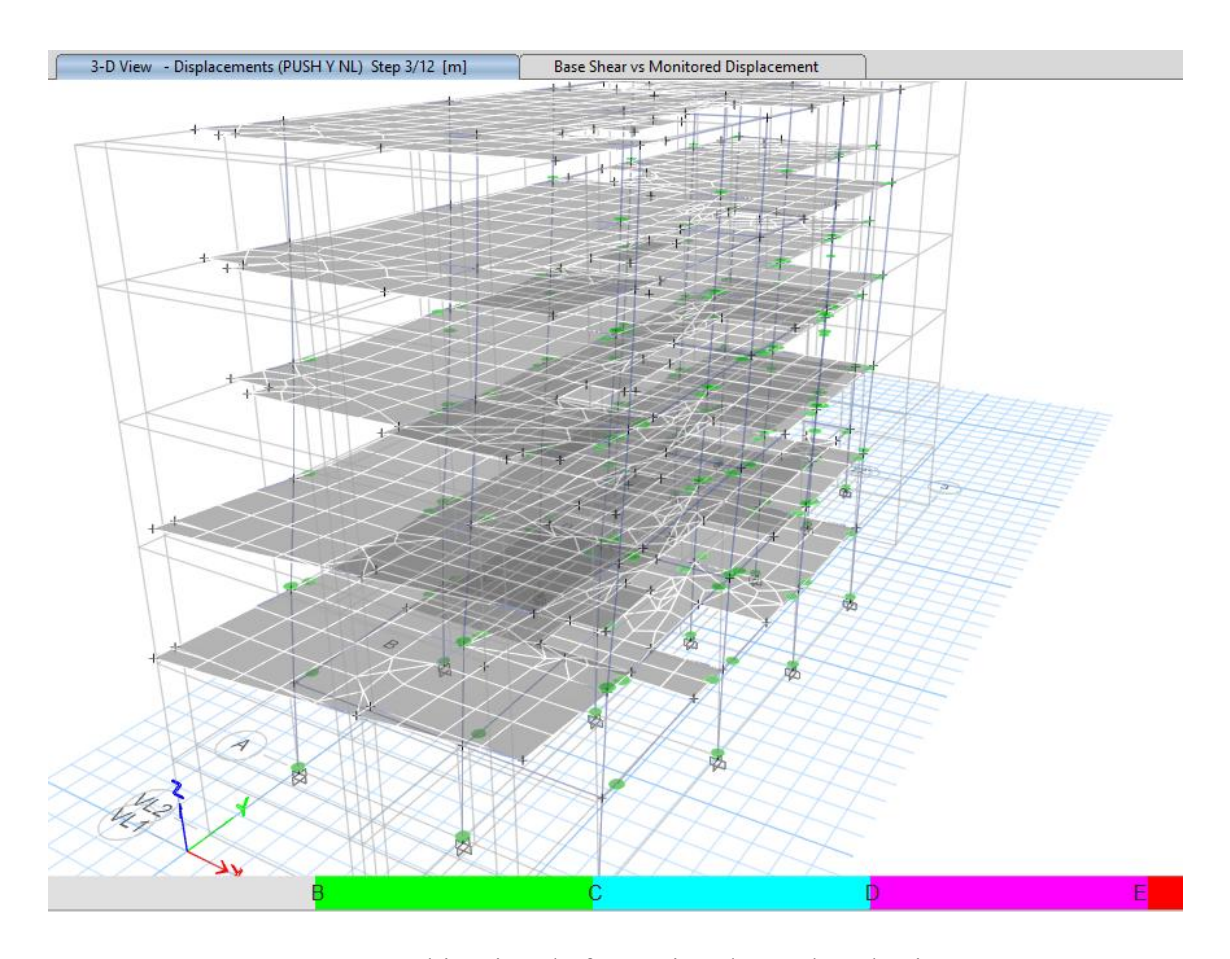


ilustración 50: Ubicación de formación de rótulas plásticas en Y

En la **ilustración 48:** Ubicación de formación de rótulas plásticas en x y en la **ilustración 50**: Ubicación de formación de rótulas plásticas en Y se visualiza la ubicación de la formación de las rótulas en la estructura.

4.1.5.7 Comportamiento no lineal del concreto

La siguiente **Ilustración 51:**Comportamiento no lineal del concreto extraído de la pestaña "Define > Material Properties", luego se selecciona el material a analizar y se da en "Modify/Show Material" para luego ir a "Nonlinear Material Data" y luego en "Show Stress Strain Plot" y esto muestra la relación de esfuerzo-deformación del concreto, donde se observa la deformación del concreto hasta llegar a su pico máximo de resistencia, a partir de allí ya la curva empieza a decaer simulando una pérdida de la

resistencia debido a las propiedades o el fisuramiento del elemento, además se observa los puntos de desempeño según la deformación que cumpla.

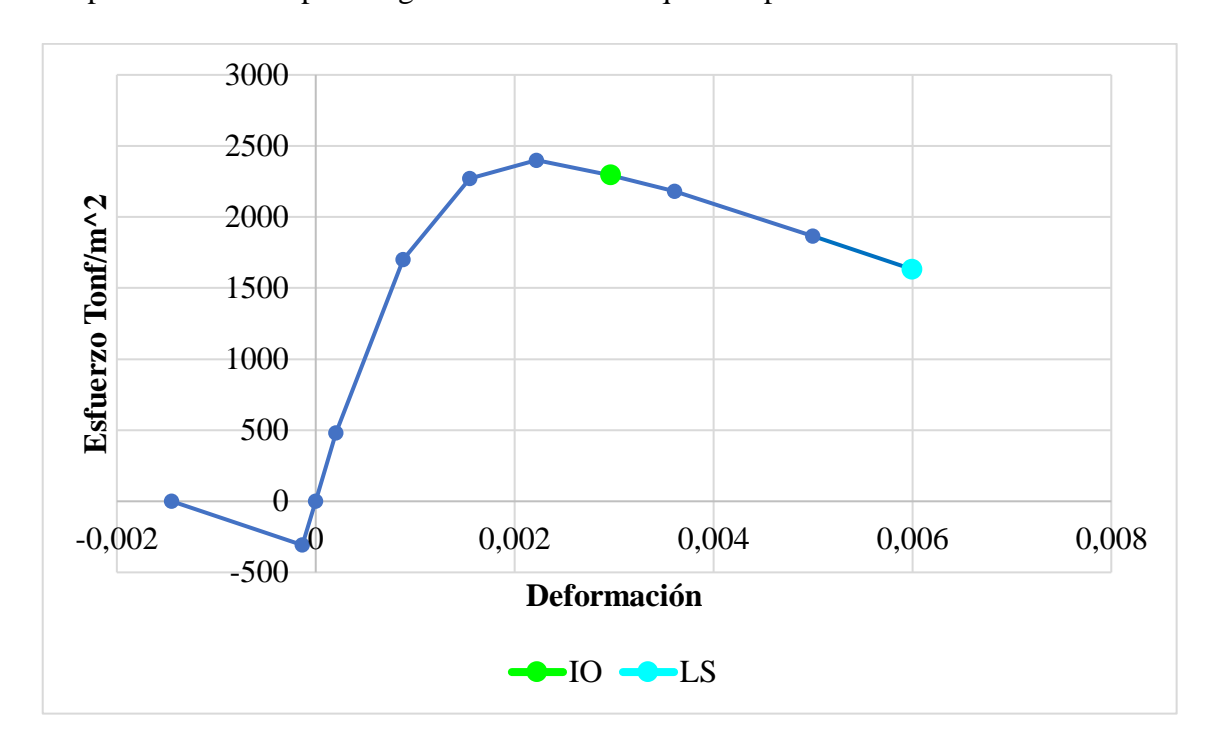


Ilustración 51: Comportamiento no lineal del concreto

Fuente: Autor

4.1.5.8 Comportamiento no lineal del acero

Para verificar el comportamiento no lineal del acero se realiza el mismo proceso que en el apartado del comportamiento no lineal del concreto, seleccionando el material del acero que se ocupó en la edificación el cuál se muestra en la **Ilustración 52:Gráfica** del comportamiento no lineal del acero, donde indica el esfuerzo máximo al cual puede llegar el material antes de ceder.

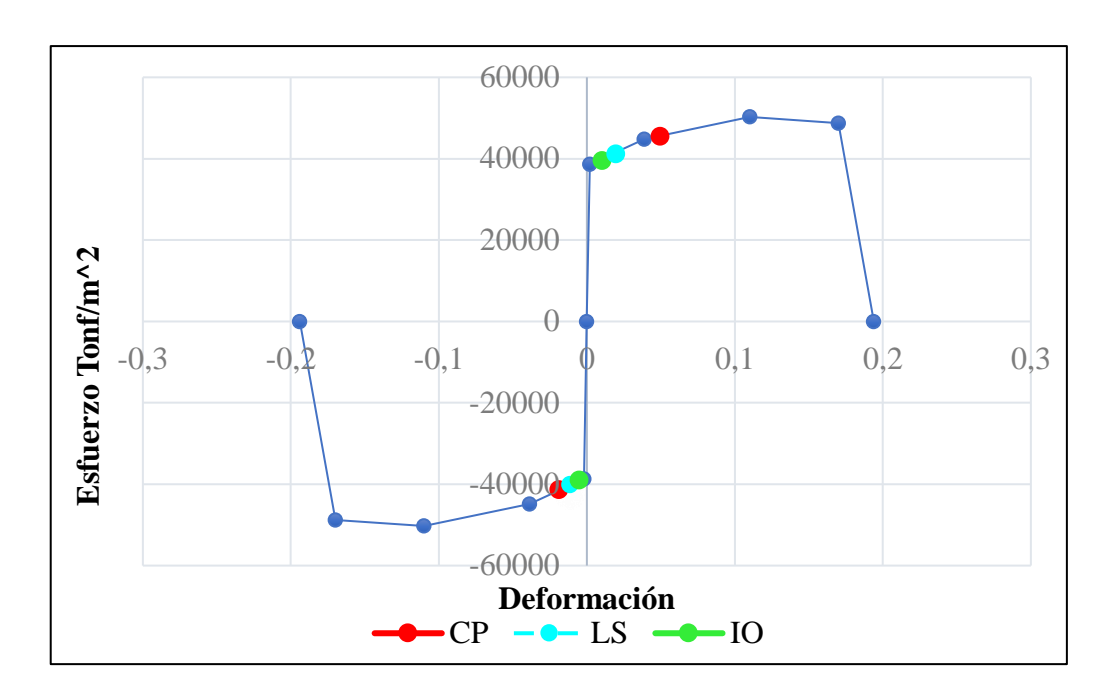


Ilustración 52: Gráfica del comportamiento no lineal del acero

5. Conclusiones y recomendaciones

5.1 Conclusiones

- Con el desarrollo del presente trabajo se ha logrado recopilar y sistematizar la información necesaria y relevante, apoyándose en artículos científicos, normativas locales, etc. La aplicación de las metodologías para evaluar la edificación como la NEC, FEMA P154, e implementación del análisis estático no lineal ha permitido contrastar y validar parámetros necesarios para los chequeos correspondientes ante escenarios de cargas sísmicas, demostrando la importancia que se debe de realizar los cálculos estructurales con ayuda de softwares o plantillas de Excel que agilicen los trabajos y minimicen el margen de erros en los cálculos necesarios e importantes de la edificación.
- Mediante la revisión bibliográfica se seleccionó procedimientos esenciales y más comúnmente usados para las evaluaciones de las edificaciones, siendo una de ellas como la metodología FEMA P154, metodología usada mundialmente para evaluar de una manera visual si es necesaria, y dependiendo de los resultados se menciona una evaluación ya más detallada o a su vez mas invasiva. Otra de las metodologías en uso es la NEC-2015 que se basa en parámetros ya locales, en donde se recopila una serie de

información y establece una puntuación acorde a la localidad ya que se encuentra en una zona de alta peligrosidad sísmica. Otra metodología usada es la del análisis estático no lineal, la cual es una herramienta mucho más detallada en donde involucra parámetros para la revisión del desempeño de la estructura en base a los distintos niveles de sismo construyendo una base sólida para el diagnóstico, chequeo y recomendación con respecto a la vulnerabilidad de la edificación.

- Al utilizar 3 metodologías se puede concluir que: Para la evaluación de la FEMA P154 no presenta vulnerabilidad y por ende la edificación no representa riesgos ni requiere una evaluación más detallada; Para la evaluación con el formulario de la NEC lo mismo que en el anterior el cual tuvo una buena puntuación que permitió constatar que la edificación no presenta mayor riesgo y por ende no necesita una evaluación más detallada; Para la evaluación con respecto a un análisis más profundo se empezó con los análisis tanto estático como dinámico en donde presentaba mayores aspectos favorables como cumplimiento de derivas de piso, no presenta pisos blandos, cumple con parámetros de estabilidad, así como también aspectos negativos, como no cumplir torsión en el sentido x, tener fallos en las deflexiones de los elementos específicamente en los volados, y demás.
- En la metodología del análisis estático no lineal en donde a través de las curvas de desempeño en los distintos niveles de sismo no pasa chequeo para al menos el sismo de diseño, por lo cual según este análisis requiere un reforzamiento estructural para controlar un poco más el desempeño de la edificación ante los distintos niveles de amenaza sísmica según la ductilidad de la edificación, sin embargo según los objetivos de desempeño, basados en los desplazamientos, la edificación cumple hasta el sismo raro o de diseño, y ya para el sismo muy raro la edificación tiende al colapso.

5.2 Recomendaciones

 Considerando lo aplicado en este trabajo de titulación se recomienda la importancia de tener datos y si es posible el permiso de dueños, ingenieros y arquitectos a cargo de la obra para la facilitación de los documentos necesarios para el estudio detallado de tal

- manera que se pueda presenciar valores a una escala más real, además que todo debe estar bajo una fundamentación científica y más actualizada.
- Es importante comprender y estudiar de manera detallada todo respecto a cada metodología que se ha aplicado en el presente trabajo, de tal manera que el estudio y evaluación de la edificación contenga informaciones veras ya que el uso de este documento puede servir para futuras evaluaciones.
- Según los resultados obtenidos en base a la evaluación estructural, la edificación requiere un reforzamiento en los elementos para controlar factores que afectan al desempeño de la estructura, ya que a pesar de que la estructura no tiende al colapso

ANEXOS

Planos estructurales

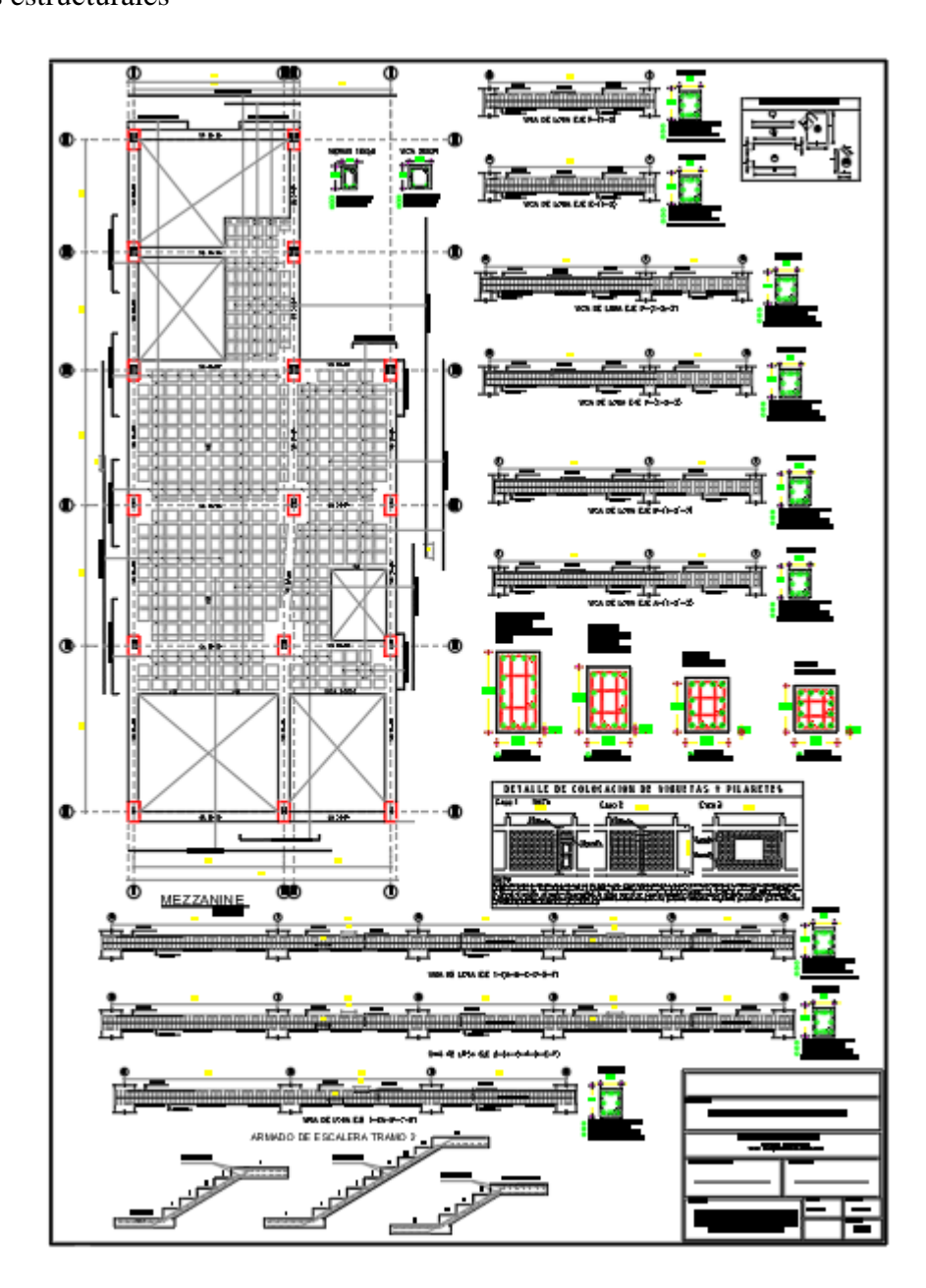


Ilustración 53: Plano estructural mezanine

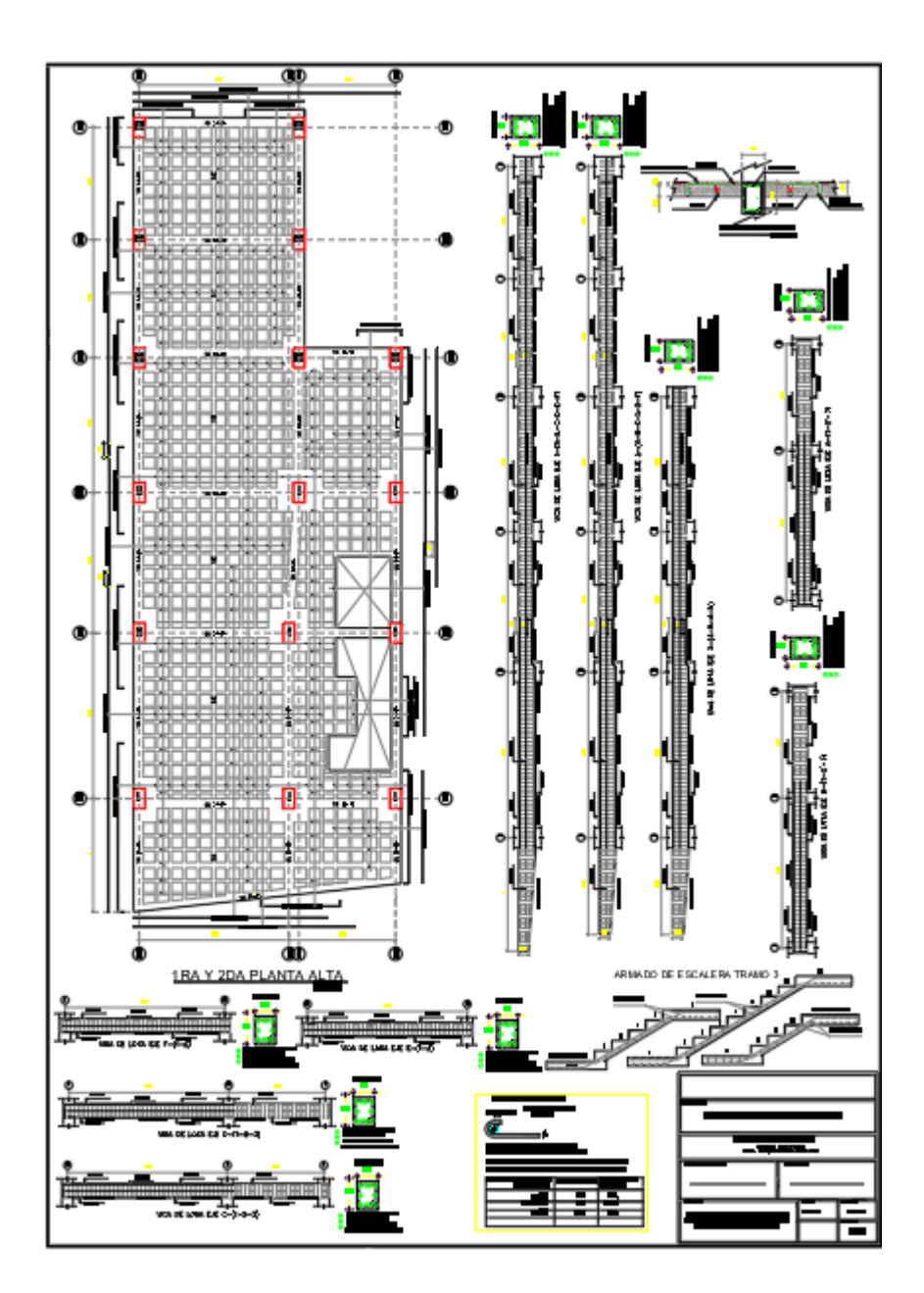


Ilustración 54: Plano estructural 1ra y 2da planta

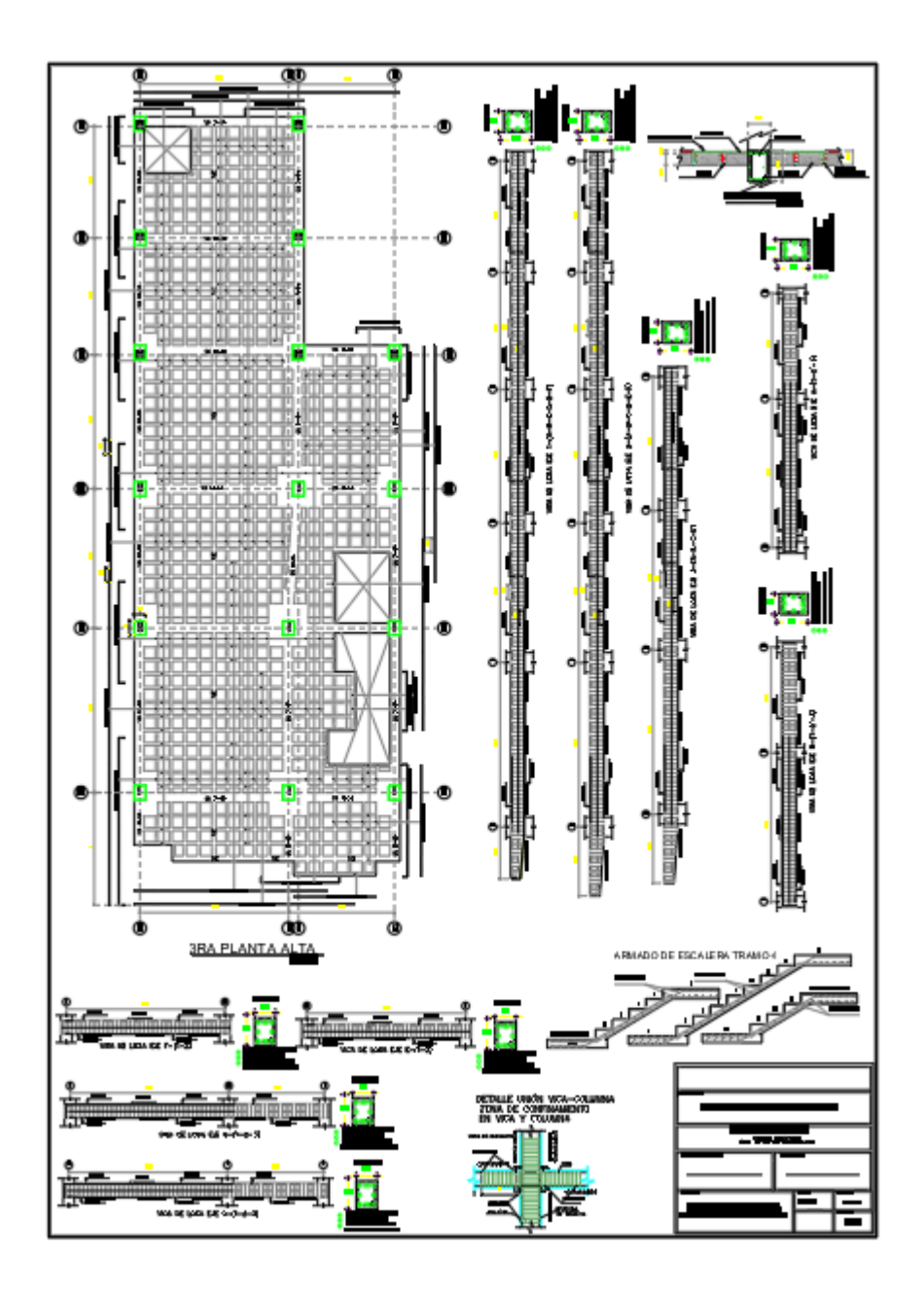


Ilustración 55: Plano estructural 3ra planta.

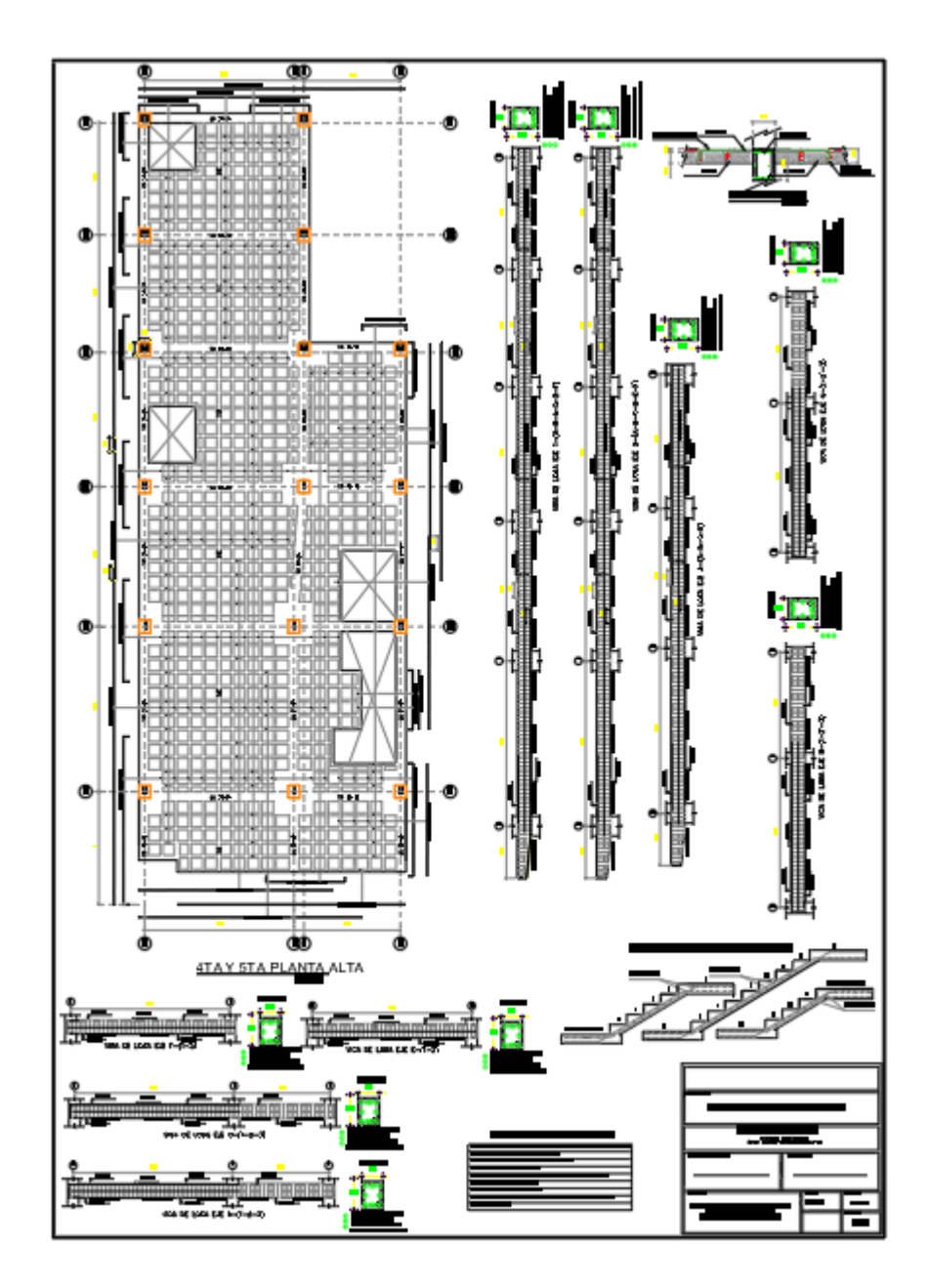


Ilustración 56: Plano estructural 4ta y 5ta planta.

Modernal Processor (1994) (1994) 1894 1895 1995
10 10 10 10 10 10 10 10
10 10 10 10 10 10 10 10
1906 1907 1907 1908 1909 1909 1909 1909
1
10
10
131 And to constructions
134 Advisors
291 Australiana Commontain Service de l'impersion Service de l'Imperson Paulo Pa
231 Top 05 SURGED
200 FOOD BUILDON Decision
Policio del Maldro Li-Grano viverdas multifamiliares de uno 2 gissos 170
Section 10 10 10 10 10 10 10 1
Fortices of Masters Livanes Windras murificantiane de uno a 2 passe 100
257 Applemental 287
288
2004
2008
Portico de madera Livianos viviendas multifamiliares de uno a 2 pisos W1 3-09 Portico homogra Armado con munos de corte C2 Portico de madera prima de la comunicación de madera prima de la comunicación de madera prima de la comunicación de madera Livianos viviendas multifamiliares de uno a 2 pisos W1 3-09 Portico homogra Armado con munos de corte C2 Porticos de madera Livianos viviendas multifamiliares de uno a 2 pisos W1 3-09 Portico homogra Armado con munos de corte C2 Porticos de madera para edicidos comerciales e industricales con un area de piso W1 3-09 Portico homogra Armado con munos de corte C2 Porticos de madera para edicidos comerciales e industricales con un area de piso W2 3-11 Portico Acero Laminado (Portico Residente a Momento) S1 3-12 Lloas Prelabricada de Normigión (Till-up) Portico Acero Laminado con disposar de la comunicación de la comunic
ESOITBM ESTRICTURAL ERFLAMAY FLEMACON
ESORIMA ESTRUCHURAL ENPLANTA FLUMON
Portico de Madora Livianos vivendas multiformilarea de uno a 2 gisos Portico de madrea Livianos multiples unidades, multiples pisca para edicidos VIVI 369 Portico de madrea Livianos multiples unidades, multiples pisca para edicidos VIVI 369 Portico de madrea Livianos multiples unidades, multiples pisca para edicidos VIVI 369 Portico de madrea Livianos multiples unidades, multiples pisca para edicidos VIVI 369 Portico de madrea para edicidos comerciales e industricales con un area de pisco VIVI 311 Portico de madrea para edicidos comerciales e industricales con un area de pisco VIVI 311 Portico de madrea para edicidos comerciales e industricales con un area de pisco VIVI 311 VIVI V
Porticos de Madera Livianos miviendas multifamiliares de uno a 2 gisos Portico de madera Livianos miliples unidades, multiples paso para edificio controlado de madera Livianos miliples unidades, multiples paso para edificio controlado de madera Livianos en miliples unidades, multiples paso para edificio controlado de madera Livianos en miliples unidades, multiples paso para edificio controlado de madera Livianos en miliples unidades, multiples paso para edificio controlado de madera de priso VII 30 Portico Del Al Armado con munuos de corte Citato de manago de madera de miliples unidades, multiples paso para edificio controlado en manago de manago
Service Accord Livisino Conformado on fife 33 314 Edificios de mamposteuria reflorazás con distinguras finishiles SR
8 Policio Acesa com parceles de mamposteria de Moque 85 316 Edificios de Memposteria no reforzada Miles
PUNTALES BASICOS, MODIFICADRES PUNTALES PARAL INVEL 1, SLT STUDIARDI SCENAR CENTRAL PROBLEM PROBLE
Make
PulmYALE BASICO
MREGUARDONES
Bingularidos ventical historical historica
Composition (P.11 1.3 1.2 1.3 0.9 0.9 1.1 0.8 0.7 0.7 0.9 0.8 0.8 0.7 0.
All mode configuration and series of 2011) and acconstruction
1,5 1,9 2,3 1,4 1,4 1 1,9 1,4 1,0 2,1 1,4 2,1 2,4 2,1 2,1 1,4 1,5
SUBLICO
Silveto 0 0 0 0 0 0 0 0 0
100 de 3 value C 9 Pisco; 0.5 0.8 1.2 0.7 0.7 1.0 0.7 0.8 0.0 0.8 0.4 1.0 0.5 0.6 0.7 0.7 0.7
Purklay Effect 1,5 1 > 5 MN
GRADO DE REVISIÓN
Parcell Todos los Lados Aneso Napagro que ameritan una evaluación estructural detallada? Requien evaluación estructural detallada? 101 □ Colippo Públicasi (a menor que SL ≥ minde, si es concessa) 101 □ Colippo Públicasi (a menor que SL ≥ minde, si es concessa) 102 □ R puriap-morar que SL ≥ minde.
Infarior: Golpeo Polencial (a menor que SL.2×limité, si es consocido) 701 [8, specie enficielo REMA desendato uma edifico consocido) 702 [8, specie enficielo REMA desendato uma edifico consocido) 702 [8, specie enficielo REMA desendato uma edifico consocido) 702 [8, specie enficielo REMA desendato uma edifico consocido) 702 [8, specie enficielo REMA desendato uma edifico consocido) 703 [8, specie enficielo REMA desendato uma edifico consocido (10 cm) 703 [8, specie enficielo REMA desendato uma edifico consocido (10 cm) 703 [8, specie enficielo REMA desendato uma edifico consocido (10 cm) 703 [8, specie enficielo REMA desendato uma edifico consocido (10 cm) 703 [8, specie enficielo REMA desendato uma edifico consocido (10 cm) 703 [8, specie enficielo REMA desendato uma edifico consocido (10 cm) 703 [8, specie enficielo REMA desendato uma edifico consocido (10 cm) 703 [8, specie enficielo REMA desendato uma edifico consocido (10 cm) 703 [8, specie enficielo REMA desendato uma edificial respecie enficielo REMA desendato (10 cm) 703 [8, specie enficielo REMA desendato uma edificial respecie enficielo REMA desendato (10 cm) 703 [8, specie enficielo REMA desendato (10 c
conocido) 702 S, puntaje menor que ol limite
Ningano Vsible Completo Riesgo de caída de edificos adjacentes más altos 703 S, des peigras presentes
Planos revisados: SI No 704 100
Fuente del Tipo de suelo: 603 Risego geológico o tipo de Suelo F Evaluación no estructural detallada recomendada? (murque con u
Fluente del Peligro Gesifagaco
G64 Daino significativo/deteriorodel sistema estructural 706 No, existem peligros no estructurales que requieren mitigación Personas de Conlacto
Personas de Contacto necesita una ovaluación delafilada
Celular: To I Il to, no se identifican pelgros no estructurales
Trecenta una organia-un ureasoua

Fuente: Ministerio de Desarrollo Urbano y Vivienda (MIDUVI)

	Visual Scr P-154 Data			100	for	Potent	tial Se	ismic	Haza	ards		МС	DE	RAT	ELY	HIGI	H Sei	Leve ismic	
								Adr	lress:										
								1							7	Zip:			
								Oth	er Identi	fiers:									
									ding Na	-									
								Use											
								Lati	tude:					Longitu	ide:				
		РНОТО	OGRAP	Н				Ss:						S1: _					
								Scr	eener(s)	:			- 1	D	ate/Tim	e:			
								No.	Stories	Abov	ve Grade: Year Built: 🗆 EST								EST
								Tota	al Floor litions:	Area (so									
								Occ	upancy		embly istrial	Commerc	cial	Emer. S School			istoric overnmer	☐ Shelt	er
										Utilit		Warehou		Resider	ntial, #Ur		overnmer	nu	
								Soil	Type:	□ A Hard	□B Avg	□C Dens	S	tiff S	Soft P	oor #	NK DNK, ass	ите Туре	D.
								Geo	logic Ha	Rock	Rock	Soil ction: Yes/				Soil /No/DNK	Surf Ri	unt · Yes/	No/DNK
-				- 9					acency:	and are.		ounding						it Building	
				-	-	-		- 5	gularitie			ertical (typ			iazaius ii	OIII Tallel	Aujacen	it Dulluling	
_				-	-	-		- 1116	guiariue	э.		lan (type)	e/sevei	ity) –					
								Exte	erior Fal	lina		Inbraced C	himne	/S	П Неа	avy Clade	ding or H	leavy Ver	eer
								Haz	ards:		□ F	arapets	•		□ Арр	endages	3	P0001 000	
								CO	MMENT	S:									
								1											
	20	SK	ЕТСН	30 10			172		Addition	al sketch	es or co	mments or	separ	ate page	le.				
												1 SCOF	0.50						
FEMA BU	ILDING TYPE	Do Not Know	W1	W1A	W2	S1 (MRF)	S2 (BR)	S3 (LM)	(RC SW)	S5 (URM INF)	C1 (MRF)	C2 (SW)	C3 (URM INF)	PC1 (TU)	PC2	RM1 (FD)	RM2 (RD)	URM	МН
Basic Sco			4.1	3.7	3.2	2.3	2.2	2.9	2.2	2.0	1.7	2.1	1.4	1.8	1.5	1.8	1.8	1.2	2.2
	rtical Irregularity, ! Vertical Irregularity		-1.3 -0.8	-1.3 -0.8	-1.3 -0.8		-1.0 -0.6	-1.2 -0.8	-1.0 -0.6	-0.9 -0.6	-1.0 -0.6	-1.1 -0.6	-0.8 -0.5	-1.0 -0.6	-0.9 -0.6	-1.0 -0.6	-1.0 -0.6	-0.8 -0.5	NA NA
	vertical irregularity ularity, P _{L1}	1, VL1	-0.8	-1.2	-0.8		-0.8	-1.0	-0.6	-0.6	-0.6	-0.6	-0.5	-0.6	-0.6	-0.6	-0.6	-0.5	NA NA
Pre-Code	aranty, r Er		-0.8	-0.9	-0.9		-0.5	-0.7	-0.6	-0.2	-0.4	-0.7	-0.1	-0.4	-0.3	-0.5	-0.5	-0.1	-0.3
Post-Bend			1.5	1.9	2.3	1.4	1.4	1.0	1.9	NA	1.9	2.1	NA	2.1	2.4	2.1	2.1	NA	1.2
Soil Type			0.3	0.6	0.9	0.6	0.9	0.3	0.9	0.9	0.6	8.0	0.7	0.9	0.7	0.8	0.8	0.6	0.9
	E (1-3 stories) E (> 3 stories)		0.0 -0.5	-0.1 -0.8	-0.3 -1.2		-0.5 -0.7	0.0 NA	-0.4 -0.7	-0.5 -0.6	-0.2 -0.6	-0.2 -0.8	-0.4 -0.4	-0.5 NA	-0.3 -0.5	-0.4 -0.6	-0.4 -0.7	-0.3 -0.3	-0.5 NA
	Score, SMIN		1.6	1.2	0.8	0.5	0.5	0.9	0.5	0.5	0.3	0.3	0.3	0.3	0.2	0.3	0.3	0.2	1.4
an-market in	EVEL 1 SCOR	E, S _{L1} ≥ S _{MIN} :														3.00.00			
TO SECURITY OF THE PROPERTY OF						OTHER HAZARDS				ACTION REQUIRED									
	Exterior: Partial All Sides Aerial					Are There Hazards That Trigger A				Detailed Structural Evaluation Required?									
Interior: None Visible Entered Drawings Reviewed: Yes No					Detailed Structural Evaluation?					☐ Yes, unknown FEMA building type or other building☐ Yes, score less than cut-off									
	Source:					Pounding potential (unless S _{L2} > cut-off, if known)				>		es, score i es, other h							
	Hazards Source	e:			\Box	☐ Fallir	ng hazard		aller adja	cent	□ N								
Contact I	rerson:					build Geol	ling logic haza	rds or S	oil Type	F	Service Service	led Nonst					00/200/07/19/5	CONTROL M.	
LEVEL	2 SCREEN	ING PERF	ORME	D?		☐ Sign	ificant dar	nage/de	eterioratio	n to		es, nonstr							1.
☐ Yes,	Final Level 2 Sco	re, S _{L2}			lo		structural s					o, nonstru etailed eva				may requ	ure mitig	ation, but	a
	ural hazards?	☐ Yes										o, no nons				ed [] DNK		
		e information (
Legend:	MI BF	RF = Moment-res R = Braced frame	isting fran		RC = Re SW = S	einforced co hear wall	ncrete		URM INF : TU = Tilt u	n		onry infill	MH	= Manufa = Light m	atal	using F R	D = Flexib D = Rigid	le diaphra diaphragn	gm

Fuente: Rapid Visual Screening of Buildings for Potential Seismic Hazards: A Handbook

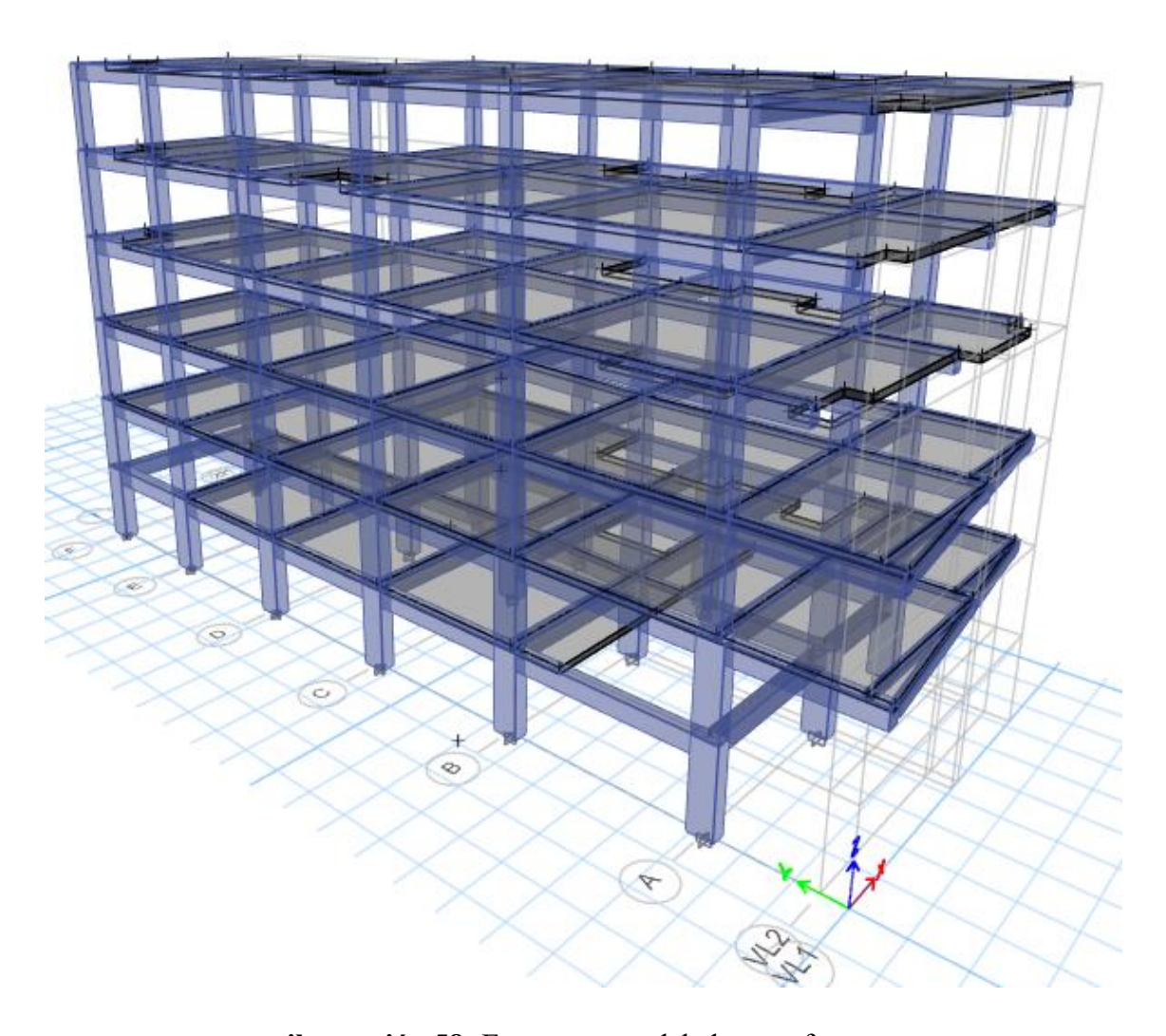


ilustración 58: Estructura modelada en software

Bibliografía

- MIDUVI. (2016). Manual_procedimiento_evaluación_edificaciones_MIDUVI.
- Abril Andrés, Pérez Ruth, Abril Daniel, & Cadena Clara. (2023). Vista de Comparativo técnico económico entre pórticos especiales a momento de hormigón armado y acero estructural empleando las normativas ACI 318 19, AISC 341 16, AISC 360 22 Y NEC SE DS 2015. https://doi.org/https://doi.org/10.37811/cl_rcm.v7i2.5893
- Alcivar Stalin, Mieles Yordy, & Pierre Jean. (2021). Vista de Estudio comparativo de análisis y diseño de estructuras aporticadas de hormigón armado, aplicando los espectros de la microzonificación sísmica del cantón Portoviejo y los espectros de la NEC-15. https://doi.org/https://doi.org/10.33936/riemat.v6i1.3687
- Ayala Milián, A. G. (2022). Análisis de la resiliencia sísmica de edificios. Revista de Ingeniería Sísmica, 107, 47–73. https://doi.org/10.18867/ris.107.603
- Bungacho, J., Baquero, R., & Hernandez, L. (2022). Evaluación de vulnerabilidad sísmica, análisis estructural y diseño de reforzamiento de una vivienda en Quito–Ecuador. Ciencia, Ingenierías y Aplicaciones, 5(2), 63–79. https://doi.org/10.22206/cyap.2022.v5i2.pp63-79
- by the Applied Technology Council for the Federal Emergency Management Agency, P. (2015). Rapid Visual Screening of Buildings for Potential Seismic Hazards: Supporting Documentation. www.ATCouncil.org
- Cagua Brian, Aguilar Roberto, & Pilatasig Julia. (2022). Influencia de la manipostería de relleno en el desempeño sísmico de estructuras aporticadas de hormigón armado. https://doi.org/http://dx.doi.org/10.4067/S0718-33052022000300513
- Cervera, O., Lorrén, Á., & Ruiz, Á. (2023). Seismic Vulnerability Index Method Using the Geographic Information System, An Application on an Urban Scale. Revista Politecnica, 52(1), 95–103. https://doi.org/10.33333/rp.vol52n1.10

- Concepción Yamila, Alvarez Eduardo, & Fidel Alonso. (2021). Vista de Pronósticos sobre el comportamiento sísmico de edificaciones construidas con el Gran Panel Soviético _ DYNA. https://doi.org/https://doi.org/10.15446/dyna.v88n216.87946
- Construcción, L. A. (2015). RIESGO SÍSMICO, EVALUACIÓN, REHABILITACIÓN DE ESTRUCTURAS.
- Cunalata, F., & Caiza, P. (2022). State of the Art of Seismic Vulnerability Studies in Ecuador. Revista Politecnica, 50(1), 55–64. https://doi.org/10.33333/rp.vol50n1.06
- Ferreira, T. M., Mendes, N., & Silva, R. (2019). Reducing the seismic vulnerability of existing buildings: Assessment and retrofit. In Buildings (Vol. 9, Issue 6). MDPI AG. https://doi.org/10.3390/BUILDINGS9060148
- Garrido, C., & Fernandez-Davila, V. (2024). Comportamiento sísmico de edificios irregulares en planta considerando sistemas de aislación con excentricidad de rigidez. Ingeniería, 34(2), 9–20. https://doi.org/10.15517/ri.v34i2.55859
- Giménez, A., Alice Olavarrieta, M., Acero, A., Chong, J., Ramones, K., & Reinoza, L. (2020). Estudio de la vulnerabilidad sísmica cualitativa en instituciones escolares de concreto armado del estado Falcón Study of qualitative seismic vulnerability in armed concrete educational institutions in the Falcón state. Artículo de Divulgación, 21(1), 201602–204730. https://doi.org/10.13140/RG.2.2.31162.75209
- Guerrero Cuasapaz, D. P., & Maza Diaz, G. J. (2022). Análisis no lineal de estructuras regulares de acero con pórticos especiales resistentes a momento utilizando OpenSees y Ceinci-Lab. Green World Journal, 5(1), 013. https://doi.org/10.53313/gwj51013
- Izquierdo Acuña, & Molina Camilo. (2023). 7293-Texto del artículo-30438-1-10-20230901. https://doi.org/https://doi.org/10.37811/cl_rcm.v7i2.604p.2
- Khan, S. U., Qureshi, M. I., Rana, I. A., & Maqsoom, A. (2019). Seismic vulnerability assessment of building stock of Malakand (Pakistan) using FEMA P-154 method. SN Applied Sciences, 1(12). https://doi.org/10.1007/s42452-019-1681-z

- Kuria, K. K., & Kegyes-Brassai, O. K. (2024). Pushover Analysis in Seismic Engineering: A Detailed Chronology and Review of Techniques for Structural Assessment. In Applied Sciences (Switzerland) (Vol. 14, Issue 1).
 Multidisciplinary Digital Publishing Institute (MDPI).
 https://doi.org/10.3390/app14010151
- Malavé-Laínez, J., & Pinoargote-Rovello, V. (2023). Análisis de vulnerabilidad sísmica en estructuras de la Parroquia Manglaralto del Cantón Santa Elena, Provincia de Santa Elena. 593 Digital Publisher CEIT, 8(1–1), 122–143. https://doi.org/10.33386/593dp.2023.1-1.1542
- Martínez, Q., Marcelo, D., Arroba, V., Paulina, L., Carranco, A., & Luis, J. (2020).
 Análisis estático no lineal de edificios de hormigón armado aplicando normativa
 Ecuatoriana, Colombiana y Peruana. Non-linear static analysis of rc frame
 buildings using Ecuadorian, Colombian and Peruvian codes.
 https://orcid.org/0000-0003-0434-7979
- Menéndez-Navarro, G. M., García-García, J. G., & Reyna-García, A. E. (2023).

 Vulnerabilidad sísmica en edificaciones de la ciudad de Portoviejo: Reflexiones del 16-A. Revista InGenio, 6(1), 73–86. https://doi.org/10.18779/ingenio.v6i1.565
- Naveen, S. E., Abraham, N. M., & Kumari, A. S. D. (2019). Analysis of irregular structures under earthquake loads. Procedia Structural Integrity, 14, 806–819. https://doi.org/10.1016/j.prostr.2019.07.059
- Núñez, F., Ruiz, D., & Cortés, J. (2021). Nonlinear dynamic analysis of steel buildings subjected to earthquakes Análisis dinámico no lineal de edificios de acero sometidos a sismos. https://doi.org/http://dx.doi.org/10.4067/S0718-50732021000200173
- Ochoa-Guerrero, D., Villegas-Vera, H., Quishpe-Otacoma, C., Tello-Ayala, K., Gomez, D., & Garcia-Troncoso, N. (2024). Comparing Analysis of Earthquake-Resistant Housing Construction Methods in Ecuador: Frames vs. Walls. World Congress on

- Civil, Structural, and Environmental Engineering. https://doi.org/10.11159/icsect24.120
- Piedad Iñiguez Jiménez, G., & Libertad, L. (2024). Incidencia de la vulnerabilidad sísmica en la funcionalidad y economía de instituciones públicas del cantón El Empalme, Ecuador Incidence of seismic vulnerability on the functionality and economy of public institutions in the canton of El Empalme, Ecuador. https://doi.org/10.26423/rctu.v12i1.776
- Plan de Desarrollo y Ordenamiento Territorial (PDOT) Documento ejecutivo para autoridades provinciales. (2019).
- Romis, F., Caprili, S., Salvatore, W., Ferreira, T. M., & Lourenço, P. B. (2020). Seismic vulnerability assessment of historical urban centres: The case study of campi alto di Norcia, Italy. The International Archives of the Photogrammetry, Remote Sensing and Spatial Information Sciences, XLIV-M-1–2020, 885–892. https://doi.org/10.5194/isprs-archives-xliv-m-1-2020-885-2020
- Salazar, L. G. F., & Ferreira, T. M. (2020). Seismic vulnerability assessment of historic constructions in the downtown of Mexico City. Sustainability (Switzerland), 12(3). https://doi.org/10.3390/su12031276
- Selena Mendoza-Intriago, A. I., & Javier García-Vinces III, L. (2022). Análisis no lineal por el método Pushover del edificio de docentes nº1 de la Universidad Técnica de Manabí. 8, 306–326. https://doi.org/10.23857/dc.v8i3
- Sociedad, U. Y., & Núñez, J. (2023). Metodologías de evaluación estructural por desempeño sísmico en edificaciones de concreto reforzado. https://orcid.org/0000-0003-1090-652X
- Stefanini, S., Rovero, L., & Tonietti, U. (2020). Seismic vulnerability assessment of fes medina in Morocco. International Archives of the Photogrammetry, Remote Sensing and Spatial Information Sciences ISPRS Archives, 54(M–1), 699–706. https://doi.org/10.5194/isprs-archives-XLIV-M-1-2020-699-2020

- Ulutaş, H. (2024). Investigation of the Causes of Soft-Storey and Weak-Storey Formations in Low- and Mid-Rise RC Buildings in Türkiye. Buildings, 14(5). https://doi.org/10.3390/buildings14051308
- Velásquez-Espinales, L. V., & Quiroz-Fernández, S. (2023). Análisis de riesgo sísmico del Hospital Solca de Manabí, en un escenario similar al ocurrido el 16 A. MQRInvestigar, 7(3), 1915–1929. https://doi.org/10.56048/mqr20225.7.3.2023.1915-1929
- Wang, B., Lv, H., Gao, Y., Tang, M., Ding, N., Zhao, X., Zhao, H., & Hu, X. (2024).
 Experimental Study on Axial Compressive Performance of Recycled Steel Fiber
 Reinforced Concrete Short Columns with Steel Pipes. Buildings, 14(8).
 https://doi.org/10.3390/buildings14082498